

بِسْمِ اللّٰهِ الرَّحْمٰنِ الرَّحِيْمِ



دانشکده علوم زمین

پایان نامه کارشناسی ارشد زمین‌شناسی اقتصادی

کانی‌شناسی، ژئوشیمی و الگوی رخداد کانه‌زایی مس در توالی آتشفسانی -

رسوبی آئوسن-الیگوسن، شمال کاهک سبزوار

نگارنده:

مریم شوقانی مطلق

اساتید راهنما:

دکتر فردین موسیوند

دکتر مهدی جعفرزاده

شهریور ۱۳۹۸

شماره:
۹۸.۷.۱۷۷
تاریخ:
۹۸/۷/۱۵

باسم‌ال تعالیٰ



مدیریت تحصیلات تکمیلی

فرم شماره (۳) صورت جلسه نهایی دفاع از پایان نامه دوره کارشناسی ارشد

با نام و یاد خداوند متعال، ارزیابی جلسه دفاع از پایان نامه کارشناسی ارشد خانم / آقای: مریم شوقانی مطلق با شماره دانشجویی ۹۵۰۸۸۰۴ رشته: زمین‌شناسی گرایش: زمین‌شناسی اقتصادی تحت عنوان: کانی شناسی، ژئوشیمی و الگوی رخداد کانه‌زایی مس در توالی آتش‌شانی-رسوبی ائوسن-الیگوسن، شمال کاهک سبزوار، که در تاریخ: ۱۳۹۸/۰۶/۱۶ با حضور هیأت محترم داوران در دانشگاه صنعتی شهرورد برگزار گردید به شرح ذیل اعلام می‌گردد:

نوع تحقیق:	نظری	عملی	قبول (با درجه:)	مردود
۱- استادرهنماei اول	دکتر فردین موسوی‌نده	استادیار		
۲- استادرهنماei دوم	دکتر مهدی جعفرزاده	استادیار		
۳- استاد مشاور				
۴- نماینده تحصیلات تکمیلی	دکتر مهدی رضایی کهخانی	استادیار		
۵- استاد ممتحن اول	دکتر فرج الله فردوست	استادیار		
۶- استاد ممتحن دوم	دکتر محمود صادقیان	دانشیار		

نام و نام خانوادگی رئیس دانشکده: دکتر پیرزیز امیری

تاریخ و امضاء و مهر دانشکده: ۹۸/۷/۱۵

نام خانوادگی: اسکندر کلیر پروزان

تصویر: در صورتی که کسی مردود شود حداکثر یکبار دیگر (در مدت مجاز تحصیل) می‌تواند از پایان نامه خود دفاع نماید (دفاع

۱



تقدیم به:

پدر بزرگ کرامی ام

((سادروان حاج سید حسین حسینی))

پدر و مادر بزرگوارم

چراکه این دو وجود، پس از پروردگار، مایه، هستی ام بوده‌اند، دستم را گرفته‌ند و راه رفتن را در این وادی زندگی پر فرازو نشیم

آموختند.

همسر محربانم

سایه‌ی محربانیش سایه‌ی سار زندگی ام هست، او که اسوه‌ی صبر و تحمل بوده و مشکلات را برایم تسیل نمود.

خواهر عزیزم

که در سایه، همیاری و هم‌حلی او به این ممثُور نائل شدم.



سپاسگزاری

- ❖ سپاس و ستایش خداوند بخشنده مهربان را که همه مرید اراده اوئیم.
 - ❖ در به نتیجه رسیدن این تحقیق، خود را مديون زحمات و مساعدت‌های عزیزان بسیاری میدانم که بی‌تردید، بدون همکاری و پشتیبانی ایشان، امکان بشرم رسیدن مطلوب آن وجود نمی‌داشت. لذا برخود لازم میدانم بدین وسیله زحماتشان را ارج نهاده و از همه آن‌ها صمیمانه قدردانی و تشکر نمایم.
 - ❖ خدای را بسی شاکرم که از روی کرم پدر و مادری فداکار نصیبم ساخته تا در سایه درخت پربار وجودشان بیاسایم و از سایه وجودشان در راه کسب علم و دانش تلاش نمایم و پدر و مادر همسرم که با لطف و شکیبایی خود مشوق من بوده، والدینی که بودنشان تاج افتخاری است بر سرم و نامشان دلیلی است بر بودنم.
 - ❖ استاد راهنمای دلسوز و بزرگوارم، جناب آقای دکتر فردین موسیوند، که بی‌شک راهنمایی‌های ارزنده، دانش و دلسوزی‌های ایشان سبب به انجام رسیدن این تحقیق شده‌است و این حقیر در این راه از دانش و راهنمایی‌های ایشان برهه بسیار برده‌ام استادی که در بسیاری از جنبه‌ها از جمله علمی، اخلاقی، معنوی و اجتماعی الگو و راهنما بودند.
 - ❖ استاد راهنمای بزرگوارم، جناب آقای دکتر مهدی جعفرزاده که در کمال سعه صدر، با حسن خلق و فروتنی، از هیچ کمکی در این عرصه بر من دریغ ننمودند و زحمت راهنمایی این رساله را بر عهده گرفتند.
 - ❖ جناب آقایان دکتر فردوست، دکتر علیپور، دکتر صادقیان، دکتر قاسمی و دکتر رضائی استادانی مهربان و دلسوز که صبورانه و دلسوزانه در انجام این تحقیق از راهنمایی‌های ارزشمند این بزرگواران برهه‌مند شده‌ام. همچنین از آقایان مهندس میرباقری مسئول آزمایشگاه اپتیک، مهندس محمدیان مسئول کارگاه مقطع، آقای آقایی بخش حمل و نقل، خانم مهندس سعیدی مسئول امور پژوهش دانشکده علوم زمین، خانم فارسی مسئول آموزش دانشکده علوم زمین و جناب آقای آجودانی جهت زحماتشان قدردانی و تشکر می‌نمایم.
 - ❖ از فعالین معدنی منطقه، آقایان مهندس فاضلی، عامری و سریزن کمال تشکر را دارم.
 - ❖ دوستان عزیز و گرامی آقایان نصرالله نیا، عمیدی مهر، پاکیزه، ایمانی خوانی، خلعت بری، سرنخشی و خانم‌ها پزشکی، مددی، آقایی، کاظمی، کعبه، غلامی، صفاری، ظفرزاده، اسماعیلی، نبی زاده، مسکینی بخاطر همکاری در طول مراحل تحقیق و همچنین بسیاری از عزیزانی که متأسفانه اینجا امکان تشکر از تک تک ایشان مقدور نیست، تشکر و قدردانی می‌کنم.
- این پژوهش با حمایت مالی مجموعه معدنی سردار و سازمان توسعه و نوسازی معدن و صنایع معدنی ایران انجام شده‌است.**

تعهدنامه

اینجانب مریم شوقانی مطلق دانشجوی دوره‌ی کارشناسی ارشد رشته‌ی زمین‌شناسی اقتصادی دانشکده علوم زمین دانشگاه صنعتی شاهرود نویسنده‌ی پایان‌نامه با عنوان کانی‌شناسی، ژئوشیمی و الگوی رخداد کانه‌زایی مس در توالی آتشفسانی - رسویی اوسن-الیگوسن، شمال کاھک سبزوار تحت راهنمایی دکتر فردین موسیوند و دکتر مهدی جعفرزاده متعهد می‌شوم:

- تحقیقات در این پایان‌نامه توسط اینجانب انجام شده است و از صحت و اصالت برخوردار است.
- در استفاده از نتایج پژوهش‌های محققان دیگر به مرجع مورد استفاده استناد شده است.
- مطالب مندرج در پایان‌نامه تاکنون توسط خود یا فرد دیگری برای دریافت هیچ نوع مدرک یا امتیازی در هیچ جا ارائه نشده است.
- کلیه حقوق معنوی این اثر متعلق به دانشگاه صنعتی شاهرود می‌باشد و مقالات مستخرج بنام «دانشگاه صنعتی شاهرود» و یا "Shahrood University of Technology" به چاپ خواهد رسید.
- حقوق معنوی تمام افرادی که در بدست آمدن نتایج اصلی پایان‌نامه تأثیرگذار بوده‌اند، در مقالات مستخرج از پایان‌نامه رعایت می‌گردد.
- در تمام مراحل انجام این پایان‌نامه، در مواردی که از موجود زنده (یا بافت‌های آن‌ها) استفاده شده است، ضوابط و اصول اخلاقی رعایت شده است.
- در تمام مراحل انجام این پایان‌نامه، در مواردی که به حوزه اطلاعات شخصی افراد دسترسی یافته یا استفاده شده است اصل رازداری، ضوابط و اصول اخلاق انسانی رعایت شده است

تاریخ:

امضای دانشجو

مالکیت نتایج و حق نشر

- تمام حقوق معنوی این اثر و محصولات آن (مقالات مستخرج، کتاب، برنامه‌های رایانه‌ای، نرم‌افزارها و تجهیزات ساخته‌شده) متعلق به دانشگاه صنعتی شاهرود می‌باشد. این مطلب باید به نحو مقتضی در تولیدات علمی مربوطه ذکر شود.
- استفاده از اطلاعات و نتایج موجود در پایان‌نامه بدون ذکر مرجع مجاز نمی‌باشد

چکیده

کانه زایی مس در شمال کاهک، در ۱۸۶ کیلومتری شرق شهرود، در پهنه ساختاری ایران مرکزی و زیرپهنه سبزوار در توالی آتشفسانی-رسوبی ائوسن-الیگوسن رخ داده است. توالی میزبان از لحاظ سنگ شناسی از پایین به بالا شامل واحدهای گدازه ای و آگلومرایی بازالتی-آندریتی ائوسن، آهک نومولیتی ائوسن، واحدهای ماسه سنگی قرمز و خاکستری ائوسن-الیگوسن و مارنهای میوسن می باشد که در تاقدیس کاهک رخنمون دارند. کانه زایی مس در این منطقه به دو صورت می باشد: ۱) کانه زایی مس با میزبان سنگ‌های آتشفسانی و ۲) کانه زایی مس با میزبان رسوبی تخریبی.

کانه زایی مس با میزبان آتشفسانی به صورت چینه کران در درون واحدهای آتشفسانی ائوسن در یال جنوبی تاقدیس کاهک بصورت کانسار مس زواک و در یال شمالی تاقدیس در کمرپایین افق منگنزدار کانسار منگنز و مس سردار بصورت پهنه استرینگر رخ داده است. کانه زایی در کانسار مس زواک بصورت رگه-رگچه ای در داخل واحدهای آگلومرایی و بصورت دانه پراکنده در آهک نومولیتی رخ داده و حاوی کالکوسيت، پيريت، كالکوپيريت، بورنيت و مگنتيت بوده که با دگرسانی كلريتی و سريسيتی همراه است و در کانسار منگنز و مس سردار بصورت رگه-رگچه های کوارتزی سولفيدار و دانه پراکنده حاوی بورنيت، كالکوپيريت و پيريت بوده که با دگرسانی كلريتی همراه می باشد. البته اين کانه زایی های اوليه در کانسار زواک توسط رگچه های کالکوسيتی همراه زئوليت و در کانسار منگنز سردار نيز توسط رگه های حاوی کالکوسيت و يا مس طبيعی ثانويه همراه کلسیت يا زئولیت قطع شده اند.

قابل ذكر است که کانه زایی منگنز نيز بصورت لایه ای (چینه سان) و بروندي در یال شمالی تاقدیس کاهک (کانسار منگنز و مس سردار) در داخل آهک نومولیتی و در یال جنوبی در کانسار مس زواک بصورت دانه پراکنده داخل ماسه سنگ توفی بر روی واحد آهکی دیده می شود. در کمرپایین واحد منگنز دار لایه ای در هر دو یال تاقدیس، کانه زایی مس بصورت رگه-رگچه ای و دانه پراکنده رخ داده است.

کانه زایی مس با میزبان رسوبی در این منطقه غالباً در داخل واحدهای ماسه سنگ خاکستری و قرمز بصورت‌های ساخت و بافت عدسی (در امتداد لایه‌بندی سنگ میزبان در محل تجمع فسیلهای گیاهی)، رگه-رگچه‌ای و دانه پراکنده رخ داده است. ماده‌ی معدنی در سنگ‌های رسوبی حاوی کانی‌های اولیه کالکوسيت و مس طبيعی و کانی‌های ثانويه ملاکيت، کووليت، کوپيريت، دیژنیت و اکسید و هيدروكسيدهای آهن می باشد. کانی‌های کوارتز، کلسیت و کلریت کانی‌های عمده باطله هستند. آثار و بقایای فسیل گیاهی در افق‌های کانه زایی موجود در ماسه سنگ‌های میزبان یکی از عوامل مهم احیا

کننده محیط و کنترل کننده کانه زایی مس می‌باشد. البته گاهی هم رگه-رگچه‌های کالکوسیتی و مس طبیعی بصورت قطع کننده در ماسه سنگها دیده می‌شود.

بر پایه ویژگی‌های زمین‌شناسی، شکل هندسی کانسنگ، ساخت و بافت، کانی‌شناسی و نوع دگرسانی در کانسارهای مس زواک و کانسار منگنز و مس سردار اینطور استنباط می‌شود که کانه‌زایی مس در تاقدیس کاهک در چهار مرحله رخ داده است: ۱) مرحله اول: کانه‌زایی مس در اثر سامانه‌های گرمابی زیردریایی در زیرکف دریا (بصورت همزمان در زیر لایه چینه سان و بروندمی غنی از منگنز) در یک حوضه کششی ریفتی درون کمانی در داخل واحدهای گدازه‌ای، آگلومراتی و آهک نومولیتی، ۲) مرحله دوم: پرشدگی حوضه ریفتی توسط رسوبات تخریبی و سپس رخداد فاز دیگر کانه‌زایی مس در طی تدفین و دیاژنز آغازین در محل فسیلهای گیاهی (مس نوع لایه‌های سرخ) و نیز بصورت رگه-رگچه‌ای در طی دیاژنز پسین که موجب رخداد رگه-رگچه‌های کالکوسیتی و مس طبیعی (مس نوع مانتو، آتشفسانی-لایه‌های سرخ و میشیگان) در واحدهای ماسه سنگی و آتشفسانی شده که در سنگهای آتشفسانی با زئولیت همراه هستند، ۳) مرحله سوم: عملکرد کوهزایی و ایجاد رگه‌های کلسیتی کالکوسیت دار با روند NE-SW و NW-SE در کانسار منگنز و مس سردار و ایجاد رگه‌های زئولیتی کالکوسیت دار در کانسار مس زواک، ۴) مرحله چهارم: سرانجام، این کانه‌زایی‌ها دچار فرایند هوازدگی و سوپرژن واقع شده‌اند.

کلیدوازه‌ها: مس، منگنز، آتشفسانی-رسوبی، اثوسن-الیگوسن، کاهک، مس رسوبی، چینه کران، مانتو، میشیگان

فهرست مطالب

۱	فصل اول: کلیات.....
۲	۱-۱- مقدمه.....
۳	۲-۱- موقعیت جغرافیایی و راههای دسترسی به منطقه مورد مطالعه.....
۴	۳-۱- شرایط آب و هوایی و پوشش گیاهی منطقه.....
۴	۴-۱- زمین ریخت‌شناسی.....
۶	۵-۱- وضعیت معیشتی.....
۷	۶-۱- تاریخچه معدنکاری و مطالعاتی.....
۸	۷-۱- طرح مسئله، ضرورت و هدف مطالعه.....
۹	۸-۱- روش مطالعه.....
۹	۹-۱- ۱-گردآوری اطلاعات و مطالعه منابع.....
۹	۹-۲- مطالعات صحرایی.....
۱۰	۹-۳- مطالعات دفتری و آزمایشگاهی.....
۱۰	۹-۴- انواع کانسارهای مس.....
۱۰	۹-۵- کانسارهای ماسگمایی - هیدروترمال.....
۱۱	۹-۶- کانسارهای سولفید توده ای آتشفسانزاد.....
۱۱	۹-۷- کانسارهای مس ماسگمایی.....
۱۱	۹-۸- کانسارهای مس با میزبان رسوی.....
۱۳	۹-۹- کانسارهای مس تیپ کویناوی (تیپ مانتو و آتشفسانی - لایه‌های سرخ).....
۱۵	۹-۱۰- ویژگیهای مهم کانسارهای مس چینه‌سان با سنگ میزبان رسوی.....
۱۶	۹-۱۱- فازهای کانیسازی مس در ایران.....
۱۷	۹-۱۲- پراکندگی ذخایر مس ایران.....
۱۹	۹-۱۳- انواع تیپهای کانه‌زایی مس در ایران.....
۲۰	۱۳-۱- کانسارهای مس ماسگمایی هیدروترمال (پورفیری، اسکارن و رگه ای).....
۲۰	۱۳-۲- کانسارهای مس سولفید توده ای.....
۲۱	۱۳-۳- کانسارهای گروه مس با میزبان رسوی.....
۲۱	۱۳-۴- کانسارهای گروه میشیگان یا کویناوی یا مانتو (آتشفسانی لایه سرخ).....
۲۳	فصل دوم: زمین‌شناسی ناحیه ای.....
۲۴	۲-۱- مقدمه:.....
۲۵	۲-۲- ویژگی‌های پهنه ساختاری ایران مرکزی در ترشیری:.....

۲۷	۳-۲- چینه‌شناسی.....
۲۹	۱-۳-۲- مزوژوئیک:.....
۲۹	۲-۳- سنوژوئیک:.....
۳۰	۴-۲- ماگماتیسم منطقه:.....
۳۱	۱-۴-۲- سنگهای نفوذی :.....
۳۱	۲-۴-۲- سنگهای بیرونی:.....
۳۲	۲-۵- زمین ساخت منطقه:.....
۳۲	۱-۵-۲- فازهای کوهزایی و جغرافیای دیرینه منطقه:.....
۳۳	۲-۵-۲- ساختارهای زمین ساختی:.....
۳۹	۲-۶- زمین شناسی اقتصادی:.....
۴۱	فصل سوم : زمین شناسی و سنگ شناسی محدوده معدنی.....
۴۲	۱-۳- مقدمه.....
۴۶	۲-۳- سنگهای آتشفسانی-رسوبی:.....
۴۶	۱-۲-۳- چینه‌شناسی و سنگ شناسی منطقه معدنی:.....
۴۶	۲-۲-۳- واحد اول: سنگهای آتشفسانی ($E_u^{t^2}$).....
۵۰	۲-۲-۳- واحد دوم: آهک توفی نومولیتدار (E_u^1).....
۵۱	۲-۲-۳- واحد سوم: واحد توف ماسه‌های (E st).....
۵۲	۲-۲-۳- واحد چهارم: واحد ماسه سنگی (EO ^{ms}).....
۵۵	۲-۲-۳-۶- ساختمانهای رسوبی.....
۵۶	۲-۲-۳- پادگانهای آبرفتی کواترنری:.....
۵۷	۳-۳- شرایط تکتونیک کلی منطقه:.....
۵۷	۱-۳- چین خوردگیها:.....
۵۸	۲-۳- گسلها
۵۹	۴-۳- مقایسه توالی های چینه‌شناسی یال شمالی و جنوبی تاقدیس کاهک:.....
۶۳	فصل چهارم : کانه‌زایی و دگرسانی.....
۶۴	۱-۴- مقدمه.....
۶۵	۲-۴- رخداد کانه‌زایی در تاقدیس کاهک، شرق شهرود.....
۶۷	۳-۴- کانه‌زایی مس در توالی ائوسن- الیکومن در منطقه کاهک (شرق شهرود).
۶۷	۴-۴- ویژگیهای کانه‌زایی مس در کانسار زواک.....
۶۸	۱-۴-۴- واحدهای سنگی موجود در معدن زواک:.....
۶۹	۲-۴-۴- واحدهای کانه‌دار و شکل هندسی ماده معدنی.....

۴-۵-۱- واحدهای سنگی موجود در محدوده معدنی سردار	۷۴
۴-۵-۲- واحدهای کانه‌دار و شکل هندسی ماده معدنی	۷۴
۴-۶- ۱- دگرسانی در واحدهای آتشفشانی	۸۰
۴-۶- ۲- دگرسانی و پهنه‌بندی در واحد رسوی	۸۶
۴-۶- ۳- فصل پنجم: کانی‌شناسی، ساخت و بافت و توالی پارازنتیکی	۹۳
۴-۶- ۴- مقدمه	۹۴
۴-۶- ۵- کانی‌شناسی	۹۵
۴-۶- ۶- ۱- کانیهای اولیه	۹۵
۴-۶- ۶- ۲- کانیهای ثانویه	۱۰۵
۴-۶- ۶- ۳- کانیهای باطله	۱۱۰
۴-۶- ۶- ۴- ساخت	۱۱۲
۴-۶- ۶- ۵- ۱- ساخت رگه-رگچه‌ای	۱۱۲
۴-۶- ۶- ۵- ۲- ساخت نواری	۱۱۴
۴-۶- ۶- ۵- ۳- ساخت برشی	۱۱۴
۴-۶- ۶- ۵- ۴- ساخت لایه ای تا عدسی	۱۱۵
۴-۶- ۶- ۵- ۵- بافت	۱۱۶
۴-۶- ۶- ۵- ۶- ۱- بافت دانه پراکنده	۱۱۷
۴-۶- ۶- ۵- ۶- ۲- بافت جانشینی	۱۱۸
۴-۶- ۶- ۵- ۶- ۳- بافت رگه-رگچه‌ای	۱۱۹
۴-۶- ۶- ۵- ۶- ۴- بافت و ساخت کانیهای سوپرژن دراندیسهای مس رسوی	۱۱۹
۴-۶- ۶- ۵- ۶- ۵- توالی پارازنتیک	۱۲۰
۴-۶- ۶- ۶- فصل ششم: مطالعات ژئوشیمیایی	۱۲۵
۴-۶- ۶- ۷- مقدمه	۱۲۶
۴-۶- ۶- ۸- نمونه برداری و آنالیز نمونه‌ها	۱۲۶
۴-۶- ۶- ۹- ۱- ژئوشیمی سنگهای آذرین	۱۳۰
۴-۶- ۶- ۹- ۲- تعیین سری مagmaی و طبقه‌بندی سنگهای آتشفشانی	۱۳۰
۴-۶- ۶- ۹- ۳- تعیین محیط تکتونیکی	۱۳۳
۴-۶- ۶- ۹- ۴- ژئوشیمی عناصر نادرخاکی	۱۳۳
۴-۶- ۶- ۱۰- الگوی نمودار چند عنصری و REE در سنگهای توالی میزان کانه‌زایی	۱۳۴

۶-۵- میزان پراکندگی و ضریب همبستگی عناصر.....	۱۳۶
۶-۶- ستونهای لیتوژئوشیمیایی و بررسی تغییرات عناصر در منطقه مورد مطالعه.....	۱۳۸
۶-۷- طبقه‌بندی شیمیایی سنگهای رسوبی.....	۱۴۱
۶-۸- بررسی ترکیب لیتولوژی سنگ مادر ماسه‌سنگهای مورد مطالعه.....	۱۴۱
۶-۹- بررسی جایگاه تکتونیکی منطقه منشأ نهشته های ماسه سنگی.....	۱۴۶
۶-۱۰- مطالعه فراوانی، غنی شدگی و تغییرات اکسیدهای اصلی در سنگ میزبان و کانسنگ اندیسنهای مس رسوبی	۱۵۰
۶-۱۱- مطالعه فراوانی، غنی شدگی و تغییرات عناصر جزئی و کمیاب در سنگهای میزبان و کانسنگ مس رسوبی	۱۵۱
۶-۱۲- مطالعه میانبارهای سیال.....	۱۵۴
۶-۱۳- فصل هفتم: نتیجه‌گیری، الگوی تشکیل، تیپ کانه‌زایی و پیشنهادات اکتشافی.....	۱۵۷
۶-۱۴- مقدمه.....	۱۵۸
۶-۱۵- مختصراً از شواهد ژنتیکی موجود در ارتباط با کانه‌زایی.....	۱۵۸
۶-۱۶- زمین‌شناسی عمومی منطقه مورد مطالعه.....	۱۵۸
۶-۱۷- محیط زمین‌ساختی تشکیل.....	۱۵۸
۶-۱۸- کانه زایی.....	۱۵۹
۶-۱۹- ساخت و بافت ماده معدنی.....	۱۶۰
۶-۲۰- کانی شناسی	۱۶۰
۶-۲۱- دگرسانی و منطقه بندی آنها.....	۱۶۱
۶-۲۲- نتایج ژئوشیمی	۱۶۲
۶-۲۳- الگوی تشکیل ذخایر معدنی در تاقدیس کاهک.....	۱۶۲
۶-۲۴- مرحله ۱: فعالیتهای آتشفسانی- بروندمی	۱۶۳
۶-۲۵- مرحله ۲: پرشدگی حوضه و عملکرد دیاژنز	۱۶۷
۶-۲۶- مرحله ۳: عملکرد کوهزایی	۱۷۰
۶-۲۷- تیپ کانه زایی مس در تاقدیس کاهک	۱۷۱
۶-۲۸- مقایسه کانه زایی مس با میزبان آتشفسانی با کانسارهای سولفید توده ای آتشفسانزاد	۱۷۱
۶-۲۹- مقایسه کانسارهای مس با میزبان آتشفسانی با تیپ مانتو	۱۷۴
۶-۳۰- مقایسه اندیسنهای مس با میزبان تخریبی در منطقه با کانسارهای مس رسوبی	۱۷۷
۶-۳۱- پیشنهادات اکتشافی	۱۸۳
۶-۳۲- منابع	۱۸۴

فهرست شکل‌ها

شکل ۱-۱: موقعیت جغرافیایی منطقه مورد مطالعه و راههای دسترسی به آن	۳
شکل ۱-۲: نمایی از ریختشناسی کاهک دید به سمت شمال	۵
شکل ۱-۳: موقعیت منطقه کاهک و کانه‌زایی مس بر روی تصویر ماهواره‌ای	۶
شکل ۱-۴: نقشه توزیع و پراکندگی نهشته‌های مس چینه سان با سنگ میزبان رسوی (Hitzman et al, 1997)	۱۳
شکل ۱-۵: نقشه توزیع و پراکندگی نهشته‌های مس تیپ کویناوا (Kirkham, 1996)	۱۵
شکل ۱-۶: نقشه پهنه‌های ساختاری بر اساس (آقانباتی، ۱۳۸۳ و علوی، ۱۹۹۴) و موقعیت ذخایر تیپ‌های مختلف مس	۲۰
شکل ۱-۷: نقشه زمین‌شناسی- ساختاری ایران و موقعیت منطقه مورد مطالعه	۲۵
شکل ۱-۸: پهنه بندی خراسان رضوی و موقعیت زیر پهنه سبزوار در ایران مرکزی حیدری و مناف نژاد (۱۳۷۸)	۲۷.۱۳۷۸
شکل ۱-۹: نقشه زمین‌شناسی ناحیه مورد مطالعه که بر اساس تلفیقی از نقشه زمین‌شناسی داورزن (رادفر و کهن‌سال ۱۳۷۱) و تصاویر ماهواره‌ای و مشاهدات صحرایی ترسیم شده است	۲۸
شکل ۱-۱۰: رخمنون دایک قطعکننده‌ی ماسه‌سنگ‌های اثوسن-الیگومن	۳۲
شکل ۱-۱۱: نقشه پراکندگی گسلهای منطقه با استفاده از نقشه زمین‌شناسی داورزن (۱۳۷۱)	۳۶
شکل ۱-۱۲: نمایی از چین خوردگیهای ماسه‌سنگ اثوسن-الیگومن	۳۷
شکل ۱-۱۳: تصویر ماهواره‌ای از دو تاقدیس بیزه و کاهک در ناحیه	۳۸
شکل ۱-۱۴: نقشه زمین‌شناسی منطقه مورد مطالعه که بر اساس تلفیقی از نقشه زمین‌شناسی داورزن (رادفر و کهن‌سال ۱۳۷۱) و تصاویر ماهواره‌ای و مشاهدات صحرایی ترسیم شده است و مقطع شماتیک عرضی از واحدهای سنگی در تاقدیس کاهک که با استفاده از تلفیق مقاطع مختلفی که پیمایش شده ترسیم گردیده است	۴۴
شکل ۱-۱۵: نمایی از واحد (E_{α}^{β}) در زواک	۴۷
شکل ۱-۱۶: تقسیم بندی چندتایی سنگ‌های آذرآواری بر اساس نسبتهای بمب، بلوک، لاپیل و خاکستر بر اساس (Lemaltrre, 2002) و موقعیت نمونه‌های کاهک که با علامت ستاره مشخص شده است	۴۸
شکل ۱-۱۷: الف: نمایی از واحد آگلومرایی و نمونه دستی آن در تاقدیس کاهک که میزبان کانه‌زایی مس میباشد. ب و پ: تصویری از مقطع میکروسکوپی واحد آگلومرایی (Px: پیروکسن و Pl: پلاژیوکلاز و Mlc: مالاکیت)	۴۹
شکل ۱-۱۸: نمایی از واحد آهک نومولیتدار و نمونه دستی از این واحد که حاوی فسیل نومولیت میباشد	۵۱

۷-۳: تغییرات تراکم نومولیت‌ها به ترتیب از لایه‌های پایینی به بالا در تصاویر(الف، ب، پ) و تصاویر میکروسکوپی (ت، ث، ج).....	۵۱
شکل ۸-۲: الف) نمایی از لایه‌ی توف ماسه‌های در معدن منگنز سردار و نمونه دستی آن، ب و پ) تصویر میکروسکوپی واحد توف ماسه‌های.....	۵۲
شکل ۹-۳: الف) نمایی از واحد ماسه‌سنگی و نمونه دستی آن در تاقدیس کاهک. ب، پ، ت و ج) تصاویر میکروسکوپی ماسه سنگها که بخش اعظم سنگ شامل پلاژیوکلاز:Pl و خردہ سنگهای آذرین: I-RF و	۵۳
دگرگونی M-RF میباشد.....	۵۴
شکل ۱۰-۳: موقعیت نمونه‌های ماسه‌سنگی مورد مطالعه در نمودار سه متغیره کوارتز(Q)، فلدسپار(F) و خردہ سنگ(RF) (نمودار فولک، ۱۹۸۰).....	۵۵
شکل ۱۱-۳: الف) نمایی از لایه‌بندی ماسه‌سنگ قرمز ب) نمایی از لامیناسیون در ماسه سنگ قرمز پ) ساخت ریپل مارک ت) ساخت ترک گلی ث) وجود آثار گیاهی در ماسه سنگ قرمز P.F: فسیل گیاهی).....	۵۶
شکل ۱۲-۳: نمایی از رسوبات کواترنری در منطقه.....	۵۷
شکل ۱۳-۳: نمایی از چینخوردنگی ها در تاقدیس کاهک.....	۵۸
شکل ۱۴-۳: نمایی از گسل در واحد ماسه سنگی.....	۵۹
شکل ۱۵-۳: تصویری از تاقدیس کاهک و موقعیت دو کانسار.....	۶۰
شکل ۱۵-۳: مقایسه توالی چینه‌شناسی یال شمالی و جنوبی تاقدیس کاهک (بدون مقیاس).....	۶۱
شکل ۱-۴: موقعیت تاقدیس کاهک در نقشه زمین‌شناسی ساده شده ۱:۱۰۰۰۰ داورزن (رادفر و کهن‌سال، ۱۳۷۱) و موقعیت کانه‌زایی های مس و منگنز در توالی آتش‌فشاری-رسوبی ائوسن.....	۶۶
جدول ۱-۴ کانسارها و اندیس‌های مس و منگنز تاقدیس کاهک.....	۶۶
شکل ۲-۴: نقشه زمین‌شناسی منطقه معدنی زواک، که بر اساس نقشه زمین‌شناسی ۱:۱۰۰۰۰ داورزن (رادفر و کهن‌سال، ۱۳۷۱) و برداشت های صحرایی و تصاویر ماهواره‌ای ترسیم شده است.....	۶۸
شکل ۳-۴: الف) پنهانه کانه‌زایی رگه_رگچه‌ای، که رگه‌های vein1 توسط رگه‌های vein2 قطع شده است، ب) تصویر نمونه دستی رگه نسل دو، پ) تصویر میکروسکوپی از رگه زئولیتی_کلسیتی ت) تصویر نمونه دستی از رگه نسل یک، تصویر میکروسکوپی از رگه سیلیسی.....	۷۰
شکل ۴-۴: تصاویری از کانسار زواک: الف) کانه‌زایی برشی در واحد آگلومرایی، ب) توالی واحدهای آذرین همراه با کانه‌زایی و آهک توفی نومولیتدار، پ) توالی ماسه سنگ خاکستری و قرمز ت) کانسنگ نواری.....	۷۱
شکل ۴-۵: تصویر ماهواره‌ای از موقعیت اندیسها در یال شمالی کاهک.....	۷۲
۴-۶: نقشه زمین‌شناسی منطقه معدنی سردار، که بر اساس نقشه زمین‌شناسی ۱:۱۰۰۰۰ داورزن (رادفر و کهن‌سال، ۱۳۷۱) و برداشت های صحرایی و تصاویر ماهواره‌ای ترسیم شده است.....	۷۳
شکل ۴-۷: الف) نمایی از ترانشه مس، ب) دپوی مس، ج) تصویری از رگه-رگچه‌های مس در واحد گدازه که دا، اع، یافت ب شی میباشد.....	۷۵

- شکل ۴-۸: الف) نمایی از واحد توف ماسه‌های، ب) تصویر نمونه دستی از رگه-رگچه‌های کالکوپیریت، ج) تصویر میکروسکوپی از رگه کالکوپیریت (Ccp: کالکوپیریت، Cv: کولیت، Bn: بورنیت، Mlc: مالاکیت، Ght: گوتیت، Lpdc: لپیدوکروزیت)..... ۷۶
- شکل ۴-۹: الف) تصویر ماسه سنگ خاکستری، ب) تصویری از مقطع میکروسکوپی ماسه سنگ خاکستری..... ۷۷
- شکل ۴-۱۰: الف) نمایی از کانه‌زایی مس رسوبی بصورت پچ پچ در ماسه‌سنگ خاکستری، ب) تصویری از فسیل گیاهی همراه با کانه‌زایی بارز مس. (P.F: فسیل گیاهی، Coal: زغال، Cct: کالکوسیت، Gss: ماسه سنگ خاکستری، Mlc: مالاکیت)..... ۷۸
- شکل ۴-۱۱: الف و ب) تصویری از رگهی مس طبیعی در کارگاه قدیمی درون واحد آتشفسانی، پ و ت) نمایی از وجود مس طبیعی و کوپیریت درون واحد ماسه سنگ خاکستری در کنار فسیلهای گیاهی..... ۷۹
- شکل ۴-۱۲: الف) نمایی از پهنه دگرسانی کلریتی و زئولیتی در کانسار مس زواک، ب) دگرسانی زئولیتی، پ) دگرسانی کلریتی که توسط دگرسانی زئولیتی قطع شده‌است، ت) نمونه دستی از دگرسانی کلریتی..... ۸۲
- شکل ۴-۱۳: نمودار پراش پرتو ایکس به همراه کانیهای تشخیص داده شده برای نمونه F41 کانسار زواک.. ۸۳
- شکل ۴-۱۴: نمودار پراش پرتو ایکس به همراه کانیهای تشخیص داده شده برای نمونه F31 کانسار زواک که بیانگر دگرسانی زئولیتی میباشد که با کانی آنالسیم مشخص شده‌است..... ۸۴
- شکل ۴-۱۵: تصویر میکروسکوپی از پلاژیوکلازهای دگرسان شده سریسیتی در کانسار مس زواک..... ۸۵
- شکل ۴-۱۶: نمودار پراش پرتو ایکس به همراه کانیهای تشخیص داده شده برای نمونه F64 اندیس سردار که نشانگر دگرسانی سریسیتی میباشد که با کانیهای کالکوپیریت و کوارتز مشخص شده‌است..... ۸۶
- شکل ۴-۱۷: شکل شماتیک عمومی از چگونگی قرارگیری و ارتباط پهنه‌های سهگانه در افق احیایی میزان کانه‌زایی در کانسار مارکشه (مهدوی و همکاران، ۱۳۹۰)..... ۸۷
- شکل ۴-۱۸: الف) تصویری از پهنه قرمز اکسیدان در منطقه، ب) تصویر میکروسکوپی از ماسه سنگ قرمز.... ۸۸
- شکل ۴-۱۹: پهنه شسته شده در منطقه که بر روی پهنه قرمز قرار گرفته است و به رنگ سبز خاکستری دیده میشود..... ۹۰
- شکل ۴-۲۰: نمای از کانه‌زایی در ماسه سنگ خاکستری ب) تصویری از کانه زایی سولفیدی مس که در این کانسار عامل احیا فسیلهای گیاهی میباشد..... ۹۱
- شکل ۵-۱: الف) تصویری از نمونه دستی کالکوسیت در کانسار مس زواک ب) تصویر میکروسکوپی از مقطع صیقلی رگه کالکوسیت دار، که دونسل کالکوسیت به وضوح قابل رویت است، پ) تصویری از نمونه دستی از کالکوسیت ثانویه در کانسار مس سردار، ت) تصویر میکروسکوپی از مقطع نازک صیقلی رگه کالکوسیت ثانویه مس سردار ، ث) تصویری از نمونه دستی کالکوسیت در کانسار مس سردار، ج) تصویر میکروسکوپی از مقطع صیقلی رگه کالکوسیت دار..... ۹۷

شکل ۲-۵: تصویری از نمونه دستی فسیل گیاهی که کانه زایی مس در آن کاملا مشخص میباشد (ب) تصویر میکروسکوپی از کالکوسیت در فسیل گیاهی.....	۹۸
شکل ۳-۵: الف) تصویر میکروسکوپی بورنیت در کانسار زواک (ب) تصویر میکروسکوپی بورنیت در کانسار سردار.....	۹۹
شکل ۴-۵: الف) تصویر میکروسکوپی از حضور مگنتیت در سنگ میزبان زواک. ب) نمایی از حضور مگنتیت پلاسربی در معدن منگنز سردار.....	۱۰۰
شکل ۵-۵: الف) تصویر نمونه دستی سنگ آهک نومولیت دار در کانسار زواک (ب) تصویر میکروسکوپی پیریت دانه پراکنده در واحد آهکی کانسار زواک.....	۱۰۱
شکل ۵-۶: الف) تصویری از حضور کالکوبیریت به همراه دیگر کانیها در کانسار مس سردار، ب) تصویری از کالکوبیریت دانهپراکنده در کانسار زواک.....	۱۰۲
شکل ۷-۵: الف) نمایی از لایه منگنز سوپرژن در معدن زواک و تصویر میکروسکوپی آن (ب) نمایی از لایه منگنز اگزالاتیو در معدن سردار و تصویر میکروسکوپی آن.....	۱۰۳
شکل ۸-۵: الف و ب) تصویر میکروسکوپی از مس طبیعی در پلازیوکلازها در نور طبیعی و پلاریزان.....	۱۰۴
شکل ۹-۵: تصویر میکروسکوپی از اولیژیت و همراهی کالکوسیت.....	۱۰۵
شکل ۱۰-۵: ۱) الف: تصویر میکروسکوپی از همراهی کانی کولیت و کالکوسیت در معدن مس زواک، ۲) تصویر میکروسکوپی کولیت در اندیسه‌های مس رسوی.....	۱۰۷
شکل ۱۱-۵: الف) تصویر میکروسکوپی از مالاکیت در کانسار مس سردار (ب) تصویر کانی مالاکیت از اندیسه‌های مس رسوی.....	۱۰۸
شکل ۱۲-۵: نمایی از نمونه دستی آزوریت در اندیسه‌های مس رسوی.....	۱۰۹
شکل ۱۳-۵: الف) تصویر میکروسکوپی از کوارتز پلی کریستالین و پلازیوکلازی که در اثر نفوذ سیالات به سریسیت تبدیل شده است. ب) تصویر میکروسکوپی از پلازیوکلازها و کوارتز منوکریستالین.....	۱۱۱
شکل ۱۴-۵: تصویر میکروسکوپی از کانی باطله کلسیت.....	۱۱۲
شکل ۱۵-۵: الف) حضور رگه-رگچه‌های حاوی کانه‌زایی در آگلومرا ای آندزیتی-بازالتی در کانسار مس زواک ب) حضور رگه-رگچه‌های حاوی کانه‌زایی در آگلومرا ای آندزیتی-بازالتی در کانسار مس زواک به همراه رگچه‌های زئولیتی. ب) تصویری از رگه-رگچه‌های کالکوبیریت در کانسار مس زواک (ت) تصویری از کانه‌زایی رگچه‌های کالکوسیت در معدن منگنز سردار، ث) تصویری از رگه‌های کالکوسیت که قطع کننده منگنز سردار است، ج) تصویری از رگچه‌های کالکوسیت که قطع کننده ماسه‌سنگ خاکستری در سردار است.....	۱۱۳
شکل ۱۶-۵: تصویری از ساخت نواری در کانسار زواک.....	۱۱۴
شکل ۱۷-۵: تصویری از ساخت برشی در کانسار زواک.....	۱۱۵
شکل ۱۸-۵: ساخت لایه ای در اندیسه‌های مس رسوی.....	۱۱۶
شکل ۱-۶: موقعیت سنگهای آتشفسنای منطقه مورد مطالعه در نمودار (Hastie et al. 2007).....	۱۳۱

- شکل ۶-۲: موقعیت سنگهای آتشفسانی منطقه در نمودار Pearce, 1996 ۱۳۲
- شکل ۶-۳: نمودار فراوانی عناصر نادر خاکی بهنجار شده به گوشه اولیه (Sun & Mc Donough 1989) ۱۳۵
- الف) کانسار زواک، ب) کانسار سردار ۱۳۵
- شکل ۶-۴: نمودار تغییرات میزان عناصر در مقطع کانسار زواک بر اساس داده‌های ICP-MS ۱۳۹
- شکل ۶-۵: نمودار تغییرات میزان عناصر در مقطع کانسار سردار بر اساس داده‌های ICP-MS ۱۴۰
- شکل ۶-۶: نمودار متمازیز کننده لیتوژوئی سنگ مادر مجموعه‌های ماسه‌سنگی و گلسنگی با استفاده از اکسید عناصر اصلی (Roser and Korsch, 1988). نمونه‌های ماسه سنگی مورد مطالعه در محدوده آذرین مافیک قرار گرفته‌اند ۱۴۲
- شکل ۶-۷: دیاگرام دوتایی TiO_2 در مقابل Zr (Hayashi et al., 1997); نمونه‌های ماسه سنگی مورد مطالعه در محدوده سنگ مادرهای آذرین مافیک قرار گرفته‌اند ۱۴۳
- شکل ۶-۸: دیاگرام دوتایی La/Sc در مقابل Co/Th (Gu et al., 2002); نمونه‌های ماسه سنگی مورد مطالعه در نزدیکی سنگ مادرهای آذرین مافیک و بازالتی قرار گرفته‌اند ۱۴۴
- شکل ۶-۹: دیاگرام دوتایی Th/Sc در مقابل Zr/Sc (McLennan et al., 1993) و موقعیت نمونه‌های ماسه سنگی که در نزدیکی سنگ مادرهای بازالتی ترسیم شده‌اند ۱۴۵
- شکل ۶-۱۰: دیاگرام مثلثی La-Th-Sc (Bhatia and Crook, 1986) و موقعیت نمونه‌های ماسه سنگی که در نزدیکی سنگ مادرهای بازالتی قرار گرفته‌اند ۱۴۵
- شکل ۶-۱۱: نمودار محتوای SiO_2 در مقابل نسبت $\text{K}_2\text{O}/\text{Na}_2\text{O}$; ماسه سنگهای مورد مطالعه در محدوده جزایر قوسی قرار گرفته‌اند ۱۴۶
- شکل ۶-۱۲: دیاگرام دوتایی بر اساس اندیس قلیایی بودن (نسبت $(\text{Fe}_2\text{O}_3\text{T} + \text{MgO})/(\text{SiO}_2 + \text{Na}_2\text{O} + \text{K}_2\text{O})$) و موقعیت نابالغ قرار گرفته‌اند ۱۴۷
- شکل ۶-۱۳: دیاگرام مثلثی Th-La-Sc (Bhatia and Crook, 1986) نشان دهنده جایگاه تکتونیکی جزایر قوسی اقیانوسی برای ماسه سنگ های مورد مطالعه میباشد. چهار محدوده تکتونیکی: حاشیه قاره‌ای غیر فعال (D)، جزایر قوسی اقیانوسی (A)، جزایر قوسی قاره‌ای (B) و حاشیه‌های قاره‌ای فعال (C) ۱۴۹
- شکل ۶-۱۴: دیاگرام مثلثی Th-Sc-Zr/10 (Bhatia and Crook, 1986) نمونه‌های ماسه سنگی مورد مطالعه در محدوده جزایر قوسی اقیانوسی قرار گرفته‌اند. چهار محدوده تکتونیکی: حاشیه قاره‌ای غیر فعال (D)، جزایر قوسی اقیانوسی (A)، جزایر قوسی قاره‌ای (B) و حاشیه‌های قاره‌ای فعال (C) ۱۴۹
- شکل ۶-۱۵: نمودار تهیشدگی و غنی شدگی عناصر فرعی اصلی برای کانسنگ و سنگ میزبان ۱۵۱
- شکل ۶-۱۶: نمودار تهی شدگی و غنی شدگی عناصر فرعی و کمیاب برای کانسنگ و سنگهای میزبان ۱۵۲
- شکل ۶-۱۷: تغییرات فراوانی عناصر S, Cr, Ni, Co, Ag, Pb, Zn, Cu در کانسنگ و سنگ میزبان ۱۵۴
- شکل ۶-۱۸: الف) تصویر رگه زئولیتی، ب) تصویر میکروسکوپی مقطع دوبر صیقل ۱۵۵

شکل ۷-۱: تصویر شماتیک از محیط تکتونیکی نوار آتشفسانی داورزن (قاسمی و رضایی کهخایی، ۲۰۱۵) که منطقه کاهک جزئی از آن می باشد.....	۱۵۹
شکل ۷-۲: مرحله یک کانه‌زایی در کانسار منگنز و مس سردار.....	۱۶۵
شکل ۷-۳: مرحله یک کانه‌زایی در کانسار مس زواک.....	۱۶۶
شکل ۷-۴: (الف) مرحله دوم کانه زایی و بطور عمدۀ رخداد کانه زایی مس رسوبی ، (ب) عملکرد دیاژنز بر کانه زاییهای زواک و سردار.....	۱۶۹
شکل ۷-۵: کوهزایی و بالآمدگی در منطقه کاهک.....	۱۷۰
شکل ۷-۱۱: شکل شماتیک از کانه‌زایی تیپ رخساره ماسه سنگ احیایی (Einaudi 1986) برگرفته از (cox 1986)	۱۸۰
شکل ۷-۱۲: شکل شماتیک از کانه‌زایی تیپ رخساره اکسیدی یه طبقات قرمز (Talbott, 1974) برگرفته از (cox 1986)	۱۸۱

فهرست جداول

جدول ۱-۴ کانسارها و اندیسه‌های مس و منگنز تاقدیس کاهک.....	۶۶
جدول ۱-۵ : مراحل تشکیل و توالی پاراژنتیک کانیها به همراه ساخت و بافت آنها در اندیسه‌های مس رسوی.....	۱۲۱
جدول ۲-۵: مراحل تشکیل و توالی پاراژنتیک کانیها به همراه ساخت و بافت آنها در کانسار مس زواک.....	۱۲۲
جدول ۳-۵: مراحل تشکیل و توالی پاراژنتیک کانیها به همراه ساخت و بافت آنها در کانسار منگنز و مس سردار.....	۱۲۳
جدول ۱-۶ - مشخصات نمونه‌های آنالیز شده ICP-MS و XRF در کانسارهای مورد مطالعه.....	۱۲۷
جدول ۲-۶ - ضرایب همبستگی پیرسون(Pearson) برای عناصر کمیاب در معدن مس زواک و سردار.....	۱۳۷
جدول ۱-۷ - مقایسه کانسارهای زواک و سردار با ویژگی‌های انواع کانسارهای سولفیده توده‌ای آتشفسانزاد (VMS).....	۱۷۴
جدول ۲-۷ - مقایسه کانسارهای سردار و زواک با کانسارهای تیپ مانتو، طبقات قرمز آتشفسانی و نوع میشیگان.....	۱۷۶
جدول ۳-۷ - مقایسه کانسارهای سردار و زواک با کانسارهای تیپ مانتو در شیلی.....	۱۷۷
جدول ۴-۷ - مقایسه ویژگی‌های کانسارهای مس مورد مطالعه با انواع کانسارهای مس رسوی.....	۱۸۲

فصل اول:

کھات

۸

با توجه به ذخایر متعدد مس در تیپ‌های متفاوت در کشور در حال حاضر بیش از ۶۰۰ اندیس مس در ایران شناسایی شده است. در همین راستا پیش‌بینی‌های صورت گرفته حاکی از آن است که کل میزان مس محتوی ذخایر ایران برابر ۱۴ میلیون تن می‌باشد. لذا با برنامه ریزی‌های صورت گرفته و پس از اجرای طرح‌های برنامه چهارم توسعه، استحصال ۲/۵ درصد از این مقدار مس دست یافتنی خواهد بود. با توجه به پتانسیل‌های گستردۀ مس در ایران و تعامل گستردۀ اش با کشورهای دیگر، می‌توان اشتغال زایی زیادی در بخش اکتشاف، استخراج، فرآوری، تجارت و صادرات آن ایجاد کرد و تولید ثروت ملی را به میزان قابل توجهی افزایش داد.

از نظر ژنتیکی کانسارهای مس در دنیا به پنج گروه، کانسارهای مس پورفیری با کانی سازی‌های رگه‌ای و اسکارن

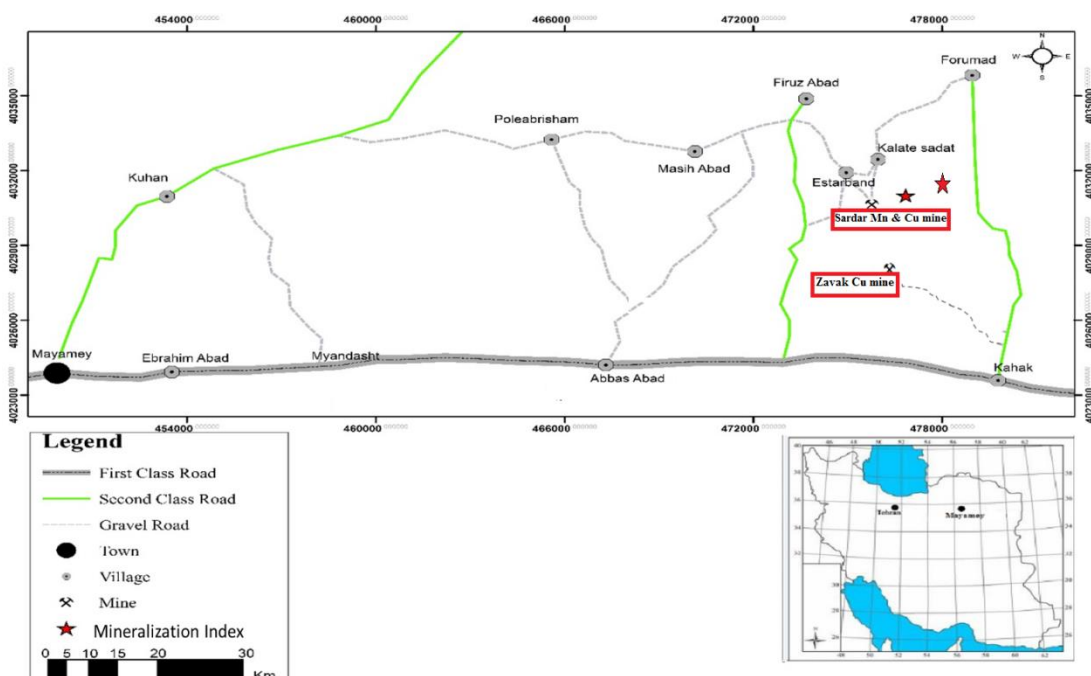
، کانسارهای مس ماگمایی، کانسارهای مس با سنگ میزبان رسوی، کانسارهای مس نوع میشیگان و کانسارهای مس تیپ سولفید توده‌ای قابل تفکیک می‌باشند. از بین تیپ‌های مذکور، کانسارهای مس با سنگ میزبان رسوی و آتشفسانی رسوی در ایران کمتر مورد مطالعه قرار گرفته‌اند، لذا اکتشاف و شناسایی این تیپ کانسارها در کشور ضروری به نظر می‌رسد. برای نیل به این هدف، کانه زایی مس رسوی در داخل سنگ‌های رسوی و آتشفسانی-رسوی جنوب فرومد و شمال کاهک به عنوان موضوع پایان‌نامه کارشناسی ارشد انتخاب گردید. در انجام این مطالعه سعی بر آن بوده است با تکیه بر بررسی های صحرایی، کانی شناسی و مطالعات ژئوشیمیایی، مکانیسم تشکیل این تیپ کانی سازی‌ها در این ناحیه از ایران مشخص شود. امید است نتایج به دست آمده از این بررسی بتواند در اکتشاف و شناسایی پتانسیل‌هایی از این تیپ کانی سازی‌ها در سایر نقاط کشور مفید و مؤثر واقع شود.

۱-۲-۱- موقعیت جغرافیایی و راههای دسترسی به منطقه مورد مطالعه

منطقه مورد مطالعه در ۱۱۶ کیلومتری شرق میامی از توابع شهرستان شهرود استان سمنان و در ۲۰ کیلومتری جنوب روستای فرومد قرار دارد. منطقه مورد مطالعه در پهنه‌ی زمین ساختاری ایران مرکزی و در قسمت میانی نقشه زمین‌شناسی ۱/۲۵۰۰۰ جاجرم (آقاباتی و افتخارنژاد، ۱۳۷۱) و در قسمت شمالی ورقه‌ی زمین‌شناسی ۱/۱۰۰۰۰ داورزن (رادفر و کهن‌سال، ۱۳۷۱) واقع شده‌است.

برای دستیابی به نقاط کانه زایی که در ۱۷ کیلومتری جنوب روستای فرومد واقع است، می‌بایست از طریق جاده آسفالت شاهروド-سبزوار به مسافت ۱۷۰ کیلومتر به سمت شرق تا دوراهی روستای کاهک پیش رفت، سپس از جاده‌ی آسفالت درجه‌ی دو کاهک-فرومد حدود چهار کیلومتر به سمت شمال حرکت کرده در توالی‌های حاشیه‌ای جاده کانه زایی مس در ماسه سنگ‌ها قابل مشاهده است و کانسار زواک در داخل واحدهای آتشفسانی و آهک نومولیتی اوسن رخ داده‌است که دسترسی به آن از طریق جاده خاکی امکان‌پذیر می‌باشد. بنابراین بهترین راه ارتباطی منطقه بزرگراه شاهروド-مشهد است

(شکل ۱-۱).



شکل ۱-۱ : موقعیت جغرافیایی منطقه مورد مطالعه و راههای دسترسی به آن.

۱-۳- شرایط آب و هوایی و پوشش گیاهی منطقه

از نظر آب و هوایی، تنها نواحی کوهستانی و مرتفع شمال شرق و شمال غرب ورقه ۱/۱۰۰۰۰ داورزن از تابستان‌های معتدل و زمستان‌های سرد برخوردار است و جنوب آن به دلیل نزدیکی و همچواری با کویر، تابستان‌های گرم و خشک و زمستان‌های سرد دارد، همین امر موجب شده که میزان بارندگی سالیانه در بخش‌های مرکزی و جنوبی ورقه بسیار ناچیز و حدود ۵۰-۱۰۰ میلیمتر و در نواحی کوهستانی بویژه شمال شرق به ۱۵۰-۲۰۰ میلیمتر برسد. منابع تامین کننده آب‌آشامیدنی در روستاهای و مناطق کشاورزی از کاربزها، سدهای محلی (سد فیروزآباد و سد فرومود) چاههای عمیق و نیمه عمیق و چشم‌های سارهاست. به علت سرپانتینی شدن، قدرت آبدهی سنگ‌های اولترامافیک به مراتب بیشتر از سنگ‌های آذرین و آذراواری ائوسن است، به همین دلیل باگداری و کشاورزی در فرومود و فیروزآباد که در پای این ارتفاعات قرار دارند رونق بیشتری دارد (آقانباتی ۱۳۴۹). کال‌شور جاجرم، کال‌شور سبزوار، کال‌شور، کال چادر و کال سرنو و کال سگزی و کال صبری از جمله رودهای منطقه می‌باشد. بجز کال‌شور جاجرم، در شمال‌غرب-غرب منطقه، بقیه در بیشتر طول سال بی آب و یا اندک آبی در آنها جریان دارد. گیاهان منطقه اغلب بوته‌ای بوده و به ندرت درختچه‌ای پایا هستند. گیاهان طبیعی ناحیه منحصر به بوته‌های کوتاهی می‌باشند که معروف‌ترین آن‌ها قیچ و تاغ است. این ناحیه تقریباً فاقد درخت و درختچه می‌باشد.

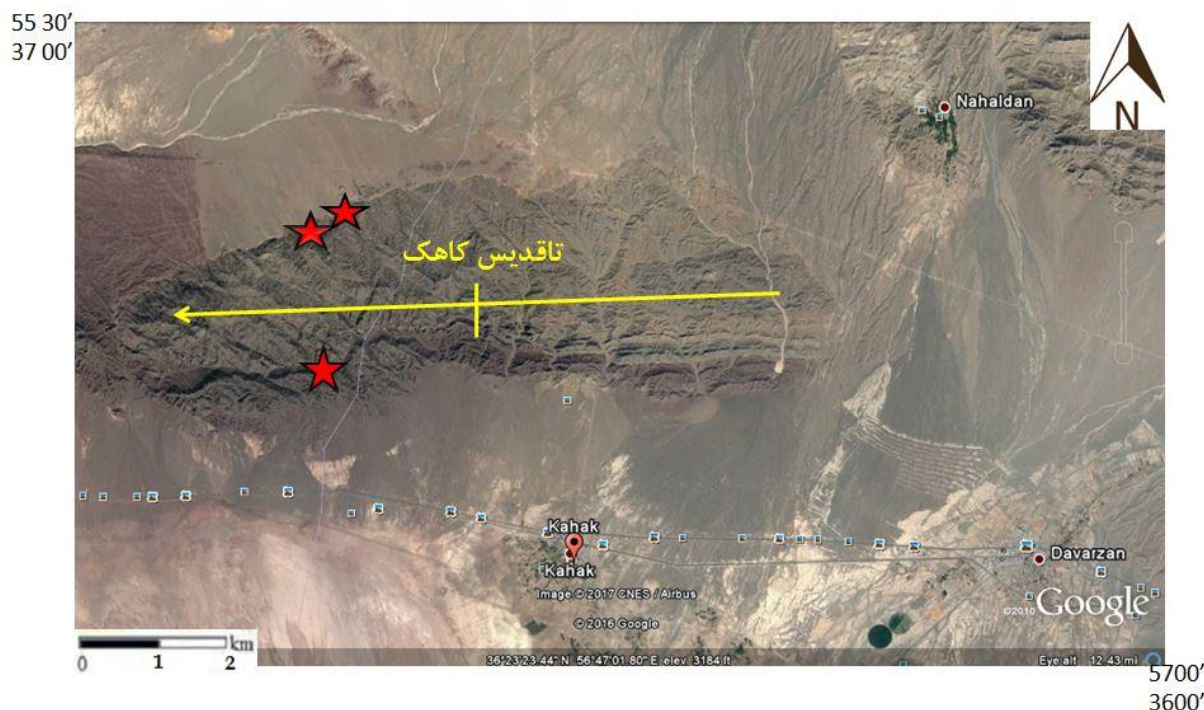
۱-۴- زمین ریخت‌شناسی

ریخت‌شناسی این مناطق تحت تاثیر رخنمون سنگ‌های آتشفسانی و عملکرد فرآیندهای زمین ساختی قرار دارد. آن‌چنان که کوه گر در شمال غرب روستای بیزه‌ی سبزوار، بلندترین نقطه با ارتفاع ۲۷۰۸ متر از سطح دریا و پست‌ترین نقطه در کال‌شور جاجرم از بخش‌های غربی ورقه با ارتفاع ۷۶۲ متر از سطح دریا می‌باشد. ناحیه به گونه‌ای مشخص به دو بخش کوهستانی در شمال و دشت در مرکز و جنوب

قابل تقسیم است. بخش‌های مرتفع را بروزد سنگ‌های آتشفشاری و آذرآواری، نفوذی و افیولیتی شکل می‌دهد در حالیکه دشت‌ها را آبرفت‌های جوان و مارن‌های نهودن تشکیل می‌دهند. شکل توپوگرافی منطقه بیشتر مدیون سنگ‌های اولترامافیک و تا اندازه‌ای سنگ‌های آتشفشاری ائوسن می‌باشد. سنگ‌های رسوبی ائوسن به علت سختی کم، فرسوده شده و تقریباً مسطح به نظر می‌رسد(آقانباتی ۱۳۴۹) هرچند که در نزدیکی دماغه تاقدیس کاهک در قسمت غربی ریخت‌شناسی مرتفعی دارند، با این وجود سنگ‌های آتشفشاری ائوسن مخصوصاً بخش‌های گدازه‌ای آن نسبت به سنگ‌های رسوبی به علت مقاومت بیشتر در برابر هوازدگی و فرسایش ارتفاع بیشتری دارند (شکل‌های ۲-۱ و ۳-۱).



شکل ۱-۲: نمایی از ریخت‌شناسی کاهک دید به سمت شمال



شکل ۱-۳: موقعیت منطقه کاهک و کانه‌زایی مس بر روی تصویر ماهواره‌ای

۱-۵- وضعیت معیشتی

با توجه به اینکه این منطقه از شمال به کوهستان و از جنوب به دشت ختم می‌شود. دامپروری نسبت به کشاورزی از رونق بیشتری برخوردار است، بطوریکه نواحی شمالی و مرکزی، پرورش بز و گوسفند و نواحی جنوبی بیشتر پرورش شتر می‌باشد. کشاورزی در این منطقه نیز همانند دامپروری، بیشتر در شمال و بخش‌هایی از نواحی مرکزی می‌باشد که شامل محصولات باگی بیشتر انار، گردو، انجیر، توت و انگور و در سال‌های اخیر زیتون، بادام و محصولات زراعی، به مقدار خیلی زیاد فلفل قرمز، خاکشیر، کنجد، چغندر، گندم و جو و محصولات جالیزی چون هندوانه و خربزه می‌باشد. همچنین عده‌ای از مردم با جمع آوری انواع مختلف گیاهان دارویی امرار معاش می‌کنند.

از نظر معدنکاری معدن کرومیت فرومد با ۷۶ سال قدمت، قدیمی‌ترین معدنی است که مردم در آن مشغول بوده و هستند. در قدیم معادنی چون منیزیت(گل سرشور) و گچ نیز استخراج می‌شده است. معادن دیگری نیز طی چند سال اخیر شناسایی شده‌اند که در آن‌ها نیز تعدادی کارگر مشغول هستند،

مانند معدن کرومیت شمال فیروزآباد و میرمحمود، منگنز فرومد(سردار) و معادن کوچک دیگری از این نوع.

۱-۶- تاریخچه معدن کاری و مطالعاتی

کارهای مطالعاتی و معدن کاری انجام شده در این منطقه مربوط به کرومیت و منگنز می‌باشد و در محدوده‌ی کانه‌زایی مورد نظربر روی کانه‌زایی مس هیچ کار زمین‌شناسی تفصیلی در قالب یک پایان-نامه انجام نشده است، البته درون واحدهای آتشفشنای ترانشه‌هایی جهت اکتشاف مس انجام شده است. تاکنون هیچ کانسار مس رسوی در این منطقه گزارش نشده است، ولی کارهای سنگ‌شناسی و تعیین محیط زمین‌ساختی زیادی بصورت گزارش و پایان‌نامه انجام شده است که عبارتند از:

آفانباتی (۱۳۴۹) در پایان‌نامه‌ی کارشناسی ارشد خود به مطالعه‌ی زمین‌شناسی منطقه‌ی فرومد و عباس‌آباد پرداخته است. ایشان معتقدند که قدیمی‌ترین سازند منطقه متعلق به کرتاسه زیرین است که شامل یک سری آهک‌های دولومیتی با سنگواره‌ی اربیتولین می‌باشد.

سامانی (۱۳۸۱) با تطبیق ویژگی‌های کانسارهای نوع مانتو با زمین‌شناسی ایران و مقایسه آن با مشخصات کانسارها و یافته‌های مس در حوضه ایران مرکزی (مناطق قم و ساوه، عباس‌آباد سبزوار و شمال دورونه) کانسارهای مس در این مناطق را از نوع مانتو معرفی کرده است. علی‌نیا و دهقان‌نژاد (۱۳۸۳) بر اساس مطالعات زمین‌شناسی اقتصادی و ژئوشیمیایی معادن مس عباس‌آباد و برآورد پتانسیل معدنی آنها تیپ کانه‌زایی را از نوع رگه‌ای گرمابی و در سری سنگ‌های آتشفشنای و آتشفشنای-رسوبی معرفی کرده است. حیدری و معانی‌جو (۱۳۹۰) با توجه به بررسی‌های صحرایی نشان دادند که کانسار عباس‌آباد شباهت زیادی با کانسارهای مس نوع مانتو دارد.

طائفی و همکاران (۱۳۹۲) الف، بر اساس مطالعات کانی‌شناسی، ساخت و بافت و الگوی رخداد کانه‌زایی‌های مس نرتلوبی و استغانی در جنوب شرق شاهروド، تیپ کانه‌زایی در منطقه را مشابه کانه‌زایی کویناوی در میشیگان آمریکا و تیپ مانتو در نظر گرفت.

طائفی و همکاران (۱۳۹۳) ب، بر اساس مطالعات کانی‌شناسی و ژئوشیمیایی، الگوی رخداد کانه‌زایی مس در مناطق گریگ و گورخان را مشابه کانه‌زایی تیپ میشیگان آمریکا در نظر گرفته‌اند. صالحی و همکاران (۱۳۹۴) الف، بر پایه ویژگی‌های زمین‌شناسی، کانی‌شناسی، ساخت و بافت کانسنگ و داده‌های حاصل از میانبارهای سیال، تیپ کانی‌زایی مس عباس‌آباد را قابل مقایسه با کانسارهای مس نوع مانتو بیان کرده است.

صالحی و همکاران (۱۳۹۴) ب، با مقایسه داده‌های ایزوتوپی گوگرد کانسار مس عباس‌آباد بیان کرده‌اند که بیشترین شباهت را با کانسارهای مس نوع مانتو در شیلی دارد. حسینی و همکاران (۱۳۹۴ الف، ب) کانسار منگنز فرومد را از نوع آتشفسانی-رسوبی در نظر گرفته است.

اسماعیلی و همکاران (۱۳۹۵) با توجه به بررسی‌های صحرایی نشان دادند که کانسار مس میاندشت شباهت زیادی با کانسارهای مس نوع مانتو دارد. ظفرزاده و همکاران (۱۳۹۵) بر اساس مطالعات زمین‌شناسی اقتصادی و ژئوشیمیایی معدن دوچیله را از نوع میشیگان معرفی کرده است.

۱-۷- طرح مسئله، ضرورت و هدف مطالعه

به منظور دستیابی به کلیدهای اکتشافی جهت کشف کانسارهای مشابه در منطقه و نیز بهبود روند فعالیت‌های اکتشافی در این کانسار، انجام مطالعات دقیق زمین‌شناسی، کانی‌شناسی، ژئوشیمی و الگوی رخداد کانه‌زایی در منطقه ضروری می‌باشد. تاکنون مطالعاتی در خصوص توزیع و پراکندگی پهنه‌های کانی‌سازی و ژنر کانسارهای مس با میزان رسوبی و رسوبی-آتشفسانی در ایران و ویژگی‌های

پترولولژیکی و ژئوشیمیایی سنگ‌های میزبان آن‌ها صورت گرفته است. از این رو در این تحقیق تلاش گردیده است، تا ضمن شناسایی و پیگیری گسترش کانه‌زایی مس در جنوب فرومد و موقعیت استراتیگرافی آن، ویژگی‌های کانی‌شناسی، ساختی و بافتی، ژئوشیمیایی و فرآیندهای مؤثر در تشکیل آن‌ها مورد بررسی قرار گیرد، ضمناً تیپ کانسار مورد مطالعه در مقایسه با تیپ‌های جهانی مس، مشخص و معروفی گردد. با توجه به ارزش اقتصادی بالای کانسارهای مس در جهان، شناسایی این کانسارها و آثار معدنی موجود در منطقه و مطالعه آن‌ها در جهت ارائه مدل و برنامه اکتشافی و نهایتاً^۱ فعال شدن بخش معدن و ایجاد اشتغال و کار سالم در این منطقه، از دیگر اهداف این تحقیق به شمار می‌آید.

۱-۸- روش مطالعه

جهت دستیابی به اهداف تعیین شده، روش تحقیق و مراحل اجرائی آن از ابتدا تا انتهای به شرح زیر بوده است.

۱-۸-۱ - گردآوری اطلاعات و مطالعه منابع

نخستین اقدام در انجام این تحقیق، گردآوری اطلاعات و مطالعه منابع بوده که به شرح زیر می‌باشد:

الف) تهیه و مطالعه کتب و مقالات مختلف در زمینه ذخایر مس با میزبان رسوی و آتشفسانی رسوی.

ب) گردآوری اطلاعات مربوط به منطقه مورد مطالعه شامل نقشه‌های زمین شناسی، عکس‌های هوایی منطقه، تصاویر ماهواره‌ای با دقت بالا، جهت شناایی کامل با زمین‌شناسی عمومی و تشکیلات موجود در منطقه.

ج) جمع‌آوری گزارش‌ها، مقاله‌ها و مطالعات قبلی انجام شده مرتب با منطقه مورد مطالعه و نواحی اطراف آن.

۱-۸-۲ - مطالعات صحرایی

مطالعات صحرایی به مدت ۸ روز به شرح زیر صورت گرفت:

الف) بازدید صحرایی به منظور آشنایی هر چه بیشتر با کلیات زمین‌شناسی منطقه.

ب) تعیین واحدهای لیتوژئوژنیک و مرز تقریبی آنها.

ج) شکل ماده معدنی و ارتباط کانی‌سازی با سنگ‌های درونگیر.

د) نمونه‌برداری لیتوژئوشیمیایی بیش از ۲۵۰ نمونه دستی بر مبنای تغییرات سنگ‌شناسی، کانی‌شناسی، رنگ و بافت، به منظور مشخص کردن افق‌های کانه‌دار و ارتباط آن با کانه‌زایی، همراه با تغییرات عیار مس و دیگر عناصر همراه نمونه برداری از ذخایر مس و سنگ میزبان‌های آن (که توسط دستگاه GPS تعیین مختصات شدند).

ه) تعیین مناطق دگرسان شده در محدوده مورد مطالعه.

۳-۸-۱- مطالعات دفتری و آزمایشگاهی

در این مرحله، پس از نمونه‌گیری با توجه به اهداف مطالعه، بر روی این نمونه‌ها مطالعات مختلف به شرح زیر صورت گرفت:

الف) پس از تهییه عکس از نمونه‌های دستی، تعداد ۱۵۰ مقطع میکروسکوپی نازک صیقلی به همراه ۵۵ مقطع نازک و ۱۰ مقطع صیقلی تهییه و از نظر بافت ماده معدنی، نحوه توزیع کانی‌ها در سنگ‌های درونگیر و پاراژنر کانه‌ها مورد مطالعه قرار گرفتند.

۱-۹-۱- انواع کانسارهای مس

(Kesler, 1994) کانسارهای مس را بر اساس خصوصیات ژنتیکی آنها به ۵ گروه اصلی تقسیم نموده است که عبارتند از:

۱-۹-۱- کانسارهای ماجمایی- هیدرоторمال

مجموعه کانسارهای مس ماجمایی- هیدرоторمال یعنی سیستم‌های پورفیری، اسکارن و رگه‌هایی را شامل می‌شوند که تحت تأثیر تزریق توده‌های نفوذی سیالات هیدرоторمال ایجاد شده‌اند.

۱-۹-۲- کانسارهای سولفید توده ای آتشفشانزاد

این تیپ کانسارها خود به روش‌های مختلفی به دسته‌های متعددی از کانسارها تقسیم می‌شوند که یکی از

کاربردی‌ترین این روش‌ها دسته‌بندی آن‌ها بر اساس سنگ دربرگیرنده کانه‌زایی است که به چند دسته متفاوت تقسیم می‌شوند و هریک شرایط تشکیل و محیط تکتونیکی متفاوتی دارد.

این دسته‌ها شامل بشی، نوراندا، کوروکو، بتورث و قبرسی هستند.

بر اساس دسته بندی دیگر کانسارهای سولفید توده ای به پنج دسته سیلیسی کلاستیک فلزیک، بایموdal فلزیک، بایموdal مافیک، پلیتیک مافیک و مافیک - الترامافیک تقسیم می‌شوند.

۱-۹-۳- کانسارهای مس ماقمایی

این تیپ از کانسارها تحت تأثیر فرآیندهای مربوط به تکامل ماقما مانند تبلور و جدایش ثقلی ایجاد شده‌اند. تعداد این نوع کانسارها در دنیا محدود است اما بطور معمول تناظر بالایی دارند.

۱-۹-۴- کانسارهای مس با میزان رسوبی

در این تیپ کانسارها سنگ میزان کانه‌زایی به طور عمدۀ رسوبات تخریبی هستند که نفوذپذیری بالایی دارند. این کانسارها تحت تأثیر فرآیندهای رسوبی- دیاژنزی و در مواردی اپی ژنتیک ایجاد می‌شوند و معمولاً به دلیل چینه کران بودن دارای ضخامت کم اما گسترش فراوان هستند.

این ذخایر مهم‌ترین منبع کبالت دنیا کمربند آفریقای مرکزی بوده و تولید کننده مهم محصول جانبی نقره به شمار می‌آیند. عیار بیشتر کانسارهای بهره‌برداری شده یا در دست بهره‌برداری، از ۱/۸ الی ۵ در صد متغیر است. اغلب این تیپ کانسارها در شیل‌های نمکی احیاء شده پیریتی غنی از مواد آلی یا هم ارز

دگرگونی آن‌ها و مابقی در ماسه سنگ‌ها یافت می‌شوند. سنگ‌های میزان این کانسارها، در رسوبات فاقد اکسیژن (Anoxic) مناطق پارالیک (Paralic) دریایی یا رسوبات دریاچه‌ای شور بزرگ مقیاس که بلافتله بر روی رسوبات تخریبی قاره‌ای قرمز رنگ و اکسیدی واقع شده‌اند، یافت می‌شوند (Hitzman et

al. 2010). این نوع نهشت‌ها در توالی‌های سنگی مربوط به پس از نخستین ظهور لایه‌های قرمز (۲۴۰۰ میلیون سال) قرار دارند. سن آنها معمولاً تا عصر حاضر نیز می‌رسد. مهم‌ترین و فراوان‌ترین این نهشته‌ها، در تشکیلات پروتروزوئیک بالایی و پالئوزوئیک بالایی قرار دارند. آن‌ها معمولاً در نواحی خشک و نیمه خشک محیط‌های کافتی قاره‌ای، حداقل تا عرض ۲۰° الی ۳۰° درجه از دیرینه استوا (Brown, 1997) تشکیل شده‌اند (paleoequator).

از میان کانسارهای مس رسوی، چند نمونه از جمله مهم‌ترین و شاخص‌ترین آن‌ها که کارهای مطالعاتی گسترده‌ای روی آن صورت گرفته‌است عبارتند از:

کانسار کوپرشیفر: این تیپ کانسار به طور عمده در لهستان و آلمان واقع بوده و تا هلن و انگلستان نیز کشیده شده است. سنگ شناسی عمدۀ آن از نوع شیل کربناته، کربنات و ماسه سنگ می‌باشد. این کانسار در محدوده زمانی بین پرمین فوقانی تا تریاس میانی تشکیل شده است (Oszczepalski, 1999) (Wagner et al, 2010).

کمربند مس مرکزی آفریقا: کمربند مس مرکزی آفریقا از دو کمربند زئیر و زامبیا تشکیل شده است.
الف) کمربند زئیر (Kamoto) و این کمربند فلززایی به طور عمده از دولومیت، شیل کربناته و دولومیت تشکیل شده است و زمان تشکیل آن به پروتروزوئیک محدود می‌گردد (El Desouky et al, 2007).
کمربند زامبیا (Nchanga) و این کمربند به طور عمده از ماسه سنگ، آرژیلیت و دولومیت تشکیل شده است و زمان تشکیل آن به پروتروزوئیک محدود می‌گردد (Cailteux et al 2005).

کانسار مس وايت پاین (White pine): این کانسار در ایالات متحده آمریکا واقع شده است. سنگ شناسی عمدۀ آن از نوع سیلت، شیل کربناته و ماسه سنگ می‌باشد (Hitzman et al, 2010; Brown, 1997).

پهنه فلززایی مس رسوی (Troy Spar lake): این پهنه در ایالت مونتانا آمریکا واقع شده و به طور عمدۀ از کوارتزیت آرژیلیتی تشکیل شده است (Cox et al, 2007).

کانسار مس Red Stone : این کانسار در کانادا بوده و از نظر سنگ شناسی از آهک دولومیتی پر کامبرین تشکیل شده است (Roz, 1976).

پهنه فلززایی مس رسوی Igarka: این پهنه فلززایی در ازبکستان واقع بوده و شامل کانسارهای Mansfeld و Donbass، Dzheskazgan، Dzhilandi

سنگ و کربنات به سن دونین تشکیل شده است (Bogdanov & Berlyand-kozhevnikov, 1990).

کانسار بزرگ Udokan: این کانسار در ناحیه سیبری روسیه واقع بوده و از لحاظ سنگ شناسی شامل ماسه سنگ‌های مختلف نظیر آركوز و متارانایت به سن پروتوروژوئیک می‌باشد (Bogdanov &

Brownm (5-۱). (Berlyand-kozhevnikov, 1990)



شکل ۱-۵: نقشه توزیع و پراکندگی نهشته های مس چینه سان با سنگ میزبان رسوی (Hitzman et al, 2010, 1997).

-۵-۹-۱ - کانسارهای مس تیپ کویناوه (تیپ مانتو و آتشفسانی-لایه‌های سرخ)

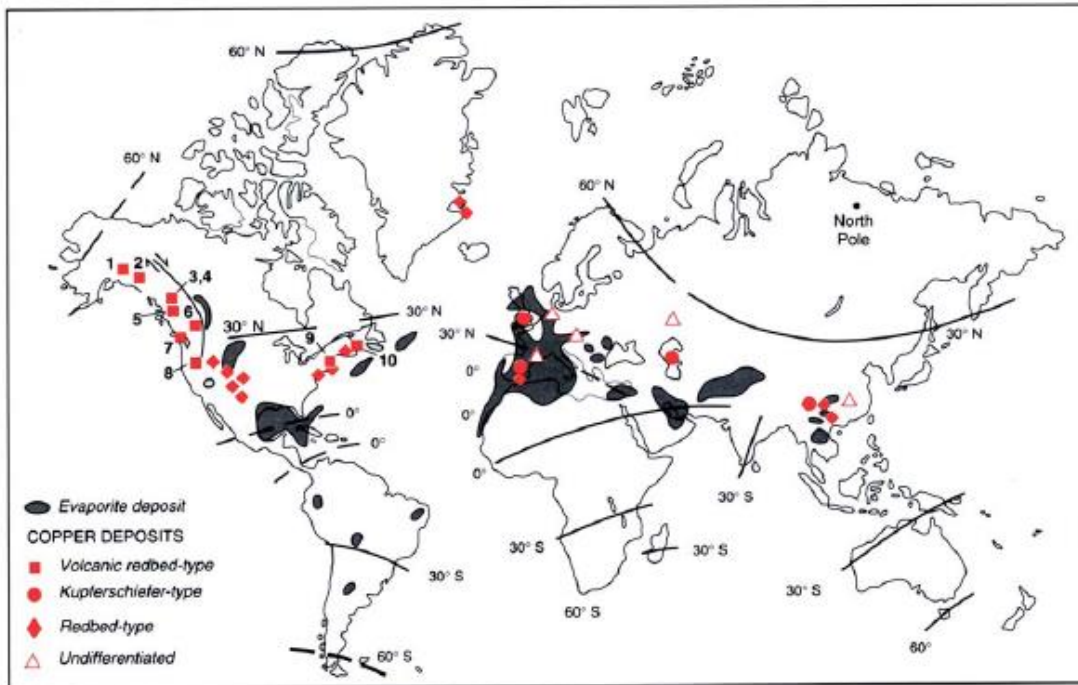
این کانسارها دارای سنگ میزبان آتشفسانی هستند و از نظر بسیاری از خصوصیات مربوط به کانه زایی سیستم‌های مانتو (Manto-type) و مس‌های تیپ ولکانیک ربد مشابه هستند. امروزه این تیپ کانسارها را با کانسارهای تیپ مانتو و ولکانیک رد بد مشابه می‌دانند. کانسارهای تیپ مانتو در شیلی

گسترش دارند و کانسارهای تیپ ولکانیک رد بد(Volcanic Red) بطور عمدۀ در آمریکای شمالی شناسایی و معرفی شده‌اند.

در بسیاری از مناطق سنگ‌های درونگیر این کانسارها حاوی میان لایه‌هایی از سنگ‌های تبخیری هستند. در مرز اکسايش، کاهش توالی با رونده کانی‌ها در منطقه مینرالیزه، شامل تمامی کانی‌های هماتیت، مس خالص، کالکوسيت، بورنیت، کالکوپیریت، گالن، اسفالریت و پیریت یا برخی از آن‌هاست. این کانی‌ها در مناطق کانیایی که به سمت بالا و بیرون با یکدیگر همپوشی دارند، یافت می‌شوند.

این نوع کانسارها به تیپ کوپرشیفر نیز معروف هستند (Hitzman et al, 2010; Brownm, 1997) مناسب‌ترین نام که تا حال برای آن‌ها بیان شده است، کانسار مس چینه سان با سنگ میزبان رسوی است. این کانسارها یکی از مهم‌ترین منابع مس جهان محسوب می‌شوند (هیتزمن و همکاران، ۲۰۱۰). عیار ثابت و تداوم افقی، این کانسارها را یکی از منابع خیلی مهم برای اکتشاف مس و سایر عنصرهای همراه نموده است. این کانسارها می‌توانند دارای عیار بالایی از کبالت، روی و نقره نیز باشند. هم‌چنین می‌توان منابع عظیم طلا، اورانیوم، عنصر گروه پلاتین (PGE) و عناصر نادر خاکی (REE) را به عنوان محصول فرعی از این ذخایر استخراج نمود. کانسارهای مس رسوی، پس از کانسارهای پورفیری، دومین تولید کننده مس جهان هستند که ۲۵ الی ۳۰ درصد از مس مورد نیاز جهان را تأمین می‌کنند.

اغلب این ذخایر در کمربند مس آفریقا واقع می‌باشد. تناظر این کانسارها از ۱ الی ۱۰۰۰ میلیون تن متغیر است (Brownm, 1997).



شکل ۲-۵: نقشه توزیع و پراکندگی نهشته های مس تیپ کویناوی (Kirkham, 1996)

۱-۱۰-۱- ویژگی های مهم کانسارهای مس چینه سان با سنگ میزبان رسوی

مهم ترین ویژگی های کانسارهای مس چینه سان با سنگ میزبان رسوی عبارتند از:

- ۱) حضور مناطق مس دار مهم، و به طور استثنایی سرب و روی و همچنین سایر فلزات نظیر نقره و کبالت که نشان از اهمیت اقتصادی بالای این کانسارها دارد.
- ۲) وجود آنها در سنگ های رسوی بدون نیاز به فعالیت اساسی آذرین و دگرگونی.
- ۳) شکل تقریباً هم شب و چینه سان پهنه مس دار.
- ۴) امتداد جانبی کانه زایی در لایه بندی.
- ۵) وفور سولفیدهای فلزی پراکنده در سنگ میزبان.
- ۶) توزیع منطقه های فلزات و کانه ها.
- ۷) رسوبات میزبان که با عوامل احیاء کننده و سولفیدهای فراوان به طور سین دیاژنتیکی جهت ورود مس آماده شده اند.

- ۸) وجود ضخامتی مناسب از رسوبات تخریبی درشت‌دانه، نفوذپذیر و قرمز رنگ در زیر منطقه مس‌دار.
- ۹) وجود یک واحد رسوبی مربوط به محیط‌های گرم و خشک مانند واحدهای تبخیری و قرمزنگ.
- ۱۰) زمان سنجی مس، زمان پس از رسوبگذاری و دیاژنز را نشان می‌دهد.
- ۱۱) رسوبگذاری مس از محلول‌های غنی از کلرید در افق تقاطع بین رسوبات قرمز زیرین ولايه‌های خاکستری سولفیددار.
- ۱۲) ارتباط مکانی با حوضه‌های ریفتی پرشده با رسوبات قرمز قاره‌ای.

آخرین ویژگی در سال‌های اخیر بیشتر مورد ارزیابی قرار گرفته است و هنوز به اطلاعات اساسی نیاز دارد. از وابستگی موضعی این کانسارها با ریفت‌های قاره‌ای و نیز جانشینی مس در رسوبات پرکننده ریفت می‌توان پیشنهاد داد که مکانیزم‌های تشکیل ذخیره می‌تواند اساساً با توسعه و تکامل طبیعی حوضه مرتب باشد.(Rose, 1976; Hitzman, 2000; Kirkham, 1989; Brown, 1992, 2009, 2005)

۱۱-۱- فازهای کانی‌سازی مس در ایران

در ایران آثار و نشانه‌های معدنی مس را از پروتزوژئیک پسین تا پلیوسن می‌توان ردیابی نمود، اما بیشتر ذخایر مس در ترشیری و به ویژه الیگومیوسن تشکیل شده‌اند قربانی، به طور کلی فازهای کانی‌سازی مس در ایران به شرح زیر است:

پرکامبرین پسین کامبرین - پیشین :در این برهه زمانی کانسار قابل توجهی از مس شناخته نشده است. ولی چند اثر معدنی در ناحیه یاسوج و شهرکرد در سنگ‌های کامبرین پیشین دیده شده است که از نظر اقتصادی حائز اهمیت نیستند(قربانی، ۱۳۸۱).

پالئوزوئیک پسین :همراه با برخی از سنگ‌های دگرگونی پالئوزوئیک پسین مانند سری تکنار کانسار سولفید توده‌های تکنار آثار و شواهدی از مس شناخته شده‌است(کریم پور و همکاران، ۱۳۸۳).

ژوراسیک کرتاسه : نشانه‌های متعدد مس در سنگ‌های رسوبی تخریبی - ژوراسیک کرتاسه - در ناحیه وسیعی از جنوب راور تا شمال طبس به چشم می‌خورد (مهدوی و همکاران، ۱۳۸۶). هم چنین در این دوره، کانسار مس جیان در بوانات با سن ژوراسیک زیرین قابل ذکر است (موسیوند، ۱۳۸۲).

کرتاسه پالئوسن : همراه - با مجموعه افیولیتی کرتاسه پالئوسن - شواهدی از ذخایر سولفید تودهای در ایران شناخته شده است، مانند نشانه معدنی مس در ناحیه حاجی آباد بندر عباس (قربانی، ۱۳۸۱) و کانسار مس شیخ عالی در جنوب شرق بافت (منظمي ميرعليپور، ۱۳۷۷) کانسار نوده و نشانه‌های معدنی جنوب غرب سبزوار (مغفوری و همکاران، ۱۳۹۰)، نیز مربوط به این دوره زمانی می‌باشند.

ترشیری : بیشتر ذخایر مس ایران در بازه زمانی ترشیری تشکیل شده اند. اغلب این ذخایر وابستگی تنگاتنگی با سنگ‌های ماگمایی ترشیری دارند و از نوع پورفیری، اسکارن و رگه ای می‌باشند.

۱۲-۱- پراکندگی ذخایر مس ایران

بر پایه نقشه پراکندگی کانسارهای مس ایران و مقایسه آن‌ها با نقشه‌های سنگ‌های ماگمایی ایران با مقیاس‌های ۱:۲۵۰۰۰ (آقاباتی ۱۳۷۰) و ۱:۱۰۰۰۰ (امامی و دیگران، ۱۳۷۲)، می‌توان ذخایر مس ایران را به شکل زیر پهنه‌بندی کرد (قربانی، ۱۳۸۱).

- ارومیه- دختر که خود از نظر ذخایر مس به بخش جنوبی و شمالی قابل تقسیم است.

- پهنه البرز باختری محور (طالقان- تارم- هشتگین)

- پهنه سبلان (باختر اردبیل- ناحیه اهر)

- پهنه کویر- سبزوار (بینالود و تکنار)

- پهنه لوت

- پهنه مکران

(۱) پهنه ارومیه- دختر : سنگ‌های جاگرفته در پهنه ماگمایی ارومیه دختر، به گونه‌ای شاخص، ترکیبی از دیوریت تا گرانودیوریت و گرانیت می‌باشند و سنی از ائوسن تا میوسن دارند. در مورد خاستگاه این سنگ‌ها اتفاق نظری وجود ندارد. گروهی از پژوهشگران آن را کمان ماگمایی و گروهی دیگر آن را کافت می‌دانند و دسته‌ای نیز کمان جزیره‌ای را باور دارند. در مورد کانی‌سازی مس در این پهنه، باید گفت تنها قسمت جنوبی این پهنه (ناحیه کرمان) از نظر کانی‌سازی مس پرمایه است.

بخش شمالی و مرکزی آن در این راستا نمود چندانی ندارند. در حقیقت، ناحیه کرمان خود یک کمربند مس‌دار را با در ازای حدود ۶۰۰ کیلومتر و پهنه‌ای ۷۰-۴۰ کیلومتر با روند شمال غربی-جنوب شرقی تشکیل می‌دهد، که از شهر بابک شروع و تا ناحیه بزمان ادامه می‌یابد. در این کمربند، بیش از ۳۰۰ کانسار و نشانه معدنی مس شناخته شده که بیش از ۲۰ مورد آن‌ها، شواهدی از مس پورفیری نشان می‌دهند. البته قابل توجه است که در این پهنه، از جنوب به سمت شمال از فراوانی کانسارهای مس کاسته می‌شود و مواد معدنی دیگری مانند آهن، سرب و روی فراوان‌تر می‌شوند.

(۲) محور طالقان تارم هشتگین: در ناحیه تارم، ذخایر نسبتاً زیادی از مس وجود دارد. همه کانسارها و نشانه‌های معدنی ناحیه تارم، در پیوند با سنگ‌های آتشفسانی بیشتر (آنذیت) ائوسن و به ویژه توده‌های نفوذی تونالیتی تا گرانیتی ائوسن است. این سنگ‌ها در ناحیه تارم، بیشتر بی‌亨جاری‌هایی از مس نشان می‌دهند. توده‌های نفوذی گرانیتی منطقه تارم از نوع گرانیت تیپ I است، که با کانی‌سازی گسترده آهن و مس همراه است. در منطقه طالقان همراه با مونزونیت‌ها و سنگ‌های آتشفسانی (به ویژه تراکیت‌ها) که گرایش آلکالن دارند، تعدادی کانسار و نشانه معدنی مس وجود دارد که بیشتر کانی‌های مس آن-ها از نوع کربناتی است.

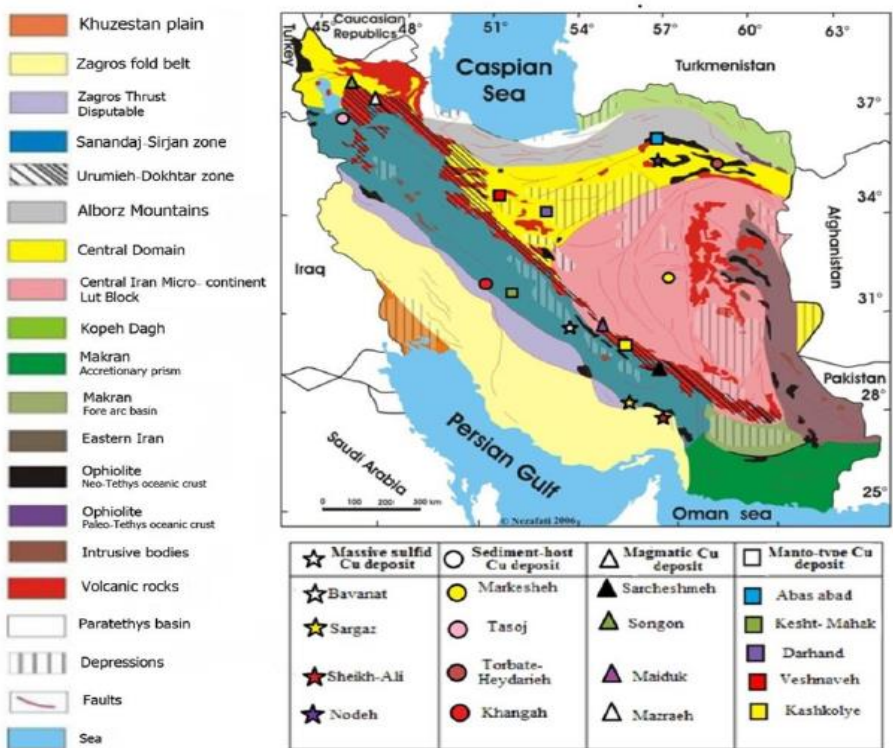
(۳) پهنه کویر سبزوار (بینالود و تکنار): این پهنه در شمال گسل درونه، جنوب گسل میامی و جنوب کوه‌های بینالود قرار دارد و تعدادی کانسار و نشانه معدنی مس همراه با سنگ‌های آتشفسانی ترشیزی در آن وجود دارند. این کانسارها بیشتر از نوع مس رگه‌ای همراه سنگ‌های آتشفسانی آندزیتی و بازالتی است.

۴) پهنه لوت : پهنه لوت، همواره با سنگ‌های آتشفشانی ترشیری، تعداد نسبتاً زیادی کانسار و نشانه معدنی مس شناخته شده است. این کانسارها، بیشتر با سنگ‌های آتشفشانی آندزیتی پهنه لوت در پیوند هستند که مهم‌ترین آن‌ها کانسار مس قلعه زری است.

۵) پهنه مکران : در شمال غربی پهنه مکران و در جنوب و جنوب غرب جازموریان، نواری از کانی‌سازی مس دیده می‌شود که این نوار، روند شمال غربی-جنوب شرقی دارد. البته این نوار در شمال غرب مختار-آباد، روند شرقی-غربی دارد ولی به منطقه فاریاب که می‌رسد، دارای روند شمال غربی-جنوب شرقی می‌شود.

۱۳-۱- انواع تیپ‌های کانه‌زایی مس در ایران

مهم‌ترین کانسارهای مس شناخته شده در ایران، کانسارهای پورفیری و اسکارنی هستند که برخی از این کانسارها مانند سرچشم، میدوک و سونگون شهرت جهانی دارند. از دیگر تیپ کانسارهای مس در ایران کانسارهای سولفید توده‌ای، کانسارهای گروه میشیگان یا کویناوی و کانسارهای مس با میزبان رسوبی هستند. تنها گروه کانساری که در ایران تاکنون شناسایی نشده است، کانسارهای مس ماگمایی است. در زیر شرح مختصری از انواع تیپ‌های مختلف کانساری مس در ایران ارائه می‌شود (شکل ۱-۶).



شکل ۱-۶: نقشه پهنه‌های ساختاری بر اساس (آفانباتی، ۱۳۸۳ و علوی، ۱۹۹۴) و موقعیت ذخایر تیپ‌های مختلف مس.

۱-۱۳-۱- کانسارهای مس ماگمایی هیدروترمال(بورفیری، اسکارن و رگه‌ای)

این گروه کانسارها در ایران و مخصوصاً در پهنه ارومیه دختر که مهم‌ترین پهنه ولکانوپلتوتون ایران را تشکیل می‌دهد به تعداد فراوانی کشف شده‌اند. بزرگ‌ترین معادن مس ایران یعنی سرچشم، سونگون و میدوک که در این پهنه واقع شده‌اند، در این گروه دسته بندی می‌شوند. همچنین از جمله این کانسارها در شرق ایران می‌توان به کانسار ماهراه‌آباد اشاره نمود (ملک زاده و همکاران، ۱۳۸۸).

مطالعات گستردگی بر روی این تیپ کانه‌زایی در ایران مخصوصاً در ناحیه کرمان، از قدیم تا کنون صورت گرفته است (شفیعی و همکاران، ۲۰۰۹)

۱-۱۳-۲- کانسارهای مس سولفید توده‌ای

این گروه کانسار در دنیا یکی از مهم‌ترین گروه کانساری مس و سرب و روی را تشکیل می‌دهد. در ایران تقریباً تمامی کانسارهای مس سولفید توده‌ای شناسایی شده‌اند، که به طور عمده در پهنه سندج-

سیرجان قرار گرفته اند. این کانسارها در حوضه های کششی موجود در محیط های مختلف زمین ساخت ایجاد می شوند. در ایران، این تیپ کانسارها در کشش های ایجاد شده در محیط کمربند ماقمایی مزوژوئیک سنندج سیرجان نیز ایجاد شده اند (موسیوند، ۱۳۸۹). تیپ های مس دار شناسایی شده از این گروه در ایران شامل کانسار مس- روی (سرب) تیپ بشی بوانات در کمپلکس دگرگون شده سوریان (موسیوند و همکاران، ۱۳۸۱)، کانسار مس- روی (سرب) تیپ نوراندا سرگز (بدرزاده و همکاران، ۱۳۸۹) در زیر پهنه سرگز متاع، کانسار مس- روی تیپ قبرسی شیخ عالی (منظومی میرعلیپور، ۱۳۷۷) و قزل داش (بشارتی و همکاران، ۱۳۸۵) می باشند.

۱۳-۳-۱- کانسارهای گروه مس با میزبان رسوی

این گروه کانسارها نیز در ایران شناسایی شده اند، که عمدها دارای سنگ میزبان تخریبی هستند. تشکیل این کانسارها تحت تأثیر فرآیندهای رسوی- دیاژنزی صورت گرفته است (Hitzman et al, 2005). کانسارهای شناسایی شده از تیپ لایه های سرخ (Redbed) در ایران شامل کانسار مارکشه در کرمان (مهدوی و همکاران، ۱۳۸۶)، کانسار تازه کند در شمال تبریز (عنایتی کولاوی و همکاران، ۱۳۹۰) کانسار تسوج در آذربایجان شرقی (رجب پور و همکاران، ۱۳۹۲) و کانسارها و نشانه های معدنی واقع در شمال شمال غرب تربت حیدریه در خراسان رضوی (سپهری راد، ۱۳۸۸) می باشند.

۱۳-۴- کانسارهای گروه میشیگان یا کویناوی یا مانتو (آتشفشنانی لایه سرخ)

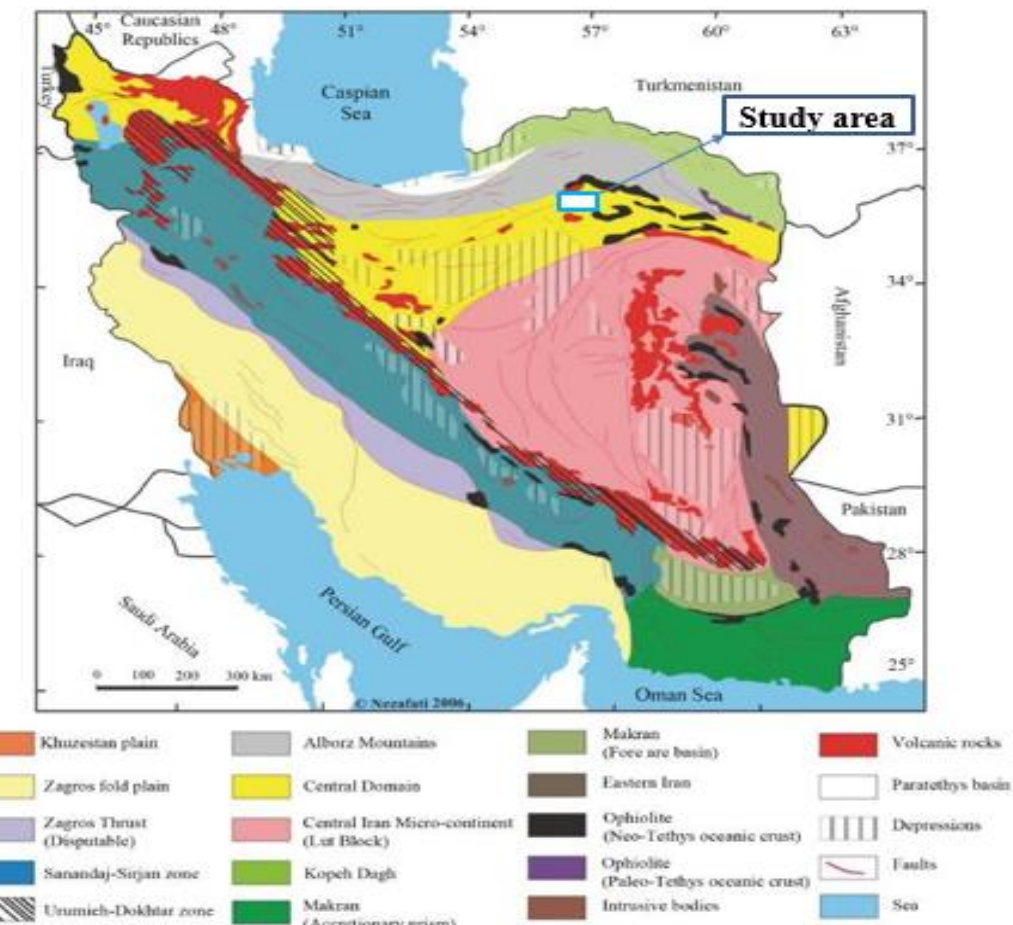
کانسارهای گروه مانتو در ایران به طور عمده دارای سنگ میزبان با سن ائوسن پسین هستند. (سامانی، ۱۳۸۱)، کانسارهای موجود در منطقه عباس آباد شاهروود، یکی از مهم ترین این کانسارها در ایران را شامل می شوند (خادم، ۱۹۶۴). کانسارهای کشت محکی بویری کناری، (بویری کناری، ۱۳۸۹)، قبله بولاغ (بهزادی، ۱۳۷۳) و وشنویه (مهرابی و فاضلی، ۱۳۸۰) نیز در این گروه قرار می گیرند. به جز کانسار کشت محکی که در پهنه سنندج سیرجان واقع است و سن کانه زایی در آن مربوط به کرتاسه است، سایر کانسارهای گروه مانتو شناسایی شده در ایران دارای سن ائوسن هستند.

فصل دوم:

زمین‌شناسی ناحیه‌ای

۱-۲ - مقدمه:

سرزمین ایران، از نظر زمین شناسی، به واحدهای مختلفی تقسیم شده است . حد مرز این واحدهای ساختاری -رسوبی، اغلب توسط گسل‌های بزرگ و مهم مشخص می‌گردد. به علاوه، بسیاری از آن‌ها در طول تکامل و فعالیت خود، نقش‌آفرین پدیده‌هایی بوده‌اند که حال آن‌ها در رخساره‌های سازنده‌ای مختلف چینه شناسی ایران به خوبی مشاهده می‌گردد(آقانباتی، ۱۳۸۳). محدوده معدنی فرومد و اندیس‌های مورد مطالعه در شمال کاهک و جنوب فرومد در زیر پهنه ساختاری سبزوار قرار گرفته است. (شکل ۲-۱). این پهنه قسمتی از ایران مرکزی می‌باشد. که از پهنه‌های ساختاری بلوک‌های لوت، طبس، پشت بادام، بزد و زیرپهنه سبزوار تشکیل شده است (Alavi, 1991) . در دوران ترشیری در پهنه ساختاری ایران مرکزی فعالیت‌های ماقمایی بسیاری انجام شده است که نتیجه آن ایجاد نوار آتشفشنای عباس‌آباد - کاهک در جنوب نوار افیولیتی سبزوار و در لبه‌ی شمال‌شرقی پهنه ساختاری ایران مرکزی می‌باشد، سنگ‌های آتشفشنای ائوسن در نوار عباس‌آباد - داورزن در یک محیط کششی درون کمانی نهشته شده است (Ghasemi and Rezaei-Kahkhaei, 2015).



شکل ۱-۲: نقشه زمین‌شناسی- ساختاری ایران و موقعیت منطقه مورد مطالعه.

۲-۲- ویژگی های پهنه ساختاری ایران مرکزی در تروشیری:

حوضه فروافتاده ایران مرکزی یکی از واحدهای اصلی و عمده‌ای می‌باشد که به شکل مثلث در مرکز ایران قرار دارد و جزء بزرگترین و پیچیده‌ترین واحد زمین‌شناسی محسوب می‌شود که از سمت شمال به پهنه زمین‌ساختی البرز و از سمت جنوب‌غرب و غرب به پهنه زاگرس منتهی می‌شود (درویش زاده، ۱۳۸۱). در ایران مرکزی، بیشتر سنگ‌های پالئوسن انباشته‌های کنگلومرایی حاصل از چرخه‌های فرسایشی رخداد لارامین هستند. سنگ‌های ائوسن گاهی نشانگر تکاپوهای آتشفسانی و گاهی انباشته‌های فلیش گونه‌اند که در حاشیه‌ی قاره‌ها انباشته شده‌اند. عملکرد رخداد پیرنئن موجب برقراری محیط‌های اکسیدی-قاره‌ای محدود شده به همین رو سنگ‌های الیگوسن ایران مرکزی

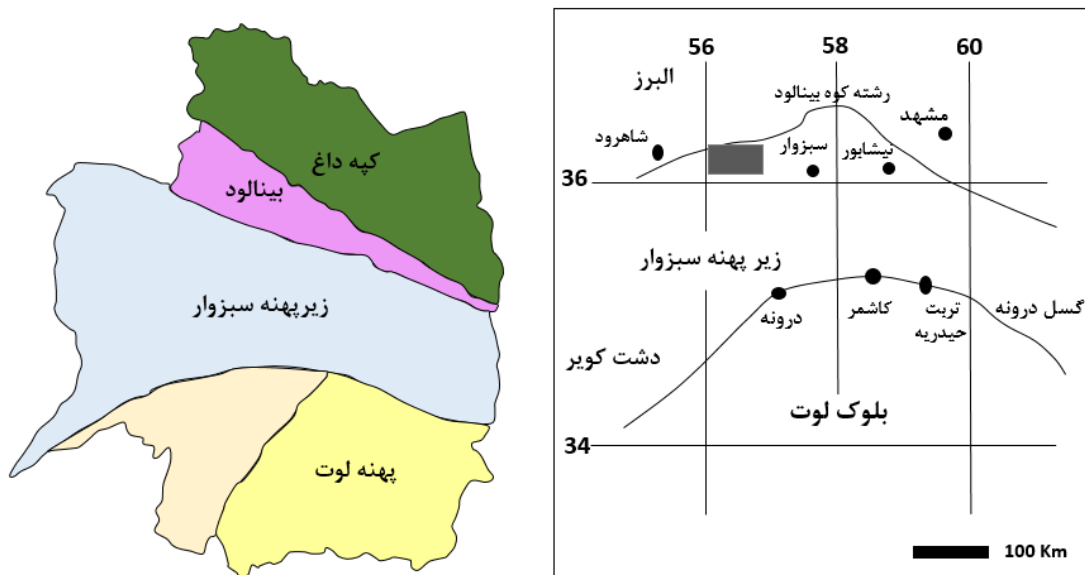
گسترش محدود دارند و بیشتر از نوع مارن-سنگ ماسه و کنگلومرا هستند (سازند سرخ پایینی) که رنگ سرخ دارند. پس از رخداد پیرنئن، در اواخر الیگوسن بخش باختری ایران مرکزی (قم، ماکو، آذربایجان، تفرش، کاشان و...) با دریایی پیشرونده‌ی الیگوسن-میوسن پوشیده شده است.

سنگ‌های این دریایی پیشرونده کربنات‌های سکویی نوع رمپاند (سازند قم) که در محیط‌های کم‌ژرفابه نباشند و نشان می‌دهند که در این زمان (الیگوسن-میوسن) قسمت‌های باختری ایران مرکزی زیر دریایی پیشرونده‌ای بوده است که به احتمال از زاگرس به این ناحیه آمده است.

سنگ‌های نئوزن ایران مرکزی انباسته‌های قاره‌ای-اکسیدی هستند و نشانگر آنند که از میوسن پیشین، با پسروی دریا، محیط‌های قاره‌ای حاکم شده که تا زمان پلیوسن و حتی کواترنر ادامه یافته است (آقانباتی، ۱۳۸۳).

از لحاظ موقعیت تکتونیکی، این منطقه در زیرپهنه تکتونیزه سبزوار قرار گرفته است. زیرپهنه سبزوار از زیر پهنه‌های ساختاری بزرگ ایران مرکزی می‌باشد. این ناحیه بین دو گسل بزرگ درونه در جنوب و گسل بینالود در شمال واقع شده است. این زیرپهنه از شمال با زیرپهنه بینالود و از جنوب با زیرپهنه بلوك لوت در ارتباط تکتونیکی و گسله می‌باشد (Lindenberg et al, ۲-۲). این ارتباط تکتونیکی و گسله می‌باشد (1983).

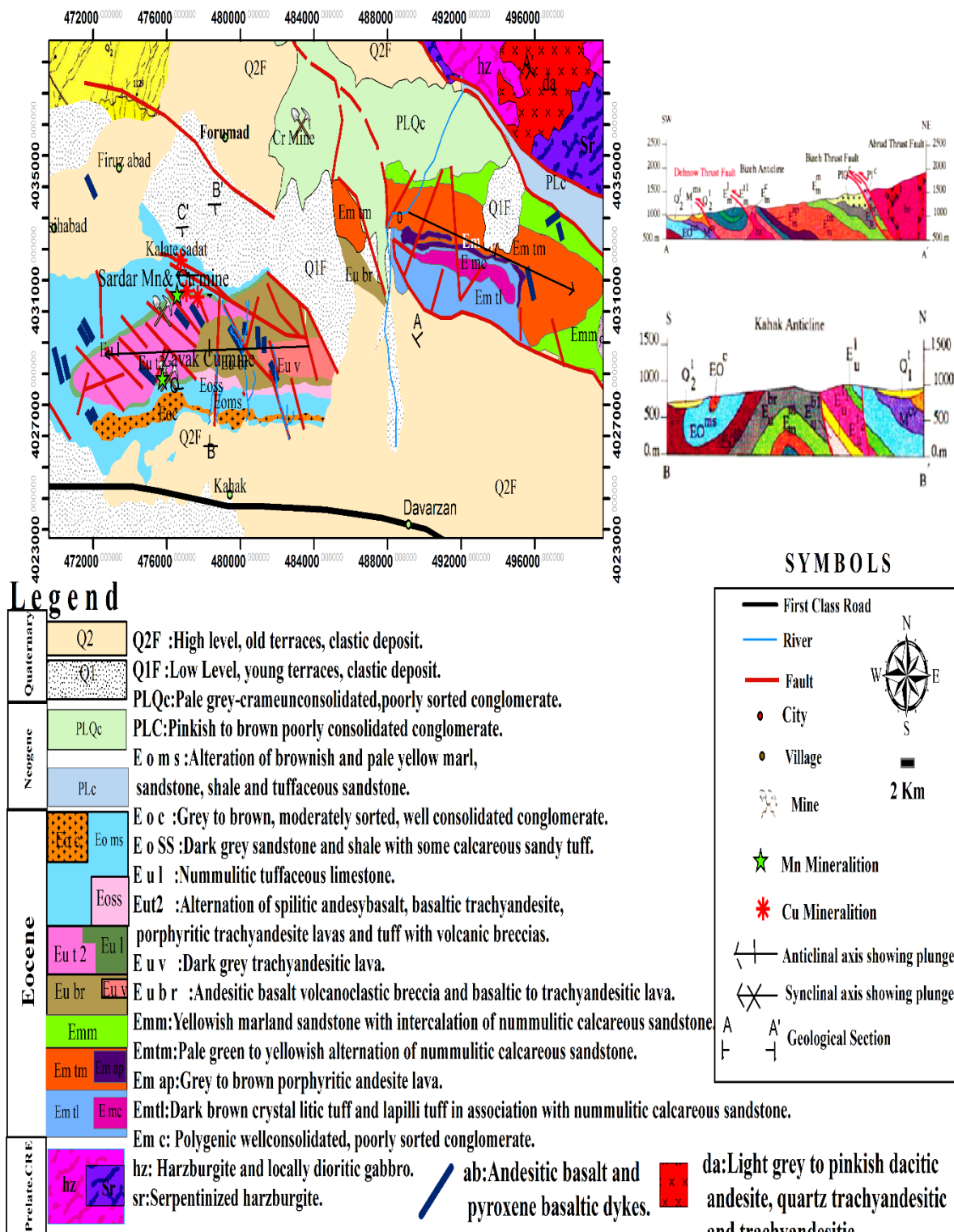
به گفته برخی از مؤلفین، در کرتاسه بالایی، بر اثر همگرایی بلوك لوت و خردہ بلوك‌های مجاور آن با البرز شرقی در ناحیه بینالود، حوضه سبزوار که شاخه‌ای از اقیانوس نئوتیس بوده است، بر اثر فرورانش پوسته اقیانوسی به سوی شمال بسته شده و سبب رخمنون بقایای افیولیتی ناحیه سبزوار شده است (Berberian and King, 1981).



شکل ۲-۲: پهنه بندی خراسان رضوی و موقعیت زیر پهنه سبزوار در ایران مرکزی حیدری و مناف نژاد ۱۳۷۸.

۲-۳-۲- چینه‌شناسی

منطقه مورد مطالعه در قسمت میانی نقشه زمین‌شناسی ۱/۲۵۰۰۰۰ جاجرم (آقانباتی و افتخارنژاد ۱۳۷۱) و در قسمت شمالی ورقه‌ی زمین‌شناسی ۱/۱۰۰۰۰ داورزن (رادفروکهنسال، ۱۳۷۱) واقع شده‌است. نقشه زمین‌شناسی منطقه از قدیم به جدید در زیر به اختصار آورده شده است (شکل ۲-۳).



شکل ۲-۳: نقشه زمین‌شناسی ناحیه مورد مطالعه که بر اساس تلفیقی از نقشه زمین‌شناسی ۱:۱۰۰۰۰۰ داورزن (رادفر و

کهنسل ۱۳۷۱) و تصاویر ماهواره‌ای و مشاهدات صحرایی ترسیم شده است.

۱-۳-۲ مزوژوئیک:

با توجه به بررسی‌های زمین شناسی ورقه‌ی داورزن، بخش‌های شمال شرق تا غرب این ورقه متعلق به زون افیولیتی شمال سبزوار می‌باشد که دارای روند شمالی-جنوبی است. افیولیت‌های شمال سبزوار با افیولیت‌های مزوژوئیک حاشیه خردقاره شمال ایران مرکزی وابستگی دارد و در ریفت‌های کوچک کرتاسه تشکیل شده است. قدیمی‌ترین واحدهای سنگی منطقه واحدهای هارزبورژیتی و سرپانتینی شده (hr, sr) هستند که در بعضی نقاط با گابرو‌دیوریت‌ها همراهی دارند و متعلق به زون افیولیتی هستند که سن آن‌ها قبل از کرتاسه پسین بوده است.

۲-۳-۲ سنوزوئیک:

ترشیری با مجموعه فعالیت‌های آتشفسانی آغاز می‌گردد که مربوط به جنبش‌های کوهزایی لارامید می‌باشد که در ائوسن به اوج رسیده است. نشست کف حوضه رسوبی و پیش‌روی دریا در اواسط ائوسن با یک واحد کنگلومرازی آغاز می‌شود. سپس رسوبات بستر دریایی نومولیت‌دار ائوسن بالایی که معرف محیط کم عمق است در پی آن می‌آیند. بعد از آن با بالا آمدن کف دریا یک رژیم آواری بر سراسر ناحیه حکم‌فرما شده است و سازند قرمز الیگوسن را برجای گذاشته است. در اواخر الیگوسن با نشست دوباره کف حوضه در مدت کوتاهی مجدداً یک رژیم دریایی مستقر می‌گردد و ضخامت بسیار کمی از تناوب شیل و آهک را بوجود می‌آورد. اما پس از آن شرایط دریایی دیگری مشاهده نشده است و یک رژیم آواری کولاپی در منطقه حکم‌فرما است. بطور کلی رخساره‌های ترشیری منطقه به دو دسته رخساره‌های پالئوژن و نئوژن تقسیم می‌شود. پالئوژن شامل: پالئوسن، ائوسن و الیگوسن بوده است بطوری‌که رخساره‌های پالئوسن از کنگلومرا و ماسه‌سنگ تشکیل شده که در این منطقه مشاهده نشده است. در حالیکه ائوسن عمدها شامل رخساره‌های آتشفسانی-رسوبی است و بیانگر اوج فعالیت‌های آتشفسانی در این زمان می‌باشد، در شمال غرب منطقه سنگ‌های گدازه‌ای و آذرآواری با روند شمال شرق-جنوب غرب قابل مشاهده است. به طور عمده واحدهای الیگوسن در این ناحیه متشكل

از واحدهای ماسهسنگی و کنگلومرایی بوده است که در قسمت‌های شمالی و جنوبی تاقدیس کاهک رؤیت می‌شود. نئوژن شامل مارن‌های میوسن و کنگلومرای پلیوسن می‌باشد که وجه تشابه فراوانی با رخساره‌های قسمت فوقاری سازند قم و سری قرمز فوقاری دارد.

بطور کلی جدا از قسمت‌های شمالی، شرقی و شمال‌شرقی منطقه که مربوط به واحدهای افیولیتی مزووزوئیک می‌باشد، دیگر واحدهای سنگ چینه‌ای منطقه مربوط به ائوسن می‌باشد که شامل:

الف: واحدهای مربوط به ائوسن میانی که در تاقدیس بیزه رخنمون دارد و شامل کنگلومرای چندزادی با جورشدگی ضعیف و سخت شدگی خوب، توف قطعه‌دار بلورین و لاپیلی توف قهوهای تیره همراه با ماسه سنگ آهکی، گدازه، آندزیت پورفیری خاکستری تا قهوهای، تناوب مارن، توف بلورین شیشه‌ای اسیدی با ماسه سنگ آهکی نومولیت‌دار سبز کمرنگ مایل به زرد، مارن و ماسه سنگ مایل به زرد با بین لایه‌های ماسه سنگ آهکی نومولیت‌دار است و همانطور که بیان شد حاصل رویداد کوهزایی لارامید می‌باشد.

ب: واحدهای مربوط به ائوسن بالایی که در تاقدیس کاهک رخنمون دارد و شامل توالی‌های آتشفسانی-رسوبی ائوسن بالایی و تخریبی‌های ائوسن-الیگوسن است. سنگ‌های آتشفسانی آن شامل آندزیت، تراکی آندزیت، آندزیت بازالت و تراکی آندزی بازالت است که کانی‌های آن به طور عمده شامل پلازیوکلاز، پیروکسن، آمفیبول و بیوتیت می‌باشد. پلازیوکلازهای آن به سریسیت و کانی‌های فرومیزین به کلریت دگرسان شده است که بیانگر تشکیل سنگ‌ها در محیط زیرآبی و درون حوضه‌ای رسوبی است.

۴-۲- ماگماتیسم منطقه:

ماگماتیسم موجود در منطقه مورد مطالعه شامل دو دسته سنگ است که عبارتند از:

۱-۴-۲- سنگ‌های نفوذی :

سنگ‌های نفوذی سنگ‌های نفوذی این ناحیه، مونزودیوریت-مونزونیت است که در جنوب منطقه، در منتهی الیه شرق تاقدیس کاهک، درون سنگ‌های آتشفسانی تراکی آندزیت، به رنگ خاکستری روشن بروند دارد. این توده‌ی تماماً بلورین، با بافت دانه‌ای متوسط تا درشت دانه، با درشت بلورهای آلکالی فلدسپات و پلازیوکلаз همراه است. این توده نفوذی، سنگ‌های آتشفسانی ائوسن را بریده و در محل همبrij آن‌ها سیلیسی شده است. چون این سنگ‌های آتشفسانی، خود با دایک‌های دیابازی بریده می‌شود، چنین پنداشته می‌شود که سن توده آذرین نفوذی الیگوسن باشد.

۲-۴-۲- سنگ‌های بیرونی:

این نوع سنگ‌ها در این ناحیه عبارتند از:

واحد آندزیت داسیتی، تراکی آندزیت (da):

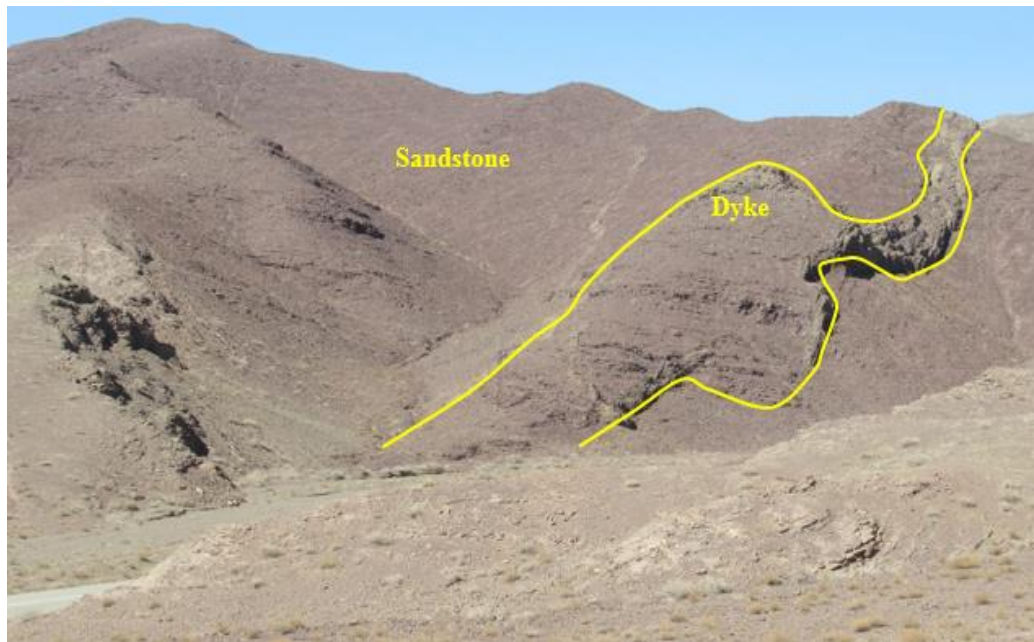
رنگ این واحدها خاکستری روشن مایل به صورتی می‌باشد و به بعد از پلیوسن نسبت داده می‌شود.

واحد دایک و سیل گرانیتی (gr):

این واحد، درون هارزبورژیت‌های شمال شرق منطقه تزریق شده است.

واحد دایک‌های آندزی بازالت و پیروکسن بازالت (ab):

درون واحدهای آتشفسانی ائوسن بالایی و واحدهای تخریبی الیگوسن با روند شمال غرب-جنوب شرق و همروند گسل‌های نرمال منطقه، تزریق شده و از نظر سنی جوان‌تر از این واحدها می‌باشند. واحدهای ائوسن بالایی شامل برش ولکانوکلاستیک آندزی بازالت و گدازه‌های بازالتی تا تراکی آندزیت و تناوب گدازه‌های آندزی بازالت اسپلیتی، تراکی آندزی بازالت، تراکی آندزیت پورفیری و توف با برش آتشفسانی بوده و واحدهای الیگوسن، تناوب مارن، ماسه‌سنگ شیل و ماسه سنگ توفی مایل به قهوه ای و زرد کمرنگ می‌باشد(شکل ۲-۴).



شکل ۴-۲: رخمنون دایک قطع کننده‌ی ماسه‌سنگهای ائوسن-الیگوسن.

کواترنر:

در قسمت‌های جنوبی منطقه، بیشترین مساحت را رخساره‌های عهد حاضر پوشش می‌دهند. نهشته‌های کواترنری در منطقه به ترتیب سنی عبارتند از پادگانه‌های قدیمی و جوان، مخروط افکنه‌ها، مخروطهای آبرفتی، واریزه‌ها، تپه‌ها، پهنه‌های ماسه‌ای، آبرفت‌های عهد حاضر و پهنه‌های رسی می‌باشد.

۵-۲ - زمین ساخت منطقه:

در دو بخش، فازهای کوهزایی و ساختارهای زمین‌ساختی مورد بررسی قرار می‌گیرد:

۱-۵-۲ - فازهای کوهزایی و جغرافیای دیرینه منطقه:

شروع رخساره‌های سنگی ائوسن، کنگلومرای قرمز رنگی است که به خاطر وقفه زمانی و رسوبگذاری، به صورت ناپیوستگی هم‌شیب بر روی آهک‌های کرتاسه پسین، در ادامه رخداد لارامید و پیشروی دریا در پالئوزن نهشته شده است (جاده نهالدان، تاقدیس بیزه). بنابراین رخداد لارامید (کرتاسه-پالئوسن)

فعالیت‌های آتشفشنانی و آذرآواری شدیدی را در منطقه سبب شده که تا ائوسن به اوج خود رسیده است. این آتشفشنان‌ها اکثرا در زیر آبهای کم‌عمق تشکیل شده‌اند و ترکیب اصلی آنها اساساً آندزیتی و توف‌های وابسته به آن می‌باشد. به احتمال زیاد، خداد پیرنه نیز در ظهور و شدت این آتشفشنان‌ها در منطقه موثر بوده است. از طرفی دیگر، این رخداد، که در سر حد ائوسن-الیگوسن به وقوع پیوسته است. لذا رسوبگذاری در محیط‌های خشکی به ضخامت بسیار زیاد انجام گرفته است. به طور کلی می‌توان چنین گفت که رویدادهای زمین‌ساختی آلپی میانی باعث کجشدنگی و چین‌خوردگی ملایم سازندهای الیگومیوسن گردیده است که نتیجه این رویداد در عبور از مسیر جاده کاهک-فرودم به وضوح قابل مشاهده است. حرکات آلپ پسین نیز تاثیرات بسیار مهمی در منطقه داشته است از جمله چین‌خوردگیها و فعالیت گسل‌ها و در نتیجه زلزله‌های شدیدی را در منطقه به دنبال داشته است. به اعتقاد اشتولکلین (۱۹۷۲) تغییر شکل‌های آلپ پسین موجب ناپیوستگی در قاعده پلیوسن بالایی و رسوبات رس، مارن و ماسه تورنین، سامارتین در میوسن پسین گردیده است و جدیدترین حرکات چین‌خوردگی در پلیوسن-پلیوستن رخ داده است. تنها این فاز چین‌خوردگی به نام پاسادنین است که جدیدترین فازهای چهره‌ساز منطقه اعم از تاقدیس‌ها و ناودیس‌های طویل و موازی را ایجاد کرده است و هنوز هم این حرکات خاتمه نیافته است. فرسایش بعدی ارتفاعات، در طی پلیوسن و تهنشست آن‌ها در حوضه‌های جدا و کوچک باعث ایجاد کنگلومراهای پلیوسن گردیده است (نادری، ۱۳۷۱).

۲-۵-۲ - ساختارهای زمین‌ساختی:

ساختارهای زمین‌ساختی در منطقه مورد مطالعه شامل گسل‌ها و چین‌خوردگی‌ها می‌باشد.

۱-۲-۵-۲ - گسل‌ها:

در منطقه مورد مطالعه گسل‌ها به دو نوع تقسیم می‌شوند: ۱- گسل‌های راندگی ۲- گسل‌های امتدادی راستالغز (شکل ۲-۵-۲)

گسل‌های راندگی یا فشارشی :

گسل راندگی آبرود:

این گسل روندی خاوری-باختری دارد، ولی در حوالی روستای بیزه خمدار شده و روند شمال باختری-جنوب خاوری پیدا می‌کند. این گسل باعث راندگی بخش‌هایی از سنگ‌های واحد hz و sr بر روی کنگلومراهای پلیوسن و کنگلومراهای کواترنر شده است. جنبش‌های نخستین این گسل در کرتاسه پسین انجام شده است و موجب در هم آمیختن سنگ‌های گوناگون پوسته اقیانوسی از یک سو و بالا آمدن و راندگی آن‌ها بر روی بخش‌های حاشیه‌ای شده است. دومین جنبش گسل آبرود در ائوسن میانی رخ داده است و بر اثر آن حوضه رسوبی این بخش از ناوه سبزوار به کلی بسته شده است و دریای ائوسن میانی به این بخش‌ها گسترش نیافته است.

گسل راندگی بیزه:

این گسل رورانده، با راستای خمدار شمال باختری-جنوب خاوری و شیب ۴۵-۳۰ درجه به سمت شمال خاوری با درازای نزدیک به ۱۱ کیلومتر، که به تقریب از ۵ کیلومتری جنوب خاوری روستای بیزه وارد منطقه می‌شود و با گذشتן از کنار روستای بیزه با همان روند پیشین خمشی شدید می‌یابد، و در حوالی روستای مور بر اثر سازوکار گسل‌های راستالغز چپ بر که از این محل می‌گذرند (با روند شمال خاوری-جنوب باختری) روند گسل بیزه خاوری-باختری می‌شود. کمی بالاتر با گسل آبرود پیوند می‌خورد و یک شاخه را تشکیل می‌دهد.

گسل راندگی دهنو:

راندگی دهنو در جنوب باختری راندگی‌های بیزه و آبرود جای دارد. تنها ۱۲ کیلومتر از در این نقشه قابل رویت است. راستای آن از مرز خاوری نقشه تا حدود مزرعه شورآب خاوری-باختری و از این محل تا شمال باختر روستای دهنو شمال باختری-جنوب خاوری، با شبیه حدود ۴۵-۳۵ درجه به سمت شمال خاوری است.

گسل روراندگی قلیچ: این گسل در شمال شرق روستای فرومد گسترش داشته و یکی از گسل‌های اصلی ناحیه محسوب می‌شود که از گسترش طولی قابل توجهی برخوردار است. این روراندگی مرز میان سنگ‌های افیولیتی ائوسن را با نهشته‌های جوان‌تر کواترنری معین می‌سازد.

گسل راندگی سیربابا: این گسل در شمال کوه گر (علی‌آباد) و گسل قلیچ جای دارد و مرز میان سنگ‌های گابرویی، در شمال و سنگ‌های سرپانتینی و هارزبورژیتی در جنوب را مشخص می‌کند. این گسل در ادامه به طرف غرب به گسل قلیچ متصل گردیده و ناپدید می‌شود.

گسل راندگی منیدر: این گسل مرز میان واحدهای آتش‌فشانی-رسوبی کرتاسه (مربوط به افیولیت‌ها) در شمال و واحدهای مخلوط زمین‌ساختی، سنگ‌های آتش‌فشانی-رسوبی ائوسن و نهشته‌های نئوژن در جنوب را تشکیل می‌دهد.

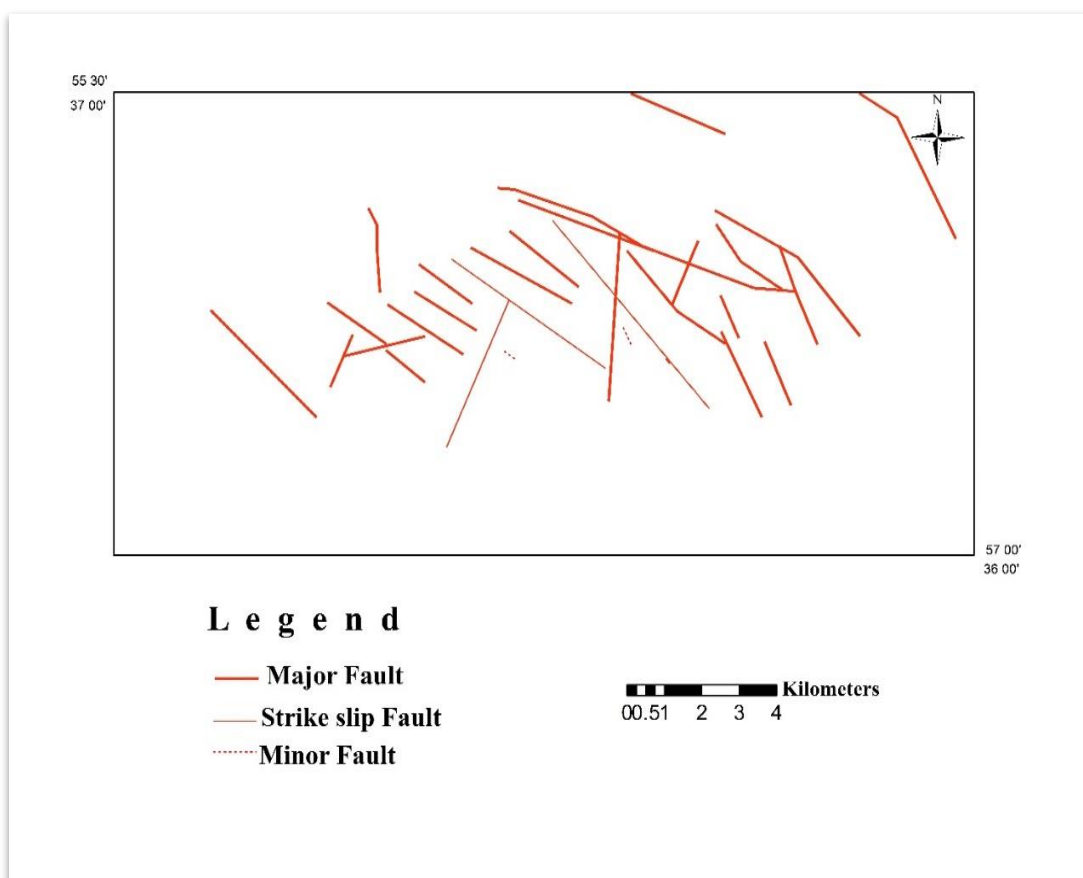
گسل راندگی دستوران: این گسل از اهمیت بسزایی برخوردار است. چرا که این گسل مرز میان مجموعه آتش‌فشانی-رسوبی ائوسن و بخشی از افیولیت‌ها در جنوب با نهشته‌های رسوبی ائوسن و پلیوسن-کواترنر در شمال است. این گسل گسترش مجموعه افیولیتی را به سوی شمال محدود می‌کند، به طوری که در شمال این گسل، رخنمونی از سنگ سنگ‌های افیولیتی وجود ندارد. علاوه بر سنگ‌های افیولیتی، توده‌های نیمه عمیق داسیتی (da)، که در کمربند افیولیتی سبزوار از گسترش قابل توجهی برخوردار است نیز در شمال گسل دستوران ناپدید شده و اثری از آن مشاهده نمی‌شود.

این گسل بخشی از گسل طویل میامی است که حد شرقی آن فرورفتگی ناحیه، تربت شیخ جام و حد غربی این گسل در جنوب غربی شهرود و در زیر رسوبات عهد حاضر و کویر دامغان ناپدید می‌شود. حد شمالی گسل میامی بیشتر زمین‌های آبرفتی و کوهپایه‌ای، ولی حد جنوبی آن کوهستانی است. بخشی از گسل میامی که در میان ورقه فرومد مشاهده می‌شود امتداد شرقی-غربی دارد که حد جنوبی آن جداکننده ملاتزهای افیولیتی از واحدهای دیگر است، بنابراین گسل شهرود(میامی)، حد شمالی ریفت سبزوار-شهرود، طی زمان کرتاسه به شمار می‌رفته است و به عقیده اشتامپلی (۱۹۷۸)، گسل شهرود تا آخرین مراحل چین خوردگی آلپی در پلیوسن عملکرد راستگرد داشته‌است. افزون بر

آن‌ها سیستم‌های متقاطع نیز وجود دارد، که فرصت‌هایی مناسب را برای فوران گدازه‌های آتشفشاری ائوسن ایجاد کرده است.

گسل‌های امتداد لغز: در منطقه مورد مطالعه، گسل‌هایی که دارای روند تقریبی شمالی-جنوبی و شمال خاوری-جنوب باختری می‌باشند گسل‌های امتداد لغز به شمار می‌آیند که بطور عموم گسل‌های راندگی بزرگ منطقه را بریده و در برخی موارد جابجا کرده است. گسترش طولی این‌ها نسبت به گسل‌های فشاری کمتر ولی شبیه بیشتری دارند. آنچنان که گاه تند و نزدیک به قائم هستند.

گسل فرومود: این گسل در روند شمال‌غرب-جنوب شرق امتداد یافته و مرز بین نهشته‌های کنگلومرایی PLQ^c و آبرفت‌های جوان ^۱Q₁ و ^۲Q₂ را در شمال روستای فرومود تشکیل می‌دهد. این گسل احتمالاً جزو جوان‌ترین گسل‌های منطقه است.



شکل ۲-۵: نقشه پراکندگی گسل‌های منطقه با استفاده از نقشه زمین‌شناسی ۱:۱۰۰۰۰۰ داورزن.

۲-۵-۲- چین خوردگی‌ها:

در ورقه داورزن ساختمانی چین خورده دیده می‌شود. چین‌های موجود در منطقه بصورت دو تاقدیس بزرگ با طول‌های بیش از ده کیلومتر با شیب لایه‌های ۴۵ تا ۶۰ درجه می‌باشد که دلیل آن عملکرد فاز کششی در منطقه جهت کافت‌زایی و تشکیل افیولیت‌ها و به دنبال آن ایجاد گسل‌های نرمال فراوان با روند عمومی شمال‌غرب -جنوب شرق است(شکل ۲-۶). همچنین در رسوبات نئوژن منطقه مورد بررسی نیز چین‌هایی ملایم ایجاد شده است.



شکل ۲-۶: نمایی از چین خوردگی‌های ماسه‌سنگ اوسن-الیگوسن.

این تاقدیس‌ها شامل:

۱-تاقدیس بیزه: نام تاقدیس بیزه از نام روستای بیزه که در یال شمالی تاقدیس قرار دارد، گرفته شده است. این تاقدیس در یال جنوبی برگشته و سپس در همان یال دچار گسلش رورانده شده و بخش اساسی یال جنوبی را از دست داده است. تاقدیس نا متقارن بیزه با روند محوری شمال غرب-جنوب شرق و به سن اوسن میانی واقع در جنوب واحدهای هارزبورژیتی کرتاسه است که توسط دو گسل راندگی آبرود-بیزه از این واحدهای سنگی جدا شده و بطور ناپیوسته روی آن‌ها قرار گرفته است.

۲- تاقدیس کاهک: نام تاقدیس کاهک از نام روستای کاهک که در جنوب یال جنوبی تاقدیس قرار دارد، گرفته شده است. این تاقدیس با روند محوری شرقی- غربی و به سن ائوسن بالایی در غرب تاقدیس بیزه قرار دارد. در رسوبات الیگوسن جنوب ناحیه مورد بررسی نیز چین‌هایی قابل رویت است که که محور آن‌ها هم راستای گسل‌های اصلی منطقه، با همان روند شمال غرب-جنوب شرق می-باشد(شکل ۷-۲).



شکل ۷-۲: تصویر ماهواره‌ای از دو تاقدیس بیزه و کاهک در ناحیه.

۶-۲- زمین‌شناسی اقتصادی:

در منطقه مورد مطالعه آثار معدنی به چهره کانی‌زایی فلزی به شرح زیر شناخته شده است.

کانی‌های فلزی:

در جنوب تا جنوب خاوری روستای کلاته عبدل تا باختر روستای فیروزآباد پایین در واحدهای گوناگون اثوسن بالایی اندیس‌های فراوانی از مس در پیکر کانی‌های مالاکیت و آزوریت یافت می‌شوند. این کانه‌ها رگه و رگچه‌هایی را درون بخش‌های گدازه‌ای و در مواردی آذرآواری پدید آورده‌اند. آثار سرباره‌های ذوب مس در جنوب باختری ورقه حاکی از بهره‌برداری کهن این مواد معدنی است. در همین ارتباط بقایای حفاری قدیمی در محله‌های مورد نظر را می‌توان گواه بود. این گودال‌های عظیم ناشی از برداشت حجم‌هایی شایان توجه از سنگ مس‌دار است. از جمله کانسارهای مهم در منطقه می‌توان به کانسار منگنز سردار، کرومیت فرومد، مس زواک اشاره کرد.

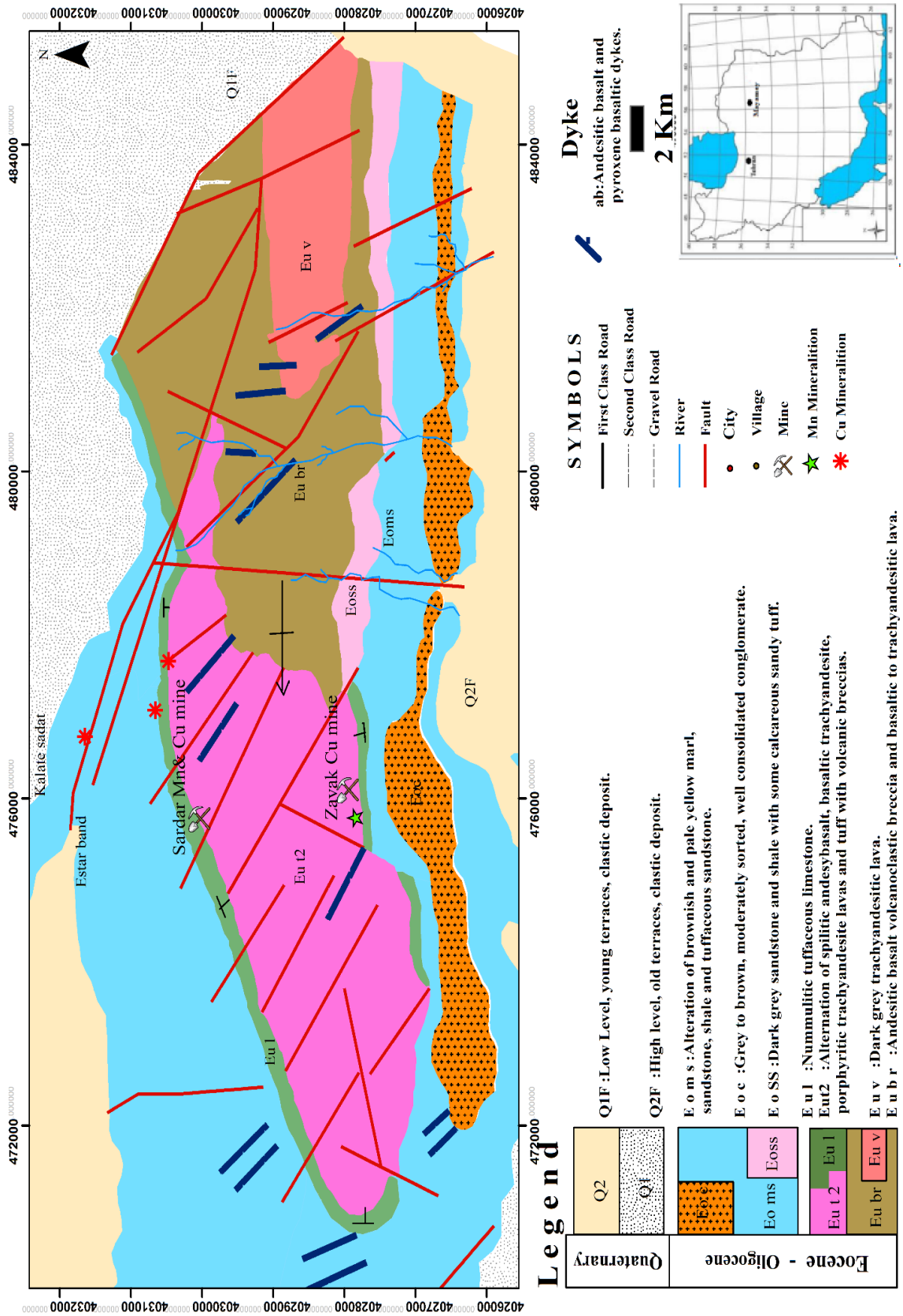
فصل سوم:

زمین‌شناسی و سنجش‌شناسی محدوده

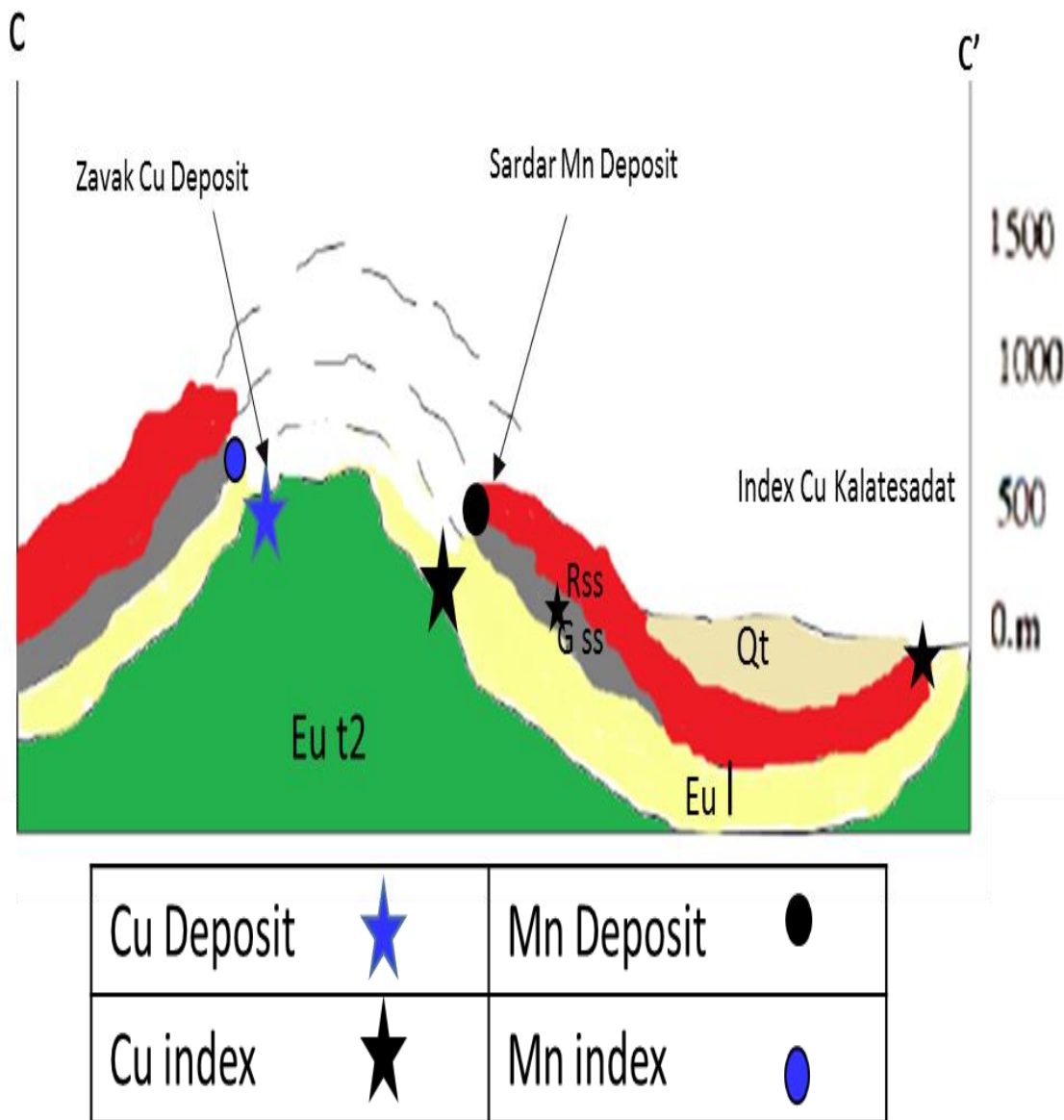
معدنی

۱-۳ - مقدمه

در این بخش پتروگرافی دو گروه عمدۀ سنگ‌های ناحیه از لحاظ نمونه دستی و مقطع میکروسکوپی مورد بررسی قرار می‌گیرند شامل: ۱- سنگ‌های آتشفسانی (گدازه و آگلومرا)، ۲- سنگ‌های رسوبی موجود در توالی منطقهمعدنی. همانطور که در فصل زمین‌شناسی ناحیه ای ذکر شد، منطقه مورد مطالعه، بخشی از نوار آتشفسانی عباس‌آباد-کاهک، در جنوب نوار افیولیتی سبزوار و در لبه‌ی شمال شرقی پهنه ساختاری ایران مرکزی می‌باشد. از آنجا که توالی آتشفسانی-رسوبی ائوسن میانی میزان کانه‌زایی مس می‌باشد، لذا سعی گردید تا با استفاده از نقشه ۱:۱۰۰۰۰ داورزن، تصاویر ماهواره‌ای و عملیات صحرایی (پیماش‌های عرضی) صورت گرفته در محدوده معدنی، ابتدا و نقشه زمین‌شناسی منطقه به همراه نیمرخ مربوط و ستون چینه‌شناسی عمومی (شکل ۲-۳) تهییه گردید (شکل ۱-۳).



Kahak Anticlinal



شکل ۳-۱: نقشه زمین‌شناسی منطقه مورد مطالعه که بر اساس تلفیقی از نقشه زمین‌شناسی ۱:۱۰۰۰۰ داورزن (رادفر و کهن‌سال ۱۳۷۱) و تصاویر ماهواره‌ای و مشاهدات صحرایی ترسیم شده است و مقطع شماتیک عرضی از واحدهای سنگی در تاقدیس کاهک که با استفاده از تلفیق مقاطع مختلفی که پیمایش شده ترسیم گردیده است.

Legend

Quaternary		Eocene										Prelate-CRE	
Q2	Q1	Neogene		Eocene		Prelate-CRE							
Q2F	Q1F	Q2F : High level, old terraces, clastic deposit.		Q1F:Low Level, young terraces, clastic deposit.		PLQc:Pale grey-crameunconsolidated,poorly sorted conglomerate.		PLC:Pinkish to brown poorly consolidated conglomerate.		Em s :Alteration of brownish and pale yellow marl,		Em c:Polygenic wellconsolidated, poorly sorted conglomerate.	
Q2	Q1	Q2 :High level, old terraces, clastic deposit.		Q1:Low Level, young terraces, clastic deposit.		PLQc:Pale grey-crameunconsolidated,poorly sorted conglomerate.		PLC:Pinkish to brown poorly consolidated conglomerate.		Em s :Alteration of brownish and pale yellow marl,		Em c:Polygenic wellconsolidated, poorly sorted conglomerate.	
PLQc	PLC	Em s :Grey to brown, moderately sorted, well consolidated conglomerate.		Em c :Dark grey sandstone and shale with some calcareous sandy tuff.		Eo c :Grey to brown, moderately sorted, well consolidated conglomerate.		Eo ms :Dark grey sandstone and shale with some calcareous sandy tuff.		Eo c :Grey to brown, moderately sorted, well consolidated conglomerate.		Em c:Polygenic wellconsolidated, poorly sorted conglomerate.	
Eo ms	Eo ss	Eo ms :Nummulitic tuffaceous limestone.		Eo ss :Nummulitic tuffaceous limestone.		Eu l :Nummulitic tuffaceous limestone.		Eu l :Nummulitic tuffaceous limestone.		Eu l :Nummulitic tuffaceous limestone.		Em c:Polygenic wellconsolidated, poorly sorted conglomerate.	
Eo c	Eo ss	Eu l :Alternation of spilitic andesybasalt, basaltic trachyandesite,		Eu l :Alternation of spilitic andesybasalt, basaltic trachyandesite,		Eu l :Alternation of spilitic andesybasalt, basaltic trachyandesite,		Eu l :Alternation of spilitic andesybasalt, basaltic trachyandesite,		Eu l :Alternation of spilitic andesybasalt, basaltic trachyandesite,		Em c:Polygenic wellconsolidated, poorly sorted conglomerate.	
Eo c	Eo ss	porphyritic trachyandesite lavas and tuff with volcanic breccias.		Eu l :Alternation of spilitic andesybasalt, basaltic trachyandesite,		Eu l :Alternation of spilitic andesybasalt, basaltic trachyandesite,		Eu l :Alternation of spilitic andesybasalt, basaltic trachyandesite,		Eu l :Alternation of spilitic andesybasalt, basaltic trachyandesite,		Em c:Polygenic wellconsolidated, poorly sorted conglomerate.	
Eo c	Eo ss	Eu v :Dark grey trachyandesitic lava.		Em c:Polygenic wellconsolidated, poorly sorted conglomerate.									
Eo c	Eo ss	Eu v :Andesitic basalt volcanoclastic breccia and basaltic to trachyandesitic lava.		Eu v :Andesitic basalt volcanoclastic breccia and basaltic to trachyandesitic lava.		Eu v :Andesitic basalt volcanoclastic breccia and basaltic to trachyandesitic lava.		Eu v :Andesitic basalt volcanoclastic breccia and basaltic to trachyandesitic lava.		Eu v :Andesitic basalt volcanoclastic breccia and basaltic to trachyandesitic lava.		Em c:Polygenic wellconsolidated, poorly sorted conglomerate.	
Eo c	Eo ss	Eu v :Yellowish marl and sandstone with intercalation of nummulitic calcareous sandstone.		Eu v :Yellowish marl and sandstone with intercalation of nummulitic calcareous sandstone.		Eu v :Yellowish marl and sandstone with intercalation of nummulitic calcareous sandstone.		Eu v :Yellowish marl and sandstone with intercalation of nummulitic calcareous sandstone.		Eu v :Yellowish marl and sandstone with intercalation of nummulitic calcareous sandstone.		Em c:Polygenic wellconsolidated, poorly sorted conglomerate.	
Eo c	Eo ss	Em tm :Pale green to yellowish alternation of nummulitic calcareous sandstone.		Em tm :Pale green to yellowish alternation of nummulitic calcareous sandstone.		Em tm :Pale green to yellowish alternation of nummulitic calcareous sandstone.		Em tm :Pale green to yellowish alternation of nummulitic calcareous sandstone.		Em tm :Pale green to yellowish alternation of nummulitic calcareous sandstone.		Em c:Polygenic wellconsolidated, poorly sorted conglomerate.	
Eo c	Eo ss	Em ap :Grey to brown porphyritic andesite lava.		Em ap :Grey to brown porphyritic andesite lava.		Em ap :Grey to brown porphyritic andesite lava.		Em ap :Grey to brown porphyritic andesite lava.		Em ap :Grey to brown porphyritic andesite lava.		Em c:Polygenic wellconsolidated, poorly sorted conglomerate.	
Eo c	Eo ss	Em tl :Dark brown crystal litic tuff and lapilli tuff in association with nummulitic calcareous sandstone.		Em tl :Dark brown crystal litic tuff and lapilli tuff in association with nummulitic calcareous sandstone.		Em tl :Dark brown crystal litic tuff and lapilli tuff in association with nummulitic calcareous sandstone.		Em tl :Dark brown crystal litic tuff and lapilli tuff in association with nummulitic calcareous sandstone.		Em tl :Dark brown crystal litic tuff and lapilli tuff in association with nummulitic calcareous sandstone.		Em c:Polygenic wellconsolidated, poorly sorted conglomerate.	
Eo c	Eo ss	Em tl :Harzburgite and locally dioritic gabbro.		Em tl :Harzburgite and locally dioritic gabbro.		Em tl :Harzburgite and locally dioritic gabbro.		Em tl :Harzburgite and locally dioritic gabbro.		Em tl :Harzburgite and locally dioritic gabbro.		Em c:Polygenic wellconsolidated, poorly sorted conglomerate.	
Eo c	Eo ss	Sr:Serpentinized harzburgite.		Em c:Polygenic wellconsolidated, poorly sorted conglomerate.									

شكل ۳-۲: ستون چینه شناسی ساده شده منطقه های بیزه-کاهک-عباس آباد بر اساس نقشه ۱:۱۰۰۰۰۰ عباس آباد و داورزن.

بنابراین با توجه به ستون چینه‌شناسی منطقه از توالی آتشفشاری-رسوبی هریک از واحدهای سنگی به ترتیب سن در زیر توضیح داده می‌شوند:

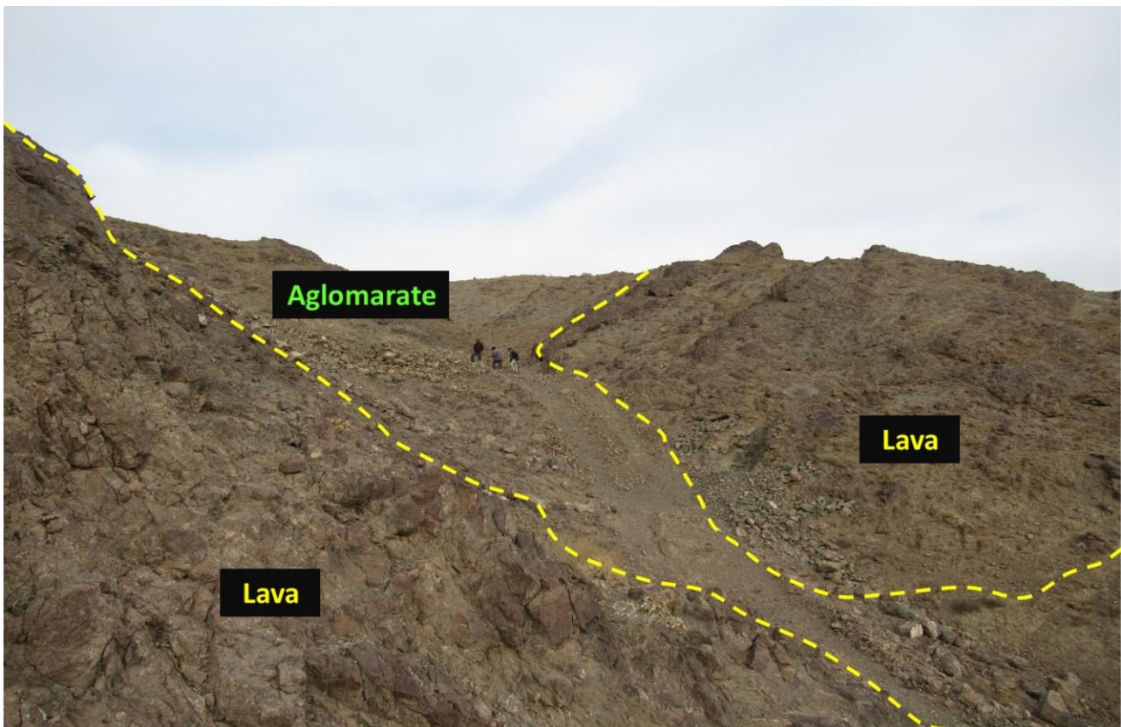
۲-۳- سنگ‌های آتشفشاری-رسوبی:

۱-۲-۳ - چینه‌شناسی و سنگ‌شناسی منطقه معدنی:

واحدهای سنگی ائوسن-الیگوسن در منطقه مورد مطالعه بر حسب جایگاه چینه‌شناسی و تغییرات ترکیب سنگ‌شناسی از پایین به بالا به پنج واحد اصلی (E_{st})، (E_{ut2})، (E_{st})، ($E_{o\ ms}$) و پادگانه‌های آبرفتی تقسیم می‌شوند.

۲-۲-۳ - واحد اول: سنگ‌های آتشفشاری (E_u^{12})

سنگ‌های آتشفشاری موجود در منطقه، قدیمی‌ترین واحد در محدوده مورد مطالعه است که دارای ستبرایی بیش از سه کیلومتر می‌باشد. این واحد سنگی شامل تناوبی از گدازه‌های آندزیتی-بازالتی و تراکی آندزیت در یال شمالی و تناوب گدازه و آگلومرا با ترکیب آندزیتی بازالتی در یال جنوبی بوده که بصورت لایه‌ای هسته‌ی تاقدیس کاهک را که دارای روند شرقی-غربی است تشکیل داده و از لحاظ ریخت‌شناسی دارای مرتفع‌ترین واحد سنگی در محدوده مورد مطالعه می‌باشد. شیب لایه‌بندی واحدهای سنگی بطور میانگین ۴۵ درجه به سمت شمال می‌باشد. واحد آگلومرا ای در یال جنوبی و در زیر آهک توفی نومولیت دار گسترش دارد که تناوب‌های کوچکی از گدازه در آن مشاهده می‌شود. اما در یال شمالی بیشتر از نوع گدازه بوده و دارای ترکیب تراکی آندزی بازالت می‌باشد و در زیر واحد آهکی گسترش دارد(شکل ۳-۳).



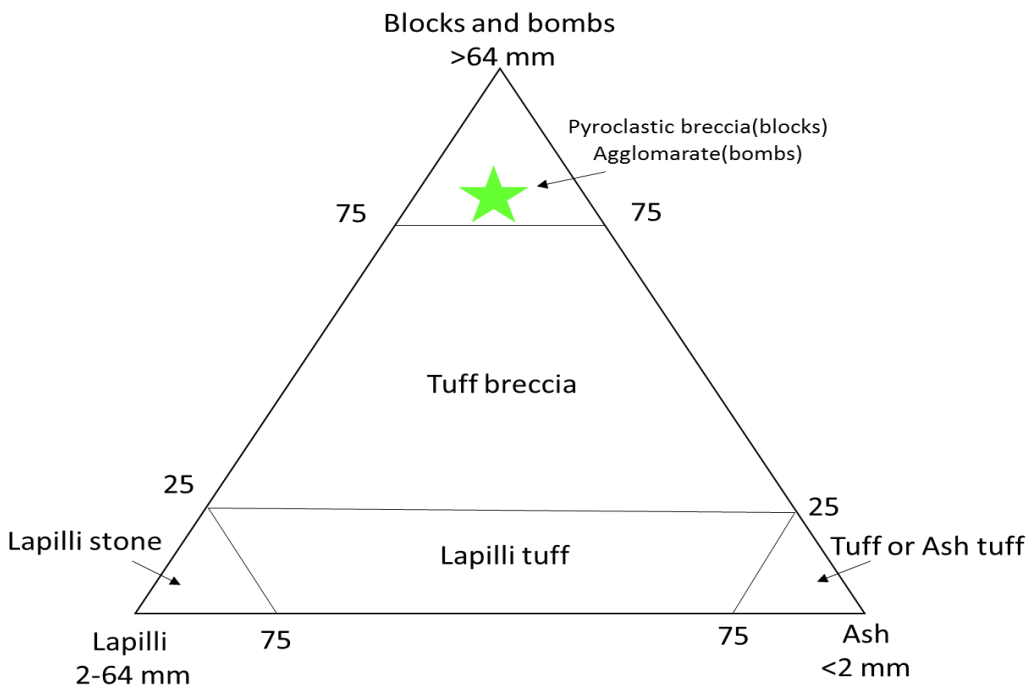
شکل ۳-۳: نمایی از واحد ($E_u^{t^2}$) در زواک.

۱-۲-۲-۳- گدازه‌های آندزیت- بازالتی

گدازه‌های آندزیتی- بازالتی در سطح هوازده به رنگ خاکستری متمایل به قهوه‌ایی و در سطح تازه خاکستری تیره و در برخی نقاط به دلیل آغشتگی اکسیدهای آهن به رنگ قرمز مشاهده می‌شود. در مطالعات میکروسکوپی کانی‌های اصلی شامل پلاژیوکلاز و پیروکسن است. بلورهای پلاژیوکلاز بیش از ۶۵ درصد حجم این سنگ‌ها را شامل می‌شود. پیروکسن‌ها بصورت فنوکریست‌های بی‌شکل و یا بصورت ریزبلور در زمینه سنگ وجود دارند و به شدت دچار انحلال و خوردگی شده‌اند. کانی‌های ثانویه را کلسیت، کوارتز و کلریت تشکیل می‌دهند. این زیر واحد در تناب در با آگلومرات آندزیتی- بازالتی، واحد اصلی ($E_u^{t^2}$) را تشکیل می‌دهد که هسته تاقدیس کاهک را شکل داده و با آهک‌های نومولیت دار روی خود بصورت بین انگشتی قرار گرفته است. احتمالاً گرمای ناشی از این سنگ‌ها دمای لازم برای رشد و تکثیر سریع نومولیت‌ها را فراهم آورده است.

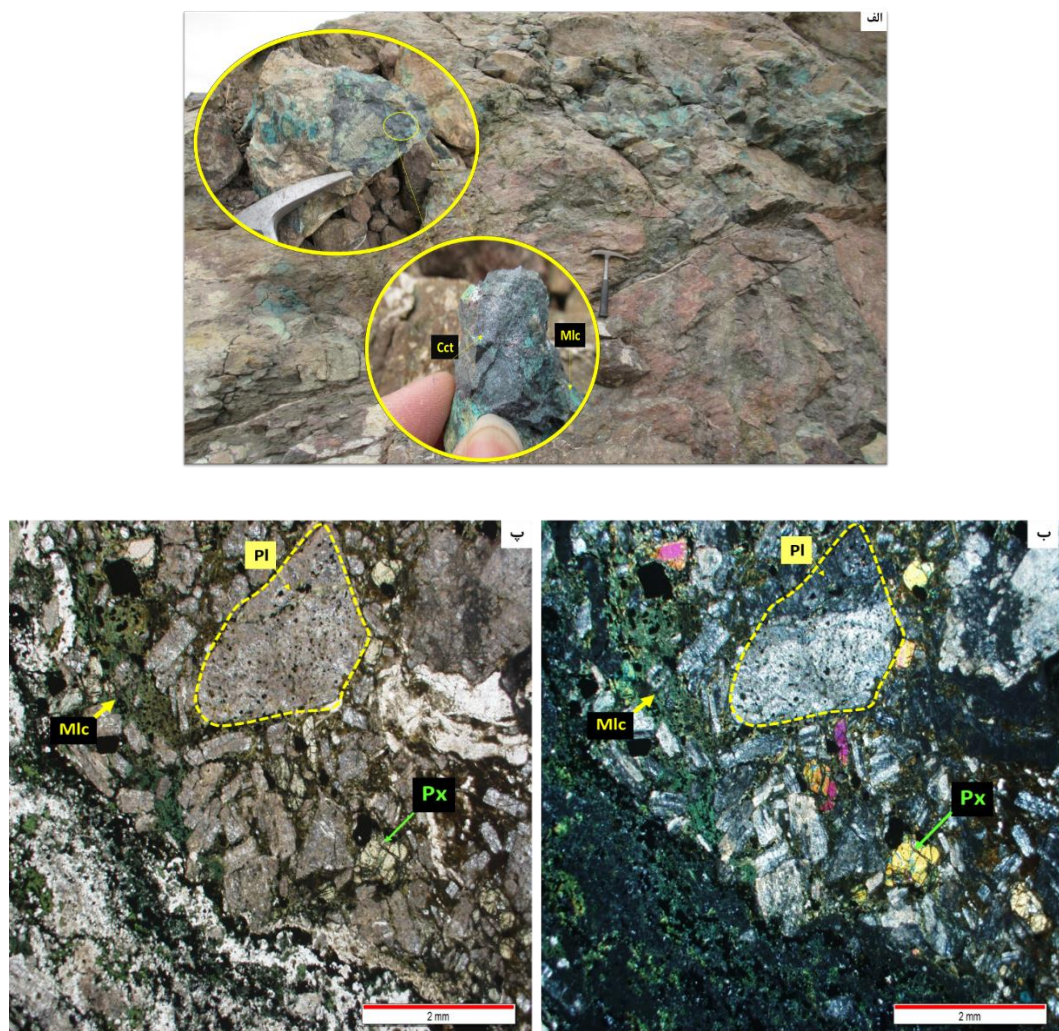
۲-۲-۲-۳- آگلومرای آندزیت- بازالتی

نهشته‌های آذرآواری منطقه مورد مطالعه به عنوان اولین فاز آتشفسانی پالئوژن و طیف وسیعی از قدیمی‌ترین رخنمون‌های منطقه را در بر می‌گیرند. در مشاهدات صحرایی این واحد بخش اعظم محدوده مورد مطالعه را در بر می‌گیرد و به صورت همروند با واحدهای گدازه‌ای رخنمون دارند و به رنگ‌های قهوه‌ای تا قرمز و خاکستری متمایل به سبز و با دگرسانی بسیار شدید مشخص می‌شوند. سنگ‌های آذرآواری منطقه در رده کریستال توف، لیتیک توف و آگلومرا قرار می‌گیرند. آگلومراهای مزبور دارای قطعاتی از سنگ‌های آتشفسانی با ترکیب آندزیت و بازالت هستند که در آغاز فعالیت ولکانیکی ناحیه به صورت بمب به شدت پرتاب شده‌اند و در دریای نسبتاً کم عمق اوسط ائوسن رسوب کردند. بر اساس تقسیم بندي (Lemaltrre 2002) آگلومرا یک سنگ آذرآواری است که بیش از ۷۵ درصد آن را بمب تشکیل می‌دهد (شکل ۳-۴).



شکل ۳-۴: تقسیم بندي چندتایی سنگ‌های آذرآواری بر اساس نسبت‌های بمب، بلوك، لاپيلی و خاکستر بر اساس Lemaltrre (2002) و موقعیت نمونه‌های کاهک که با علامت ستاره مشخص شده‌است.

گدازه نسبت به آگلومرا مقاوم‌تر و غیرقابل نفوذ‌تر است، بنابراین آگلومرا فرسایش بیشتری می‌یابد. به دلیل این که آگلومراها دارای تخلخل زیادی هستند فضای مناسبی برای نفوذ سیالات گرمابی هستند و در نتیجه فرایند کانه‌زایی و دگرسانی در این واحدها افزایش یافته است. این زیرواحده در یال جنوبی و در زیر واحد آهک توفی نومولیت‌دار و در تناوب با زیرواحده گدازه ای گسترش دارد. این زیرواحده دارای گردش‌گی خوب و جورش‌گی و سخت شدگی ضعیف می‌باشد که بیانگر تلاطم بعد از انفجار در محیط زیر دریایی می‌باشد (شکل ۳-۵ الف، ب و پ).



شکل ۳-۵ الف: نمایی از واحد آگلومرایی و نمونه دستی آن در تاقدیس کاهک که میزبان کانه‌زایی مسن می‌باشد. ب و پ: تصویری از مقطع میکروسکوپی واحد آگلومرایی (Pl: پلیروفکسن و Mlc: مالاکیت).

۳-۲-۳ - واحد دوم: آهک توفی نومولیتدار (E_u^1)

واحد آهک توفی نومولیتدار به ضخامت ۵ الی ۱۰ متر می‌باشد که در سرتاسر یال شمالی و جنوبی تاقدیس کاهک بر روی سنگ‌های آتشفسانی و واحد آگلومرایی قابل مشاهده است و حاوی فسیل‌های شاخصی مانند نومولیت، دیسکوسیکلینا، آسیلینا، آلوئولینا، اوربیتولیس و دوکفه‌ای به همراه سیمان کلسیتی اسپارایتی، میکرات و مقداری کوارتز ریز می‌باشد (شکل ۳-۶). بر اساس مجموعه فسیل‌های رؤیت شده، محیط رسوبگذاری یک محیط عمیق دریایی با شوری پایین است. این واحد به دلیل داشتن فسیل‌های فراوان از واحد آتشفسانی زیرین خود به راحتی قابل تفکیک بوده و شامل آهک قهقهه‌ای متوسط لایه نومولیتدار، آهک نخدودی رنگ نازک لایه نومولیت دار، آهک خاکستری نومولیت دار و آهک اسپارایتی می‌باشد. سنگ‌های این واحد بر اساس کاهش گل‌های کربناته به سه گروه تقسیم می‌شوند که به ترتیب عبارتند از: مادستون، وکستون و پکستون که در گستره‌ی طولی کانسار دیده می‌شوند. مادستون، نشان‌دهنده‌ی رسوبگذاری در محیط‌های آرام بوده و بیانگر کاهش وجود ارگانیسم‌های مولد دانه در آب، می‌باشد. پکستون، بر اثر تراکم سنگ‌های وکستون حاصل شده و بین دانه‌ها بوسیله رسوبات گلی پر می‌شود (شکل ۳-۷). سیمانی شدن در سنگ‌های کربناته اکثراً به صورت سیمان کلسیتی اسپارای پرکننده حفرات درون دانه‌ای و بین دانه‌ای و شکستگی‌ها می‌باشد. همچنین نومولیت‌ها شواهد تراکم مکانیکی را قبل از سیمانی شدن در خلال تدفین نشان می‌دهند. هم‌راستایی نومولیت‌ها، تماس نقطه‌ای و مماسی که منجر به ایجاد تغییر شکل‌های منعطفی از دانه‌ها می‌شود، درنتیجه افزایش پیش‌رونده فشار لایه‌های بالایی و تراکم مکانیکی است که زمینه را برای ایجاد تراکم شیمیایی و تشکیل استیلولیت‌ها، فراهم می‌کند. خسروتهرانی (۱۳۸۴)، بر این باور است که ظهور میکروفسیل‌هایی نظیر نومولیت و آلوئولین‌ها نشانه آغاز دوران سنوزوئیک بوده است.



شکل ۳-۶: نمایی از واحد آهک نومولیتدار و نمونه‌ی دستی از این واحد که حاوی فسیل نومولیت می‌باشد.

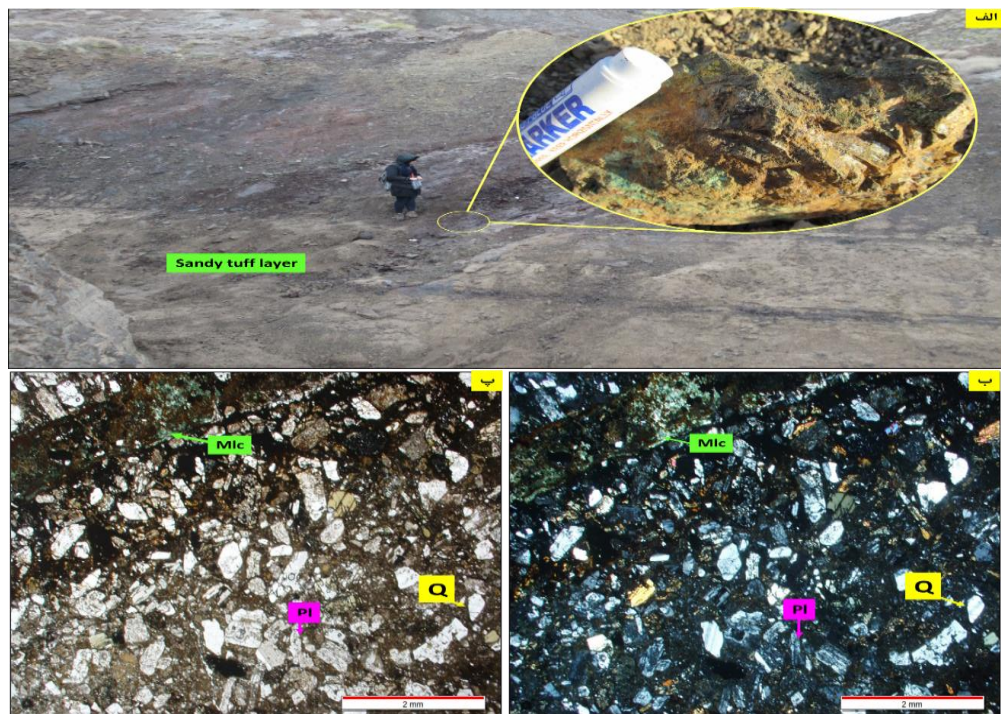


شکل ۳-۷: تغییرات تراکم نومولیت‌ها به ترتیب از لایه‌های پایینی به بالا در تصاویر(الف، ب، پ) و تصاویر میکروسکوپی (ت، ث، ج).

۴-۲-۳ - واحد سوم: واحد توف ماسه‌ای (E st)

گسترش این واحد سنگی بسیار محدود است و سطبرای آن از یک تا چندین متر متغیر می‌باشد که بر روی آهک توفی نومولیتدار قرار دارد. در برخی نواحی یال جنوبی این واحد در بین آهک‌ها نیز قابل رؤیت است. این واحد توف ماسه‌ای در نمونه دستی دارای رنگ زرد خیلی روشن می‌باشد. طبق

مشاهدات میکروسکوپی این نمونه دارای کوارتزهای نیمه شکل دار تا شکل دار، پلاژیوکلازها را همراهی می‌کنند (شکل ۳-۸).



شکل ۳-۸: (الف) نمایی از لایه‌ی توف ماسه‌ای در معدن منگنز سردار و نمونه‌ی دستی آن، ب و پ) تصویر میکروسکوپی واحد توف ماسه‌ای.

۵-۲-۳ - واحد چهارم: واحد ماسه‌سنگی (EO^{ms})

یکی از واحدهای سنگی تشکیل دهنده محدوده کانسار که به فراوانی در منطقه یافت می‌شود واحد ماسه سنگی است این واحد در نمونه دستی دارای رنگ قرمز و خاکستری می‌باشد. ماسه‌سنگهای محدوده مورد مطالعه از سری توالی‌های تخریبی ائوسن-الیگوسن بوده که بر روی آهک‌های توفی نومولیت‌دار و توف ماسه‌ای قرار دارد. این واحد سنگی که به دو بخش قابل تفکیک است که از قاعده توالی به بالا به ترتیب حاوی ماسه‌سنگ خاکستری (Gss) و ماسه‌سنگ قرمز (Rss) همراه با کانه‌زایی مس بصورت ملاکیت می‌باشد. که ستبرای زیر واحد ماسه سنگی قرمز بسیار گستردۀ بوده و تا حدود یک کیلومتر می‌باشد. بر اساس مطالعات میکروسکوپی بر روی ۱۵ نمونه، اجزای تشکیل دهنده ماسه

سنگ‌ها شامل فلدسپات، کوارتز، خرده سنگ‌های ولکانیکی، دگرگونی و ماسه سنگی هستند. با توجه به نمودار ارائه شده توسط فولک (۱۹۸۰) این ماسه‌سنگ‌ها دارای ترکیب لیتیک آرکوز و فلدسپاتیک لیتارنایت می‌باشند (شکل‌های ۳-۹ و ۱۰-۳). واحدهای سنگی مشابه که نشان از ورود، تخریبی‌های درون قاره‌ای دارد در سایر مناطق از جمله جنوب شرق شهرود (سهله‌رژه) به خوبی دیده می‌شود. حتی در جاده کاهک-فرومد نیز، یک افق کنگلومراپی سرشار از قلوه‌های آهکی وجود دارد.

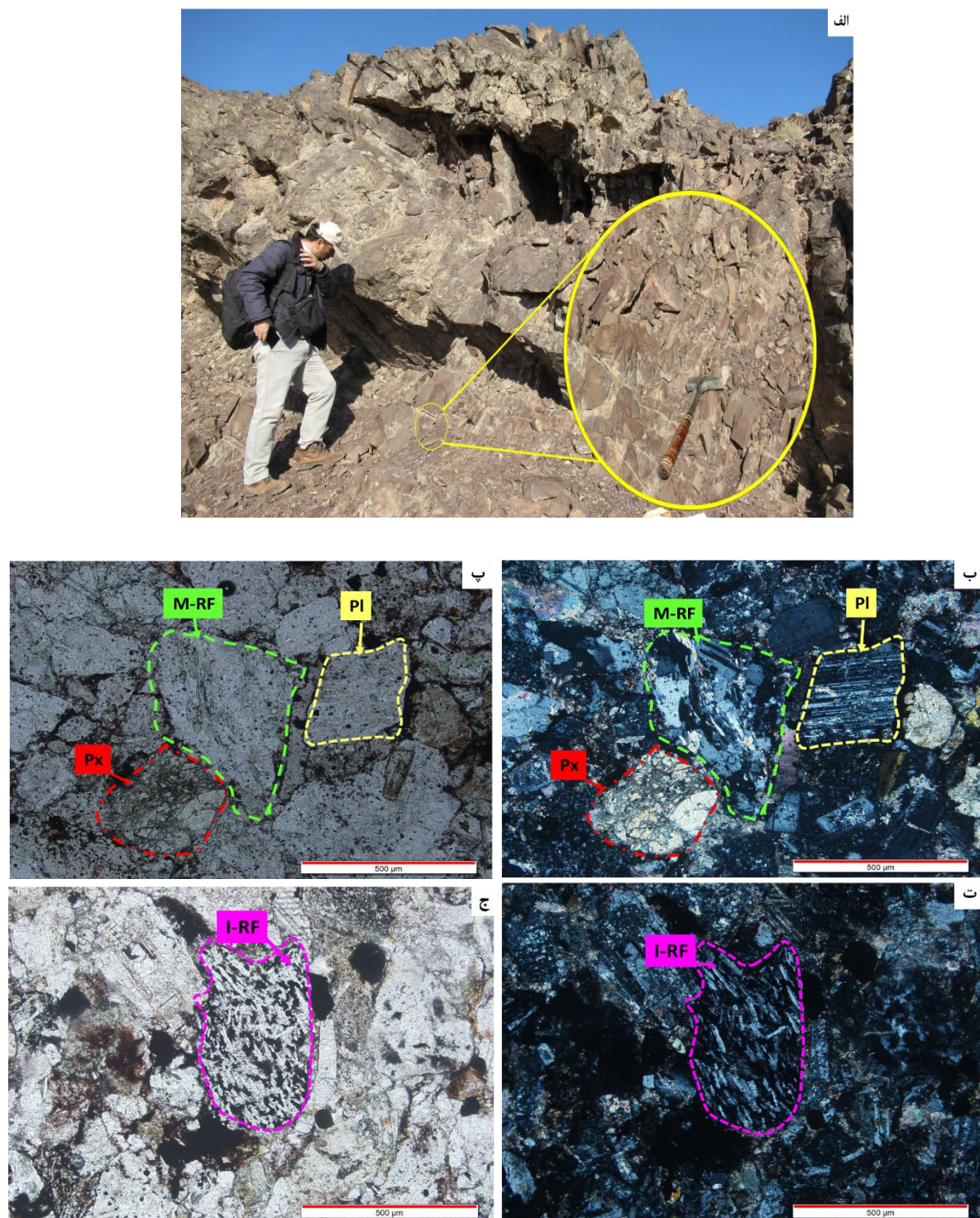
۱-۵-۲-۳- فلدسپاتیک لیت آرنایت‌ها:

این گونه ماسه‌سنگ‌ها با داشتن مقدار فراوان‌تر خرده سنگ‌ها که از فلدسپات بیشتر است مشخص می‌گردد. از نظر ترکیب، هم در رابطه با نوع دانه و هم شیمی، دارای دامنه گسترده‌ای هستند، که عمدتاً به انواع خرده سنگ‌های موجود در آن وابسته است. البته سایر اجزا شامل ورقه‌های میکا، مقداری فلدسپات و مقدار بیشتری کوارتز می‌باشد. معمولاً سیمان به صورت کلسیت یا کوارتز است. رس‌های درجا زا نیز فراوان هستند.

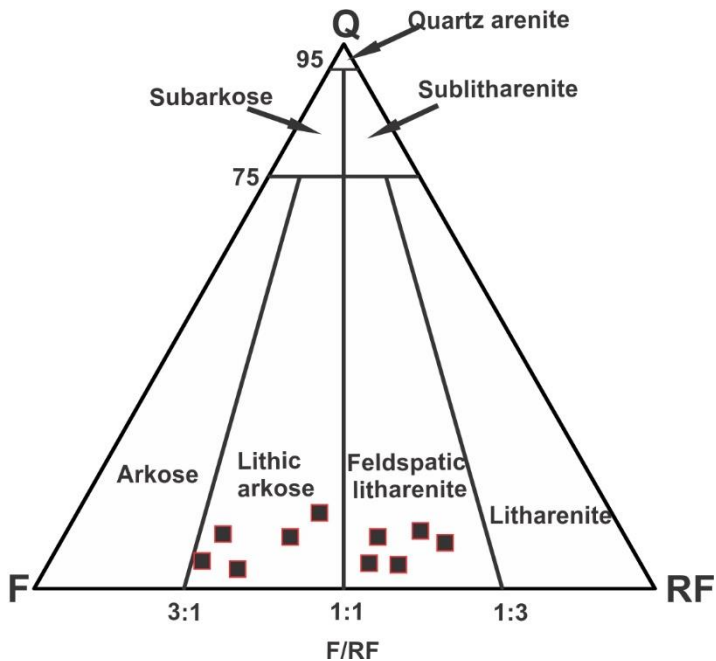
۲-۵-۲-۳- لیتیک آرکوز‌ها:

بطور کلی سنگ‌هایی را تحت عنوان آرکوز می‌شناسند که دارای بیش از ۲۵ درصد فلدسپات، مقدار بیشتری کوارتز و مقداری خرده سنگ هستند. در این نوع سنگ‌ها معمولاً میکاهای آواری و مقداری ماتریکس دانه‌ریز نیز وجود دارد. در نمونه‌های مورد مطالعه فلدسپات‌ها عمدتاً از نوع فلدسپات پتاسیم است که بیشتر آن‌ها از نوع میکروکلین می‌باشد. معمولاً فلدسپات‌ها بصورت تازه هستند، هرچند برخی از آن‌ها ممکن است به سریسیت و کائولینیت دگرسان شده باشند. کوارتز پلی کریستالین و خرده سنگ‌های آذرین نیز فراوان است. بطور کلی آرکوز‌های مورد مطالعه به علت رنگ فلدسپات، و بعلاوه به علت وجود دانه‌های ریز و پراکنده همایت به رنگ قرمز و صورتی دیده می‌شود.

در بالا، واحدهای ماسه سنگی توسط رسوبات مارنی میوسن و سپس رسوبات آبرفتی کواترنری پوشیده شده اند.



شکل ۹-۳: (الف) نمایی از واحد ماسه سنگی و نمونه دستی آن در تاقدیس کاهک. (ب، پ، ت و ج) تصاویر میکروسکوپی ماسه سنگ‌ها که بخش اعظم سنگ شامل پلازیوکلаз: Pl و خرد سنگ‌های آذرین: I-RF و دگرگونی: M-RF می‌باشد.



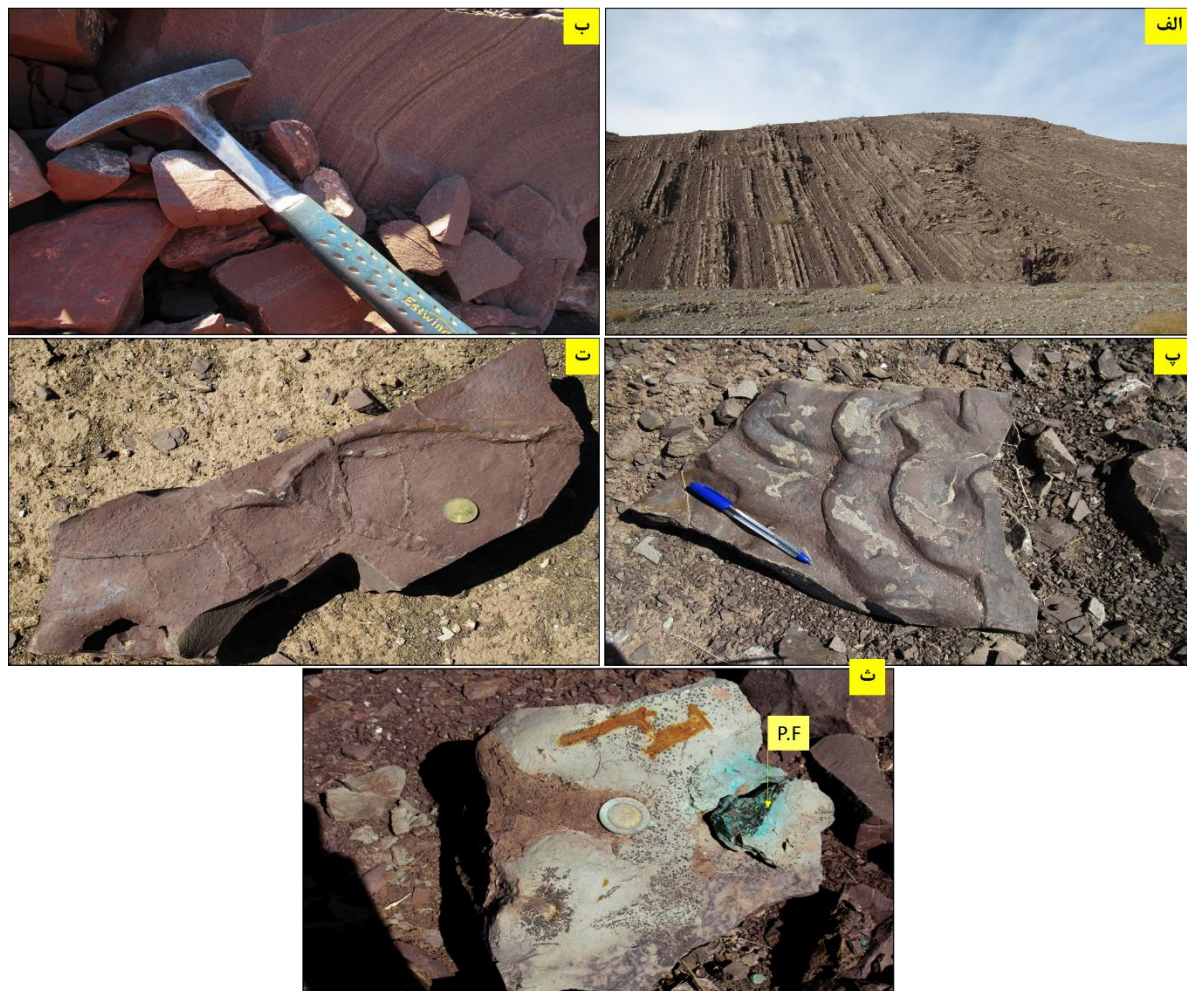
شکل ۱۰-۳: موقعیت نمونه‌های ماسه‌سنگی مورد مطالعه در نمودار سه متغیره کوارتز(Q)، فلدسپار(F) و خردہ سنگ(RF) (نمودار فولک، ۱۹۸۰).

۶-۲-۳- ساختمان‌های رسوبی

ساختمان‌های رسوبی عمده موجود در این توالی شامل لایه‌بندی، لامیناسیون، ریپل مارک، آثار گیاهی و ترک گلی می‌باشد.

لایه‌بندی که از اشکال ویژه سنگ‌های رسوبی است. عمدتاً بر اثر تغییر شرایط رسوبگذاری (تغییر در ترکیب و یا اندازه دانه‌های رسوب) تشکیل می‌گردد (تاکر، ۲۰۰۱). لامیناسیون که از تغییر اندازه دانه در لامینه‌ها ناشی می‌شود نیز در رسوبات منطقه دیده می‌شود (شکل ۱۱-۳ الف و ب). ریپل‌های موجی از اشکال رسوبی ماسه‌سنگ در عمق کم (رودخانه‌ای و دلتایی) هستند. این ساختمان به فراوانی در ماسه سنگ موجود در توالی سرخ رنگ تشکیل شده است. ریپل‌ها در پهنه‌های جزو مردمی معمولاً طرح‌های پیچیده را نشان می‌دهند که بر اثر تغییر عمق آب و جهت باد و آب حاصل می‌گردد (Tucker, 2001). ریپل‌های تداخلی از انواع متداول این محیط‌ها می‌باشد که در ماسه‌سنگ منطقه مورد مطالعه قابل مشاهده است (شکل ۱۱-۳ پ). ترک‌های گلی در رسوبات دانه ریز فراوان هستند و اگر بر اثر خشک

شدن تشکیل شده باشند، نشان‌دهنده رخنمون آن‌ها در معرض هواست(شکل ۱۱-۳). این ساختمان‌ها در رخسارهای پهنه‌جزرورمدى و رودخانه‌های فراوان هستند(Tucker, 2001).



شکل ۱۱-۳: الف) نمایی از لایه‌بندی ماسه‌سنگ قرمز ب) نمایی از لامیناسیون در ماسه سنگ قرمز پ) ساخت ریپل مارک ت) ساخت ترک گلی ث) وجود آثار گیاهی در ماسه سنگ قرمز (P.F: فسیل گیاهی).

-۷-۲-۳- پادگانه‌های آبرفتی کواترنری:

این واحد بر اثر فعالیت‌های تکتونیکی و یا افزایش دبی رودخانه ایجاد شده است و در مسیر رودخانه گسترش داشته و اغلب بصورت افقی دیده می‌شود. پادگانه‌های آبرفتی از رسوبات دانه درشت با جورشده‌گی ضعیف تشکیل شده‌اند(آقانباتی، ۱۳۴۹). نهشته‌های آبرفتی موادی فرسایش هستند که از دامنه ارتفاعات تا نواحی پست دشت‌ها گسترده شده‌اند و با دور شدن از ارتفاعات، درشتی دانه‌ها

کاهش یافته و این آبرفت‌ها بیشتر در برگیرنده قطعات حاصل از خرد شدن گدازه‌ها و سنگ‌های آتشفشاری-رسوبی بالا دست خود هستند (شکل ۱۲-۳).



شکل ۱۲-۳: نمایی از رسوبات کواترنری در منطقه.

۳-۳-۳- شرایط تکتونیک کلی منطقه:

منطقه مورد مطالعه بصورت یک تاقدیس بزرگ می‌باشد بطوری‌که واحد آتشفشاری-رسوبی میزان کانه‌زایی از دو طرف توسط واحدهای جوانتر پوشیده می‌شود. این ساختار تاقدیسی در داخل خود دچار چین خوردگی‌هایی شده و ناویدیس‌ها و تاقدیس‌های متعددی را در بر می‌گیرد.

۳-۳-۱- چین خوردگیها:

همانطور که اشاره شد منطقه مورد مطالعه در واحدهای کرتاسه پسین در داخل یک تاقدیس بزرگ قرار دارند که دارای روند محوری شرقی-غربی می‌باشد. این کانسارها و اندیس‌ها در یال‌های شمالی و

جنوبی این تاقدیس پراکنده می‌باشند. واحدهای میزبان کانه‌زاوی شامل ریزچین‌های متعدد می‌باشند.
(شکل ۱۳-۳).



شکل ۱۳-۳: نمایی از چین‌خوردگی‌ها در تاقدیس کاهک.

۲-۳-۳ - گسل‌ها:

مهمترین عواملی که منطقه مورد مطالعه را تحت تاثیر قرار داده، گسلهای نرمال با سیستم درزهای مربوطه بوده که با روند عمومی شمال‌غربی- جنوب شرقی و شمال‌شرقی- جنوب‌غربی، دارای نظم مشخصی می‌باشد. این گسلهای موجب جابجا شدن سنگ‌های آتشفسانی ائوسن و به تبع آن لایه آهک نومولیت‌دار می‌شود. همچنین براثر عملکرد سیستم گسل‌های فوق، سطوح لغزشی بسیار زیادی، به صورت خش‌ها و برش‌های گسلی در محدوده معدنی قابل مشاهده هستند. با توجه به سیستم درزهای موازی و خش‌های عمود بر امتداد لایه‌بندی، می‌توان گفت که این نوع گسلهای از نوع گسل‌های شبیه و نرمال می‌باشند. به عبارت دیگر، گسلهای نرمال زمانی بوجود می‌آیند که سنگ‌ها، تحت

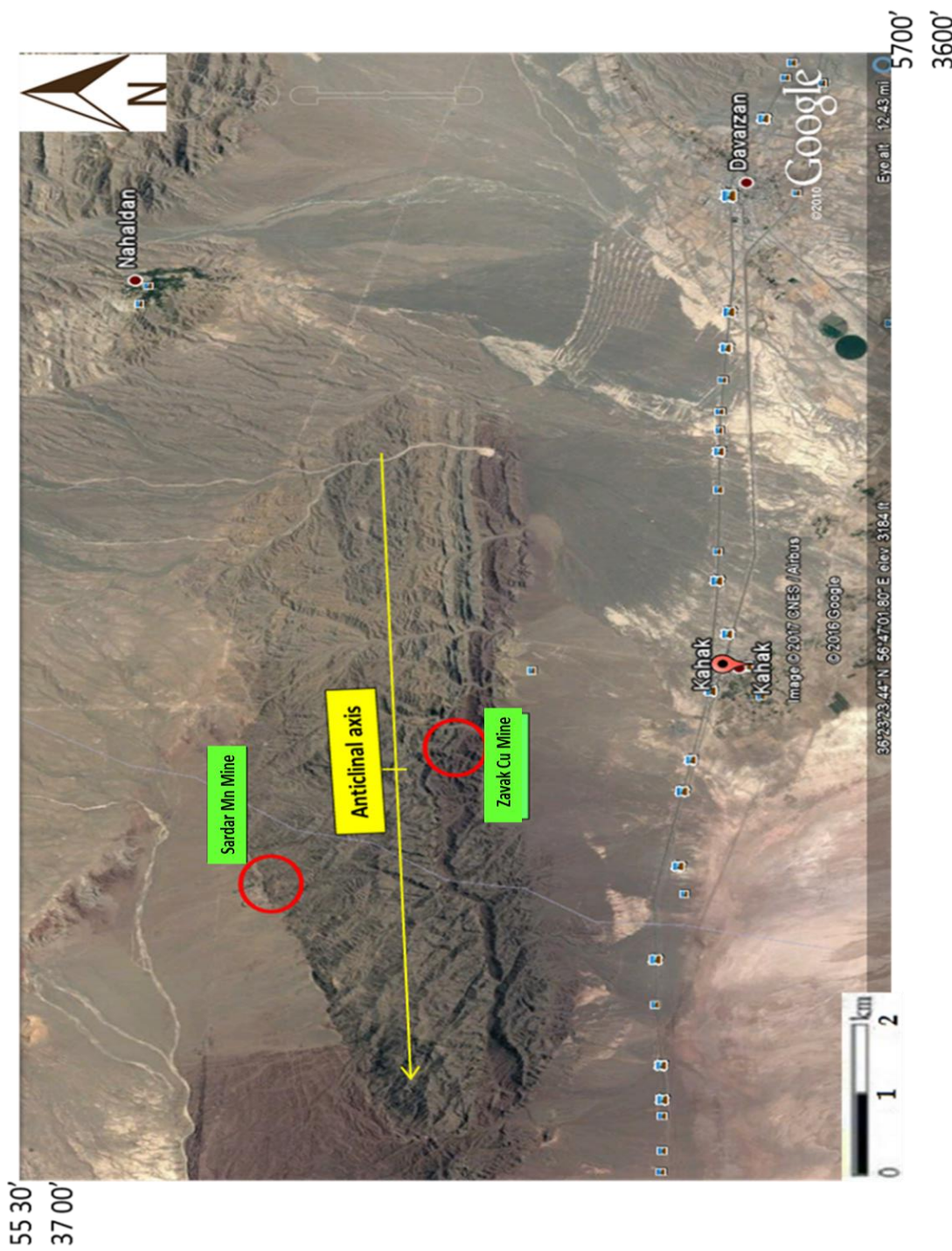
تاثیر کشش قرار بگیرند که عمود بر محور کشش، درز و شکستگی‌هایی ایجاد می‌شود که شواهد صحرایی برای تشخیص این شکستگی‌ها، وجود دیواره‌ی خشن است(شکل ۱۳-۳).



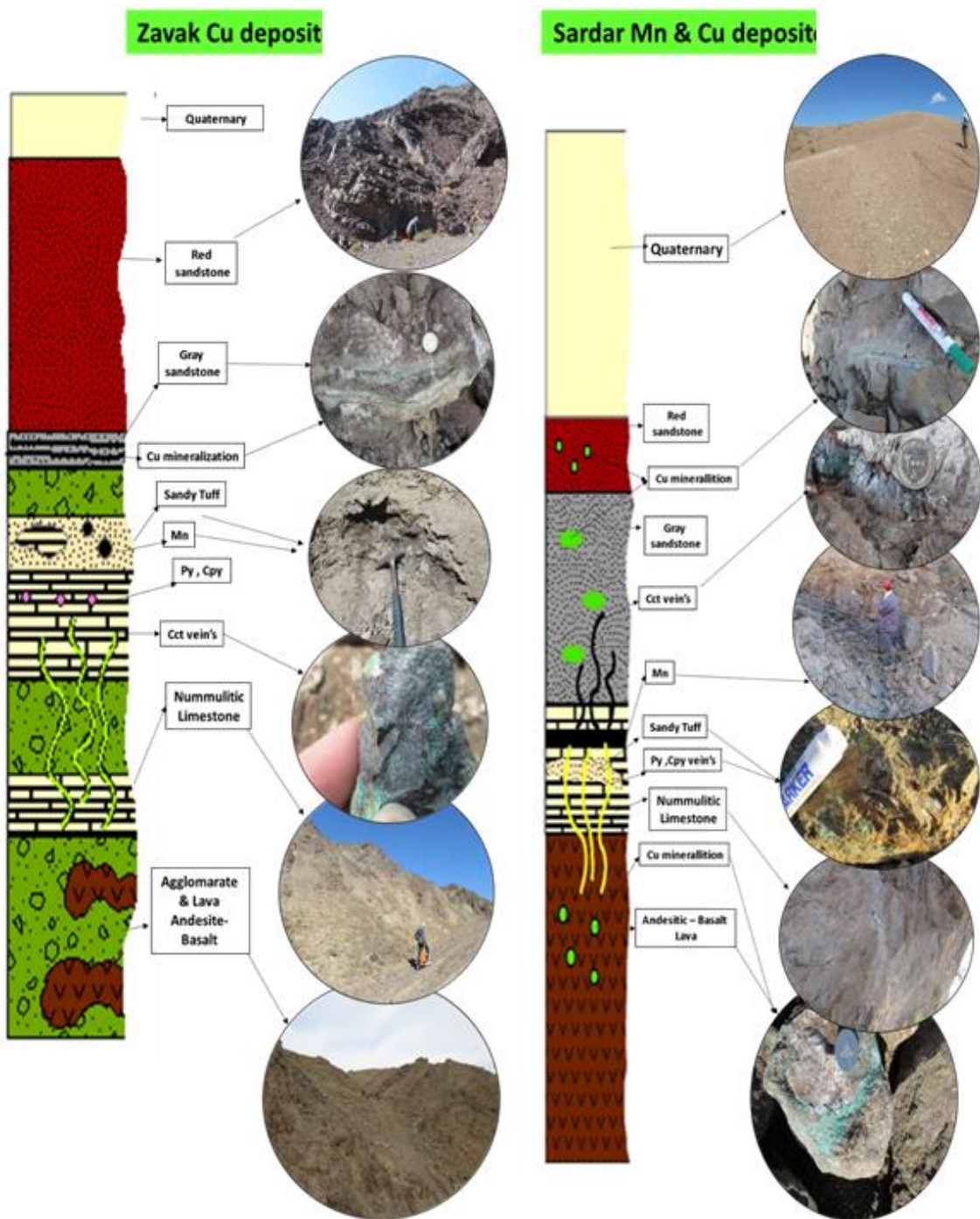
شکل ۱۴-۳: نمایی از گسل در واحد ماسه سنگی.

۴-۳- مقایسه توالی‌های چینه‌شناسی یال شمالی و جنوبی تاقدیس کاهک:

تاقدیس کاهک در منطقه مورد مطالعه بسیار واضح بوده(شکل ۱۴-۳) و واحدهای سنگی یال شمالی و جنوبی تاقدیس کاهک بسیار مشابه هم می‌باشد. فقط در یال جنوبی تاقدیس کاهک، واحدهای آگلومرایی بیشتر از یال شمالی قابل رویت بودند. در یال شمالی منگنز بصورت لایه‌ای به همراهی چند اندیس مس بر روی واحد آهکی قرار گرفته، در حالیکه در یال جنوبی مس ماده معدنی اصلی و یک اندیس منگنز قابل مشاهده می‌باشد. ستبرای لایه‌ی توف ماسه‌ای در یال شمالی بیشتر از یال جنوبی می‌باشد. ماسه سنگ قرمز در یال جنوبی دارای ضخامتی حدود ۷۰۰ متر می‌باشد که در یال شمالی این ضخامت کمتر است. ضخامت واحد آهکی نیز در یال شمالی بیشتر از همین واحد در یال جنوبی می‌باشد ، همچنین تراکم نومولیت‌ها در این یال بیشتر و درشت تر از یال جنوبی است(شکل ۱۵-۳).



شکل ۳-۱۵: تصویری از تاقدیس کاهک و موقعیت دو کانسار.



شکل ۳-۱۵: مقایسه توالی چینه‌شناسی یال شمالی و جنوبی تاقدیس کاهک (بدون مقیاس).

فصل چهارم:

کانز زایی و دکرسانی

۱-۴ - مقدمه

زیر پهنه سبزوار بخشی از پهنه ایران مرکزی می‌باشد، که در شمال شرق ایران جای گرفته است. این پهنه شامل گستره‌های محدود بین گسل میامی و گسل درونه است، که در یک روند تقریبی شرقی- غربی از سبزوار تا مرز افغانستان ادامه دارد. در این پهنه سنگ‌های پالتوزیک و مزوژوئیک بروز زد محدود دارند. زیر پهنه سبزوار از نظر تنوع کانه‌زایی به خصوص مس بسیار جالب توجه است. مطالعاتی که در چند سال اخیر توسط سازمان زمین‌شناسی و اکتشافات معدنی کشور و همچنین محققین دانشگاهی صورت گرفته است، منجر به شناسایی و بازنگری رخدادهای متنوعی از کانه‌زایی فلزات پایه به ویژه مس در این ناحیه گردیده است. از جمله این کانه‌زایی‌ها و اندیس‌های شناخته شده می‌توان به کانسارهای سولفید توده‌ای پلی متال تکنار (Malekzadeh shfarodi et al., 2005) کانسار سولفید توده‌ای غنی از آهن کبودان (مهرابی، ۱۳۹۰)، کانسار مس-طلای پورفیری هلاک آباد (پناهی شهری، ۱۳۸۹)، کانسار مس عباس‌آباد (فیروز علی نیا و همکاران، ۱۳۸۳)، اندیس مس رسوبی منطقه ششتمد (سپهری راد، ۱۳۸۸)، کانسار سولفید توده‌ای مس نوده (مغفوری و همکاران، ۱۳۹۱)، کانسارهای منگنز ذاکری و نوده (تقی زاده ۱۳۹۲؛ نصراللهی، ۱۳۹۲) و اندیس‌های مس گود ایشاق، سوزنده و اولنگ سر در داخل افیولیت‌های شمال سبزوار (روزبه کارگر و همکاران، ۱۳۷۷) نام برده. بازدیدهای صحراوی انجام گرفته در منطقه، پهنه‌های کانه‌زایی به همراه دگرسانی‌ها مورد مطالعه قرار گرفت که در این فصل به تحلیل کانه‌زایی و بررسی انواع دگرسانی در منطقه پرداخته شده است.

۴-۲- رخداد کانه‌زایی در تاقدیس کاهک، شرق شهرود

بررسی‌های صورت گرفته در تاقدیس کاهک حاکی از وجود تعداد قابل توجهی از کانسارها و اندیس‌های مس و منگنز است، که دارای جایگاه چینه‌شناسی مشخصی می‌باشند. این کانسارها و اندیس‌ها را می‌توان بر اساس نوع ماده معنی، موقعیت چینه‌شناسی و سنگ میزبان به دو گروه تقسیم نمود(جدول ۱-۴):

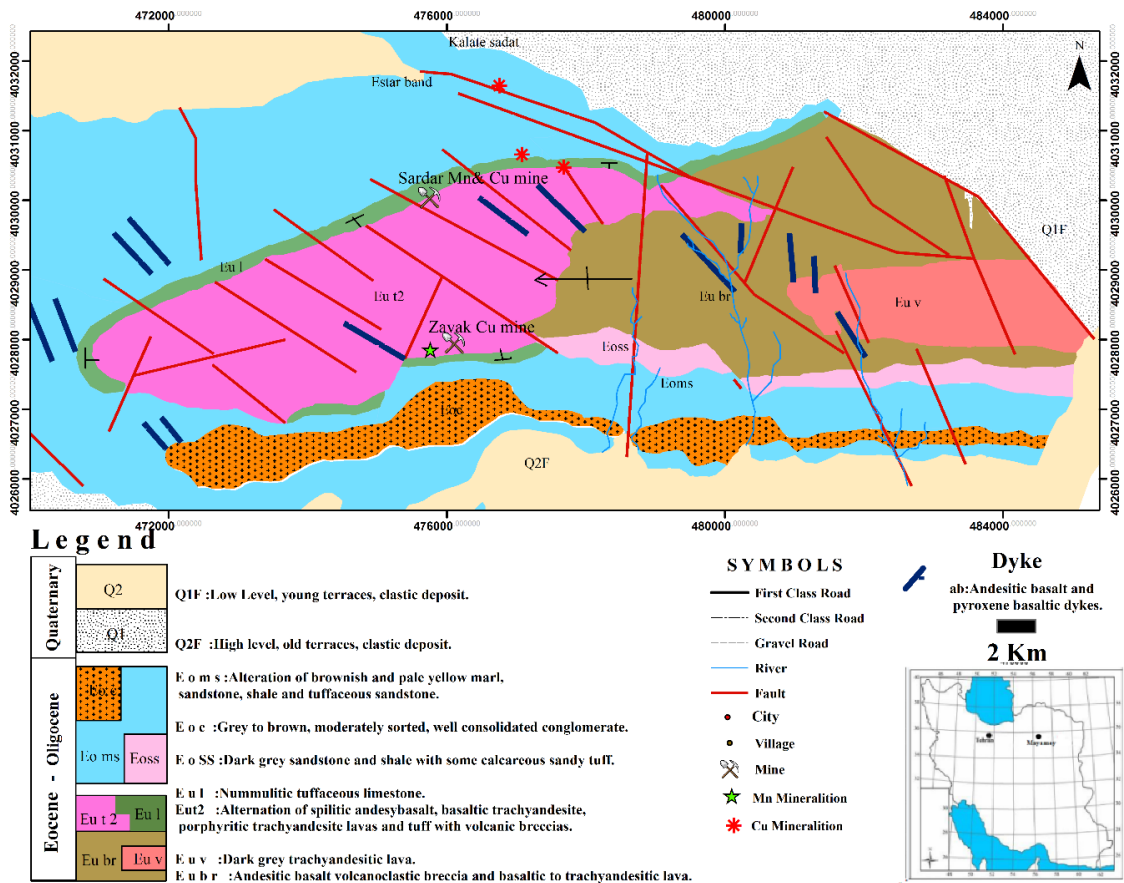
۱-کانسارها و اندیس‌های مس: این ذخایر که خود به دو بخش رسوبی و آتشفسانی قابل تقسیم هستند:

الف) کانه‌زایی مس ولکانیکی که همگی در واحد Eu_{t2} ، با سنگ میزبان آندزیتی-بازالتی مربوط به ائوسن قرار گرفته‌اند، که می‌توان کانسارهای مس عباس آباد و میاندشت را نام برد.

ب) کانه‌زایی مس رسوبی در واحد Gss_{Eo} ، که دارای سنگ میزبان ماسه سنگ خاکستری می‌باشد(شکل ۱-۴).

۲-کانسارها و اندیس‌های منگنز: این ذخایر همگی در مرز واحد Eo_{Gss} و Eu_{Gss} واحد رخ داده و دارای سنگ میزبان آهک توفی نومولیت دار مربوط به ائوسن است.

کانه‌زایی منگنز شامل مانند کانسار منگنز سردار در یال شمالی تاقدیس کاهک و اندیس منگنز در محدوده معدنی زواک می‌باشد(شکل ۱-۴).



شکل ۴-۱: موقعیت تاقدیس کاهک در نقشه زمین‌شناسی ساده شده ۱:۱۰۰۰۰ داورزن (رادفر و کهن‌سال، ۱۳۷۱) و موقعیت کانه‌زایی‌های مس و منگنز در توالی آتشفشاری-رسوبی ائوسن.

جدول ۱-۴ کانسارها و اندیس‌های مس و منگنز تاقدیس کاهک

کانسارها و اندیس‌های منگنز	کانسارها و اندیس‌های مس
کانسار منگنز سردار	کانسار مس زواوک
اندیس منگنز زواوک	اندیس‌های مس سردار

۴-۳- کانه‌زایی مس در توالی ائوسن- الیگوسن در منطقه کاهک (شرق

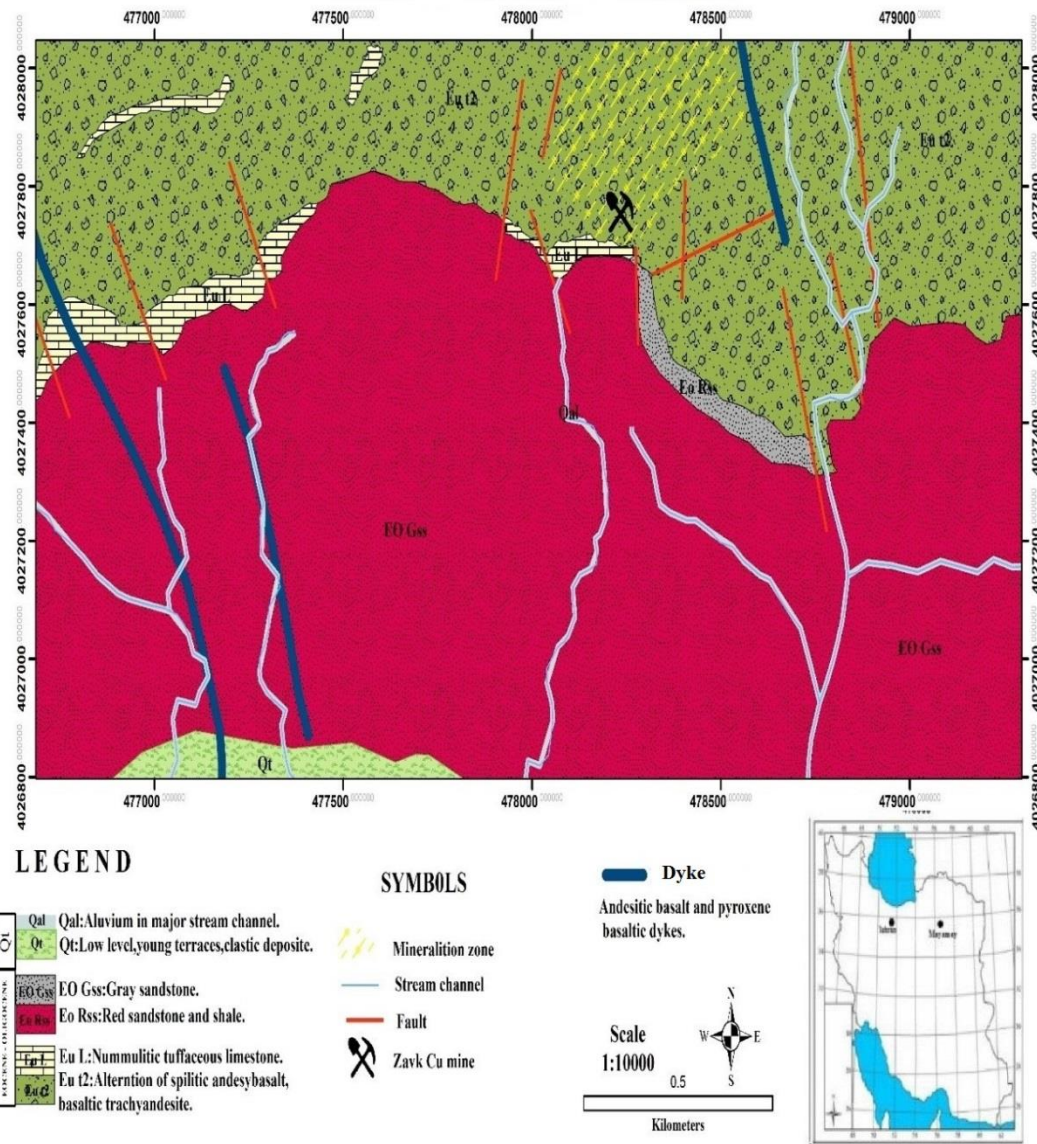
(شهرود)

توالی آتشفشانی-رسوبی کرتاسه پسین در جنوب شرق شهرود از تناب گدازه و آگلومرای آندزیتی- بازالتی، آهک توفی نومولیت دار، توف ماسه‌ای، ماسه سنگ خاکستری و قرمز تشکیل شده است(شکل ۴-۱). در ادامه اینکه کانه‌زایی مس در کانسارهای مس زواک و سردار و اندیس‌های مس رسوبی در یک افق چینه‌ای(شکل ۱۵-۳) و در دو واحد سنگی به صورت رگه-رگچه‌ای و دانه پراکنده در واحد آگلومرایی و بصورت جانشینی در واحد ماسه سنگ خاکستری رخ داده است. لازم به ذکر است که کانه‌زایی مس در کانسار مس زواک با توجه به توالی پاراژنتیک و نوع کانه‌زایی، در دو مرحله با زمان- های مختلف صورت گرفته شده است. در زیر به ترتیب ویژگی‌های هر یک از ذخایر فوق مورد بررسی قرار می‌گیرد.

۴-۴- ویژگی‌های کانه‌زایی مس در کانسار زواک

روستای کاهک در ۱۸۶ کیلومتری شرق شهرود واقع شده است(شکل ۴-۱). در حدود ۵ کیلومتری شمال غرب این روستا درون واحدهای آتشفشانی (Eu t2)، کانسار مس زواک قرار دارد(شکل ۲-۴).

Geological map of Zavak deposit



شکل ۴-۲: نقشه زمین‌شناسی منطقه معدنی زاوک، که بر اساس نقشه زمین‌شناسی ۱:۱۰۰۰۰۰ داورزن (رادفر و کهنسال، ۱۳۷۱) و برداشت‌های صحرایی و تصاویر ماهواره‌ای ترسیم شده است.

۱-۴-۴ - واحدهای سنگی موجود در معدن زاوک:

واحدهای سنگی در محدوده مس زاوک از پایین به بالا عبارتند از:

- (۱) آگلومرات آندزیتی- بازالتی که میزبان اصلی کانه‌زایی می‌باشد و در بعضی نقاط در تناب در با گدازه-ی آندزیتی- بازالتی قرار دارد.

۲) توف ماسه‌ای که لایه‌ای نازک و زرد رنگ است و گاهان در تناوب با آهک توفی نومولیت دار می‌باشد.

۳) سنگ آهک توفی نومولیت دار که دارای فسیل‌های فراوان نومولیت می‌باشد که در طبقات پایینی

تراکم نومولیت‌ها فراوان است و به سمت بالا از تمرکز آن کاسته می‌شود.

۴) طبقات ماسه‌سنگی ستبر به همراه میان لایه‌هایی از شیل می‌باشد. عمدتاً ماسه‌سنگ‌ها از نوع آرکوز

و فلدسپار‌لیتارنایت بوده که دارای خرده سنگ‌های ولکانیکی و دگرگونی هستند که در یک سیمان

کربناته قرار گرفته‌اند.

۵) رسوبات آبراهه‌ای.

۴-۴-۲- واحدهای کانه‌دار و شکل هندسی ماده معدنی

سنگ میزبان اصلی کانه‌زایی واحد آگلومرایی است اما مقداری کانه‌زایی نیز در داخل واحد آهک توفی

نومولیت‌دار و واحد توف ماسه‌ای رخ داده است. پهنه کانه‌دار در واحد آگلومرایی قرار دارد.

دو نسل رگه در پهنه کانه‌زایی وجود دارد:

رگه نسل اول که دارای ترکیبی از کربنات و کوارتز بوده و کانه‌زایی در این رگه‌ها شامل کانی‌های اولیه

کالکوسیت، بورنیت و کانی‌های ثانویه کالکوسیت و مالاکیت می‌باشد (شکل ۳-۴)، این رگه‌ها دارای

جهات مختلف بوده و گاهان جانشین قطعات آگلومرا شده‌اند.

رگه نسل دوم دارای ترکیب کلسیتی و زئولیتی است که بعضاً حاوی کانه‌زایی می‌باشد این رگه‌ها

حاصل بالآمدگی و کوه‌زایی در منطقه بوده که رگه‌های نسل اول را قطع نموده است و دارای جهت با

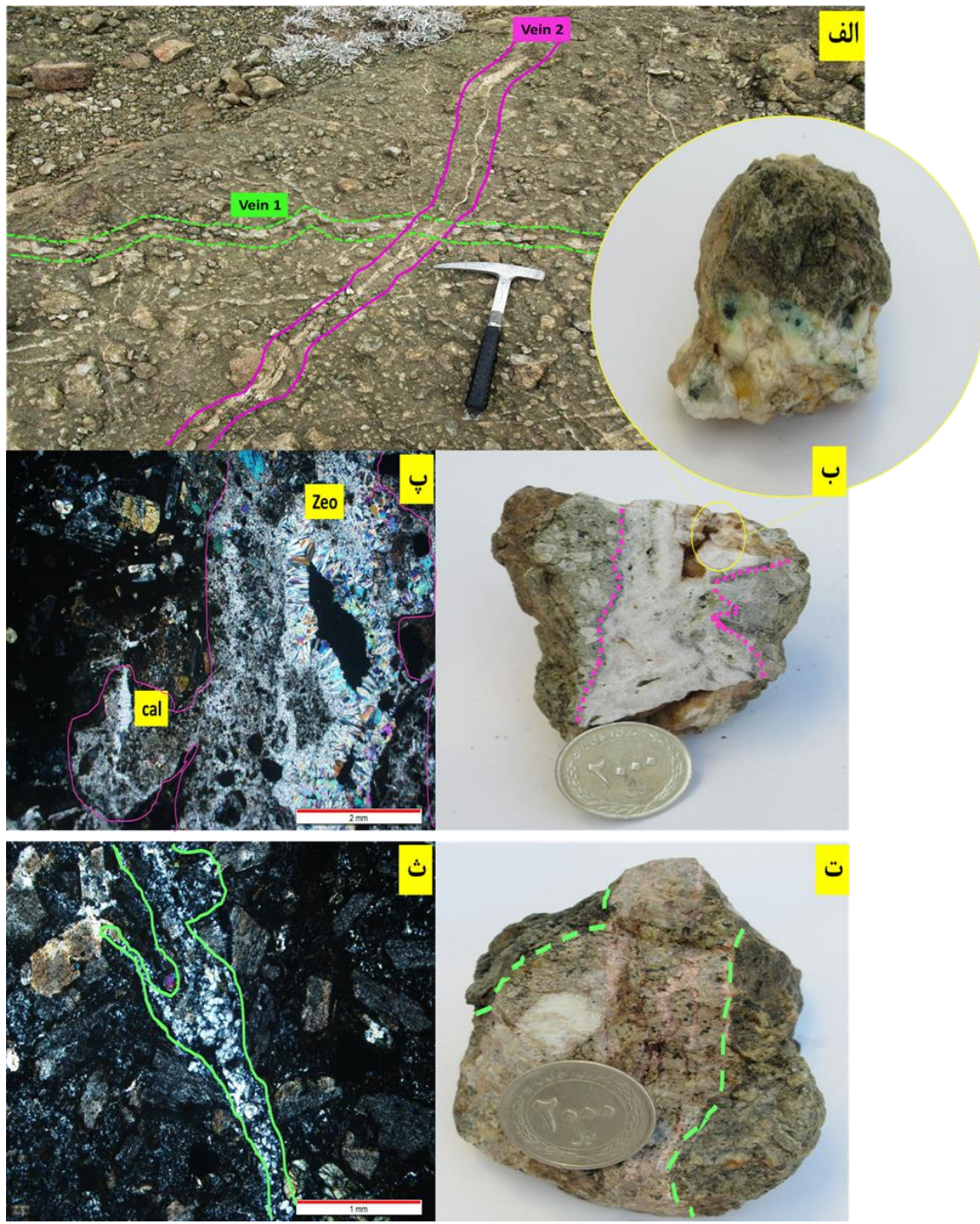
رونده و شیب تقریبی E 10 N – W 20 N می‌باشد خاصی می‌باشد.

کانه‌زایی بصورت برشی رگه- رگچه‌ای و دانه پراکنده بوده و از پایین به بالا در سنگ‌های آگلومرایی

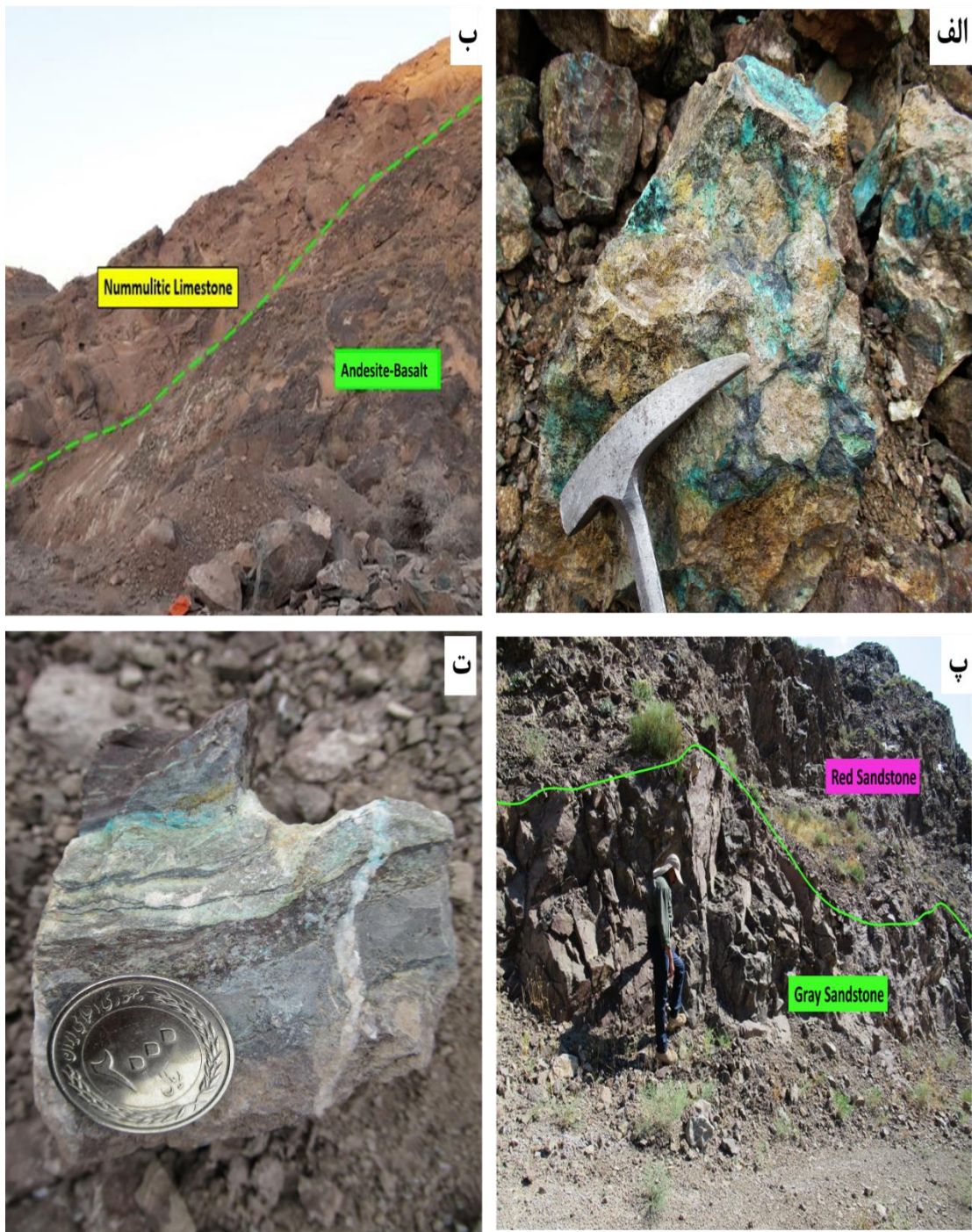
و گدازه‌های آندزیتی- بازالتی، آهک نومولیتی و توف ماسه‌ای دیده می‌شود (۴-۴ ب، پ و ت). به نظر

می‌رسد نفوذپذیری آگلومرا معبّر مناسبی برای عبور سیال کانه‌دار ایجاد کرده‌است و منجر به رخداد

دگرسانی‌ها و کانه‌زایی در منطقه شده‌اند. برای استخراج ماده معدنی در این کانسار سه پیشکار و ترانشه احداث شده است که بطور میانگین دارای ابعاد 4×3 متر می‌باشند.



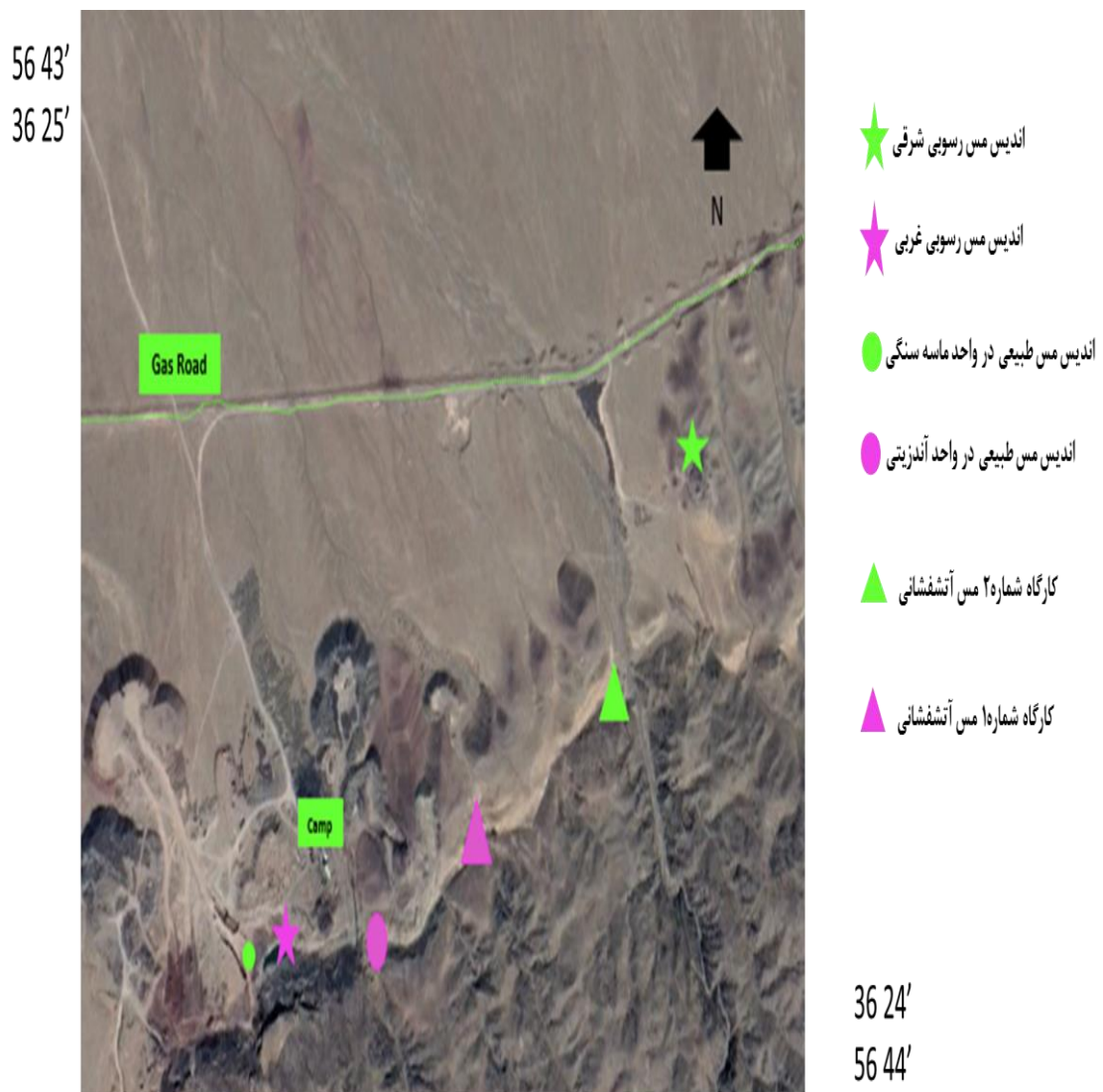
شکل ۴-۳: (الف) پهنه کانه‌زایی رگه‌رگچه‌ای، که رگه‌های vein1 و vein2 توسط رگه‌های vein1 قطع شده‌است، (ب) تصویر نمونه دستی رگه نسل دو، (پ) تصویر میکروسکوپی از رگه زنولیتی-کلسیتی (ت) تصویر نمونه دستی از رگه نسل یک، تصویر میکروسکوپی از رگه سیلیسی.



شکل ۴-۴: تصاویری از کانسار زواک: الف) کانه‌زایی برشی در واحد آگلومرایی، ب) توالی واحدهای آذرین همراه با کانه‌زایی و آهک توفی نومولیتدار، پ) توالی ماسه سنگ خاکستری و قرمز ت) کانسنگ نواری.

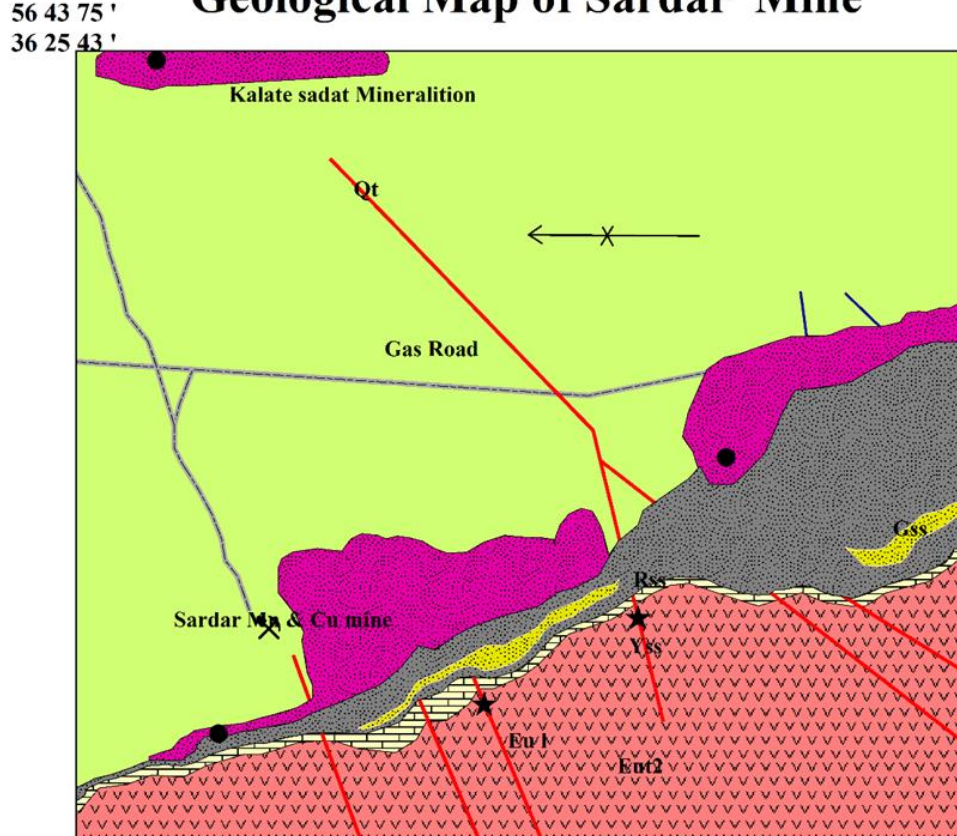
۴-۵- ویژگی‌های کانه‌زایی مس در منطقه معدنی کانسار سردار

اندیس‌های مس در ۴ کیلومتری جنوب روستای کلاته سادات و در جوار معدن منگنز سردار قرار دارد. کانه‌سازی در واحدهای آتشفشانی (Eu t2) و واحدهای ماسه سنگی رخداده است(شکل ۴-۵ و ۶-۴).



شکل ۴-۵: تصویر ماهواره‌ای از موقعیت اندریس‌ها در یال شمالی کاهک.

Geological Map of Sardar Mine



Legend

Eocene - oligocene	Qt:Low level,young terraces,clastic deposite.
Rss	Rss:Red sandstone and shale.
Yss	Yss:Yellow sandstone.
Gss	Gss:Gray sandstone.
Eu 1	Eu 1:Nummulitic tuffaceous limestone.
Eu 2	Eu 2 :Alternition of spilitic andesybasalt, basaltic trachyandesite.



SYMBOLS

★ Cu volcanic mineralization	— Dyke
● Cu redbed mineralization	Andesitic basalt and pyroxene basaltic dykes.
⛏ Sardar Cu mine	
— Fault	
— Road	

1:10000

0.5

Kilometers

۴-۶: نقشه زمین‌شناسی منطقه معدنی سردار، که بر اساس نقشه زمین‌شناسی ۱:۱۰۰۰۰ داورزن (رادفر و کهن‌سال، ۱۳۷۱) و برداشت‌های صحراوی و تصاویر ماهواره‌ای ترسیم شده است.

۴-۵-۱- واحدهای سنگی موجود در محدوده معدنی سردار

واحدهای سنگی موجود در محدوده معدنی سردار از پایین به بالا عبارتند از :

(۱) گدازه آندزیتی بازالتی

(۲) آهک توفی نومولیتدار

(۳) توف ماسه‌ای که در برخی نقاط در تناوب با آهک است.

(۴) ماسه سنگ خاکستری احیایی که نسبت به یال جنوبی از ستبرای بیشتری برخوردار است.

(۵) ماسه سنگ زرد که فقط در برخی نقاط از این یال رخمنون دارد.

(۶) ماسه سنگ قرمز رنگ که دارای ضخامت کمتری به نسبت یال جنوبی می‌باشد و به دلیل احداث

جاده گاز این لایه در برخی نقاط قابل روئیت نمی‌باشد.

(۷) مارن‌ها

۴-۵-۲- واحدهای کانه‌دار و شکل هندسی ماده معدنی

کانه‌زایی مس در ان迪س‌های سردار در دو تیپ کانه‌زایی آتشفسانی و رسوبی قابل روئیت است. (۱)

مس با میزبان آتشفسانی در دو ان迪س در جنوب شرقی معدن منگنز قرار دارد. کانه‌زایی درون واحد

آتشفسانی (Eu t2) قرار دارد، این واحد دارای بخش عده‌ای گدازه آندزیتی-بازالتی و در برخی نقاط

آگلومرای آندزیتی-بازالتی می‌باشد. (۲) ان迪س‌های مس با میزبان رسوبی.

کانه‌زایی مس آتشفسانی در یال شمالی نسبت به یال جنوبی دارای گسترش کمتری می‌باشد.

کانه‌زایی مس با میزبان آتشفسانی خود به دو صورت رخ داده است: ۱) در داخل سنگ‌های آتشفسانی

همراه با زئولیت‌هاست. ۲) درون توف ماسه‌ای همراه با دگرسانی سریسیتی می‌باشد که در کمر

پایین افق منگنز سردار قرار دارد.

الف) کارگاه ۱: کانه‌زایی مس همراه دگرسانی زئولیتی، ب) کارگاه ۲: کانه‌زایی مس بصورت رگه-

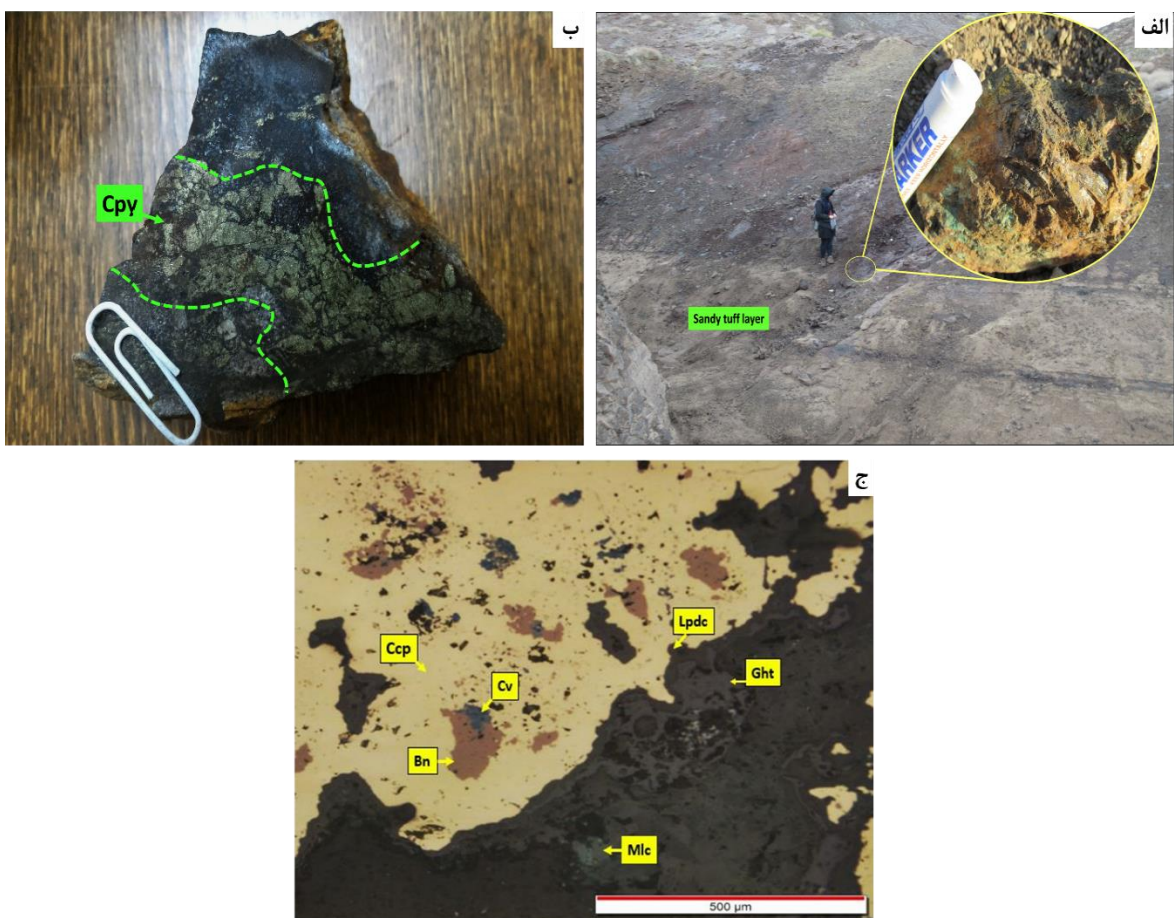
رگچه‌ای کالکوپیریت همراه دگرسانی سریسیتی

کانه‌زایی در کارگاه شماره ۱ بصورت رگه-رگچه‌ای بوده و دارای بافت برشی در واحد توف ماسه‌ای و گدازه می‌باشد، پهنه کانه‌زایی در یک افق چینه‌ای خاص قرار دارد. رگه‌ها دارای کانی اولیه کالکوسیت و کانه‌زایی ثانویه مالاکیت می‌باشد. برای استخراج مس دو سینه‌کار در ابعاد $5\text{m} \times 4\text{m}$ مترا احداث شده است(شکل ۷-۴).



شکل ۷-۴: الف) نمایی از ترانشه مس، ب) دپوی مس، ج) تصویری از رگه-رگچه‌های مس در واحد گدازه که دارای بافت برشی می‌باشد.

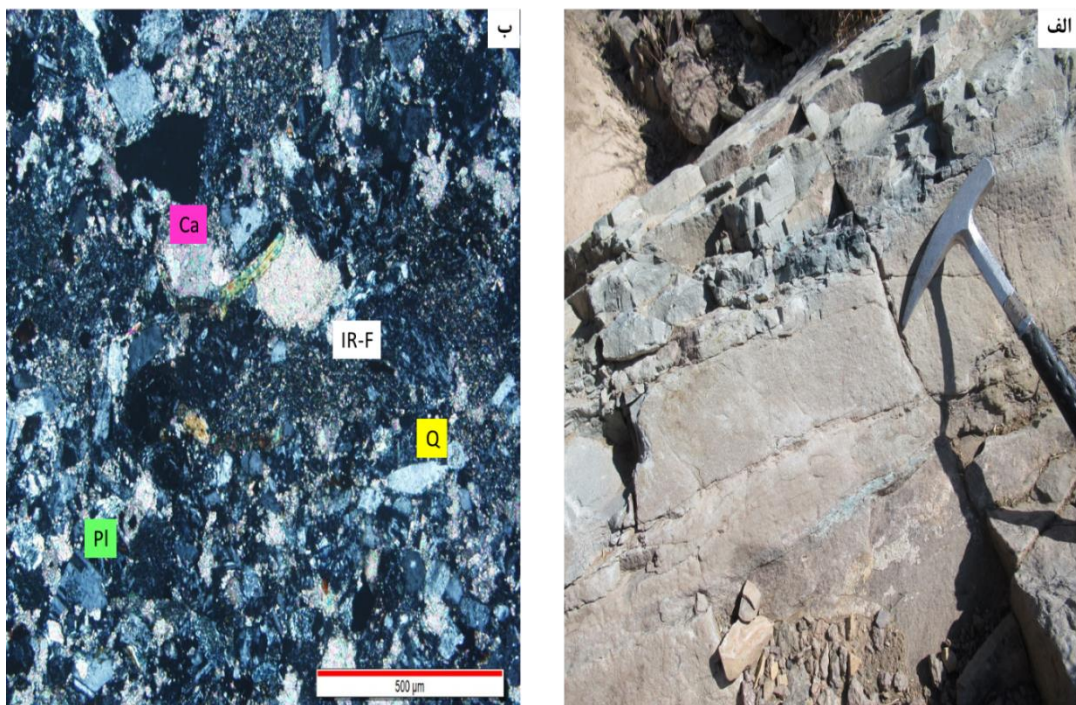
کانه‌زایی مس در کارگاه شماره ۲ سردار همراه دگرسانی سریسیتی بوده و در واحد توف ماسه‌ای کانه‌زایی بصورت رگه-رگچه‌های کالکوپیریت به وضوح قابل مشاهده می‌باشد. این واحد توف ماسه‌ای توسط رگه‌های کالکوپیریت قطع شده‌اند. ضخامت رگه‌ها از 0.5m تا 3m سانتی متر متغیر می‌باشد(شکل ۸-۴ الف). بر اساس مشاهدات پتروگرافی این رگه‌ها حاوی کالکوپیریت، بورنیت، مالاکیت، کولیت و گوتیت می‌باشد(شکل ۸-۴ ب). سنگ میزبان نیز تحت تاثیر سیال قرار گرفته و دچار دگرسانی سریسیتی شده است(شکل ۸-۴).



شکل ۴-۸: الف) نمایی از واحد توف ماسه‌ای، ب) تصویر نمونه دستی از رگه-رگچه‌های کالکوپیریت، ج) تصویر میکروسکوپی از رگه کالکوپیریت (Ccp: کالکوپیریت، Cv: کولیت، Bn: بورنیت، Lpdc: ملاکیت، Ght: گوتیت، Mlc: پیپیدوکروزیت).

اما کانه‌زایی مس رسوی در افق احیایی ماسه سنگ خاکستری قرار گرفته است. سنگ میزبان این افق کانه‌دار ماسه سنگ خاکستری است. ضخامت این افق کانه‌سازی از یک تا صد متر متفاوت می‌باشد و طول آن حدوداً یک کیلومتر است و امتداد این افق شرق-غربی می‌باشد (شکل ۴-۹).

سولفیدهای مس اغلب در اطراف فسیل‌هایی که درون واحد ماسه سنگی درشت دانه و نفوذپذیر تجمع یافته‌اند، تشکیل شده‌اند. این در حالی است که در پهنه‌های با نفوذپذیری کم (ریزدانه) درون سنگ میزبان، قطعات فسیلی به ندرت دارای کانه‌زایی هستند. به عبارت دیگر، علاوه بر حضور قطعات فسیل گیاهی، نفوذپذیری واحدهای سنگی درشت دانه، از عوامل عمدی و اصلی تمرکز کانه‌زایی مس است (Kirkham, 1996).

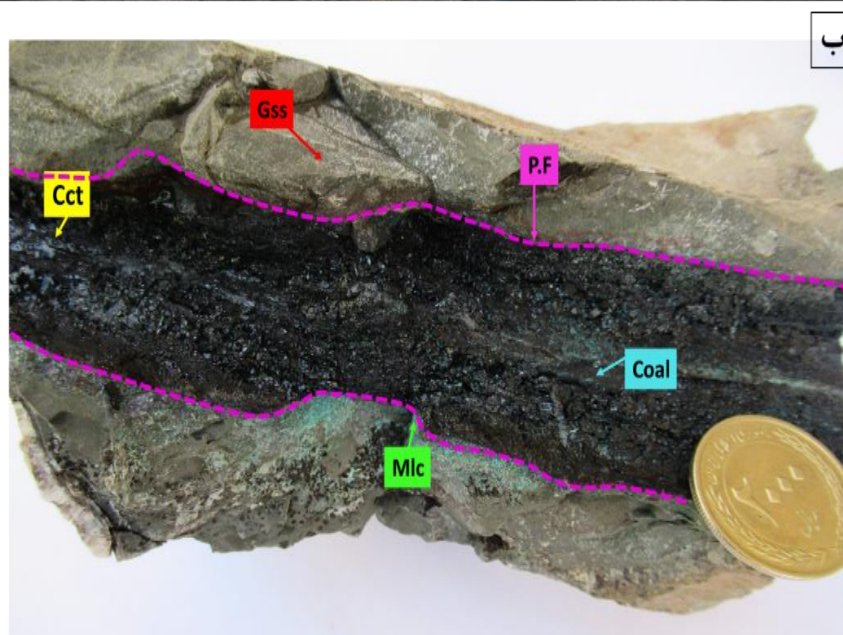


شکل ۴-۹:الف) تصویر ماسه سنگ خاکستری، ب) تصویری از مقطع میکروسکوپی ماسه سنگ خاکستری.

سولفیدهای مس در تمام و یا بخشی از این فسیل‌ها جانشین شده و یا در اطراف آن تمرکز یافته‌اند. مالاکیت در شکستگی‌ها و شکاف‌های بین دانه‌ای سنگی و گاهی درون فسیل‌ها گیاهی، بصورت ثانویه تمرکز یافته‌اند که هاله سبز-آبی را در اطراف فسیل‌های گیاهی و سولفیدهای دانه پراکنده ایجاد نموده‌اند. سولفیدهای مس (کالکوسیت) با جانشین شدن در ساختمان‌های موجود در ساقه گیاه، ایجاد استوانه‌هایی از کالکوسیت می‌کنند. فسیل گیاهی در معرض هوازدگی سطحی قرار گرفته، بخش‌های نرم‌تر آن از بین رفته و استوانه‌های کالکوسیت به صورت پراکنده در اطراف محل کانه‌زایی دیده می‌شوند (شکل ۴-۱۰). بخش عمده کانه‌زایی مس رسویی که بصورت پچ پچ به وضوح قابل رؤیت است. در افق ماسه سنگ خاکستری و گاهای در میان ماسه‌سنگ قرمز قرار گرفته که خود این واحد سنگی بر روی لایه‌ی منگنز بروندمی در معدن منگنز سردار می‌باشد.



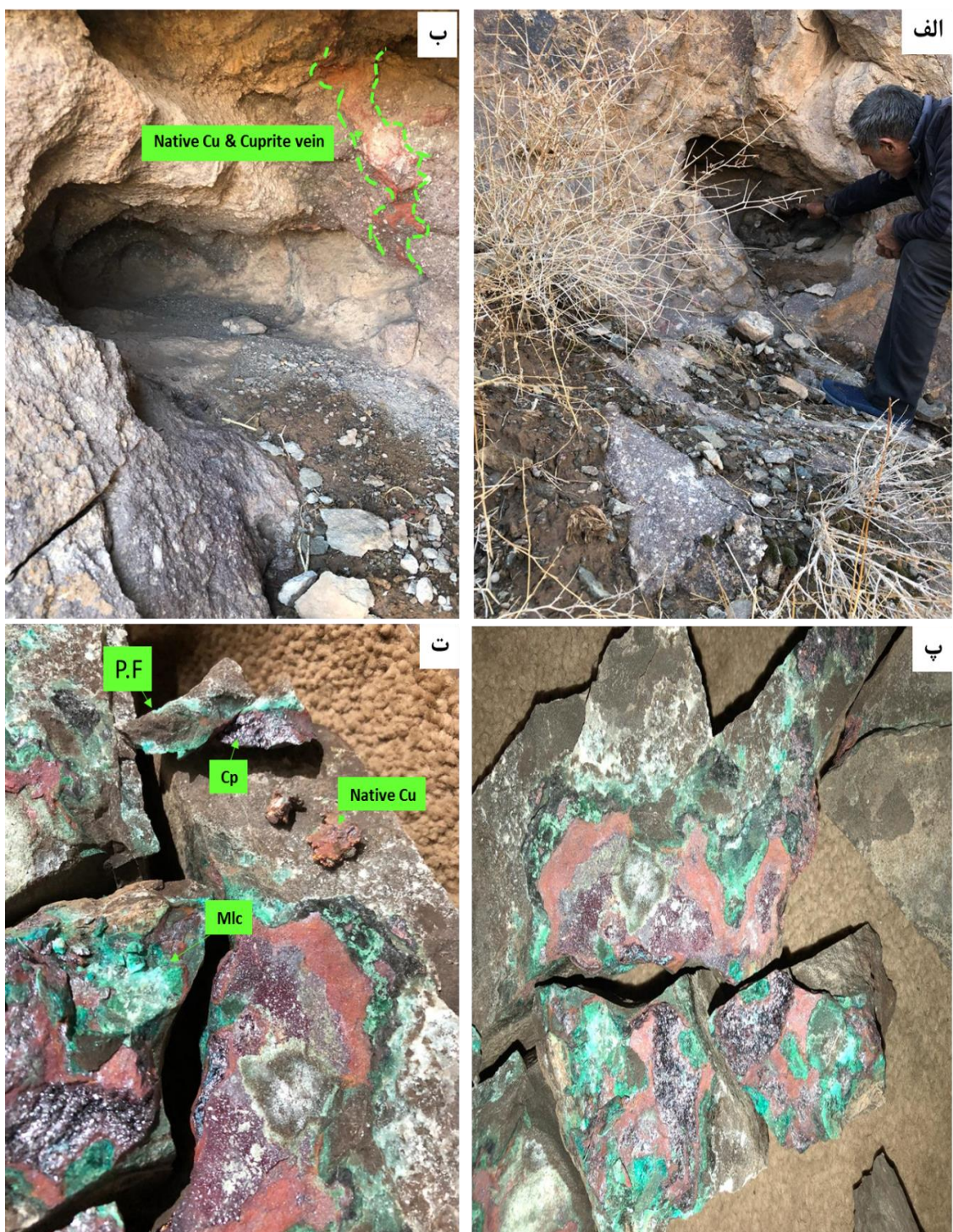
الف



ب

شکل ۱۰-۴: (الف) نمایی از کانه‌زایی مس رسوبی بصورت پچ پچ در ماسه‌سنگ خاکستری، (ب) تصویری از فسیل گیاهی همراه با کانه‌زایی بارز مس. (Coal: فسیل گیاهی، GSS: کالکوسيت، Cct: زغال، P.F: ماسه سنگ خاکستری، Mlc: مالاکیت).

کانه‌زایی مس طبیعی در واحد آتشفسانی و درون کارگاه قدیمی بصورت رگه‌ای حاوی مس طبیعی و کوپریت قابل رویت می‌باشد (شکل ۱۰-۴ الف و ب). همچنین مس طبیعی درون واحد ماسه‌سنگ خاکستری و در اطراف فسیل‌های گیاهی همراه با کوپریت به وضوح قابل مشاهده می‌باشد (شکل ۱۱-۴-پ و ت).



شکل ۱۱-۴: الف و ب) تصویری از رگه‌ی مس طبیعی در کارگاه قدیمی درون واحد آتشفسانی، پ و ت) نمایی از وجود مس طبیعی و کوپریت درون واحد ماسه سنگ خاکستری در کنار فسیل‌های گیاهی.

۶-۴- دگرسانی

۱-۶- دگرسانی در واحدهای آتشفشانی

دگرسانی به طور شاخص یک فرآیند شستشوی پایه می‌باشد. سنگ‌های دربرگیرنده کانسارهای گرمابی تقریباً همیشه آثار واکنشی نشان می‌دهند که توسط نسبت کاتیون‌های فلزی به یون هیدروژن در محلول در محلول دگرسان کننده کنترل می‌شود. اگر نسبت یون‌های قلیایی به یون هیدروژن در محلول پایین باشد، فلدوپات‌ها و سایر سیلیکات‌ها ناپایدار شده و فرآیند هیدرولیز روی می‌دهد که منجر به خروج کاتیون‌ها شده، در جریان این فرآیند سیال‌ها و سنگ‌ها خود را با شرایط جدید تطبیق می‌دهند که به آن دگرسانی سنگ دیواره گویند. آثار دگرسانی ممکن است در حد پهنه‌ای یک یا چند دانه کانی در دیواره رگه بوده یا تا کیلومترها در اطراف شبکه‌ای از رگه‌ها گسترش داشته باشد.

عوامل مؤثر بر دگرسانی عبارتند از:

۱- خصوصیات سنگ دیواره

۲- خصوصیات سیال مهاجم (که تعیین کننده فاکتورهای چون Eh, pH ، فشار بخار، ترکیب آنیون-کاتیون و درجه آبکافت)

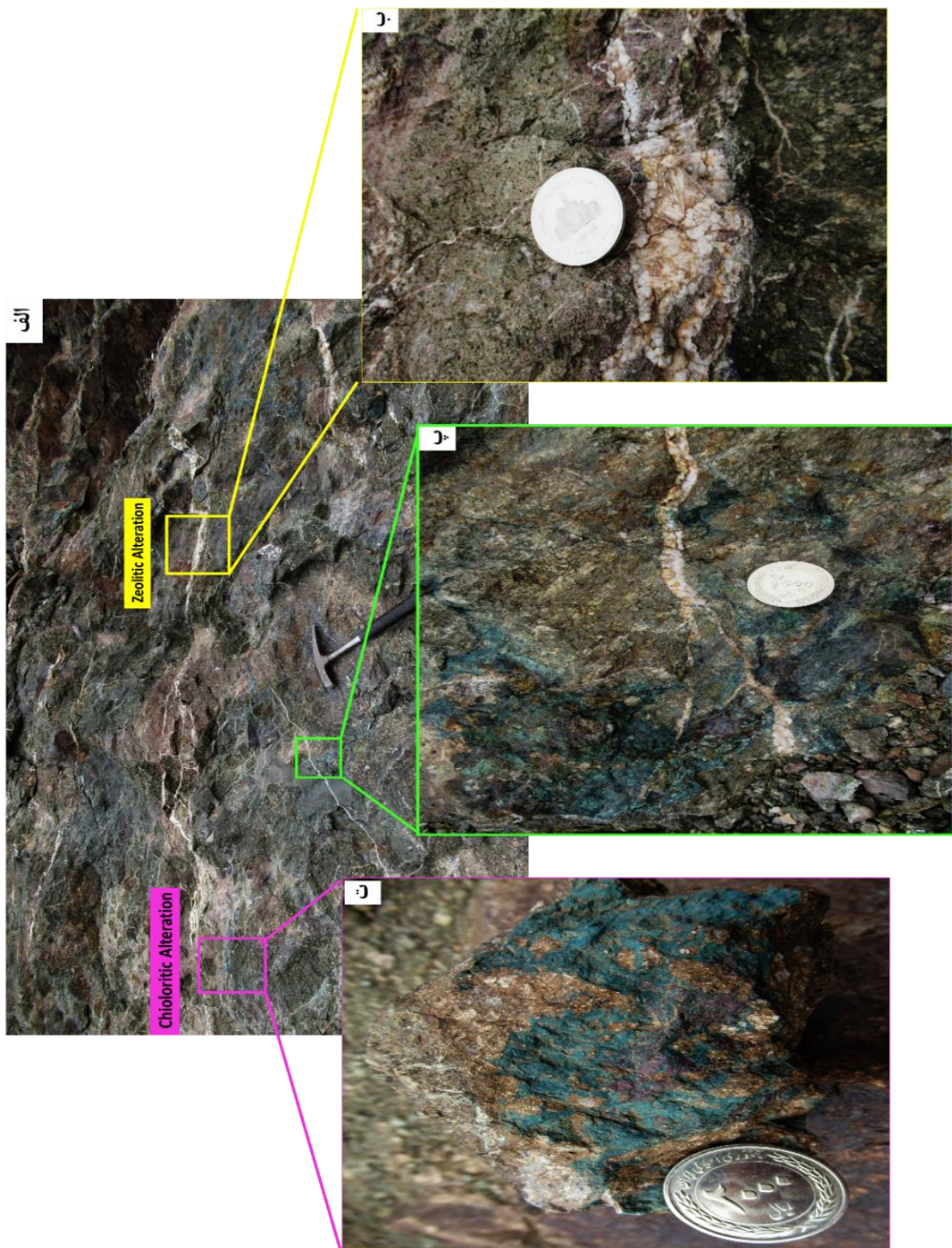
۳- دما- فشاری که واکنش در آن رخ می‌دهد (McMillan and Pantelyev, 1990).
یکی از خصوصیات جالب توجه دگرسانی، منطقه بندی آن است. بیشتر محدوده‌های معدنی مس دگرسانی‌های شاخص و نسبتاً مشابهی دارند که با مطالعات عکس‌های هوایی و ماهواره‌ای قابل تشخیص است که این خود در اکتشاف کانسارهای مس همراه با دگرسانی بسیار استفاده می‌شود(Lentz, 1998). میزان دگرسانی برحسب فاصله با افق معدنی متفاوت بوده و بیشترین میزان دگرسانی نزدیک به کانه‌زایی است و شدت دگرسانی در پهنه کانه‌زایی بیشتر است.

بر اساس مطالعات صحرایی، میکروسکوپی و نتایج آنالیز XRD، بر روی تعدادی از نمونه‌های برداشت شده از کانسار زواک و اندیس‌های مس سردار نشان می‌دهد که به طور عمده بیشترین حجم

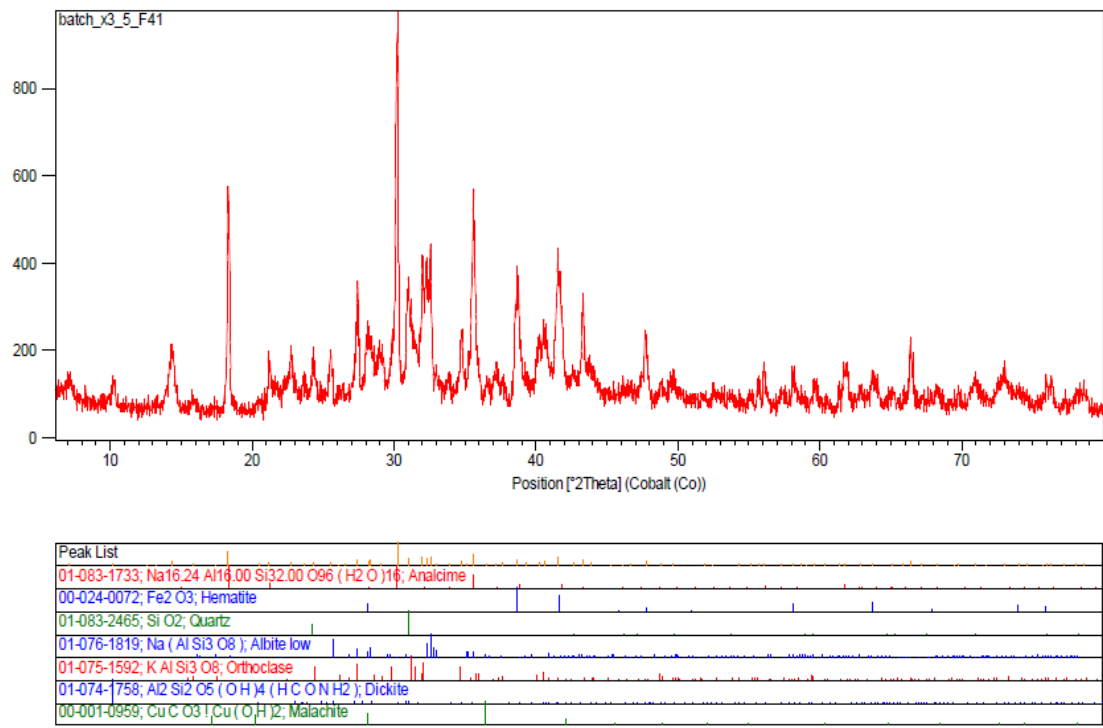
دگرسانی‌ها در کانسار زواک مربوط به دگرسانی کلریتی، زئولیتی و سریسیتی و در اندیس‌های مس سردار بیشترین حجم دگرسانی مربوطه به کلریتی و سریسیتی می‌باشد. البته دگرسانی کلریتی ناحیه‌ای نیز در سنگ‌های آتشفشاری منطقه دیده می‌شود که دلیل آن نهشت این سنگ‌ها در محیط آتشفشاری زیردریایی است و در این محیط رخداد دگرسانی کلریتی ناحیه‌ای طبیعی است (Galley et al., 2007). در کارگاه ۱ مس سردار که داخل سنگ‌های آتشفشاری رخ داده دگرسانی کلریتی با زئولیت همراه است اما در کارگاه ۲ مس سردار که داخل توف ماسه‌ای رخ داده دگرسانی سریسیتی گسترش دارد. در این قسمت دگرسانی‌های موجود در منطقه به اختصار توضیح داده می‌شود.

۴-۶-۱-۱- دگرسانی کلریتی

دگرسانی کلریتی در کانسار مس زواک و مس سردار گسترده‌ترین نوع دگرسانی است که با رخساره‌های استرینگر همراهی دارد. بیشترین میزان دگرسانی کلریتی در این کانسار مربوط به رخساره رگه‌رگچه‌ای می‌باشد که به رنگ سبز دیده می‌شود. بر اساس مطالعات صحرایی و پترولوزی این دگرسانی توسط دگرسانی زئولیتی قطع شده است (شکل ۱۱-۴ و ۱۲-۴).



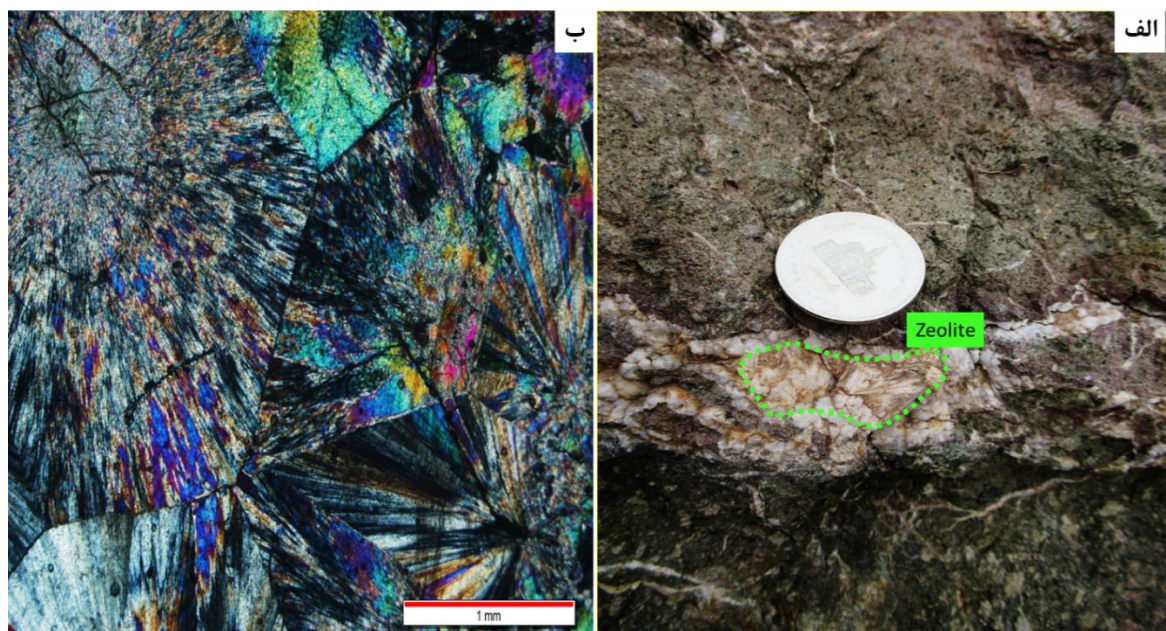
شکل ۱۱-۴: (الف) نمایی از پهنه دگرسانی کلریتی و زئولیتی در کانسار مس زواک، (ب) دگرسانی زئولیتی، (پ) دگرسانی کلریتی که توسط دگرسانی زئولیتی قطع شده است، (ت) نمونه دستی از دگرسانی کلریتی.



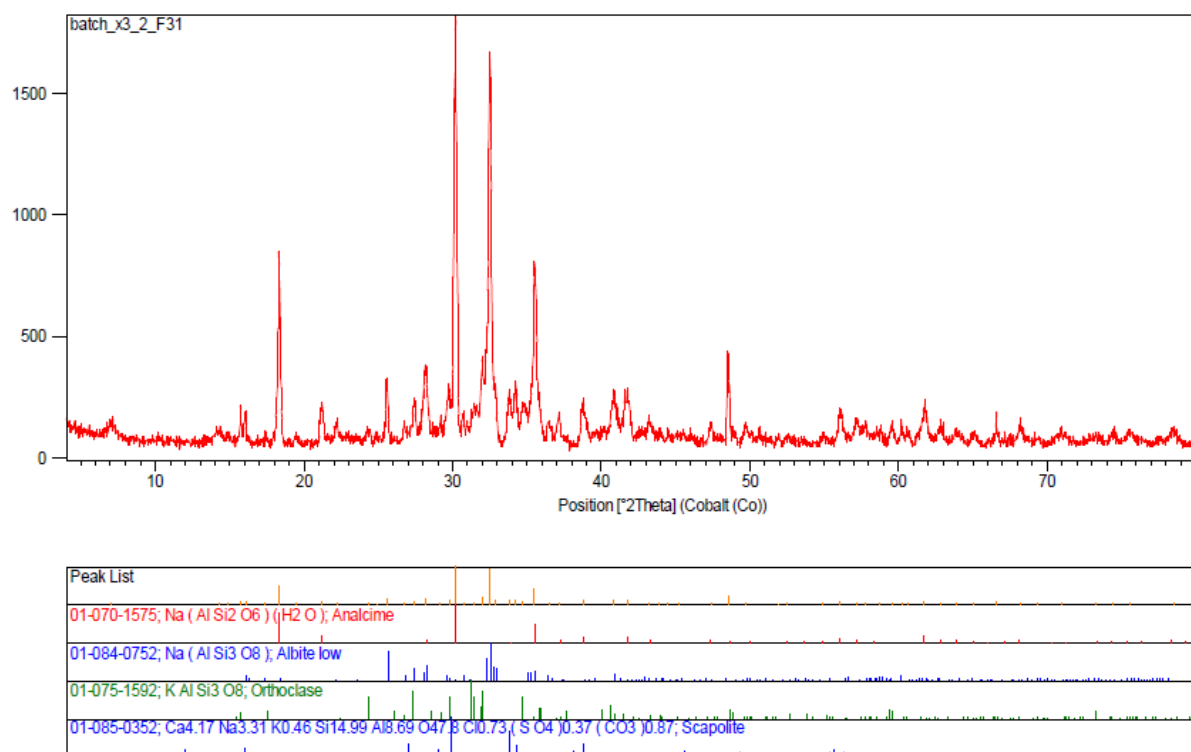
شکل ۱۲-۴: نمودار پراش پرتو ایکس به همراه کانی‌های تشخیص داده شده برای نمونه F41 کانسار زواک.

۱۲-۶-۴-دگرسانی زئولیتی

کانی‌هایی همچون زئولیت، کوارتز، کلریت، موردنیت، کلینوپیتیولیت، لامونتیت، وایراکیت و آنالسیم-نشان دهنده رخساره زئولیتی در دگرگونی‌های خفیف تدفینی (زیردریایی) در دما و فشار پایین می-باشد، ظهور این رخساره معرف پایان دیاژنز و آغاز دگرگونی است و در دمایی در حدود ۲۰۰ تا ۳۵۰ درجه سانتی‌گراد و فشارهای بین ۲.۵ تا ۸ کیلوبار فشار آب به وجود می‌آید. در دگرسانی زئولیتی میزان سولفید بسیار پایین می‌باشد و به ندرت یافت می‌شود. در دمای پایین و pH خنثی محلول‌های گرمابی در سنگ‌های آذرین موجب جابجایی و تمرکز Na,K,Ca در نقاط خاصی شده است که باعث تشکیل کانی‌های خانواده زئولیت می‌گردد. مطالعات میکروسکوپی و XRD نشان می‌دهد، گستره این دگرسانی در کانسار زواک در سنگ‌های آندزیتی-بازالتی میزبان کانه‌زایی مس می‌باشد (شکل ۱۳-۴ و ۱۴-۴).



شکل ۱۳-۴: الف) تصویری از نمونه دستی زئولیت، ب) تصویر میکروسکوپی از زئولیت.

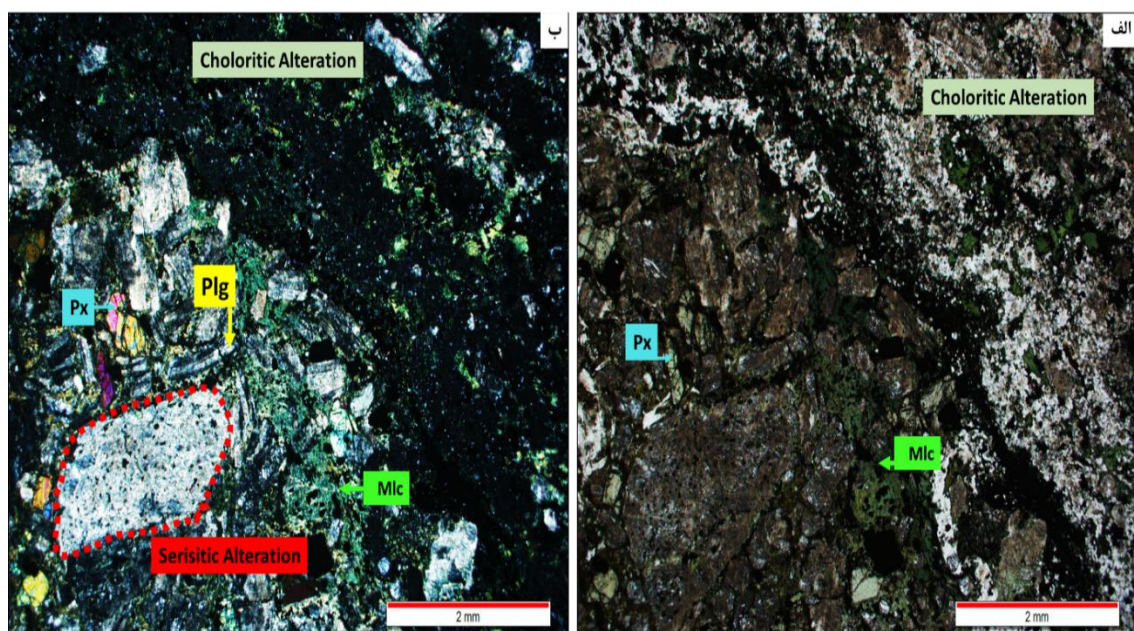


شکل ۱۴-۴: نمودار پراش پرتو ایکس به همراه کانی‌های تشخیص داده شده برای نمونه F31 کانسار زاوک که بیانگر دگرسانی زئولیتی می‌باشد که با کانی آنالسیم مشخص شده است.

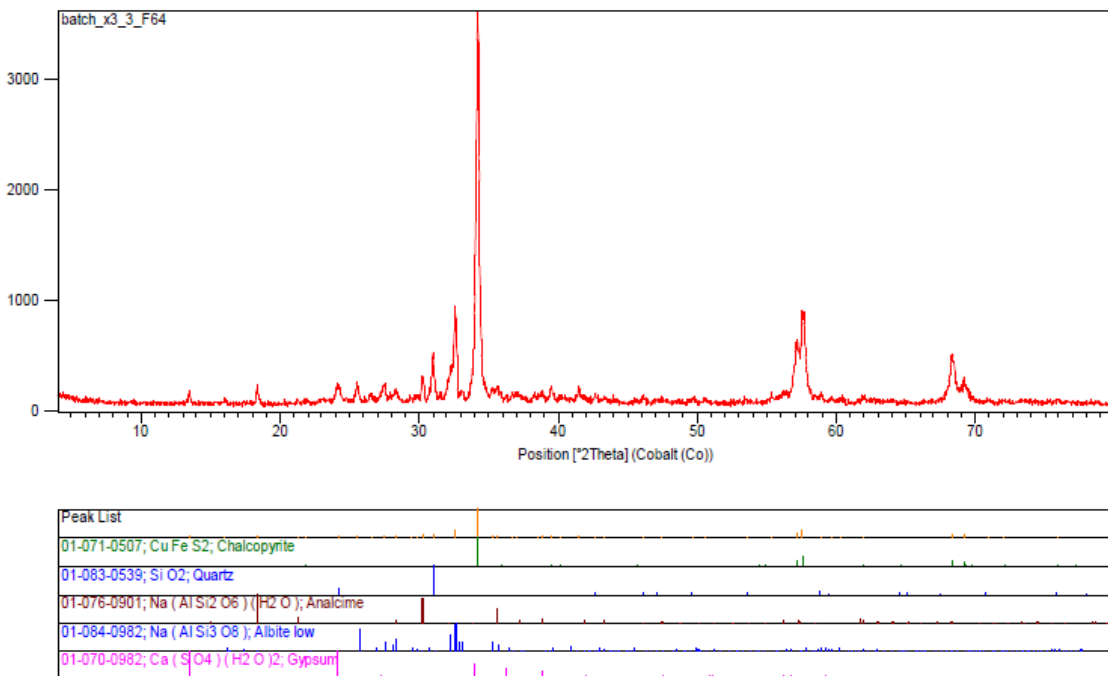
۴-۶-۳- دگرسانی سریسیتی

دگرسانی سریسیتی(فیلیک) که از تاثیر محلول‌های اسیدی بر روی سنگ‌های آذرین به ویژه غنی از Al و سنگ‌های رسوی نظری شیل‌ها و مارن‌ها ایجاد می‌شود. سیال گرمابی کانی‌های این سنگ‌ها بویژه فلدسپارها را هیدرولیز کرده و بر اثر خارج شدن کاتیون‌های Na,Mg,Ca و باقی ماندن کاتیون K در سیستم، سریسیت تشکیل می‌شود. دگرسانی سریسیتی کم و بیش در واحدهای میزان کانه‌زایی در مس زواک و در مس سردار مشاهده می‌شود. بر اساس مطالعات مقاطع نازک، مقدار جزئی از کانی‌های پلاژیوکلاز به سریسیت تبدیل شده‌اند و سریسیت بصورت دانه‌پراکنده در متن کانی‌های پلاژیوکلاز و آلكالی فلدسپار و همچنین در داخل شکستگی‌های پلاژیوکلاز متصرک شده‌است(شکل ۴-۱۵).

.(۱۵



شکل ۴-۱۵: تصویر میکروسکوپی از پلاژیوکلازهای دگرسان شده سریسیتی در کانسار مس زواک.



شکل ۱۶-۴ : نمودار پراش پرتو ایکس به همراه کانی‌های تشخیص داده شده برای نمونه F64 اندیس سردار که نشانگر دگرسانی سریسیتی می‌باشد که با کانی‌های کالکوپیریت و کوارتز مشخص شده است.

۲-۶-۴ - دگرسانی و پهنه‌بندی در واحد رسوی

حجم و سرعت جریان سیال درون حوضه‌ای که کانی‌سازی در آن‌ها انجام شده، متغیر است. کانسارهای دیاژنتیک اولیه و نیز حوضه‌هایی که چند اندیس و کانسار کوچک در آن‌ها تشکیل شده است، جریان سیال متوسطی داشته‌اند در صورتی که برای تشکیل کانسارهای بزرگ، حجم سیال زیادی طی دوره‌های زمانی طولانی مورد نیاز می‌باشد. سیالات مربوط به محیط‌های نزدیک سطح، شوری متوسط و درجه حرارت کمی دارند چنانی سیالاتی قادر به انجام واکنش با کانی‌های درون سکانس طبقات قرمز هستند. نوع کانی‌هایی که طی دیاژنز تشکیل شده‌اند به ترکیب سیال وابسته‌اند و خود ترکیب سیال نیز به منشا سیال به دام افتاده، آب دریا، شورابه‌های دریاچه‌ای (غنى از سدیم و کلسیم) یا آب ناشی از آب‌زدایی ژیپس وابسته است. نوع کانی‌های دگرسانی به شیمی شورابه‌ها و شرایط فشار و حرارت بستگی دارد. کانی‌هایی که انتظار می‌رود طی دگرسانی ایجاد شوند، همان کانی‌هایی هستند که طی دیاژنز معمولی تولید می‌شوند (آلبیت، فلدسپات پتاسیم‌دار، کوارتز، انواع

کانی‌های کربناته و تبخیری، کلریت، مگنتیت، هماتیت، آپاتیت و غیره). شدت دگرسانی به بالا بودن نسبت آب/سنگ، طولانی بودن زمان و مسیر مهاجرت سیال بستگی دارد. بر اساس کاکس و همکاران (Cox et al., 2007, Hitzman et al., 2005) دگرسانی اصلی کانسارهای مس رسوی اصطلاحاً از نوع سبز، سفید یا خاکستری شدن (Bleaching) سنگ‌های دربرگیرنده است. سیالات درون سازندی، در مجاورت با مواد آلی، حالت احیایی پیدا می‌کنند و در مسیر خود از میان سنگ میزبان، در نتیجه واکنش با رسوبات قرمز، موجب دگرسانی (Bleaching) می‌شود.

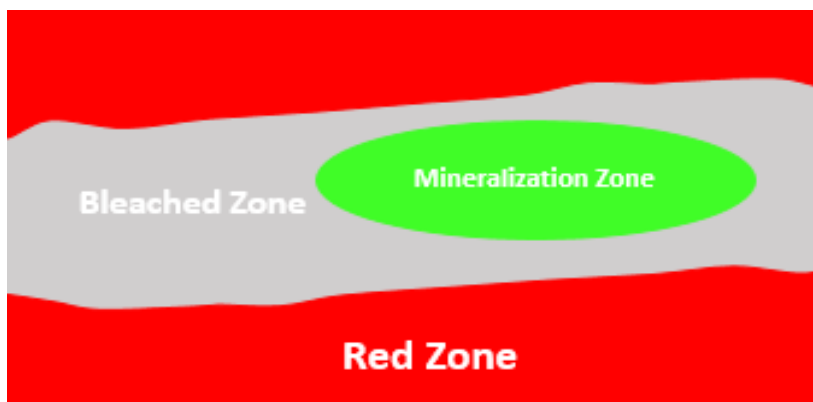
در منطقه مورد مطالعه شاخص‌ترین دگرسانی مربوط به ذخایر مس رسوی در یال شمالی تاقدیس می‌باشد. در افق‌های میزبان کانه‌زایی در این کانسار بر اساس دگرسانی صورت گرفته، شرایط اکسیداسیون و احیا، کانی‌شناسی و رنگ، سه بخش مجزا از یکدیگر قابل تشخیص است. این بخش‌ها عبارتند از:

۱-پهنه قرمز اکسیدان (Red zone)

۲-پهنه شسته شده (Bleached zone)

۳-پهنه احیایی کانه‌دار (Mineralization zone)

نحوه قرار گیری این سه پهنه در افق احیایی میزبان کانه‌زایی (که در اینجا ماسه‌سنگ خاکستری احیایی است) بصورت لایه‌ای در کنار یکدیگر می‌باشد (شکل ۱۷-۴).

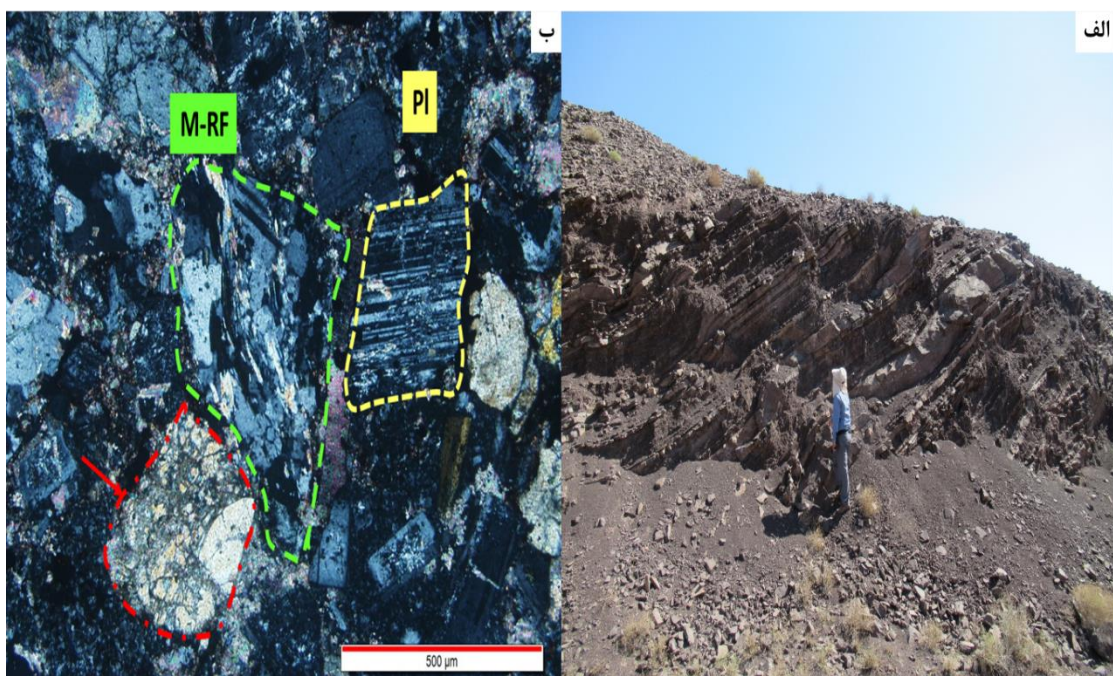


شکل ۱۷-۴: شکل شماتیک عمومی از چگونگی قرارگیری و ارتباط پهنه‌های سه‌گانه در افق احیایی میزبان کانه‌زایی در کانسار مارکشه (مهدوی و همکاران، ۱۳۹۰).

۴-۶-۲-۱- پهنه قرمز اکسیدان

این پهنه حاوی مقادیر فراوانی اکسیدهای آهن است که به صورت پوشاننده دانه‌ها و ماتریکس کانی-های تشکیل دهنده سنگ می‌باشد. رنگ این بخش از قهقهه‌ای تیره تا قرمز تغییر می‌کند. در نمونه‌های دستی بخش‌های دانه‌ریزتر رنگ قرمز تیره‌تری نسبت به قسمت‌های دانه درشت دارد. رنگ قرمز این پهنه به دلیل وجود مقادیر زیادی اکسید آهن است. این بخش از ماسه سنگ دانه ریز تا دانه متوسط تشکیل شده است. در این پهنه در برخی نقاط کانه‌زایی به صورت تجمعات پراکنده در ماسه سنگ رسوبی کانه‌دار قرار دارد(شکل ۱۸-۴).

به هنگام تهنشست لایه‌های سرخ رنگ، سیلیکات‌های آهن‌دار ناپایدار همراه آن‌ها (مانند پلازیوکلار، بیوتیت، مگنتیت) وارد حوضه رسوبی شده‌اند. در اثر تجزیه این سیلیکات‌ها، آهن موجود در ساختمان آن‌ها خارج شده و به صورت اکسید آهن اولیه(Ferric oxide) که ماده اولیه تشکیل هماتیت (در شرایط Eh مثبت و Ph خنثی تا قلیایی در مناطق گرم و قاره‌ای با عرض جغرافیایی کم محسوب می‌شود (Walker, 1989)، دور قطعات آواری را احاطه کرده و باعث قرمز شدن رسوبات می‌گردد.



شکل ۱۸-۴: (الف) تصویری از پهنه قرمز اکسیدان در منطقه، (ب) تصویر میکروسکوپی از ماسه سنگ قرمز.

۴-۶-۲-۲- پهنه شسته شده (Bleached zone)

پهنه شسته شده در واقع بخشی از توالی لایه‌های سرخ رنگ است که در آن تاثیر فرایند دگرسانی، با توجه به تغییر رنگ ایجاد شده به خوبی دیده می‌شود. در این پهنه تحت تاثیر سیال احیایی، رنگ قرمز ماسه سنگ به رنگ سفید، قهقهه‌ای مایل به خاکستری دیده می‌شود شکل(۱۹-۴).

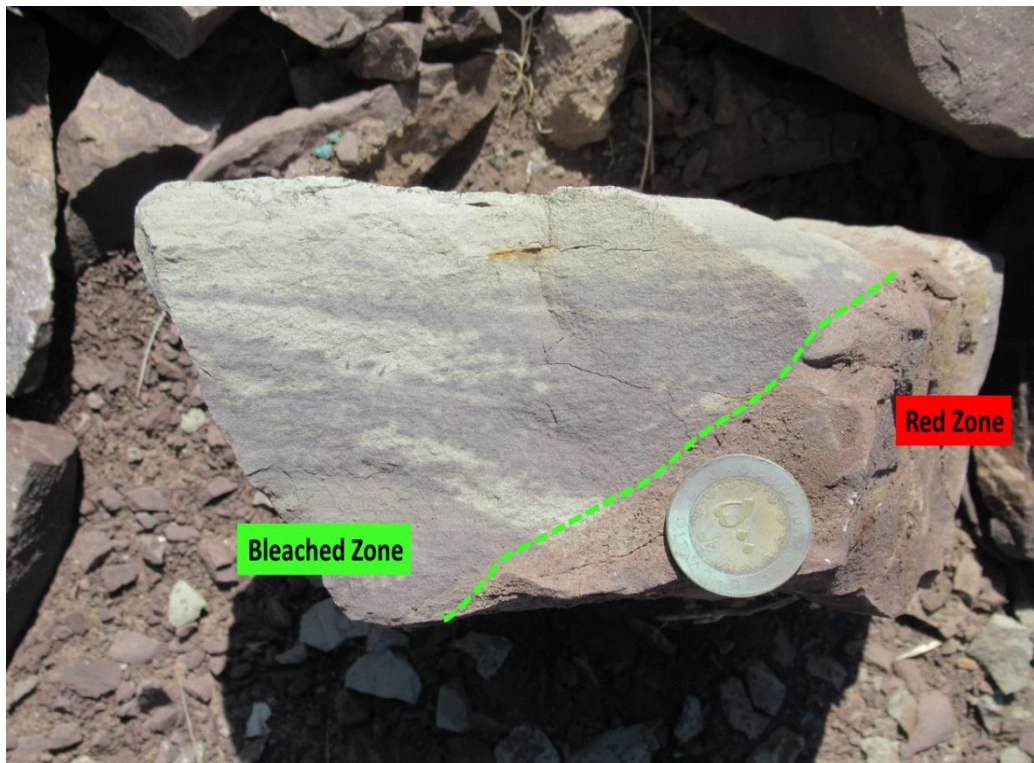
به دلیل اهمیت سیال احیایی و نقش آن در ایجاد دگرسانی در زیر ویژگی‌های سیال احیا مورد بررسی قرار گرفته است.

حرکت سیال و ایجاد دگرسانی در توالی‌های Redbed به دو طریق صورت می‌گیرد (Kirkham, 1996., Hitzman et al, 2005

۱- سیال از طریق سیستم‌های گسل‌ها و شکستگی‌ها به درون توالی رسوبی وارد شده و با ایجاد پهنه‌های وسیع و نامنظم از دگرسانی Bleaching در بخش‌های نفوذپذیر، گستره وسیعی از سنگ‌های قرمز رنگ اطراف گسل‌ها نه تمام سنگ را به رنگ خاکستری در می‌آورد.

بهترین مثال از این مورد ماسه سنگ شسته شده در حوضه Paradox است. این حوضه در ایالت‌های یوتا و کلرادوی آمریکا، میزبان چندین کانسار مس با میزبان رسوبی است که حرکت سیال در آن توسط گسل‌ها کنترل می‌گردد (Durson., 2005).

۲- در این روش حرکت سیال و ایجاد دگرسانی Bleaching در توالی‌های قرمز رنگ در ارتباط با نفوذپذیری سنگ‌های میزبان است و توسط سیستم‌های گسلی کنترل نمی‌شود (Kirkham, 1996, Nacimiento در نیومکزیکو است، که دگرسانی Bleaching در آن گستردگی مثال این مورد، کانسار Nacimiento در نیومکزیکو است، که دگرسانی Bleaching در آن گستردگی کمتری داشته و هم‌روند با لایه‌بندی و در ارتباط با نفوذپذیری سنگ‌های موجود در توالی کانسار می‌باشد (Woodward, 1974).



شکل ۱۹-۴: پهنه شسته شده در منطقه که بر روی پهنه قرمز قرار گرفته است و به رنگ سبز خاکستری دیده می‌شود.

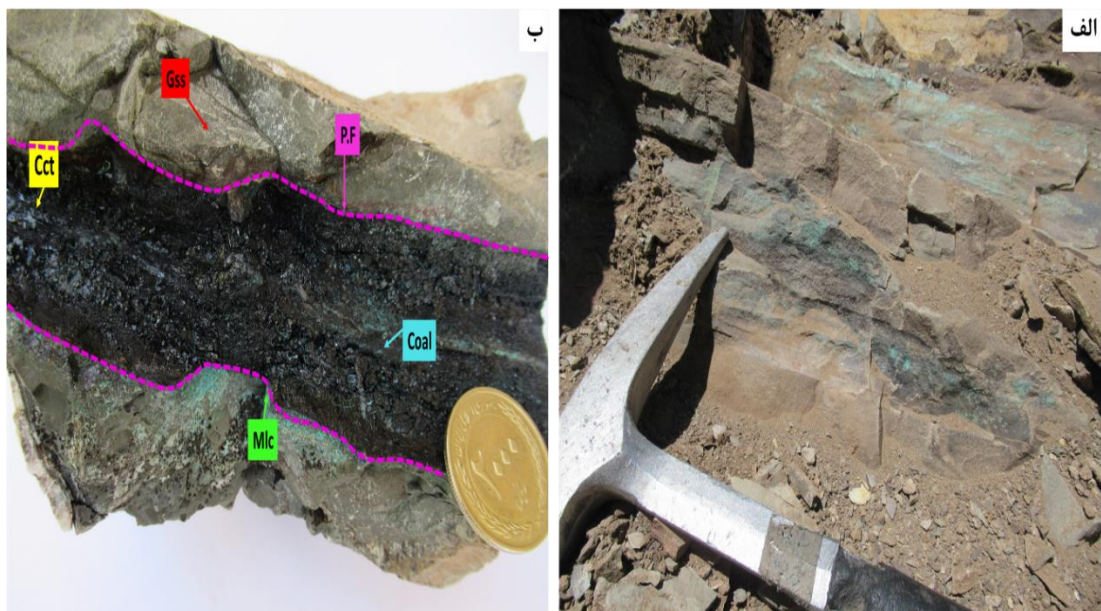
۴-۲-۳-۶- پهنه احیایی کانه‌زایی شده

مهم‌ترین عوامل موثر در تشكیل این پهنه، فراوانی قطعات فسیل گیاهی و مواد آلی به عنوان عامل احیا و نیز نفوذپذیری سنگ‌ها در بخش شسته شده می‌باشد. بافت کانه‌زایی غالباً جانشینی و دانه پراکنده است. مهم‌ترین کانی‌هایی که در این بخش دیده می‌شود، عبارتست از: کالکوسیت، بورنیت، کولیت و دیژنیت. سوپرژن سولفیدی، سولفیدهای مس اولیه را به کولیت، مالاکیت و کریزوکلا تبدیل نموده است. مالاکیت و آزوریت به صورت پراکنده و نیز درون شکستگی‌ها در اطراف بخش‌های کانه‌زایی شده، ایجاد یک هاله سبز رنگ می‌کند که تشخیص پهنه کانه‌زایی شده را آسان می‌کند.

در کانسارهای مس رسوی، احیا شدگی محیط مانند پهنه‌های حاوی پیریت و مواد آلی از جمله مهم‌ترین عوامل تهنشست کانه می‌باشند. البته منشا سولفید بیوژنیک را نیز باید در نظر گرفت. همچنین نفوذپذیری بالای سنگ میزبان و یا وجود سیستم‌های گسلی در آنها بسیار حیاتی است. فضای خالی بین دانه‌ای در رسوبات دانه‌ریز قبل از تراکم و سنگی شدن، می‌تواند موضع مناسب برای تهنشست

باشد. عملکرد واحدهای شیلی و مارنی در بخش‌های فوقانی پهنه‌های کانی سازی شده بدین صورت است که به عنوان سدهای ژئوشیمیایی (نفوذپذیری پایین)، مانع از عبور و نفوذ بیشتر سیال حاوی مس به سمت بالای سیستم گشته و ته‌نشست بیشتر مس را سبب می‌شوند.

در منطقه مورد مطالعه، پهنه احیایی کانه‌زایی شده به صورت افق‌های کانه‌دار در درون بخش شسته شده احیایی قرار دارند (شکل ۲۰-۴).



شکل ۲۰-۴: نمای از کانه‌زایی در ماسه سنگ خاکستری ب) تصویری از کانه‌زایی سولفیدی مس که در این کانسار عامل احیا فسیل‌های گیاهی می‌باشد.

فصل پنجم:

کانی‌شناسی، ساخت و بافت

و توالی پاراژئوگرافی

۱-۵ - مقدمه

نکات مهمی که در هنگام مطالعات کانی شناسی می‌توان مورد مطالعه و بررسی قرار داد، عبارتند از: شناسایی کانی‌های سازنده یک ذخیره و مطالعه بافت آن. هدف از این مطالعات بررسی شرایط و چگونگی تشکیل کانسار، تغییر پاراژنر در مراحل تبلور و تشخیص تعداد مراحل کانی سازی در هر منطقه است. انتخاب روش تغليظ مناسب، مستلزم شناسایی دقیق کانی‌ها و بافت آن کانسار است. هرچند که به کمک روش پراش اشعه ایکس(XRD) می‌توان کانی‌های یک کانسار را در صورتی که بیش از حدود دو درصد (پودر چند کانی) باشند، تشخیص داد، اما شناسایی دقیق کانی‌های فلزی و مطالعه بافت آن‌ها بر پایه میکروسکوپ نور انعکاسی و یا میکروسکوپ الکترونی استوار است. در ذخایری که دارای عیار پایین و ارزش اقتصادی هستند، تشخیص نوع کانی مفید در نمونه دستی امکان‌پذیر نیست و فقط به کمک میکروسکوپ می‌توان آن را تشخیص داد. بافت کانسارها در واقع، درجه تبلور، اندازه دانه‌ها و فابریک یا رابطه هندسی میان اجزا تشکیل دهنده یک سنگ را مشخص می‌کند. نکاتی که در مورد بافت باید به طور دقیق مورد بررسی قرار گیرد عبارتند از: دامنه اندازه کانی‌های مفید، شکل کانی‌های مفید و باطله، نحوه رشد و ارتباط کانی-های مفید و باطله و بالاخره نوع انکلوزیون‌های واقع در کانی‌های مفید. ویژگی بافتی هر سنگ وابسته به شرایطی است که سنگ در آن تشکیل می‌شود(کریمپور، ۱۳۸۴).

بدین منظور جهت بررسی ویژگی‌های ساختی و بافتی و کانی‌شناسی در منطقه مورد مطالعه تعداد ۱۵ مقطع نازک-صیقلی، ۵۵ عدد مقطع نازک و ۱۰ عدد مقطع صیقلی تهیه و مورد مطالعه قرار گرفت. نتایج حاصل از این مطالعات نقش مهم و کلیدی در پیشبرد اهداف این تحقیق داشته است که در این فصل به شرح آن پرداخته می‌شود.

۲-۵- کانی‌شناسی

کانی‌شناسی مس به طور وسیع مورد مطالعه قرار گرفته و نسبتاً مشخص است، گرچه به علت وجود فازهای نیمه پایدار، پیچیدگی‌هایی در کانسار رسوی وجود دارد. عمدتاً تنها سولفیدها و فلزات طبیعی از نظر اقتصادی با اهمیت هستند. هرچند کربنات‌هایی چون مالاکیت و آزوریت نیز رایج هستند و حتی بخش عمده تعداد کمی از کانسارها را تشکیل می‌دهند(Maynard, 1983). به همین منظور در ادامه به بررسی کانی‌های مس موجود در کانسارهای مورد مطالعه و ویژگی‌های آن‌ها می‌پردازیم.

۱-۲-۵- کانی‌های اولیه

در کانسار زاوک کانی‌های اصلی شامل کالکوسیت، پیریت، کالکوپیریت، بورنیت، مگنتیت می‌باشد و در کانسار سردار شامل مس طبیعی، کالکوسیت، بورنیت و پیروولوزیت است. در ذخایر مس رسوی نیز کانی اولیه شامل مس طبیعی و کالکوسیت می‌باشد. که در زیر به اختصار به بررسی کانی‌های اولیه مشاهده شده پرداخته شده است.

۱-۱-۲-۵- کالکوسیت

کالکوسیت با فرمول Cu_2S در سیستم ارتورومبیک متبلور می‌شود و بلورهای پهن منشوری دارد. در ترکیب شیمیایی این کانی $79/9$ درصد مس وجود دارد و گوگرد در آن به عنوان محصول فرعی می‌باشد. این کانی به رنگ خاکستری متمایل به سیاه تا سیاه است و دارای سختی $5/2-5/2$ ، چگالی $8/5$ ، شکستگی صدفی و در سطح شکست دارای جلای فلزی است که فوراً رنگ تیره و جلای مات پیدا می‌کند. خط اثر آن جلای فلزی دارد و غالباً حاوی مقداری آهن و نقره به شکل ناخالصی است. کالکوسیت به صورت کانی اولیه از منشا گرمابی تشکیل می‌شود. در تمامی انواع کالکوسیت، عنصر مس ممکن است با مقداری نقره، آهن و منگنز، در فرم‌های دمابالا جانشین شود(Ramdohr, 1980).

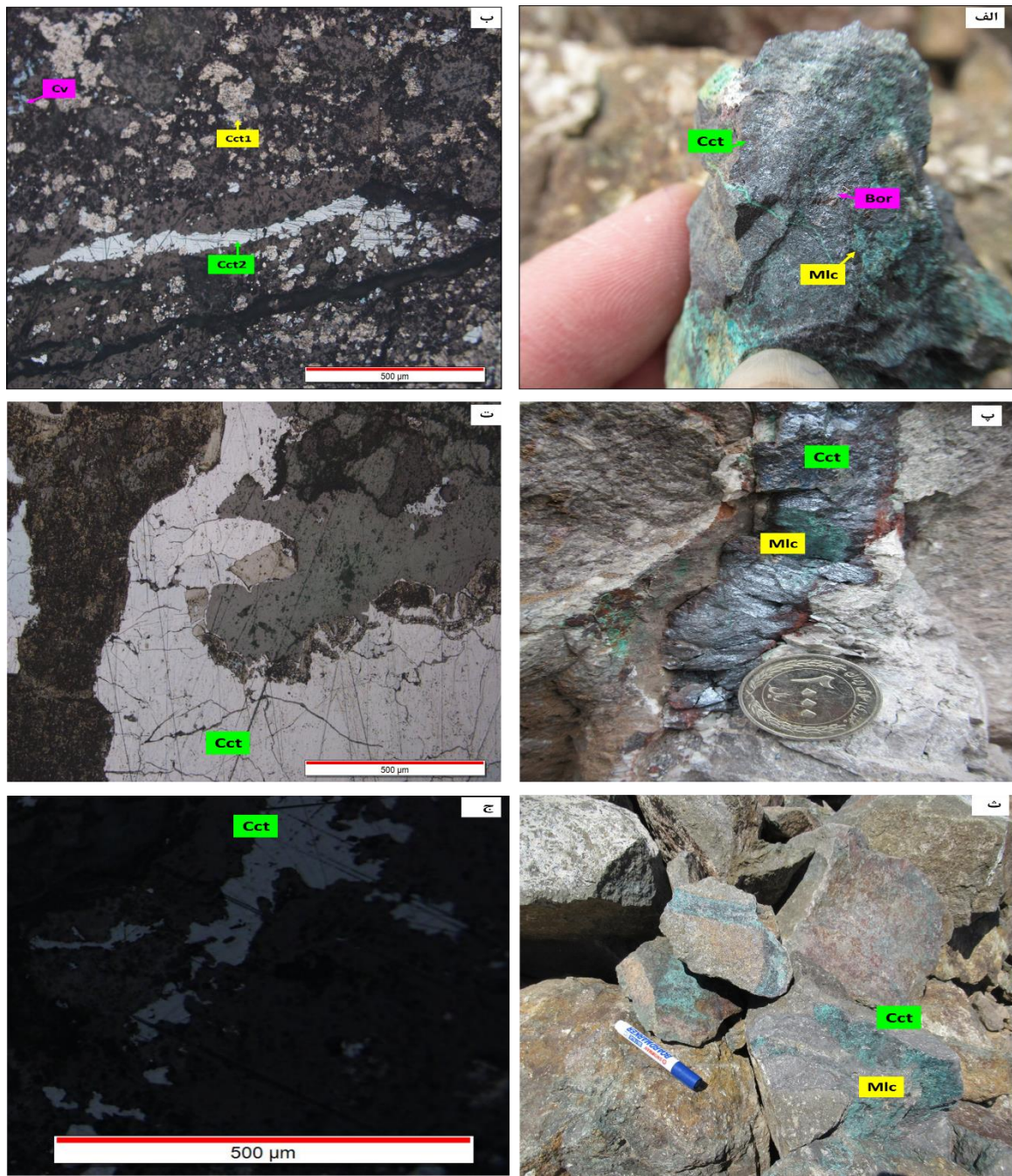
کالکوسیت، در کانسارهای مورد مطالعه به عنوان کانی سولفیدی اصلی و کانی اقتصادی موجود در کانسارهای مورد مطالعه محسوب می‌شود. این کانی با ابعاد کوچکتر از ۱/۰ میلیمتر تا چند سانتی متر درون بخش‌های احیایی کانه‌زایی شده وجود دارد. کالکوسیت در نمونه دستی کانسارهای زواک و سردار به صورت دانه پراکنده و رگه‌ای نقره‌ای با جلای فلزی (شکل ۵-۱) و در انديس‌های مس رسوبي به صورت دانه پراکنده مشاهده می‌شود (شکل ۵-۲).

کانسار زواک دارای دو نوع کالکوسیت می‌باشد:

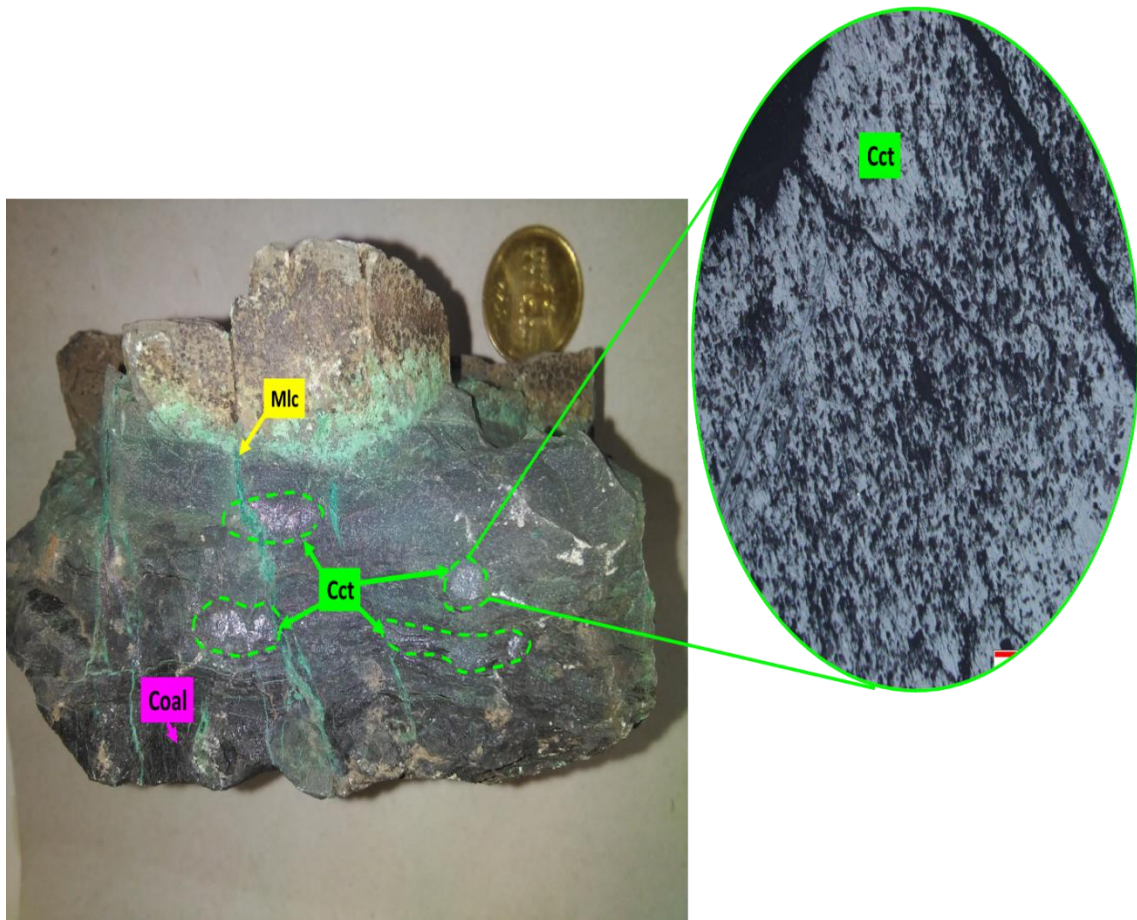
۱- کالکوسیت اولیه که طی فرآيند کانه‌زایی همراه با بورنیت تشکیل شده است و به صورت جانشینی و کلوفورمی دیده می‌شود.

۲- کالکوسیت ثانویه که طی مرحله بالآمدگی، فضاهای خالی و خلل و فرج شکستگی‌ها را پر نموده است.

کالکوسیت اولیه سخت‌تر بوده و دارای رنگ خاکستری متتمایل به نقره‌ای می‌باشد و در دمای بالاتر تشکیل می‌شود. اما کالکوسیت ثانویه نرم‌تر می‌باشد.



شکل ۵-۱: (الف) تصویری از نمونه دستی کالکوسیت در کانسار مس زاوک (ب) تصویر میکروسکوپی از مقطع صیقلی رگه کالکوسیت دار، که دونسل کالکوسیت به وضوح قابل رویت است، (پ) تصویری از نمونه دستی از کالکوسیت ثانویه در کانسار مس سردار، (ت) تصویر میکروسکوپی از مقطع نازک صیقلی رگه کالکوسیت ثانویه مس سردار، (ث) تصویری از نمونه دستی کالکوسیت در کانسار مس سردار، (ج) تصویر میکروسکوپی از مقطع صیقلی رگه کالکوسیت دار

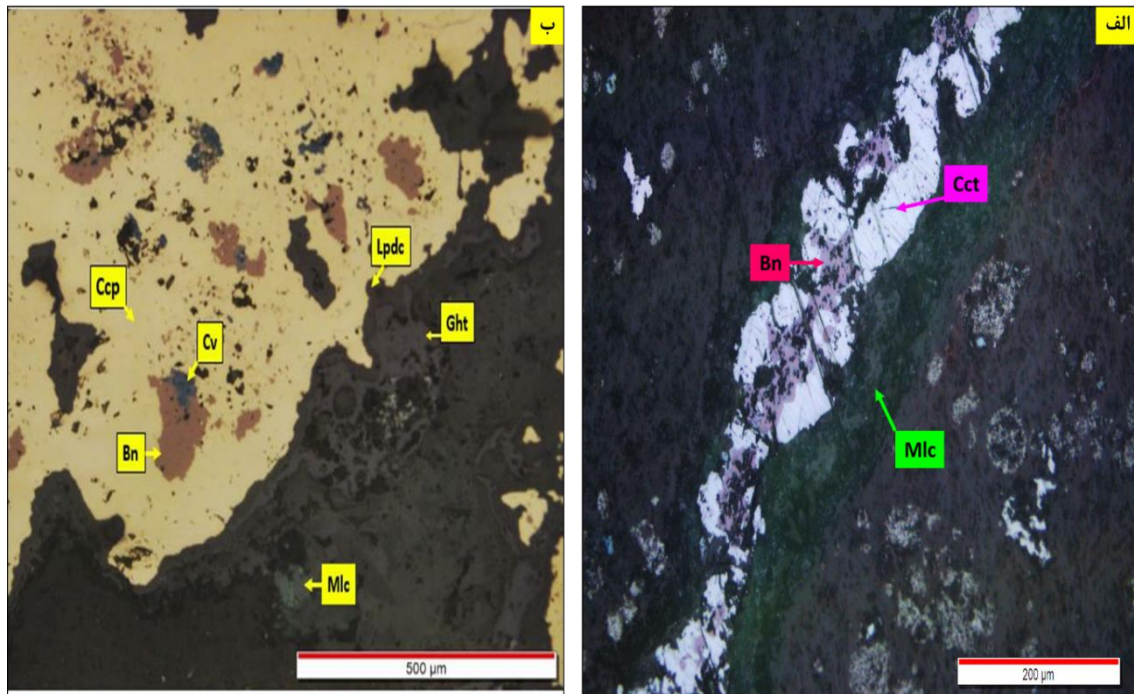


شکل ۲-۵: تصویری از نمونه دستی فسیل گیاهی که کانه زایی مس در آن کاملا مشخص می‌باشد (ب) تصویر میکروسکوبی از کالکوسیت در فسیل گیاهی.

۲-۱-۲-۵ بورنیت

بورنیت دارای فرمول Cu_5FeS_4 می‌باشد. بورنیت به رنگ قرمز روشن (در سطح صاف) با سطوح زبر دیده می‌شود. بلور بورنیت دارای رخ نامشخص در جهت سطوح مکعبی و واجد شکستگی صدفی است. خط اثر آن خاکستری تا سیاه است. در ترکیب شیمیایی بورنیت ۶۳-۵۵ درصد مس وجود دارد و گوگرد در آن به عنوان محصول فرعی می‌باشد. بورنیت اکثرا به حالت توده‌ای با دانه‌های درشت و یا فلس مانند دیده می‌شود و به ندرت منشا ماغماتیک و اکثرا از منشا پنوماتولیتی مجاورتی تشکیل می‌شود اما گاهی فقط منشا گرمابی یا رسوبی آن قابل استخراج است. در کانسارهای مورد مطالعه بورنیت در کانسارهای زواک و سردار دیده می‌شود. این کانی در نمونه دستی به وضوح با چشم غیرمسلح قابل

تشخیص می‌باشد. بورنیت در مقاطع میکروسکوپی بی‌شکل بوده و همراه با کالکوسیت دیده می‌شود. در کانسار زواک بورنیت در تماس با کالکوسیت ظاهر گشته و دارای رنگ صورتی می‌باشد اما در اندیس‌های معدنی سردار بورنیت‌ها بسیار درشت بوده و در مجاورت کالکوپیریت‌های استرینگر قرار دارند(شکل ۳-۵).

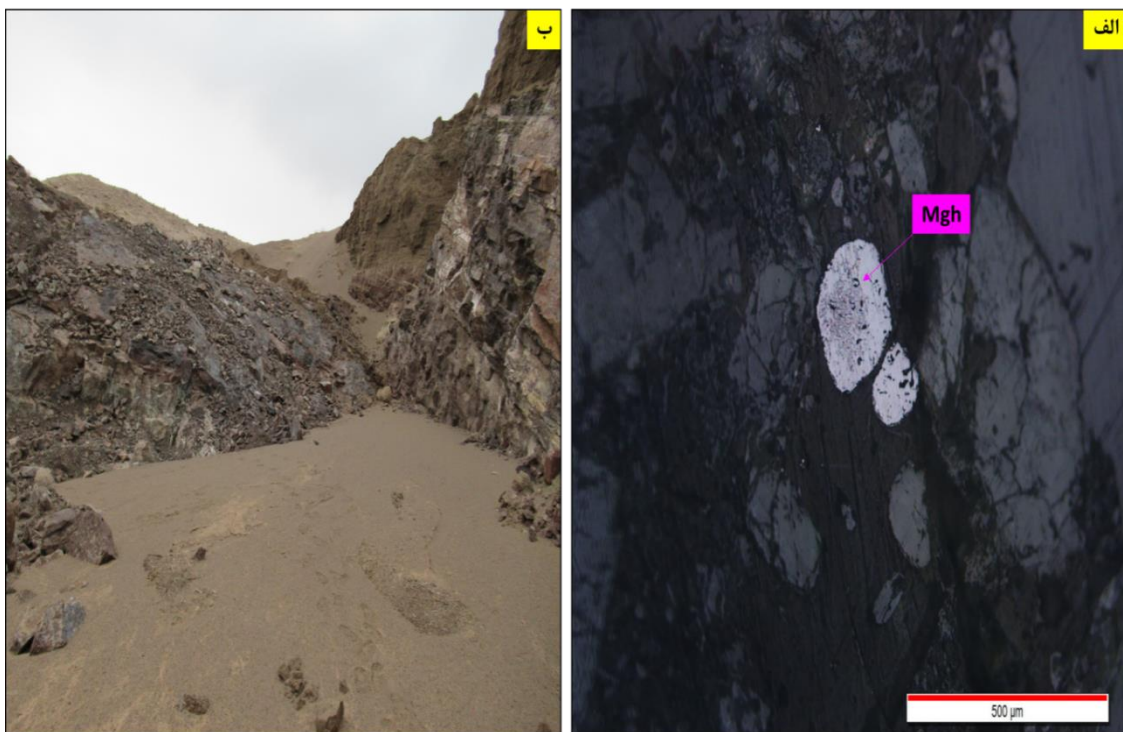


شکل ۳-۵: الف) تصویر میکروسکوپی بورنیت در کانسار زواک ب) تصویر میکروسکوپی بورنیت در کانسار سردار.

۳-۱-۲-۵- مگنتیت

مگنتیت یکی از کانه‌های آهن با فرمول شیمیایی Fe_3O_4 است و در حالت خالص ۷۲/۳۶ درصد آهن و ۲۷/۶۴ درصد اکسیژن دارد. رنگ آن از خاکستری تیره تا سیاه تغییر می‌کند و وزن مخصوص آن بین ۵/۱۸ تا ۵/۱۸ می‌باشد. خاصیت مغناطیسی قوی این کانه باعث می‌شود که بتوان آن را به روش جداکننده مغناطیسی از مواد باطله جدا کرد. مگنتیت دارای شبکه کریستالی مکعبی می‌باشد. در محیط‌های کربناته با Eh و Ph پایین مگنتیت بسیار مقاوم است و می‌تواند به صورت پلاسی و لایه‌ای درون سنگ تجمع پیدا کند. مگنتیت در مقاطع میکروسکوپی بصورت دانه‌پراکنده در سنگ میزبان

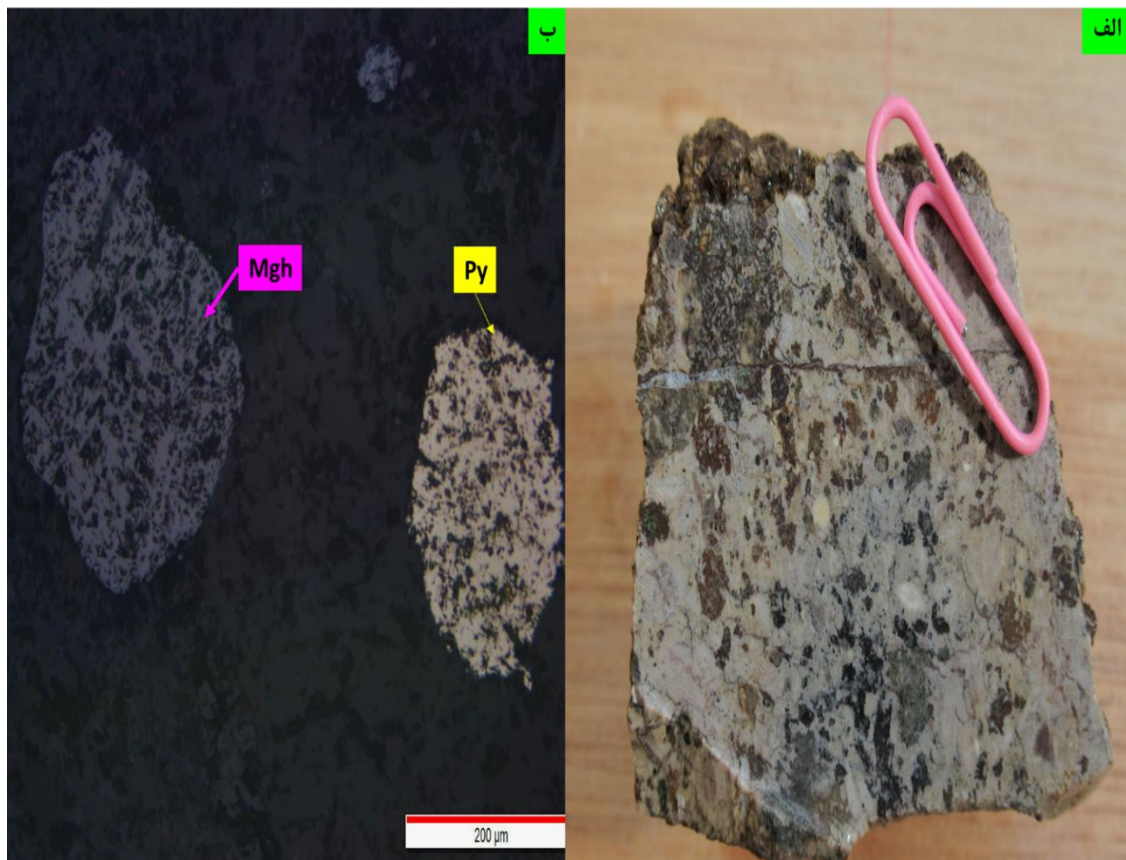
کانه‌زایی زواک دیده می‌شود. مگنتیت پلاسربی نیز در رسوبات آبراهه‌ای در منطقه به وضوح قابل رویت می‌باشد(شکل ۴-۵).



شکل ۴-۵: الف) تصویر میکروسکوپی از حضور مگنتیت در سنگ میزبان زواک. ب) نمایی از حضور مگنتیت پلاسربی در معدن منگنز سردار.

۴-۱-۲-۵ - پیریت

فرمول این کانی FeS_2 بوده و در ترکیب شیمیایی آن $44/6$ درصد آهن و $53/4$ درصد گوگرد وجود دارد. سختی بلور در مقیاس موس $6/5$ تا $6/5$ و وزن مخصوص آن $4/9$ تا $2/5$ است. این کانی در سیستم کوبیک متبلور می‌شود و رنگ آن از زرد برنجی تا زرد متمایل به قهوه‌ای تغییر می‌کند و به طور معمول فاقد خاصیت مغناطیسی است. این کانه از مهم‌ترین سولفورهای آهن محسوب می‌شود. در کانسار زواک پیریت بصورت دانه‌پراکنده در واحد آهک نومولیت‌دار دیده می‌شود و اندازه آن حدودا ۲۰۰ میکرومتر می‌باشد(شکل ۵-۵).

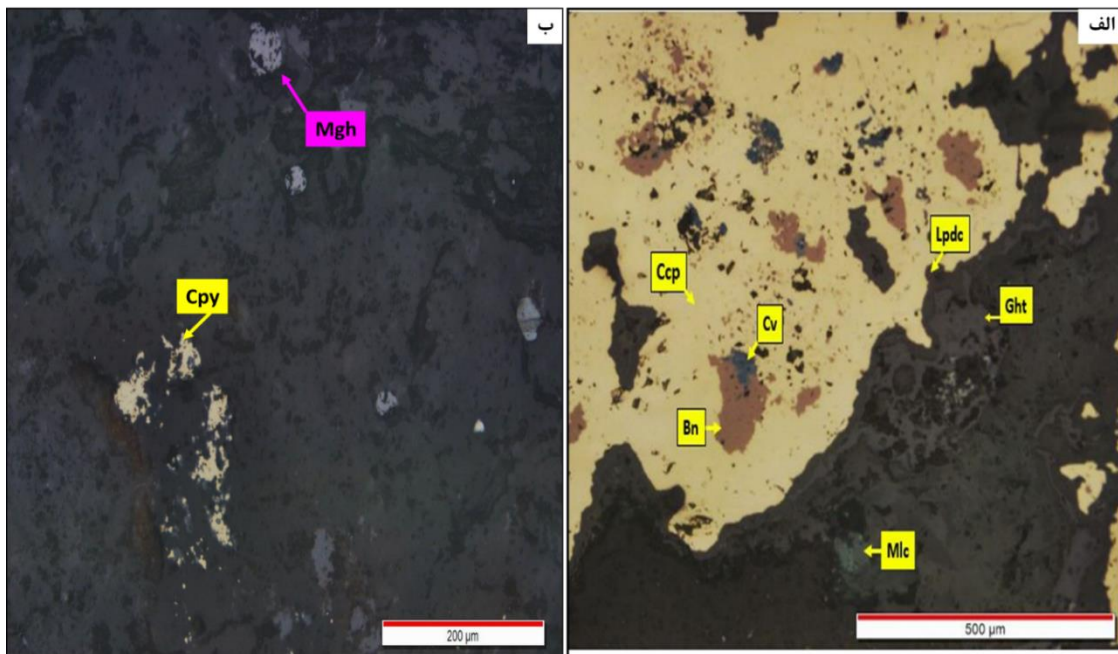


شکل ۵-۵: الف) تصویر نمونه دستی سنگ آهک نومولیت دار در کانسار زواک ب) تصویر میکروسکوپی پیریت دانه پراکنده در واحد آهکی کانسار زواک.

۱-۲-۵-کالکوپیریت

کالکوپیریت مهمترین و فراوانترین کانی اولیه کانسنگ مس محسوب می‌شود و دارای فرمول شیمیایی $CuFeS_2$ می‌باشد، که در حضور اکسیژن، آب و در محیط‌های پوسته‌ای کم عمق جایی که اکسید ناپایدار است. کالکوپیریت به هنگام قرار گرفتن در محیط آب با اکسیژن کافی، همانند پیریت اکسید می‌شود و محتوای مس آن به صورت محلول‌های اسیدی از آن خارج شده و در نهایت به مجموعه‌ای از اکسید و هیدروکسیدهای آهن تبدیل می‌شود، اما در شرایطی که اکسیژن به اندازه کافی وجود نداشته باشد، می‌تواند به مجموعه‌ای از سولفیدهای ثانوی مس تبدیل شود. به رنگ زرد برنجی متمایل به سبز و در نمونه‌هایی که سطح خارجی آن‌ها اکسید شده است، این کانی به رنگ زرد طلایی و غالباً به رنگ‌های متغیر سطحی تا حد سیاه رنگ است. در اندیس معدنی سردار کالکوپیریت

یکی از مهمترین کانی های اولیه مس دار می باشد، که بصورت رگه-رگچه ای درون واحد توف ماسه ای دیده می شود که در اثر هوازدگی و فرآیند سوپرژن و دگرسانی به کانی های ثانویه مانند کولیت، مالاکیت و اکسید و هیدروکسیدهای آهن تبدیل شده است. به لحاظ فراوانی این کانی در کانسار زواک بسیار پایین بوده و بصورت دانه پراکنده درون سنگ میزبان آهکی مشاهده می شود (شکل ۵-۶).



شکل ۵-۶: الف) تصویری از حضور کالکوبیریت به همراه دیگر کانی ها در کانسار مس سردار، ب) تصویری از کالکوبیریت دانه پراکنده در کانسار زواک.

۱-۲-۵- پیرولوزیت

کانی های اکسید منگنز با فرمول شیمیایی MnO_2 را تحت عنوان اکسیدهای منگنز خالص نیز می شناسند که شامل دیامورف های مختلفی می باشند که در این بین، پیرولوزیت از نظر ترمودینامیکی پایدارترین فاز آن می باشد و اغلب عاری از دیگر کاتیون هاست. این کانی به مقدار فراوان در کانسارهای منگنز دما پایین، خصوصاً کانسارهای رسوی یافت می شود.

این کانی با رنگ زرد متمایل به خاکستری تا زرد متمایل به قهوه ای، داشتن کلیواژهای نامنظم تا منظم، پلی کروئیسم ضعیف و انیزوتropی بسیار قوی در مقاطع میکروسکوپی صیقلی از سایر کانی های منگنز به راحتی تشخیص داده می شود. در کانسار سردار، پیرولوزیت فراوان ترین کانی منگنز می باشد

و دارای نسل یک و دو می باشد، نسل یک دارای بافت برشی و نسل دو دارای بافت رگهای می باشد(حسینی ۱۳۹۵).

علاوه بر وجود منگنز بصورت لایه ای در کانسار سردار، منگنز پراکنده بوده و در طی دیازنز به صورت اگزالاتیو تشکیل شده و سپس دچار سوپرژن شده است. در یال جنوبی تاقدیس کاهک و در جوار معدن زواک قرار دارد و همچنین بصورت دندربیتی بر روی سطح سنگها آغشته شده است(شکل ۵-۷).



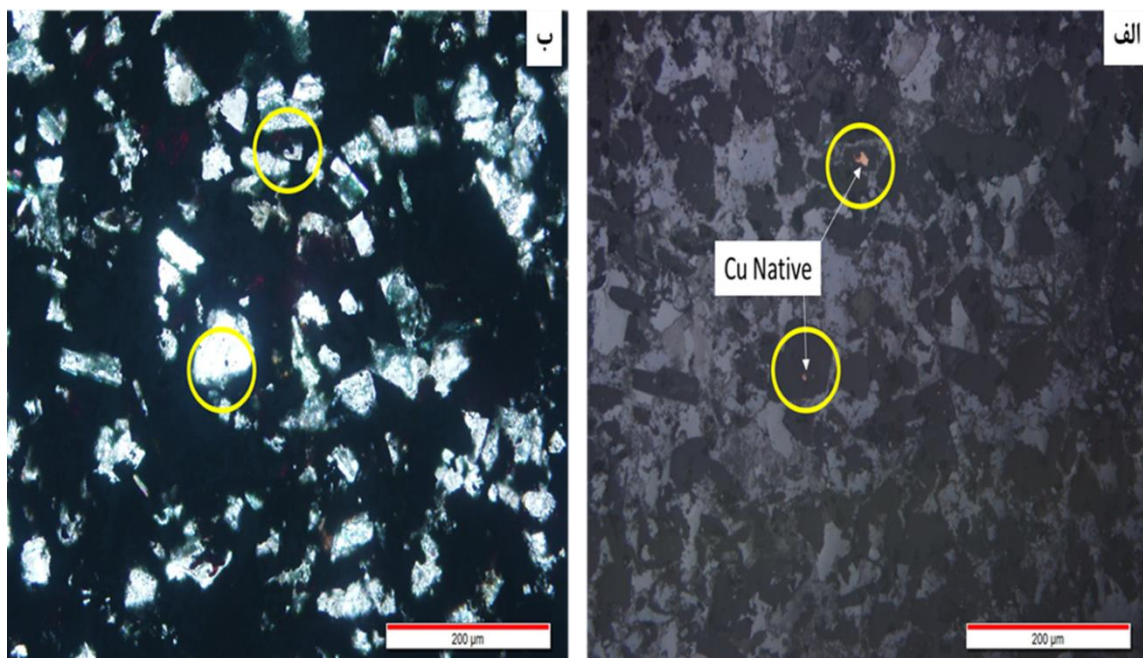
شکل ۵-۷: (الف) نمایی از لایه منگنز سوپرژن در معدن زواک و تصویر میکروسکوپی آن (ب) نمایی از لایه منگنز اگزالاتیو در معدن سردار و تصویر میکروسکوپی آن.

۷-۱-۲-۵ پسیلوملان

پسیلوملان جزو اولین کانی‌های تشکیل شده در کانسار منگنز سردار می‌باشد که بصورت لکه‌ها و جزیره‌های پراکنده نامنظم و پرکنده فضای خالی بوده و تنها پیرولوزیت و منگانیت از این کانی فراوان‌تر هستند، در برخی از نمونه‌های مطالعه شده پسیلوملان بر اثر عوامل سطحی و سوپرژن به صورت لکه‌ای و پراکنده و در راستای شکستگی‌ها به پیرولوزیت تبدیل شده و گاهی تجمعات سوزنی نیز در آن دیده می‌شود (حسینی، ۱۳۹۵).

۸-۱-۲-۵ مس طبیعی و کوپریت

کانه‌زایی مس طبیعی در ذخایر مس رسوبی منطقه در مقیاس میکروسکوپی درون پلازیوکلازهای سنگ میزبان (شکل ۸-۵) و در مقیاس ماکروسکوپی درون ماسه سنگ خاکستری به وضوح قابل روئیت است. همچنین مس طبیعی نیز در کارگاه قدیمی درون واحد آندزیتی مشاهده شده است. کوپریت بر اثر اکسیداسیون مس طبیعی بوجود آمده و به وضوح قابل مشاهده می‌باشد.



شکل ۸-۵: (الف و ب) تصویر میکروسکوپی از مس طبیعی در پلازیوکلازها در نور طبیعی و پلاریزان

۹-۱-۲-۵- اولیژیست

اولیژیست همان هماتیت است که در ظاهر پولکی است و جلای براقی دارد، که به میکای آهنی معروف می‌باشد. اولیژیست در کانسار زواک بصورت تیغه‌ای در نوارهای کانسنگ نواری همراه با کالکوسیت قابل رؤیت است(شکل ۹-۵).



شکل ۹-۵: تصویر میکروسکوپی از اولیژیست و همراهی کالکوسیت

۲-۲-۵- کانی‌های ثانویه

کانی‌های ثانویه موجود در کانسار زواک عبارتند از: کالکوسیت، کوولیت، دیژنیت، ملاکیت و در کانسار سردار شامل ملاکیت، کولیت، کالکوسیت و گوتیت می‌باشد. در ذخایر مس رسوی نیز کانی‌های ثانویه شامل ملاکیت، کوولیت و آزوریت می‌باشد. که در زیر به اختصار کانی‌های ثانویه توضیح داده شده اند.

۱-۲-۲-۵ - کالکوسیت

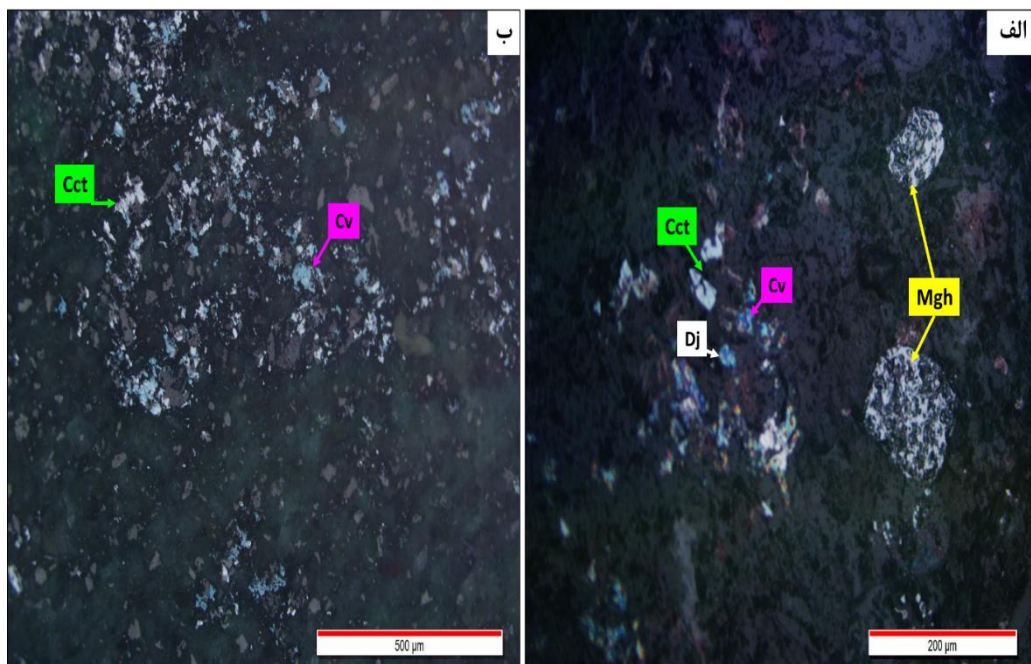
کالکوسیت ثانویه در کانسار زواک بصورت رگه-رگچه‌ای در سنگ میزبان آگلومرایی قابل مشاهده است (شکل ۱-۵-۵).
شکل ۱-۵-۵

۲-۲-۲-۵ - کولیت

کولیت با فرمول CuS نمایش داده می‌شود و در سیستم تریگونال متبلور می‌شود و به صورت بلورهای هگزاگونال و زرد-قهوه‌ای دیده می‌شود و گوگرد در آن به عنوان محصول فرعی است. این کانی به رنگ آبی روشن تا تیره است و دارای سختی $2-5/1$ ، شکننده، چگالی $4/68$ و در ترکیب شیمیایی این کانی $5/66$ درصد مس وجود دارد. بلورهای تجزیه نشده آن جلای چرب دارد. این کانی خاصیت پراکندگی توری قوی دارد و به آسانی ذوب می‌شود. ورقه‌های نازک این کانی نیمه شفاف است که در مقابل هوا به رنگ آبی سیاه در می‌آیند. کولیت فراوانترین کانی منطقه اکسیداسیون است و به ندرت از منشا آبهای فرورو تشکیل می‌شود.

کولیت، غالباً پس از تشکیل کالکوسیت و در شرایط سوپرژن سولفیدی تشکیل می‌گردد. کولولیت در نمونه دستی قابل تشخیص نمی‌باشد ولی در مقاطع میکروسکوپی به رنگ آبی پررنگ و بصورت لکه‌ای و نامنظم در درون و اطراف کالکوسیت و کالکوپیریت دیده می‌شود (شکل‌های ۵-۶ و ۱۰-۵). واکنش تجزیه کالکوپیریت به کولیت در زیر آمده است:





شکل ۵-۱۰) الف: تصویر میکروسکوپی از همراهی کانی کولیت و کالکوسیت در معدن مس زواک، ب) تصویر

میکروسکوپی کولیت در اندیس‌های مس رسبی.

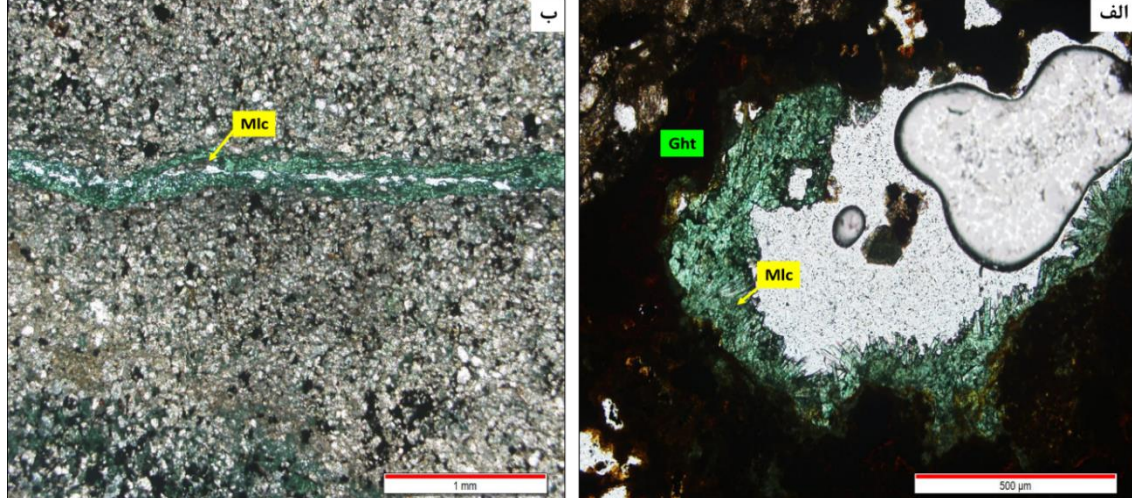
۳-۲-۲-۵- دیژنیت

دیژنیت با فرمول $\text{Cu}_{1.8-x}\text{Fe}_x\text{S}$ در سیستم کوبیک متبلور می‌شود. این کانی دارای رنگ خاکستری متمایل به آبی می‌باشد. تشخیص آن از کوولیت از روی رنگ آن صورت می‌گیرد. دیژنیت مقدار کمی آهن در ساختمان خود لازم دارد، و لذا ممکن است یک فاز حد بواسطه در طی تغییر شکل کالکوسیت به بورنیت یا بالعکس باشد (مینارد، ۱۹۸۳). دیژنیت در کانسار زواک به صورت جانشینی در بخش کانه‌دار یافت می‌شود. این کانی در اثر هوازدگی کالکوسیت تشکیل شده‌است و دارای رنگ آبی کم‌رنگ می‌باشد (شکل ۱۰-۵ الف).

۴-۲-۲-۵- مالاکیت

مالاکیت با فرمول $\text{Cu}_2(\text{CO}_3)(\text{OH})$ در سیستم مونوکلینیک متبلور می‌شود و در ترکیب شیمیایی آن ۵۷/۵ درصد مس وجود دارد. مالاکیت فراوان ترین کانی غیرسولفیدی مس‌دار در کانسارهای مورد مطالعه است، و به دلیل حضور این کانی اکثر رخنمون‌های سطحی را غشای نازک سبز رنگی پوشانده

است. در ذخایر مس رسوی، مالاکیت می‌تواند از اطراف جانشین کالکوسیت گردد. همچنین مالاکیت در برخی قسمت‌ها دارای بافت دانه‌پراکنده و پرکننده فضای خالی می‌باشد. این کانی در اندیس‌های مورد مطالعه اکثراً همراه با کلسیت دیده می‌شود و یا جانشین سیمان کربناته سنگ شده و به سنگ ظاهری سبز رنگ می‌دهد. به نظر می‌رسد کلسیت کربنات مورد نیاز برای تشکیل مالاکیت را فراهم کرده است. در کانسار زواک و سردار بیشترین حجم پیدایش مالاکیت در آگلومرا و گدازه‌ی آتشفسانی به صورت رگه‌گچه‌ای و جانشینی دیده می‌شود. پیدایش مالاکیت در این کانسارها احتمالاً ناشی از نفوذ سیالات جوی و اکسیدشدن مس در واحد آتشفسانی به مالاکیت می‌باشد (شکل‌های ۳-۵ الف و ۱۱-۵).



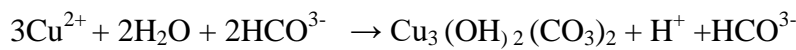
شکل ۱۱-۵: (الف) تصویر میکروسکوپی از مالاکیت در کانسار مس سردار (ب) تصویر کانی مالاکیت از اندیس‌های مس رسوی.

۱۱-۵-۲-۲-۵ آزوریت

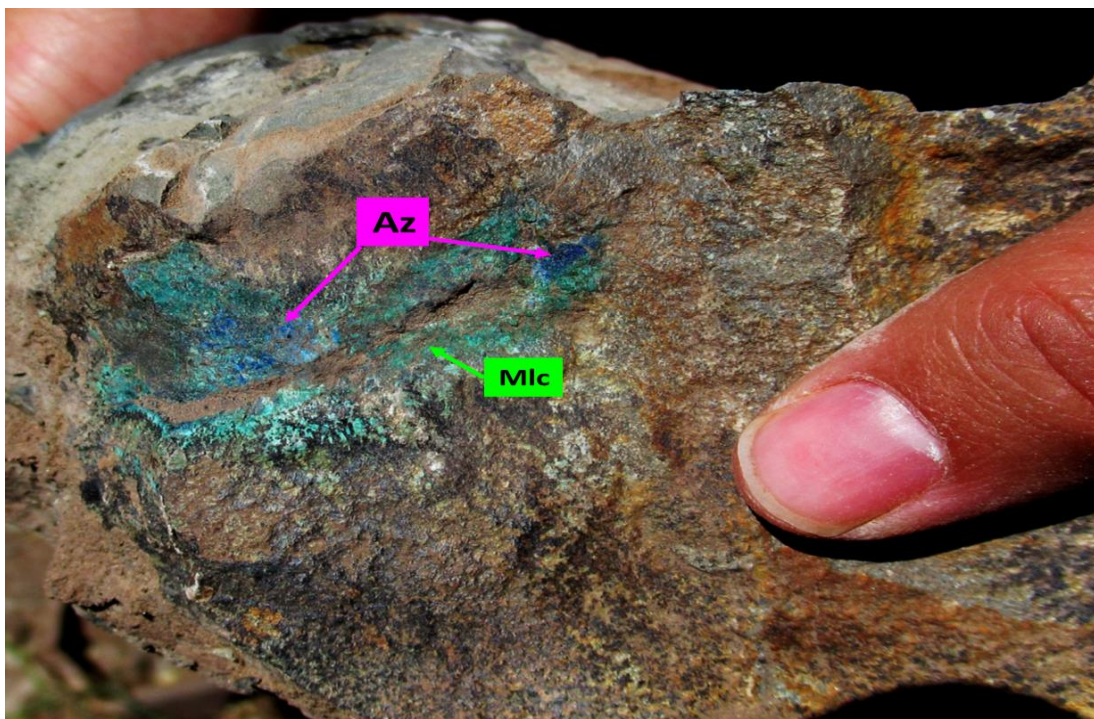
مهم‌ترین عامل در تشکیل کانی‌های کربناته مس، فشار جزئی CO_2 و مقدار مس در آب‌های طبیعی است و در شرایط اکسیداسیون شدید و فشار جزئی بالای CO_2 تشکیل می‌شوند، یعنی این که کربنات‌ها در زون اکسیداسیون شدید و در شرایط CO_2 بالا پایدارند. آزوریت یک کانی ثانویه مس است که از اکسیداسیون و کربناتی شدن اکسیدها و سولفیدهای مس تشکیل می‌شود و به صورت

پراکنده در ماسه سنگ‌ها یافت می‌شود. آزوریت همراه با مالاکیت از جمله کانی‌های حاصل از تغییر ترکیبات اولیه مس در منطقه اکسیداسیون است. این کانی به رنگ آبی روشن تا آبی لاکوردی می-

باشد و در ترکیب آن ۵۵درصد مس وجود دارد. کانی آزوریت از طریق واکنش زیر تشکیل می‌شود:



این کانی در اثر آبگیری بیشتر و همچنین ناپایدار بودن در هوای آزاد به مالاکیت تبدیل می‌شود. در منطقه مورد مطالعه فراوانی این کانی در منطقه در مقایسه با مالاکیت بسیار کم است و به صورت پراکنده همراه با مالاکیت در فسیل‌های گیاهی مشاهده می‌شود(شکل ۱۲-۵).



شکل ۱۲-۵: نمایی از نمونه دستی آزوریت در اندیس‌های مس رسوبی.

۱۲-۶-۲-۵- گوتیت

گوتیت بر اثر هوازدگی در کانسار مس سردار همراه با کانی‌های اولیه مشاهده می‌شود. گوتیت از کانی‌های هیدروکسید آهن است که توسط هوازدگی و یا دگرسانی کانی‌های حاوی آهن نیز ایجاد می‌شود. بر اثر پدیده اتحلال و اکسیداسیون سطحی کانی‌های سولفیدی در قسمت‌های سطحی کانسار دچار

انحلال شده و یون گوگرد آنها خارج و هیدروکسیدهای آهن بر جای مانده است. گوتیت همراه با کالکوپیریت یافت می‌شود و دارای بافت رگه‌گچه‌ای است (شکل ۵-۶ الف).

۳-۲-۵ - کانی‌های باطله

مهم‌ترین کانی باطله مرتبط با کانه‌زایی در کانسار زاوک زئولیت می‌باشد که در فصل چهارم (کانه‌زایی و دگرسانی) به طور مفصل اشاره شده است. اما با توجه به وجود انواع ذرات آذرآواری به عنوان کانی‌های سنگ‌ساز میزبان، کانی‌های باطله مرتبط با کانه‌زایی در اندیس‌های مس رویی شامل کوارتز، فلدسپات و کلسیت می‌باشد که در زیر شرح مختصری از این کانی‌ها آورده شده است.

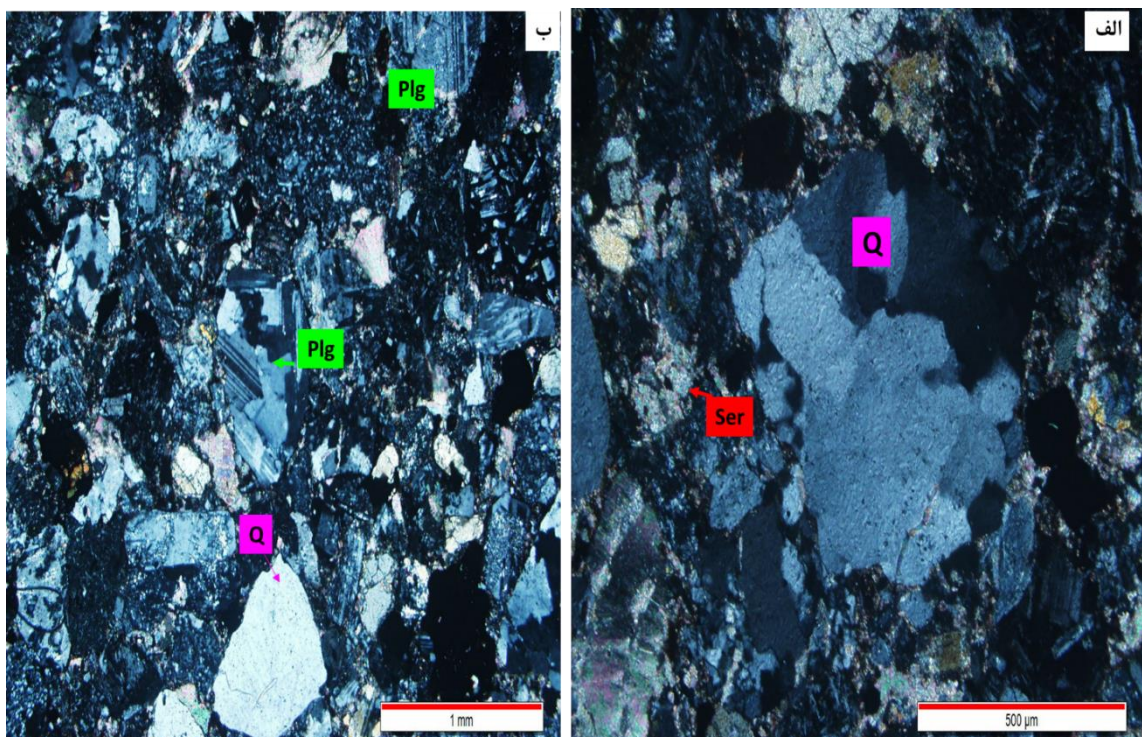
۳-۲-۱ - کوارتز و فلدسپات

تمام سنگ‌های آذرین و اغلب سنگ‌های دگرگونی به استثنای کوارتزیت که ممکن است تا حدود ۱۰۰ درصد حجم سنگ از کوارتز تشکیل شده باشد، حاوی کوارتز هستند و مقدار آن از خیلی کم تا ۴۰ درصد حجم کل سنگ را تشکیل می‌دهد. ولی بر عکس در اکثر سنگ‌های آواری، کوارتز به طور فراوان یافت می‌شود، زیرا مقاومت مکانیکی و ثبات شیمیایی آن در مقابل عمل فرسایش بسیار زیاد است.

مطالعات دقیق پتروگرافی و کانی‌شناسی و نتایج حاصل از آنالیز پراش اشعه ایکس (XRD) بر روی مقاطع میکروسکوپی کانسارهای مورد مطالعه نشان می‌دهد که دانه‌های تخریبی از جنس کوارتز بوده که به اشکال تک بلوری تقریباً هم اندازه و بعضاً زاویه‌دار توزیع یافته‌اند. در مقاطع میکروسکوپی کوارتزهای پلی کریستالین به همراه کوارتزهای مونوکریستالین به صورت پراکنده حضور دارند (شکل ۵-۱۳).

این نوع کوارتز، بر اثر تحمل فشار دچار حالت پلی کریستالین شده است. فلدسپات‌ها در سنگ‌های آواری از نظر اهمیت در درجه دوم قرار دارند، زیرا به علت نداشتن رخ، مقاومت مکانیکی کمتری نسبت به کوارتز در مقابل عمل فرسایش دارند و در اثر عوامل شیمیایی به

کانی‌های رسی تجزیه می‌شوند. فلدسپات‌ها در سنگ‌های آذرین و دگرگونی به طور فراوان یافت می‌شوند و بدین جهت در حدود ۱۰ تا ۱۵ درصد رسوبات آواری عهد حاضر را تشکیل می‌دهند. طبق بررسی‌های کانی‌شناسی فراوان‌ترین فلدسپات موجود در ان迪س مورد مطالعه پلاژیوکلاز می‌باشد، که بعضاً بر اثر دگرسانی به کانی‌های رسی تبدیل شده‌اند. در برخی نمونه‌ها از دگرسانی پلاژیوکلازها، سریسیت تشکیل شده‌است (شکل ۱۳-۵ ب).

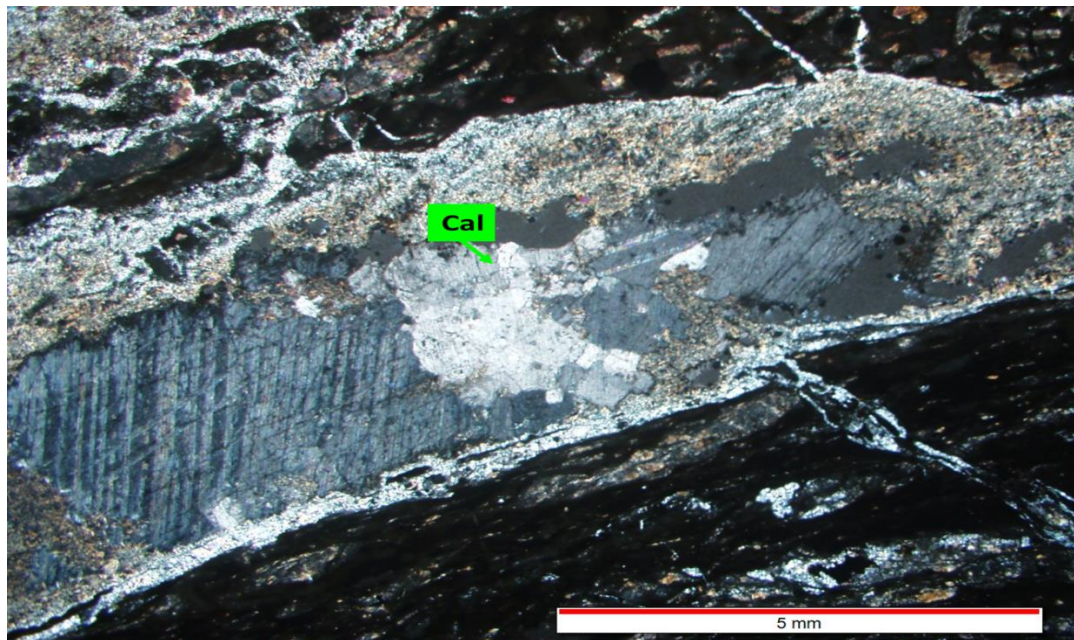


شکل ۱۳-۵: الف) تصویر میکروسکوپی از کوارتز پلی کریستالین و پلاژیوکلازی که در اثر نفوذ سیالات به سریسیت تبدیل شده‌است. ب) تصویر میکروسکوپی از پلاژیوکلازها و کوارتز منوکریستالین.

۱۳-۲-۳-۲-۵-کلسیت

در ان迪س مورد مطالعه مس رسوبی در منطقه، کلسیت اکثراً به صورت سیمان کلسیتی بین اجزای آواری را پرنموده، همچنین درون برخی از شکستگی‌ها توسط کلسیت پر شده است. این کانی در نمونه‌های دستی، مقاطع میکروسکوپی و نتایج XRD تشخیص داده شده‌است. این کانی به صورت

رگه-رگچه‌ای فضاهای خالی را پرکرده و علاوه بر این نیز می‌تواند جانشین دانه‌های فلدسپات شود (شکل ۱۴-۵).



شکل ۱۴-۵: تصویر میکروسکوپی از کانی باطله کلسیت.

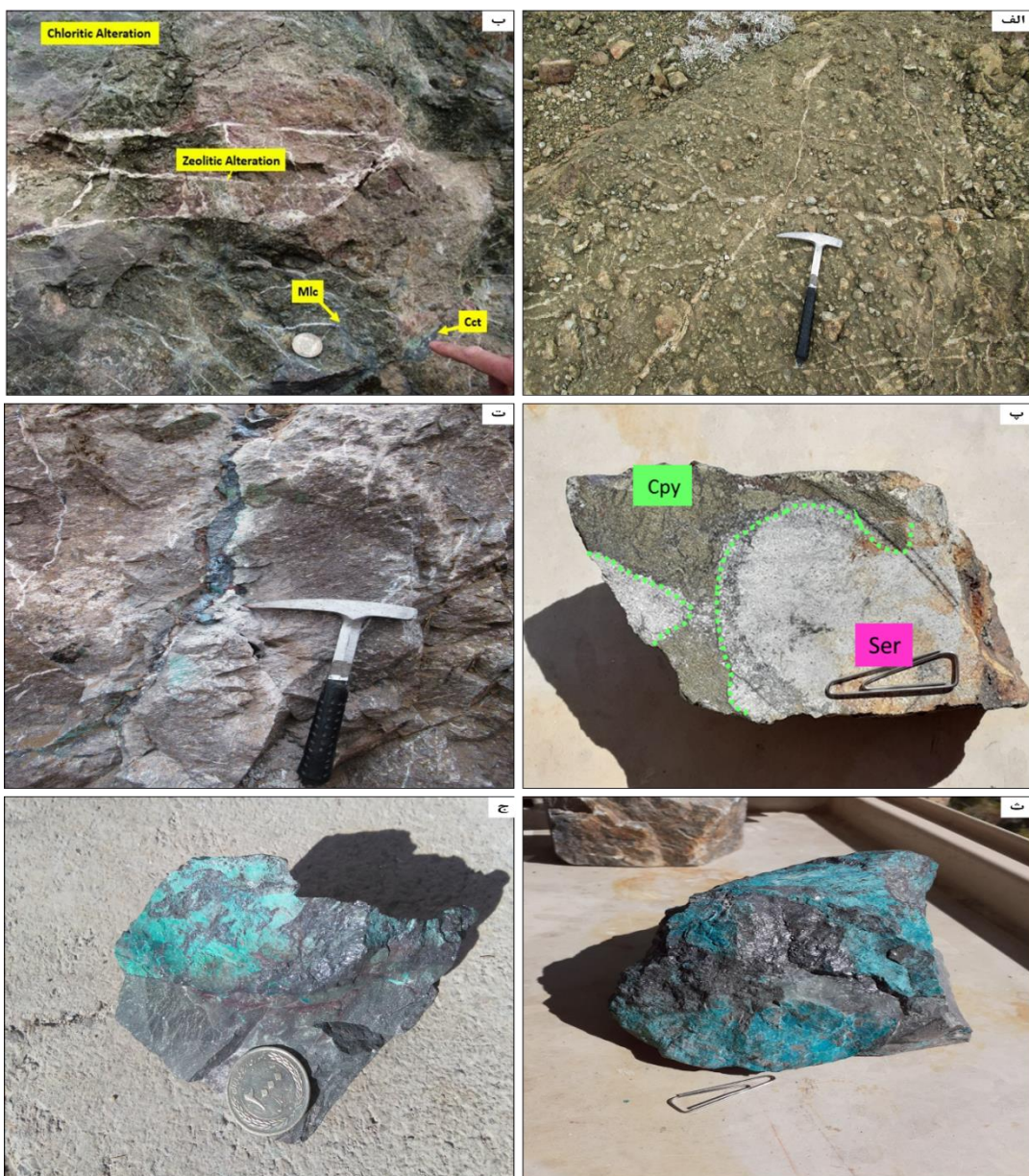
۳-۵-ساخت

ساختمان موجود در سنگ‌ها روی زمین تشخیص داده می‌شود مثل جهت یافته‌گی، نواربندی، درزه و شکاف. مشخصات سنگ‌ها به نمودهای ساختی و بافتی سنگ وابسته است. چرا که لایه لایه بودن، توده‌ای بودن، شکل و نوع اندازه کانی یا بلورهای تشکیل دهنده سنگ و ارتباط آن‌ها باهم به ساخت و بافت سنگ مربوط است. ساختهای مشاهده شده در توالی کانسارهای مورد مطالعه به شرح زیر می‌باشد:

۱-۳-۵ ساخت رگه-رگچه‌ای

این ساخت در ذخایر آتشفشاری عمدها در پهنه کانه‌زایی و در واحد آندزیتی-بازالتی دیده می‌شود که بیشتر این رگه-رگچه‌ها غنی از کالکوپیریت، کالکوپیریت و بورنیت می‌باشد همچنین در مرحله بالا

آمدگی نیز این ساخت که رگه‌های غنی از کالکوسیت است به وضوح قابل رویت می‌باشد که قطع کننده لایه‌هاست(شکل ۱۵-۵).



شکل ۱۵-۵: (الف) حضور رگه-رگچه‌های حاوی کانه‌زایی در آگلومرا اندزیتی-بازالتی در کانسار مس زواک (ب) حضور رگه-رگچه‌های حاوی کانه‌زایی در آگلومرا اندزیتی-بازالتی در کانسار مس زواک به همراه رگه‌های زئولیتی. (پ) تصویری از رگه-رگچه‌های کالکوپیریت در کانسار مس زواک (ت) تصویری از کانه‌زایی رگه‌ای کالکوسیت در معدن منگنز سردار، (ث) تصویری از رگه‌های کالکوسیت که قطع کننده منگنز سردار است، (ج) تصویری از رگه‌های کالکوسیت که قطع کننده ماسه‌سنگ خاکستری در سردار است.

۲-۳-۵- ساخت نواری

ساخت نواری و بافت لامینه در کانسار زواک به خوبی قابل مشاهده است و ضخامت لامینه‌ها متغیر بوده و از میلی‌متر تا سانتی‌متر تغییر می‌کند(شکل ۱۶-۵). با توجه به وجود دگرسانی در اطراف نوارها و عدم پیوستگی آن‌ها به نظر می‌رسد این نوارها بعد از تهنیت سنگ میزبان در اثر نفوذ سیال تشکیل شده باشد. وجود شواهد فوق‌الذکر از نشانه‌های تشکیل بصورت جانشینی در زیر کف دریاست.(Doylle, 2003; Tornos et al 2016; Piercey, 2011)



شکل ۱۶-۵: تصویری از ساخت نواری در کانسار زواک.

۲-۳-۶- ساخت برشی

در کانسارهای زواک و سردار در قسمت‌های نزدیک به پهنه کانه‌زایی ماده معدنی بصورت رگه‌رگچه‌ای، خردشده‌گی و برشی شدن به وضوح مشاهده می‌شود. این پدیده در ارتباط با سیالات کانه‌دار است. در این قسمت‌ها به علت وجود سیالات دما بالا قطعات سنگ میزبان دچار دگرسانی کلریتی و سریسیتی شده‌اند(شکل ۱۷-۵).



شکل ۱۷-۵: تصویری از ساخت برشی در کانسار زواک.

۳-۳-۵- ساخت لایه‌ای تا عدسی

این ساخت تحت تاثیر عواملی چون نفوذپذیری، دانه‌بندی و وجود مواد آلی در لایه‌های خاص ایجاد می‌شود. در منطقه مورد مطالعه این ساختار در اندیس‌های مس رسوبی مشاهده می‌گردد و فقط در لایه‌هایی که دارای مواد آلی هستند و همچنین نفوذپذیری بالایی دارند کانه‌زایی رخ داده است. در نتیجه وجود کانه‌زایی در لایه‌های خاص، باعث ایجاد ساخت لایه‌ای تا عدسی شده است (شکل ۱۸-۵).



شکل ۱۸-۵: ساخت لایه ای در اندیس‌های مس رسوی.

۴-۵- بافت

مهم‌ترین بافت‌های موجود در کانسارهای مورد مطالعه شامل بافت دانه پراکنده، جانشینی، پرکننده فضای خالی، رگه-رگچه‌ای، کلوفرمی می‌باشد. که در این میان بافت دانه پراکنده، رگه-رگچه‌ای، برشی در نمونه‌دستی مشاهده می‌شود. اما بافت‌های جانشینی، کلوفرمی و پرکننده فضای خالی در مطالعات میکروسکوپی امکان‌پذیر می‌باشد.

۴-۵-۱- بافت دانه پراکنده

بافت دانه پراکنده در بخش‌های نفوذپذیر و همچنین در اطراف قطعات فسیل گیاهی دیده می‌شود. سولفیدهای مس، کانی‌های پیریت، اکسیدهای آهن، ملاکیت دارای این بافت هستند. این بافت در نمونه دستی و مقاطع میکروسکوپی به خوبی قابل مشاهده است(شکل ۵-۵ ب).

۴-۱-۵- سولفیدهای مس با بافت دانه پراکنده

کانه‌زایی سولفیدهای مس (غالبا کالکوسیت) به صورت دانه پراکنده، می‌تواند با تراکم کم یا زیاد تشکیل شود. تراکم سولفیدهای مس پراکنده به فضای خالی موجود در سنگ بستگی دارد. به طوری که هرچه اندازه دانه‌های تشکیل دهنده کانسنگ بزرگتر باشد، تراکم سولفیدهای مس بالاتر است. قابل ذکر است که بافت دانه‌پراکنده سولفیدهای مس در اندیس‌های مس رسوی، بافت اولیه همزمان با رسویگذاری نمی‌باشد. این بافت در کانسارهای مس رسوی نوع Redbed، بافتی است که پس از دگرسانی Bleaching و احیای محیط، در اثر برخورد سیال اکسیدان با بخش‌های احیایی و در قسمت‌های نفوذپذیرتر در اثر جانشینی مس به جای پیریت و سیمان کربناته و یا به صورت پرکننده فضای خالی بین دانه‌ها تشکیل می‌شود(Woodward et al., 1974). چنین بافتی در واقع بافت جانشینی است ولی به صورت دانه پراکنده است که در اکثر کانسارهای مس رسوی دیده می‌شود(Cox et al., 2007).

در کانسار Lisbon Valley بافت غالب، بافت دانه پراکنده است، که در آن سولفیدهای دانه پراکنده جانشین پیریت، سیمان کربناته و مواد هیدروکربنی موجود در بین دانه‌ها شده و در بخش‌های نفوذپذیر، فضای خالی بین دانه‌ها را پر نموده است(Durson, 2005).

۴-۵-۲- بافت جانشینی

اصلی‌ترین بافت در کانسارهای مورد مطالعه بافت جانشینی است. به طوری که در تمام کانی‌های سولفیدی مانند پیریت، کالکوسیت، کوولیت، دیژنیت و نیز کانی غیر سولفیدی مانند ملاکیت به چشم می‌خورد.

۴-۵-۱- جانشینی در کانی‌های احیایی

کالکوسیت می‌تواند جانشین پیریت دانه‌پراکنده شود. در این حالت ساختار اولیه پیریت ممکن است حفظ شده باشد. البته با کامل شدن فرآیند جانشینی این ساختار از بین رفته و کل سطح آن توسط کالکوسیت جانشین می‌گردد(Sawlowicz, 1990). چنین پدیدهای در کانسارهای کمربند مس آفریقا نیز متداول است(کی ال تز و همکاران، ۲۰۰۵).

۴-۵-۲- جانشینی در فسیل‌های گیاهی

مواد آلی و فسیل‌های گیاهی به دلیل ایجاد شرایط احیایی، محیط مناسبی را جهت تشکیل و جانشینی کانی‌های سولفیدی در خودشان، ایجاد می‌نمایند(Subias et al., 2003). در اندیس‌های مس رسویی مورد مطالعه، سولفیدهای مس در مراحل اولیه کانه‌زایی در محل قطعات گیاهی تشکیل و جانشین قطعات فسیل گیاهی شده‌اند. سپس کالکوسیت جانشین شده در فسیل‌های گیاهی توسط کوولیت جانشین می‌گردد. بنابراین تمام یا بخشی از فسیل گیاهی می‌تواند توسط سولفیدها جانشین شود. این جانشینی از اطراف شروع شده و گاهی تمام سطح فسیل گیاهی را دربرمی‌گیرد. طی این جانشینی سیال غنی از مس با عبور از فسیل‌های گیاهی، موجب تشکیل کالکوسیت و پیریت گردیده است.

۳-۴-۵- بافت رگه-رگچهای

بافت رگه رگچهای در توالی چینهای و نمونه های دستی کانسار زاوک و سردار قابل مشاهده است. به طوری که کانی های فلزی در داخل درز و شکاف ها قرار گرفته اند. این نوع بافت، نوعی بافت پر کننده فضای خالی است

(شکل های ۳-۵ و ۱۱-۵ ب).

۴-۴-۵- بافت کلوفرمی

این بافت شامل تجمع کالکو سیت های ریز دانه است که به صورت کلوفرمی در کنار یک دیگر قرار گرفته اند و تبلور پیدا کرده اند. این بافت بیانگر مخلوط شدن محلول هیدرو ترمالی با آب سرد می باشد و در کانسار زاوک مشاهده می شود (شکل ۱-۵ ب).

۵-۵- بافت و ساخت کانی های سوپرژن در آندیس های مس رسوبی

آب های جوی، ضمن فرورفتن، موجب انحلال کانی های سولفیدی اولیه، انتقال آنها و نهایتاً تشکیل کانی های سولفید و اکسید ثانویه مس می گردد (ایونز، ۱۹۹۷). سیالات جوی حاوی مس به صورت محلول، ضمن حرکت در بین لایه های سنگی، موجب تشکیل کانی های اکسیدی در بالای سطح آب زیرزمینی و کانی های سولفیدی در زیر سطح آب زیرزمینی (در شرایط احیا) می گردد. تشکیل کانی های اکسیدی و سولفیدی ثانویه مس در طی مرحله سوپرژن در کانسارهای مس با میزان رسوبی متداول است (Hitzman et al., 2005).

۵-۱- سوپرژن سولفیدی

طی این مرحله کانی ثانویه سولفید مس نظیر کوولیت تشکیل می گردد. کوولیت غالباً پس از تشکیل کالکو سیت و در شرایط سوپرژن سولفیدی تشکیل می شود. این کانی در بخش کانه دار و از تبدیل

کالکوسیت تشکیل می‌گردد. کوولیت به صورت لکه‌ای و نامنظم در درون و اطراف کالکوسیت تشکیل می‌گردد.

۲-۵-۵- سوپرزن اکسیدی

طی این فرآیند کانی‌های کربناته مس نظیر مالاکیت به همراه اکسید منگنز تشکیل می‌گردد. این کانی به فراوانی در مناطق سطحی کانسارهای مورد مطالعه مشاهده می‌گردد. مالاکیت فراوانترین کانی غیرسولفیدی مس‌دار در این کانسارها می‌باشد. به نحوی که در رخنمون‌های سطحی تمام قسمت‌های کانه‌دار دارای یک هاله سبز در اطراف خود هستند. این کانی‌ها جانشین سولفیدهای مس شده‌است. این جانشینی یا بطور کامل انجام می‌گیرد و باعث می‌شود تمام کالکوسیت به مالاکیت تبدیل شود و یا به صورت نوار باریک سبز رنگ در اطراف کانی‌های سولفیدی جانشین می‌گردد. همچنین مالاکیت می‌تواند بافت دانه پراکنده داشته باشد، که بر اثر تبدیل کالکوسیت دانه پراکنده به مالاکیت ایجاد می‌شود.

همچنین در بخش سوپرزن اکسیدی، اکسیدهای منگنز با بافت دندریتی در اطراف درزه‌هایی که توسط این اکسیدها پرشده‌اند قابل مشاهده است.

۶-۵- توالی پاراژنتیک

توالی پاراژنتیک معرف ترتیب یا تقدم و تاخر نهشته شدن فازهای جدا یا مجموعه کانی‌ها در یک کانسار است (بانز و جکسون، ۱۹۸۰). پاراژنز کانی‌ها یکی از پارامترهای مهمی است که معمولاً به منظور آگاهی چگونگی تشکیل کانسار و مراحل مختلف آن تکوین می‌شود. بر طبق مطالعات بافتی و کانی‌شناسی صورت گرفته در سه منطقه مورد مطالعه شامل کانه‌زایی مس رسوبی و کانسارهای مس زواک و مس سردار می‌توان توالی‌های پاراژنزی (جداول ۱-۵، ۲-۵، ۳-۵) زیر را برای این کانه‌زایی‌ها ارائه نمود.

جدول ۱-۵ : مراحل تشکیل و توالی پاراژنتیک کانی‌ها به همراه ساخت و بافت آنها در اندیس‌های مس رسوی.

Mineral	Stage	Pre-mineralization		Mineralization		Post-mineralization		
		Syndepositional		Diagenesis		Supergene		
			Early diagenesis		Late diagenesis	Uplift	Sulfide	Oxide
process	Redding		---					
	Calcite cementation		---					
	Organic destruction			---				
	Porosity generation			---	---			
	Bleaching			---	---			
	Compaction			-----				
Mineral	Magnetite		-		---	---	---	
	Native copper		-		---	---	---	
	Bornite				---			
	Chalcoelite cuprite	-	-		---	---	---	
	Covellite					---	---	
	Malachite					---	---	
	Iron oxide hydroxide					---	---	
Texture	Replacement			-----				
	Vein-veinlet			---				

جدول ۲-۵: مراحل تشکیل و توالی پاراژنتیک کانی‌ها به همراه ساخت و بافت آنها در کانسار مس زواک.

Mineral	Volcanic-exhalative		Diagenesis	Uplift	Weathering and Supergene
	Stratabound	Subseafloor replacement			
	Stringer	Banded ore			
Minerals	Bornite		—		
	Pyrite		—		
	Chalcocite		—	—	—
	Magnetite	—			
	Chalcopyrite	—			
	Covellite				—
	Malachite			—	—
	Dijenite				—
Alteration	Zeolite		—	—	
	Quartz	—	—		
	Calcite	—			
	Cholorite	—			
Texture	Colloform	—			
	Disseminated	—			
	Banded		—		
	Vein-veinlet	—			—
Brecciated		—			
		—			

جدول ۳-۵: مراحل تشکیل و توالی پاراژنتیک کانی‌ها به همراه ساخت و بافت آنها در کانسار منگنز و مس سردار.

Mineral	Volcanic-exhalative		Diagenesis	Weathering and Supergene
	Strataband	Stratiform		
Mineral	Chalcopyrite	—		
	Chalcocite		—	
	Bornite	—		
	Pyrolusite	—	—	
	Psylomelan	—		
	Goehtite		—	
	Covelite			—
Alteration	Malachite			—
	Zeolite		—	
	Seresitic	—		
	Cholorite	—		
	Replacement	—		
Texture	Disseminated	—		
	Vein-veinlet	—		—
	Brecciated	—		

فصل ششم:

مطالعات ژئو سیمایی

۱-۶ - مقدمه

مطالعات ژئوشیمیایی از جمله مهم‌ترین بخش‌های مورد مطالعه یک کانسار است. سنگ به عنوان یک سیستم ژئوشیمیایی، تحت تأثیر عوامل مختلفی است که تعادل آن را برهم زده و باعث ایجاد شرایط جدیدی می‌شوند. چگونگی توزیع و پراکندگی عناصر مختلف در محیط‌های سنگی هر منطقه و تشخیص ارتباط ووابستگی این عناصر با یکدیگر، از مهم‌ترین جنبه‌هایی است که همواره در مطالعات ژئوشیمیایی مد نظر قرار می‌گیرد و با استفاده از این داده‌ها، می‌توان به ویژگی‌های محیط تشکیل و فرآیندهای موثر در تشکیل یک ذخیره معدنی پی برد (Piercey., 2011). بررسی فراوانی و توزیع عناصر اصلی، فرعی و کمیاب موجود در ذخایر سولفیدی، به منظور درک بهتر رفتار سولفیدها و ارتباط آن‌ها با یکدیگر، در ارائه الگوها و روش‌های مناسب، جهت اكتشاف ذخایر مشابه، سودمند می‌باشد (Piercey, 2010, 2011). اهداف ژئوشیمیایی در این فصل بررسی ویژگی‌های ژئوشیمیایی سنگ‌های آذرین و رسوبی توالي میزبان کانه‌زایی، تعیین محیط تکتونیکی و ماهیت ماقمایی سنگ‌های آذرین و طبقه‌بندی آنها، مطالعه ویژگی‌های ژئوشیمیایی و توزیع عناصر در مواد معدنی می‌باشد.

۲-۶ - نمونه‌برداری و آنالیز نمونه‌ها

به این منظور، پس از بررسی های صحرائی و انجام مطالعات میکروسکوپی بر روی واحدهای سنگی و به توالي سنگ‌های میزبان و پهنه کانه‌زایی، جهت بررسی عناصر اصلی، کمیاب و نادر خاکی و عناصر معدنی، ۴۲ نمونه به منظور انجام تجزیه به روش XRD و ۱۳ نمونه به روش ICP-MS، ۵ نمونه به روش XRF در آزمایشگاه‌های شرکت مطالعات مواد معدنی زر آزمایشگاه تهران و حمایت سازمان توسعه و نوسازی معادن و صنایع معدنی ایران (IMIDRO) در آزمایشگاه‌های مرکز تحقیقات و فرآوری مواد معدنی ایران مورد تجزیه قرار گرفتند (جدول ۱-۶).

جدول ۱-۶ - مشخصات نمونه‌های آنالیز شده ICP-MS و XRF در کانسارهای مورد مطالعه.

نوع آنالیز	نام آزمایشگاه	نوع نمونه	محل برداشت	شماره نمونه
ICP-MS	ایمیدرو	رگه-رگچه های سیلیسی - کربناتی همراه با کانی های سولفیدی	پهنه استرینگ کانه دار زواک	K1
ICP-MS, GOLDEN PACK	زرآزما تهران	رگه-رگچه های سیلیسی - کربناتی همراه با کانی های سولفیدی	پهنه استرینگ کانه دار زواک	K1-2
ICP-MS	ایمیدرو	رگه-رگچه های سولفیدی	لایه آگلومرای برشی زواک	K4
ICP-MS	ایمیدرو	آگلومرای آندزنتی- بازانی و آهک توفی نومولیت دار	محل تناوب آهک و آگلومرا زواک	K5
ICP-MS	ایمیدرو	توف ماسه ای همراه با نوارهای غنی از کالکوسيت و اوليزيست	کانسنگ نواری	K10-2
ICP-MS	ایمیدرو	آگلومرای آندزنتی- بازانی و آهک توفی نومولیت دار	محل تناوب آهک و آگلومرا زواک	K7
ICP-MS	ایمیدرو	آهک توفی نومولیت دار	لایه آهک نومولیتی زواک	K7-1
ICP-MS	ایمیدرو	آگلومرای آندزنتی- بازانی	لایه آگلومرای برشی زواک	K9
ICP-MS	ایمیدرو	توف ماسه ای همراه با نوارهای غنی از کالکوسيت و اوليزيست	کانسنگ نواری	K10
ICP-MS	ایمیدرو	ماسه سنگ	ماسه سنگ خاکستری	K16
ICP-MS	ایمیدرو	آنالسیم	پهنه زئولیتی زواک	F31
ICP-MS	ایمیدرو	کربنات به همراه کانه زایی پیریت	لایه آهک کانه دار زواک	F39
ICP-MS, GOLDEN PACK	زرآزما تهران	توف ماسه ای همراه با نوارهای غنی از کالکوسيت و اوليزيست	کانسنگ نواری	Scu
ICP-MS, GOLDEN PACK	زرآزما تهران	آگلومرای آندزنتی- بازانی	لایه آگلومرای برشی زواک	Acu
ICP-MS	ایمیدرو	منگنز سوپرزن	پهنه کانه زایی سوپرزن زواک	MnZ

شماره نمونه	محل برداشت	نوع نمونه	نام آزمایشگاه	نوع آنالیز
CU Rb 1-1	لایه ماسه سنگ خاکستری یال شمالی	کانه زایی مس در فسیل گیاهی	زرآزمای تهران	ICP-MS, GOLDEN PACK
CU Rb1-2	لایه ماسه سنگ خاکستری یال شمالی	کانه زایی مس در فسیل گیاهی	زرآزمای تهران	ICP-MS, GOLDEN PACK
CU Rb1-3	لایه ماسه سنگ خاکستری یال شمالی	کانه زایی مس در فسیل گیاهی	زرآزمای تهران	ICP-MS, GOLDEN PACK
CU Rb2-1	لایه ماسه سنگ خاکستری یال شمالی	کانه زایی مس در فسیل گیاهی	زرآزمای تهران	ICP-MS, GOLDEN PACK
CU Rb2-2	لایه ماسه سنگ خاکستری یال شمالی	کانه زایی مس در فسیل گیاهی	زرآزمای تهران	ICP-MS, GOLDEN PACK
CU Rb2-3	لایه ماسه سنگ خاکستری یال شمالی	کانه زایی مس در فسیل گیاهی	زرآزمای تهران	ICP-MS, GOLDEN PACK
YS	لایه آهک ماسه ای زرد یال شمالی	آهک ماسه ای زرد	زرآزمای تهران	ICP-MS, GOLDEN PACK
GS	لایه ماسه سنگ خاکستری یال شمالی	ماسه سنگ خاکستری	زرآزمای تهران	ICP-MS, GOLDEN PACK
RS	لایه ماسه سنگ قرمز یال شمالی	ماسه سنگ قرمز	زرآزمای تهران	ICP-MS, GOLDEN PACK
P.F	لایه ماسه سنگ خاکستری یال شمالی	کانه زایی مس در فسیل گیاهی	ایمیدرو	ICP-MS

شماره نمونه	محل برداشت	نوع نمونه	نام آزمایشگاه	نوع آنالیز
CuP	مرز بین آهک و واحد گذاره ای درمعدن منگنز سردار	آهک نومولیتی همراه با رگه های کالکوسیت	زرآزمای تهران	ICP-MS, GOLDEN PACK
CuK	تاقدیس کلانه سادات	ماسه سنگ خاکستری	زرآزمای تهران	ICP-MS, GOLDEN PACK
Cpy	پهنه استرینگر کانه دار کانسار سردار	رگه-رگچه های سولفیدی در توف ماسه ای	زرآزمای تهران	ICP-MS, GOLDEN PACK
K14	گدازه آندزیتی-بازالتی کانسار سردار	رگه-رگچه های سولفیدی در آگلومرات آندرزیتی-بازالتی	ایمیدرو	ICP-MS

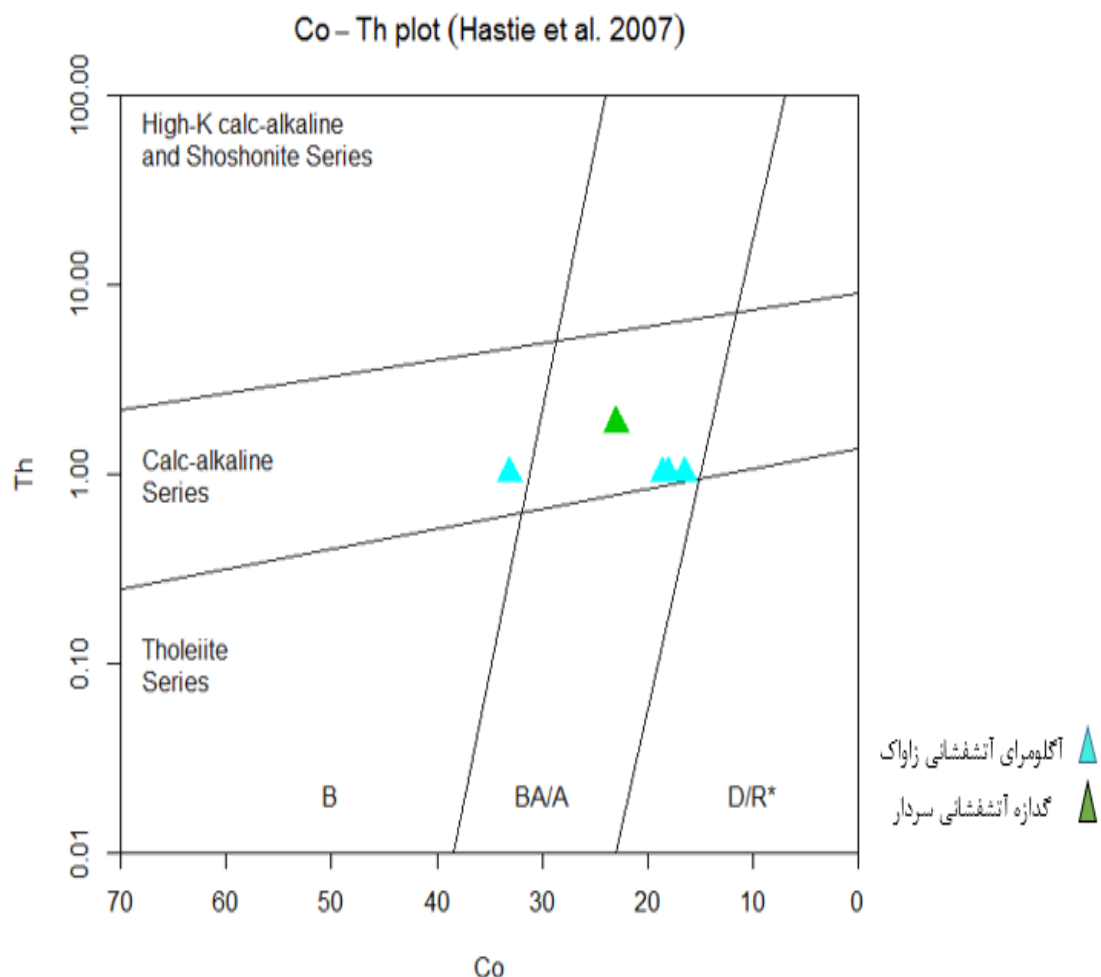
نوع آنالیز	نام آزمایشگاه	نوع نمونه	محل برداشت	شماره نمونه
ICP-MS, XRF	ایمیدرو	ماسه سنگ قرمز	توالی تخریبی در یال جنوبی	SK1
ICP-MS, XRF	ایمیدرو	ماسه سنگ قرمز	توالی تخریبی در یال جنوبی	SK2
ICP-MS, XRF	ایمیدرو	ماسه سنگ قرمز	توالی تخریبی در یال جنوبی	SK3
ICP-MS, XRF	ایمیدرو	ماسه سنگ قرمز	توالی تخریبی در یال جنوبی	SK4
ICP-MS, XRF	ایمیدرو	ماسه سنگ قرمز	توالی تخریبی در یال جنوبی	SK5
ICP-MS, XRF	ایمیدرو	ماسه سنگ قرمز	توالی تخریبی در یال جنوبی	SK6
ICP-MS, XRF	ایمیدرو	ماسه سنگ قرمز	توالی تخریبی در یال جنوبی	SK7
ICP-MS, XRF	ایمیدرو	ماسه سنگ قرمز	توالی تخریبی در یال جنوبی	SK8
ICP-MS, XRF	ایمیدرو	ماسه سنگ قرمز	توالی تخریبی در یال جنوبی	SK9
ICP-MS, XRF	ایمیدرو	ماسه سنگ قرمز	توالی تخریبی در یال جنوبی	SK10
ICP-MS, XRF	ایمیدرو	ماسه سنگ قرمز	توالی تخریبی در یال جنوبی	SK11
ICP-MS, XRF	ایمیدرو	ماسه سنگ قرمز	توالی تخریبی در یال جنوبی	SK12
ICP-MS, XRF	ایمیدرو	ماسه سنگ قرمز	توالی تخریبی در یال جنوبی	SK13

۳-۶- ژئوشیمی سنگ‌های آذرین

سنگ‌های آذرین در منطقه تاقدیس کاهک به صورت گدازه‌های آتشفسانی به همراه سنگ‌های رسوبی رخنمون دارد. با توجه به اینکه میزبان کانه‌زایی در منطقه سنگ‌های آتشفسانی مافیک تا حد واسط و رسوبی می‌باشد، لذا مطالعات ژئوشیمیایی بر روی این سنگ‌ها اطلاعات مهمی را در رابطه با منشأ و ترکیب سنگ‌های منطقه در اختیار قرار خواهد داد.

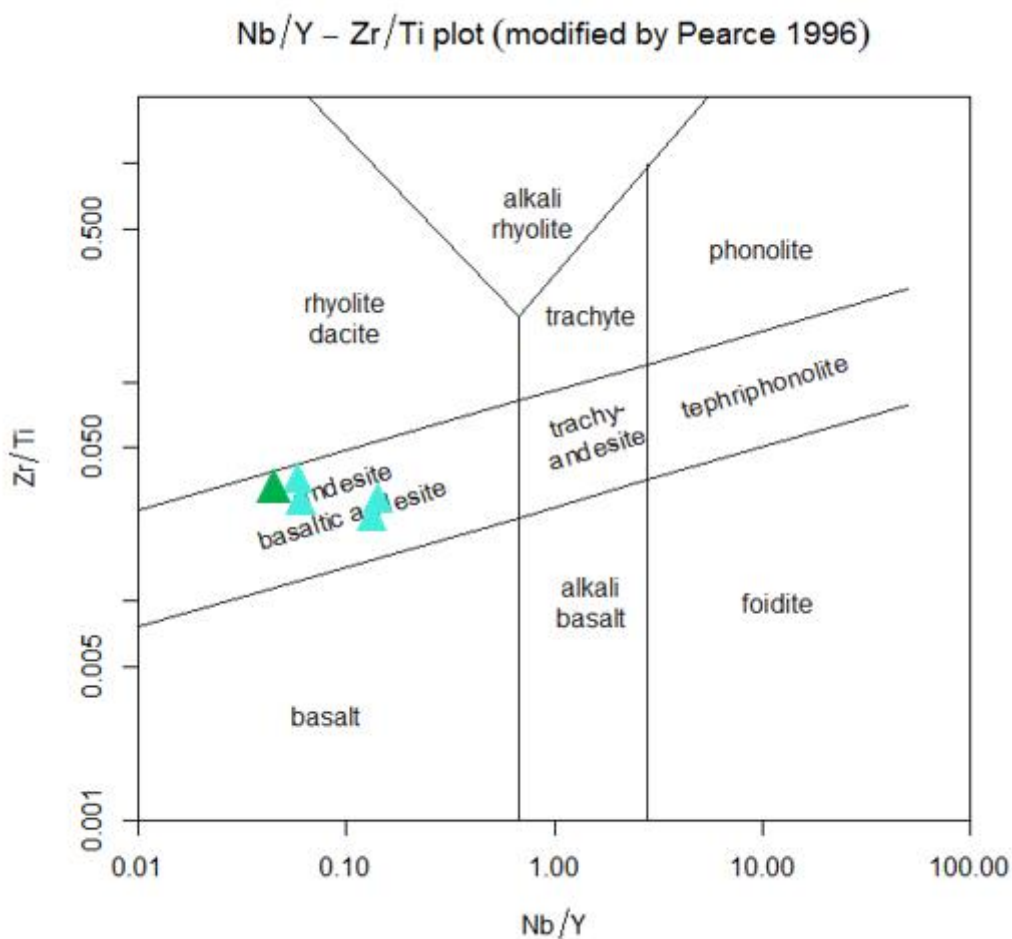
۳-۱-۶ تعیین سری ماگمایی و طبقه‌بندی سنگ‌های آتشفسانی

از عناصر اصلی و کمیاب برای طبقه بندی و تعیین سری ماگمایی سنگ‌های آذرین و تعیین محیط تکتونیکی آن‌ها استفاده گردیده است. بنابراین در این تحقیق برای طبقه بندی سری ماگمایی سنگ-های آذرین از نمودار (Hastie et al.2007) استفاده شده است. بر اساس این نمودار نسبت Th به Co برای تقسیم بندی سنگ‌ها به سه سری تولئیتی، سری کالک آلکالن و شوشوئیتی بکار می‌رود. تمامی نمونه‌های آتشفسانی توالی آتشفسانی-رسوبی این منطقه مورد مطالعه در محدوده کالک آلکالن واقع شده‌اند (شکل ۱-۶).



شکل ۱-۶: موقعیت سنگ‌های آتشفشاری منطقه مورد مطالعه در نمودار (Hastie et al. 2007)

برای طبقه بندی سنگ‌های آتشفشاری و آذرآواری منطقه بر اساس نمودار Zr/Ti در برابر Y/Nb (Pearce 1996)، بیشتر نمونه‌ها در محدوده آندزیتی-بازالتی قرار می‌گیرد (شکل ۲-۶).



شکل ۲-۶: موقعیت سنگ‌های آتشفشاری منطقه در نمودار ۱۹۹۶ Pearce،

برای طبقه‌بندی و تعیین سری مagmaی سنگ‌های آذرین و همچنین تعیین محیط تکتونیکی سنگ-های آتشفشاری منطقه مورد مطالعه، از عناصر اصلی و کمیاب استفاده شده و ترکیب شیمیایی این منطقه دارای طیفی از سنگ‌های آندزیتی و آندزیتی بازالت آکالن می‌باشد که دارای ترکیب حدوداً متوسط تا بازیک با ویژگی کالک آکالن هستند.

۶-۳-۲- تعیین محیط تکتونیکی

همانگونه که در پیشتر عنوان شد، جنس سنگ‌ها در محدوده آندزیتی-بازالتی قرار می‌گیرد. محیط تکتونیکی پیشنهاد شده توسط Ghasemi & Rezaei (2014) برای سنگ‌های آتشفسانی منطقه داورزن- عباس‌آباد کمان آتشفسانی می‌باشد.

۶-۴- ژئوشیمی عناصر نادر خاکی

عناصر نادر خاکی (REE) یا لانتانیدها ، عناصری با عدد اتمی ۵۷ تا ۷۱ می‌باشند. این عناصر، مفیدترین عناصر جزئی‌اند و مطالعه آن‌ها، کاربردهای مهمی در سنگ‌شناسی آذربین، رسبی و دگرگونی دارد. اعضای با عدد اتمی بالا، خاک‌های کمیاب سنگین (HREE) و اعضای با عدد اتمی پایین از این سری عناصر را خاک‌های کمیاب سبک (LREE) نامیده می‌شوند. گاهی اعضای میان این گروه، یعنی Sm تا Ho ، خاک‌های کمیاب میانی (MREE) نامیده می‌شوند. در بیشتر مواقع، عناصر جزئی، جایگزین عناصر اصلی کانی‌های سنگ‌ساز می‌شوند و تنها گاهی، عناصر جزئی، کانی‌های خود را می‌سازند. در هر مجموعه‌ای از سنگ که دچار دگرسانی گرمابی یا دگرگونی شده باشد احتمال تحرک عناصر وجود دارد. تحرک عناصر جزئی توسط تغییرات کانی‌شناختی زمان دگرسانی و ماهیت فاز سیال کنترل می‌شود. به عنوان یک اصل کلی، عناصر ناسازگار وابسته به گروه LILE (Cs, Sr, K,) متحرک‌اند در حالی که عناصر HFSE نامتحرک‌اند. گروه HFSE شامل (Rb, Ba, Pb, Eu Th, Zr, Hf, Cu, Mn, Zn, U, Ce, Pb, Ti, Nb, Ta) می‌شود (پیرس، ۱۹۸۳). افزون بر این، فلزهای واسطه بهویژه در دماهای بالا متحرک‌اند (Sivald and Seifrid, 1990)، در حالی که Co, Ni, V و Cr نامتحرک‌اند. این اصل‌های کلی به طور طبیعی معتبرند، گرچه استثنای زیادی برای آن‌ها گزارش شده است. جهت بررسی فرآیندهای پترولوزیکی، از نمودارهای عنکبوتی به هنجارشده استفاده می‌شود. در این نمودارها از بهنجارسازی فراوانی عناصر کمیاب نسبت به فراوانی این عناصر در یک سری نمونه

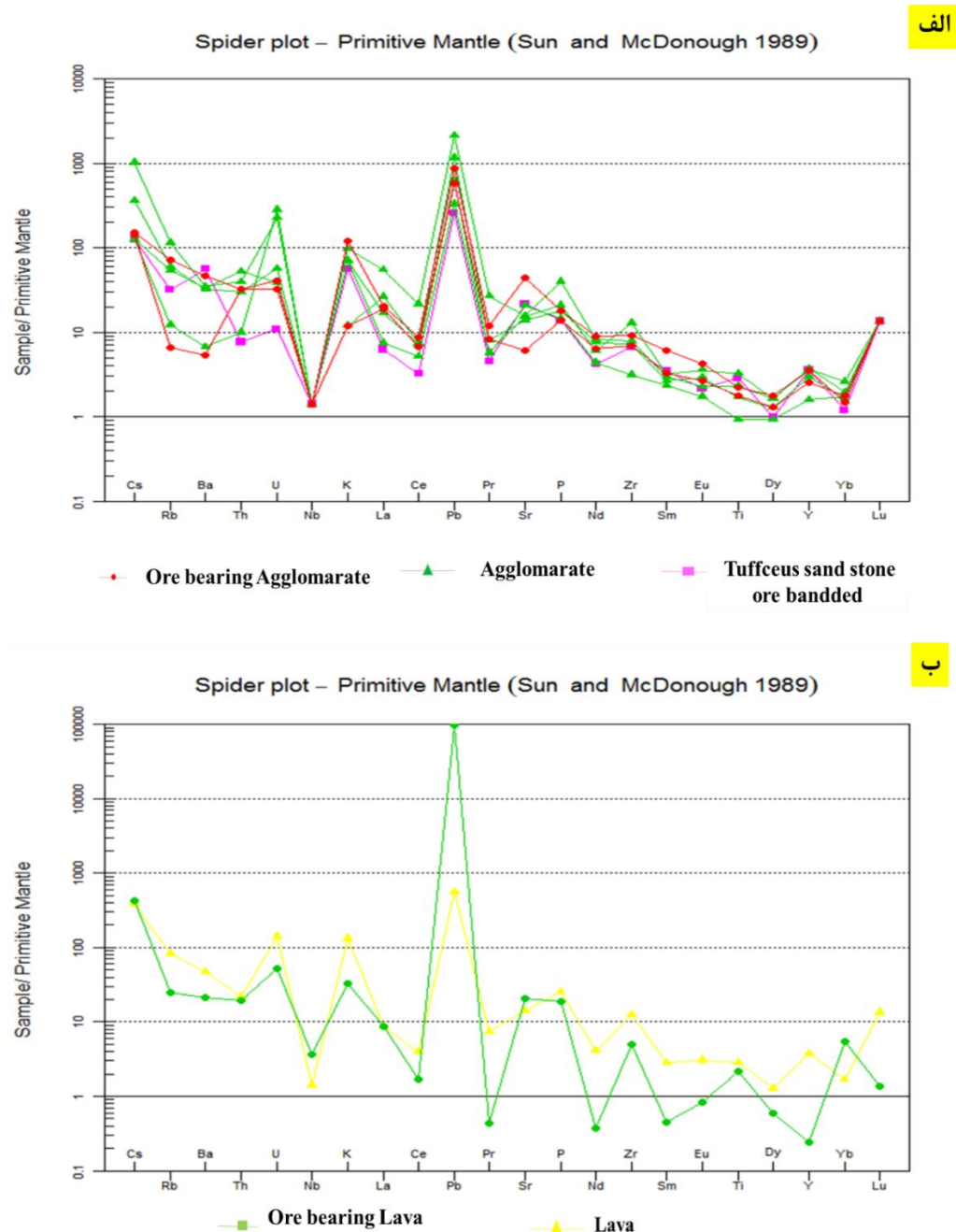
استاندارد خاص استفاده می‌شود (Rollinson, 1993). برای مطالعه تغییرات عناصر نادر خاکی، نمونه‌هایی از سنگ‌های همراه با کانه‌زایی برداشت شد که پس از آزمایش مورد تجزیه و تحلیل ژئوشیمیایی قرار گرفت. غلظت‌های عناصر نادر خاکی معمولاً به یک مرجع استاندارد مشترک بهنجار می‌شوند. این استاندارد معمولاً شهاب سنگ‌های کندریتی است (Rollinsoon, 1984). در این پژوهش داده‌ها بر حسب ترکیب و گوشه اولیه (Sun and McDonough, 1989) بهنجار شده‌اند.

۴-۱-۶ - الگوی نمودار چند عنصری و REE در سنگ‌های توالی میزبان کانه‌زایی

نمودارهای چند عنصری نسبت به نمودارهای REE دارای مخلوط ناهمگنی از انواع عناصر کمیاب هستند لذا تعداد پستی و بلندی‌های بیشتری در آن‌ها مشاهده می‌شود که نشانگر رفتار متفاوت گروه‌های مختلف عناصر کمیاب است. برای مثال عناصر متحرک (Cs, Eu, Sr, Ba, K, Rb) LILE و عناصر کم تحرک (Ta, Y, Hf, Zr, Ti, Nb) رفتارهای متفاوتی دارند. غلظت عناصر LILE تابعی از نحوه رفتار فاز سیال است در صورتی که غلظت عناصر HFSE به وسیله شیمی سنگ منشا و فرآیندهای بلور مذاب که در حین تشکیل سنگ صورت می‌گیرد، کنترل می‌شود (Rollinson, 1993). از آنجا که فرآیند دگرسانی بر روی عناصر کم تحرک مانند Ti, P, Zr, Y, Nb تاثیر کمتری دارد این عناصر داده‌های قابل اعتمادتری را برای نامگذاری سنگ‌ها (Winchester and Floyd, 1977) ارائه می‌دهند.

در نمونه‌های مورد مطالعه الگوی عناصر نادر خاکی و کمیاب بهنجار شده نسبت به گوشه اولیه (Sun & McDonough, 1989)، تمرکز نسبتاً بالایی از عناصر لیتوفیل بزرگ یون (LILE) مانند Pb و Cs تمرکز پایینی از عناصر با شدت میدان بالا (HFSE) مخصوصاً Nb و Ti را نشان می‌دهد (شکل ۳-۶). Pearce, 1983; Zanetti et al., 1999 که ماهیت آلکالن مرتبط با کمان (حاشیه قاره‌ای فعال) را تداعی می‌کند (آنومالی منفی Nb و Ti به عوامل مختلفی نسبت داده می‌شود، این عوامل عبارتند از: ۱- Zhang et al., 2006; Kuscu and Geneli, 2008; Asran et al., 2008) مرتبط با فرورانش است.

وجه مشخصه سنگ‌های پوسته قاره‌ای و دخالت پوسته در فرآیندهای ماقمایی (Reichoe et al., 2005)، و یا فقر منبع، پایداری فازهای حاوی این عناصر در طی ذوب بخشی و یا جدایش آن‌ها طی فرآیند تفریق باشد.(Wu et al, 2003).



شکل ۳-۶: نمودار فراوانی عناصر نادر خاکی بهنجار شده به گوشته اولیه (Sun & Mc Donough 1989)
الف) کانسار زواک، ب) کانسار سردار.

۶-۵- میزان پراکندگی و ضریب همبستگی عناصر

برای پاسخ دادن به این سوال که بین عناصر چه نوع وابستگی‌هایی وجود دارد، از روش آماری همبستگی استفاده می‌شود. طبق تعریف، همبستگی عبارت است از سنجشی از شدت وابستگی بین دو متغیر اندازه‌گیری شده در یک مجموعه از داده‌های منفرد (Rollinson, 1993). این پارامتر با استفاده از ضریب همبستگی خطی حاصل‌ضرب مومنت پیرسون محاسبه شده و به عنوان ضریب همبستگی معروف است. در جدول همبستگی، ارتباط میان هر عنصر با سایر عناصر، به صورت عددی بین ۱- تا +۱ نشان داده می‌شود. علامت مثبت بیانگر ارتباط مستقیم بین دو عنصر و علامت منفی بیانگر ارتباط معکوس بین دو عنصر می‌باشد. به هر میزان قدر مطلق ضریب به دست آمده بین دو عنصر به عدد یک نزدیک‌تر باشد، بیانگر ارتباط قوی‌تر (مستقیم یا معکوس) بین آن دو عنصر می‌باشد. جدول ۲-۶ ضریب همبستگی عناصر برای نمونه‌های کانسنگ منطقه مورد مطالعه را نشان می‌دهد که با استفاده از نرم‌افزار SPSS تهیه شده است.

جدول ۶-۲- ضرایب همبستگی پیرسون (Pearson) برای عناصر کمیاب در معدن مس زواک و سردار.

	Ag	Al	As	Ca	Cd	Co	Cu	Fe	Mg	Mn	Mo	Pb	Sr	Zn
Ag Pearson Correlation	1													
Al Pearson Correlation	-0.098	1												
As Pearson Correlation	-0.601	0.405	1											
Ca Pearson Correlation	-0.328	-0.834	0.065	1										
Cd Pearson Correlation	.921*	-0.075	-0.724	-0.459	1									
Co Pearson Correlation	-0.338	0.701	0.011	-0.696	-0.067	1								
Cu Pearson Correlation	.947*	-0.164	-0.493	-0.294	.922*	-0.368	1							
Fe Pearson Correlation	0.680	0.278	-0.597	-0.762	.883*	0.398	0.695	1						
Mg Pearson Correlation	-0.336	0.612	-0.128	-0.588	-0.101	.958*	-0.446	0.319	1					
Mn Pearson Correlation	-0.049	-0.626	-0.666	0.524	-0.014	-0.136	-0.206	-0.163	0.111	1				
Mo Pearson Correlation	0.610	-0.127	0.001	-0.173	0.601	-0.405	0.819	0.435	-0.611	-0.575	1			
Pb Pearson Correlation	.940*	-0.100	-0.339	-0.191	0.749	-0.547	.899*	0.439	-0.562	-0.200	0.673	1		
Sr Pearson Correlation	-0.462	0.437	.975**	0.038	-0.659	-0.087	-0.402	-0.589	-0.201	-0.677	0.023	-0.169	1	
Zn Pearson Correlation	0.429	0.627	-0.389	-0.938*	0.629	0.702	0.379	.900†	0.641	-0.244	0.128	0.195	-0.381	1

*. Correlation is significant at the 0.05 level (2-tailed).

Correlations															
	Ag	Al	As	Ba	Ca	Cd	Co	Cu	Fe	Mg	Mn	Mo	Pb	Sr	Zn
Ag Pearson Correlation	1														
Al Pearson Correlation	-0.061	1													
As Pearson Correlation	0.573	-0.853	1												
Ba Pearson Correlation	0.966	-0.317	0.766	1											
Ca Pearson Correlation	0.759	-0.696	0.968	0.902	1										
Cd Pearson Correlation	-0.987	-0.103	-0.431	-0.911	-0.643	1									
Co Pearson Correlation	-0.798	0.650	-0.951	-0.927	-.998*	0.689	1								
Cu Pearson Correlation	0.668	-0.906	0.551	-0.114	0.326	0.515	-0.268	1							
Fe Pearson Correlation	-0.964	-0.207	-0.334	-0.862	-0.559	0.994	0.609	0.602	1						
Mg Pearson Correlation	0.707	0.662	-0.174	0.500	0.077	-0.813	-0.138	-0.917	-0.870	1					
Mn Pearson Correlation	0.673	-0.779	0.992	0.842	0.992	-0.543	-0.983	0.440	-0.452	-0.047	1				
Mo Pearson Correlation	0.632	-0.812	.997*	0.811	0.984	-0.497	-0.971	0.489	-0.403	-0.101	.999**	1			
Pb Pearson Correlation	-0.984	-0.116	-0.419	-0.905	-0.632	1.000**	0.679	0.526	0.996	-0.821	-0.532	-0.485	1		
Sr Pearson Correlation	-0.986	0.225	-0.701	-0.995	-0.856	0.946	0.886	0.209	0.907	-0.581	-0.786	-0.751	0.942	1	
Zn Pearson Correlation	-.997*	0.132	-0.630	-0.982	-0.804	0.972	0.839	0.300	0.942	-0.655	-0.724	-0.686	0.969	0.996	1

*. Correlation is significant at the 0.05 level (2-tailed).

**. Correlation is significant at the 0.01 level (2-tailed).

۶-۶- ستون‌های لیتوژئوشیمیایی و بررسی تغییرات عناصر در منطقه مورد

مطالعه

تغییرات ژئوشیمی عناصر اصلی و کمیاب در مقاطع زمین‌شناسی بررسی می‌شود. به منظور دستیابی به خصوصیات ژئوشیمیایی کانسارها، تغییرات عناصر و همبستگی عناصر در واحدهای کانه‌دار نمونه-برداری به صورت منظم و عمود بر روند کانه‌زایی صورت گرفته است و برای مقایسه ویژگی ژئوشیمیایی تعداد ۴ عنصر انتخاب شده. نتایج حاصل به صورت نمودار منطبق بر توالی ستون چینه در شکل (۶-۵) نشان‌داده شده است.

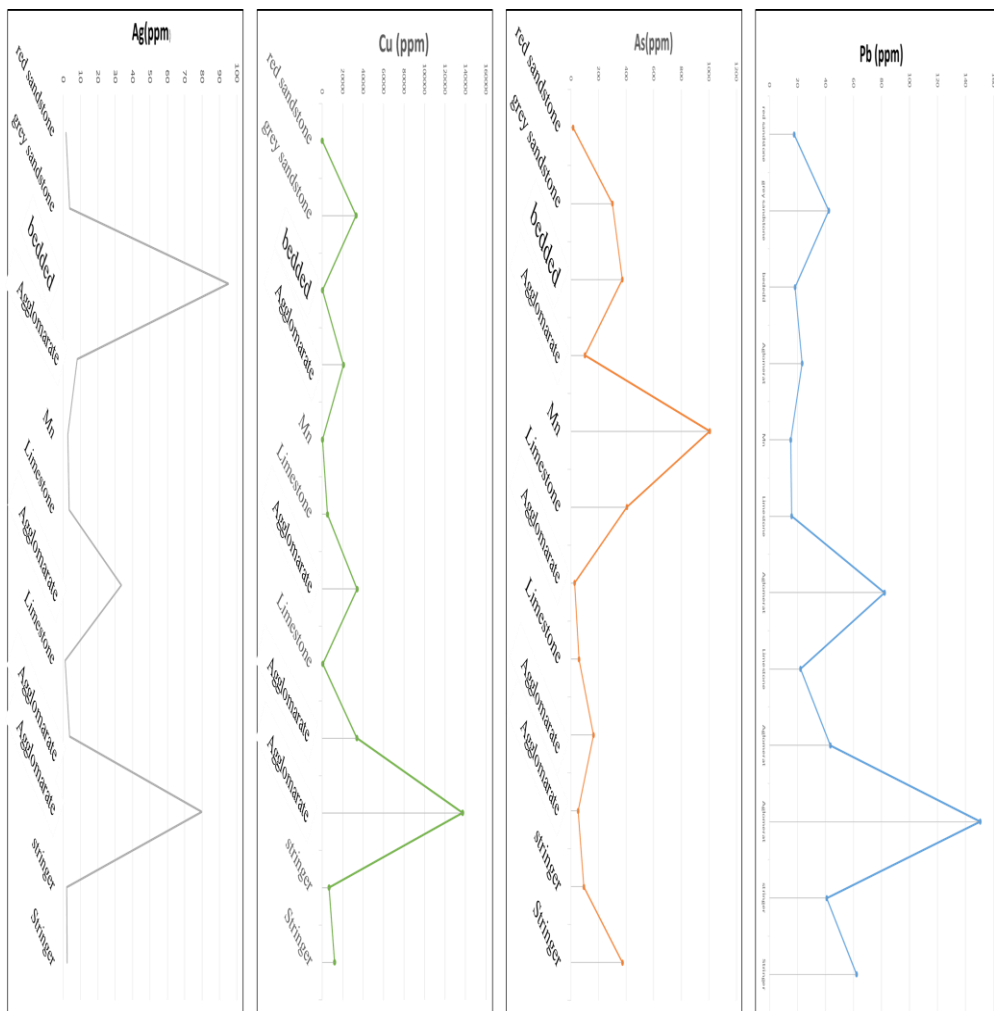
در کانسار زاواک:

مس(Cu): مس در تمام مقاطع لیتوژئوشیمیایی به مقدار قابل ملاحظه‌ای وجود دارد و بیشترین مقدار مس در آگلومرای برشی که حاوی کانه‌زایی کالکوسیت و مالاکیت می‌باشد.

نقره(Ag): میزان نقره نیز در کانسینگ نواری و واحد آگلومرایی بسیار قابل توجه است.

آرسنیک(As): میزان آرسنیک نیز در واحد منگنز سوپرژن قابل توجه است دلیل آن می‌تواند تحرک بالای آرسنیک باشد.

سرب(Pb): سرب در تمام مقاطع لیتوژئوشیمیایی به مقدار قابل ملاحظه‌ای وجود دارد و بیشترین مقدار آن در آگلومرای برشی می‌باشد.



شکل ۶-۴: نمودار تغییرات میزان عناصر در مقطع کانسار زواک بر اساس داده‌های ICP-MS

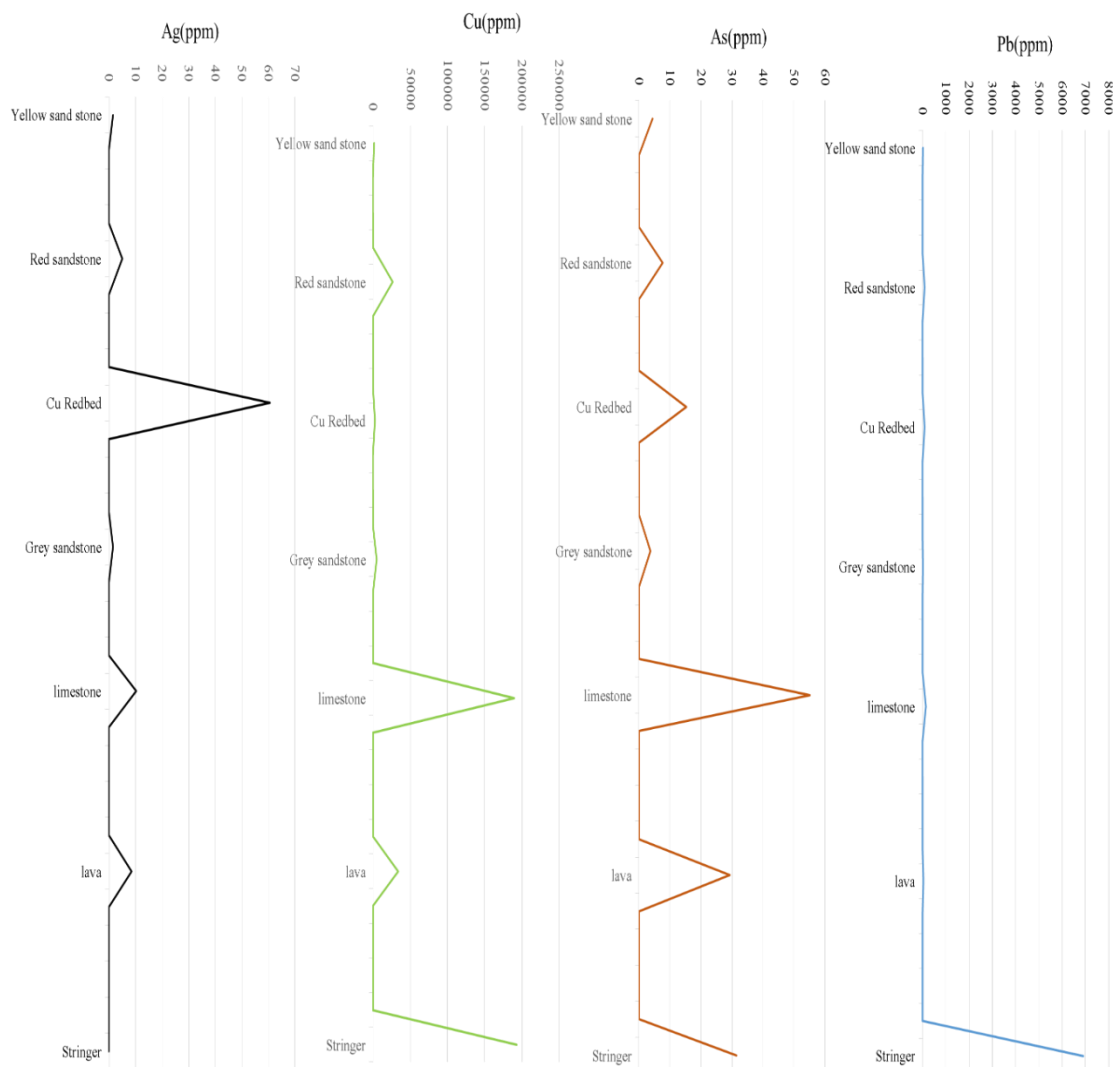
در کانسار سردار:

مس(Cu): بیشترین مقدار مس در بخش استرینگر و لایه آهکی می‌باشد.

نقره(Ag): میزان نقره نیز در فسیل های گیاهی موجود در لایه ماسه سنگ خاکستری بسیار قابل توجه است.

آرسنیک(As): میزان آرسنیک نیز در واحد آهکی و استرینگر قابل توجه است و دلیل آن می‌تواند تحرک بالای آرسنیک باشد.

سرب(Pb): سرب در تمام مقاطع لیتوژئوژیمیایی به مقدار خیلی کمی وجود دارد و بیشترین مقدار آن در پهنه استرینگ می‌باشد.



شکل ۶-۵: نمودار تغییرات میزان عناصر در مقطع کانسار سردار بر اساس داده‌های ICP-MS

۷-۶- طبقه‌بندی شیمیایی سنگ‌های رسوبی

طبقه‌بندی ژئوشیمیایی سنگ‌های رسوبی به گستردگی سنگ‌های آذرین نبوده و در اکثر سیستم‌های طبقه‌بندی سنگ‌های رسوبی ویژگی‌هایی را که در نمونه‌های دستی یا مقاطع نازک قابل رویت‌اند، مانند اندازه دانه‌ها و کانی‌شناسی اجزا و ماتریکس، به کار می‌برند.

برخلاف سنگ‌های آذرین، یافتن رابطه ساده بین کانی‌شناسی ماسه سنگ و ترکیب شیمیایی آن‌ها مشکل است. به این علت طبقه‌بندی ژئوشیمیایی ماسه‌سنگ از طبقه‌بندی کانی‌شناسی قراردادی ماسه‌سنگ بر اساس کوارتز، فلدسپات و خرد سنگ پیروی نمی‌کند، اما رسوبات بالغ و نابالغ را از هم تفکیک می‌نمایید.

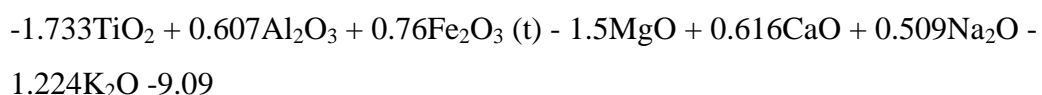
ماسه‌سنگ‌هایی با جایگاه زمین ساختی متفاوت در منطقه منشا، دارای درصد اجزای آواری و همچنین ژئوشیمی خاص خود می‌باشند. همچنین جایگاه زمین‌ساختی محیط‌های تهشیینی بر روی فرآیندهای رسوبی، دیاژنز و در نتیجه ترکیب نهایی سنگ‌های رسوبی تاثیر می‌گذارد و بر همین اساس، مطالعات ژئوشیمیایی رسوبات و سنگ‌های سیلیسی آواری، می‌توان نام‌گذاری، جایگاه زمین‌ساختی، سنگ منشا ماسه‌سنگ‌ها و هوازدگی شیمیایی در منطقه منشا را تعیین کند. در زیر سنگ‌های میزبان و کانسنگ‌های منطقه مورد مطالعه از منظرهای گوناگون مورد بررسی‌های ژئوشیمیایی قرار گرفته‌اند.

۷-۶-۱- بررسی ترکیب لیتولوژی سنگ مادر ماسه‌سنگ‌های مورد مطالعه

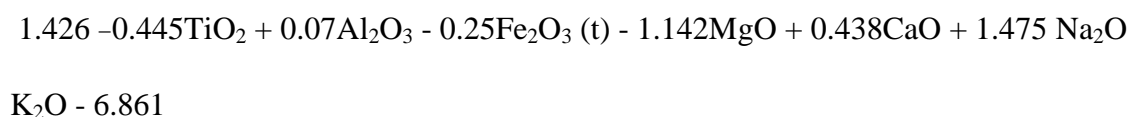
یکی از فاکتورهای مورد استفاده در تشخیص انواع لیتولوژی سنگ مادر نهشته‌های سیلیسی آواری، استفاده از ترکیب شیمیایی بالک رسوبات می‌باشد (Roser and Korsch, 1988; McLennan et al., 2003). یکی از مهمترین دیاگرام‌های تفکیک کننده لیتولوژی سنگ مادر با توجه به عناصر اصلی، دیاگرام روسر و کورش (Roser and Korsch, 1988)، است که یک نمودار تابعی جهت تمایز بین

رسوباتی است که سنگ مادر اولیه آنها سنگ‌های آذرین مافیک، حدواسط یا فلسیک و یا رسوبات غنی از سیلیس می‌باشند. در این نمودار دوتابع تشخیص ۱ و ۲ به ترتیب در محورهای x و y قرار می‌گیرند. روش محاسبه این توابع در زیر آورده شده است.

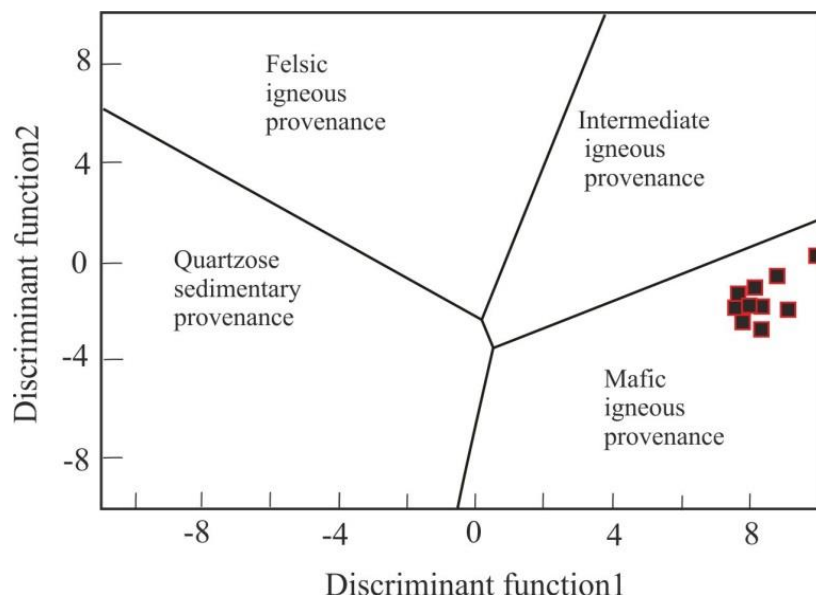
تابع تفکیکی ۱ :



تابع تفکیکی ۲ :

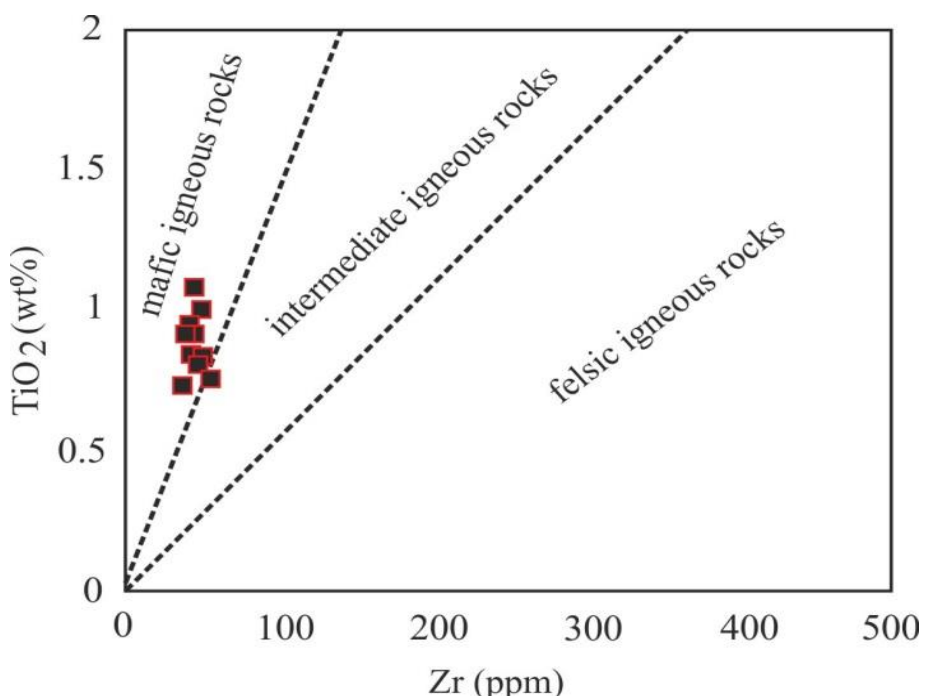


با ترسیم داده‌های اکسیدهای نمونه‌های مورد مطالعه بر روی دیاگرام روسر و کورش (Roser and Korsch, 1988)، تمامی نمونه‌ها در محدوده سنگ مادر آذرین مافیک قرار گرفته‌اند که با ترکیب سنگ‌های آتشفسانی اوسن در منطقه مطابقت می‌نماید (شکل ۶-۶).



شکل ۶-۶: نمودار متمایز کننده لیتولوژی سنگ مادر مجموعه‌های ماسه‌سنگی و گل‌سنگی با استفاده از اکسید عناصر اصلی (Roser and Korsch, 1988). نمونه‌های ماسه سنگی مورد مطالعه در محدوده آذرین مافیک قرار گرفته‌اند.

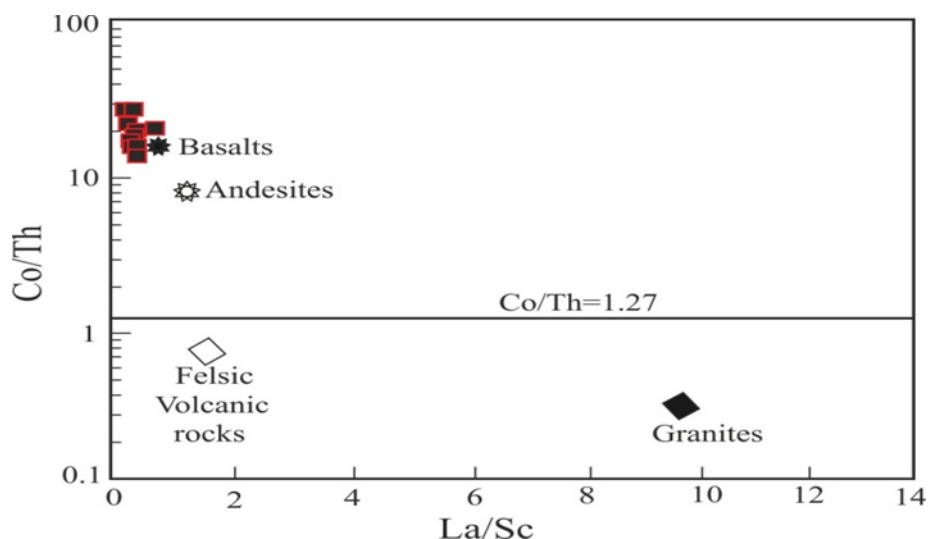
دیاگرام TiO_2 در مقابل Zr (Hayashi et al., 1997) نیز از دیاگرام‌های مهم در تشخیص نوع سنگ مادر رسوبات می‌باشد. بر اساس این دیاگرام (شکل ۶-۷) نیز تمامی نمونه‌های مورد مطالعه در محدوده Hiyashi et al., 1997 مشتق شده‌اند اما در حالتی که این نسبت حدود ۱۹ تا ۲۸ باشد، از سنگ مادرهای مافیک فلسیک می‌باشند. این نسبت در ماسه سنگ‌های مورد مطالعه در محدوده ۱۰ تا ۱۷ (میانگین ۱۴) می‌باشد که نشان از مشتق شدن آنها از سنگ مادرهای آذرین مافیک می‌باشد.



شکل ۶-۷: دیاگرام دوتایی TiO_2 در مقابل Zr (Hayashi et al., 1997); نمونه‌های ماسه سنگی مورد مطالعه در محدوده سنگ مادرهای آذرین مافیک قرار گرفته‌اند.

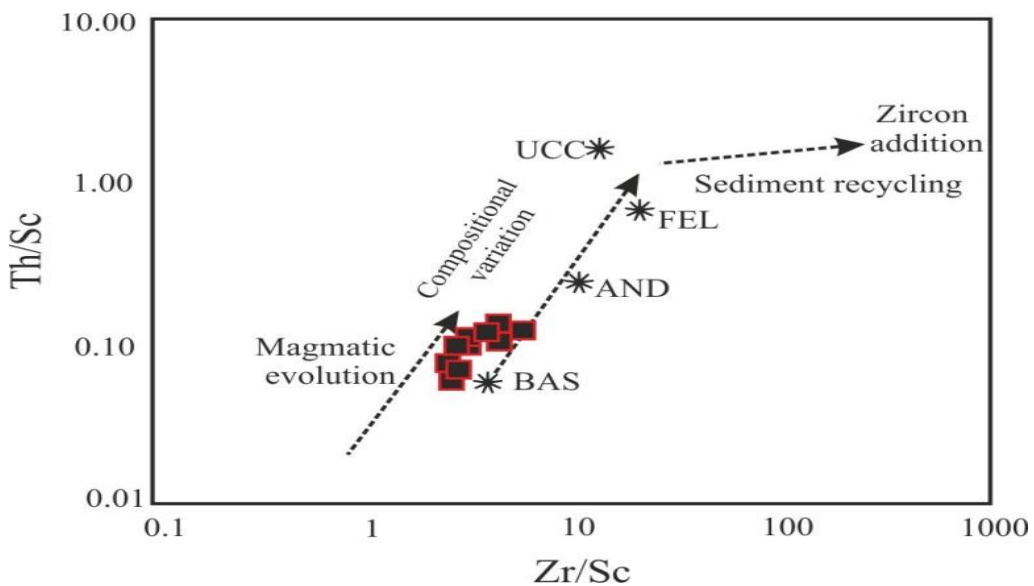
علاوه بر عناصر اصلی، عناصر فرعی بخصوص عناصری که تحرک و انحلال پذیری کمتری در طول فرایندهای رسوبی دارند از فاكتورهای مهم در تفکیک لیتولوژی‌های سنگ مادر رسوبات سیلیسی-آواری می‌باشند (McLennan et al., 2003). بنابراین نسبت این عناصر از جمله Th/Sc , La/Sc , La/Co یکی از موثرترین فاكتورها در تفکیک سنگ مادرهای فلسیک از مافیک می‌باشند.

Gu et al.,) Co/Th در مقابل La/Sc (McLennan et al., 2003) (McLennan et al., 2003). با استفاده از دیاگرام دوتایی Co/Th را نشان می‌دهند که مربوط به سنگ مادرهای آذرین مافیک می‌باشد (شکل ۸-۶).



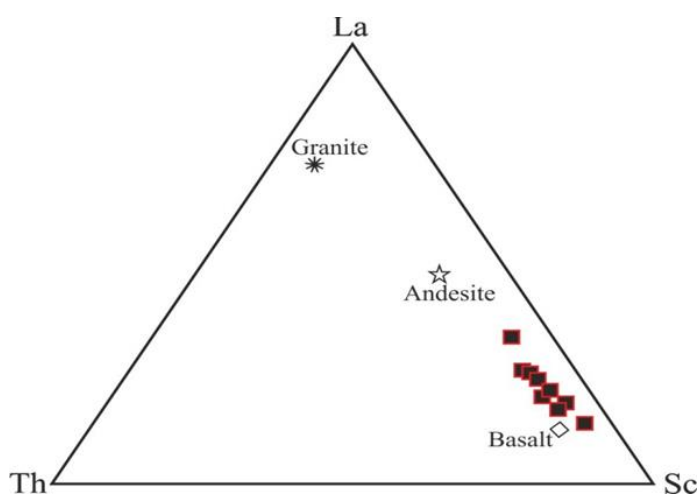
شکل ۸-۶: دیاگرام دوتایی Co/Th در مقابل La/Sc (Gu et al., 2002); نمونه‌های ماسه سنگی مورد مطالعه در نزدیکی سنگ مادرهای آذرین مافیک و بازالتی قرار گرفته‌اند.

نسبت‌های Th/Sc و Zr/Sc نیز از نسبت‌هایی هستند که تفکیک سنگ مادرهای مختلف و تاثیر چرخه مجدد بر روی سنگ‌های رسوبی آواری توسط آنها امکان‌پذیر است. دیاگرام دوتایی این دو نسبت در کنار یکدیگر (McLennan et al., 1993; McLennan et al., 2003) و ترسیم داده‌های ماسه سنگ-های مورد مطالعه بر روی این نمودار نشان می‌دهد که نمونه‌ها از سنگ مادرهای آذرین مافیک و بازالتی مشتق شده‌اند (شکل ۹-۶).



شکل ۶-۹: دیاگرام دوتایی Th/Sc در مقابل Zr/Sc (McLennan et al., 1993) و موقعیت نمونه‌های ماسه سنگی که در نزدیکی سنگ مادرهای بازالتی ترسیم شده‌اند.

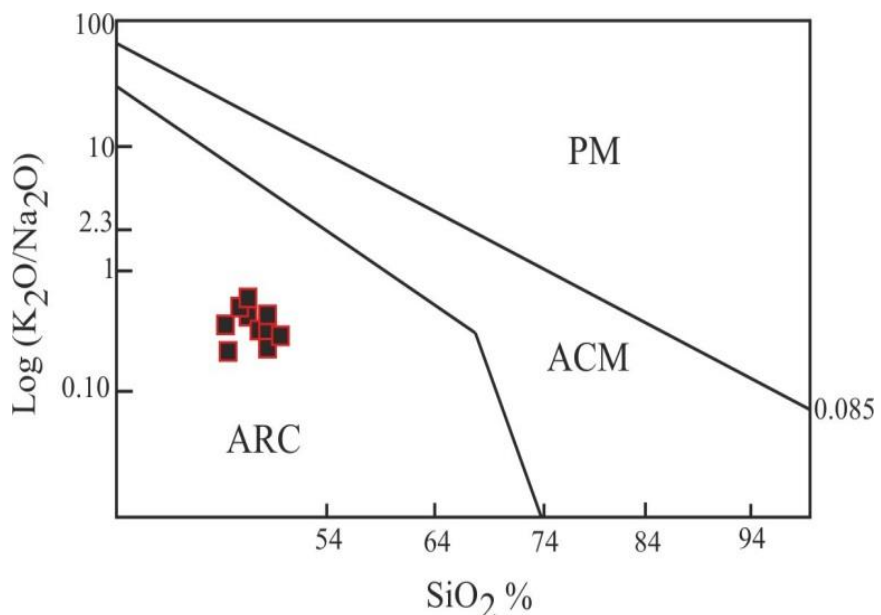
دیاگرام مثلثی La-Th-Sc باتیا و کروک (Bhatia and Crook, 1986) نیز امکان تفکیک سنگ مادرهای مختلف را در نمونه‌های ماسه سنگی فراهم می‌آورد که بر این اساس نمونه‌های مورد مطالعه در نزدیکی محدوده سنگ مادرهای بازالتی قرار گرفته است (شکل ۱۰-۶).



شکل ۱۰-۶: دیاگرام مثلثی La-Th-Sc (Bhatia and Crook, 1986) و موقعیت نمونه‌های ماسه سنگی که در نزدیکی سنگ مادرهای بازالتی قرار گرفته‌اند.

۲-۷-۶- بررسی جایگاه تکتونیکی منطقه منشأ نهشته‌های ماسه سنگی

استفاده از ژئوشیمی ماسه سنگ‌ها در بدست آوردن جایگاه تکتونیکی منطقه منشأ ابزاری سودمند می‌باشد (Schwab, 1975; Bathia, 1983). در این مطالعه نیز از دیاگرام‌های مختلف ژئوشیمیایی برای تعیین جایگاه تکتونیکی ماسه سنگ‌های مورد مطالعه استفاده شده است. محتوای SiO_2 و نسبت $\text{K}_2\text{O}/\text{Na}_2\text{O}$ در ماسه سنگ‌ها از حساس‌ترین نشانگرهای تفکیک جایگاه‌های تکتونیکی هستند. بر این اساس، روسر و کورش (Roser and Korsch, 1986) نموداری ارائه کردند که براساس فاکتورهای ذکر شده، تفکیک سه جایگاه تکتونیکی غیرفعال قاره‌ای (PM)، جایگاه فعال قاره‌ای (ACM) و حواشی جزایر قوسی اقیانوسی (ARC) امکان‌پذیر می‌باشد. با قرار دادن مقادیر مربوط به ماسه سنگ‌های مورد مطالعه در این نمودار، مشخص می‌شود که این ماسه سنگ‌ها در داخل محدوده‌های جزایر قوسی قرار گرفته‌اند (شکل ۱۱-۶).

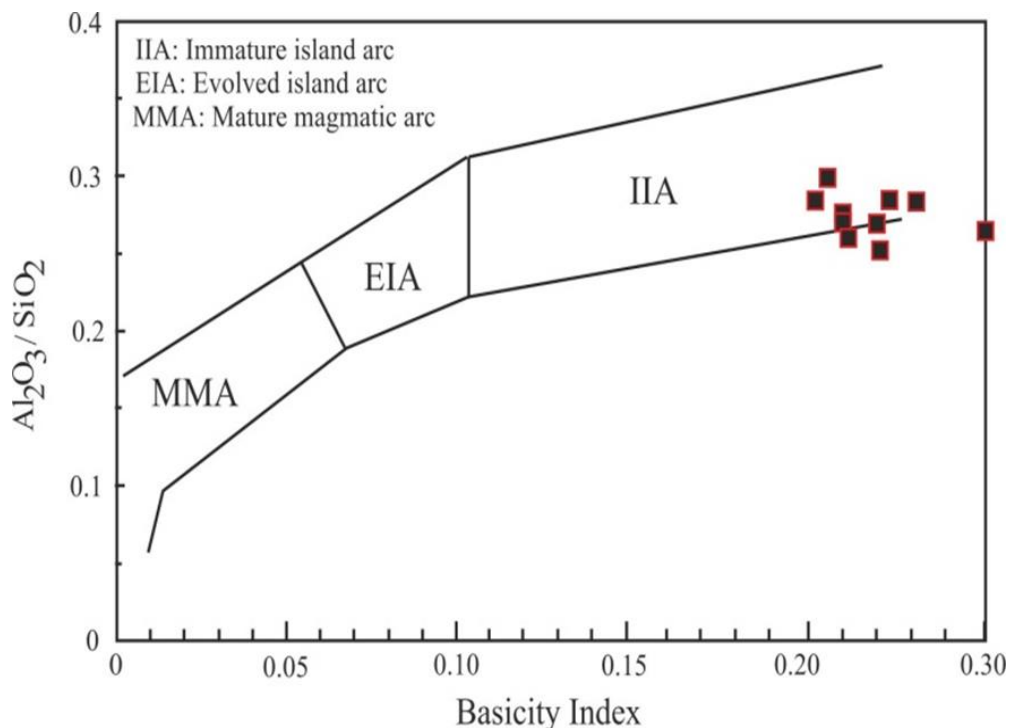


شکل ۱۱-۶: نمودار محتوای SiO_2 در مقابل نسبت $\text{K}_2\text{O}/\text{Na}_2\text{O}$ ؛ ماسه سنگ‌های (Roser and Korsch, 1986) مورد مطالعه در محدوده جزایر قوسی قرار گرفته‌اند.

کومون و کیمی‌نامی (Kumon and Kiminami, 1994) نموداری را پیشنهاد نمودند و در آن با استفاده از یک سری نسبت‌های اکسیدهای عناصر اصلی در رسوبات سیلیسی آواری، به بررسی وضعیت

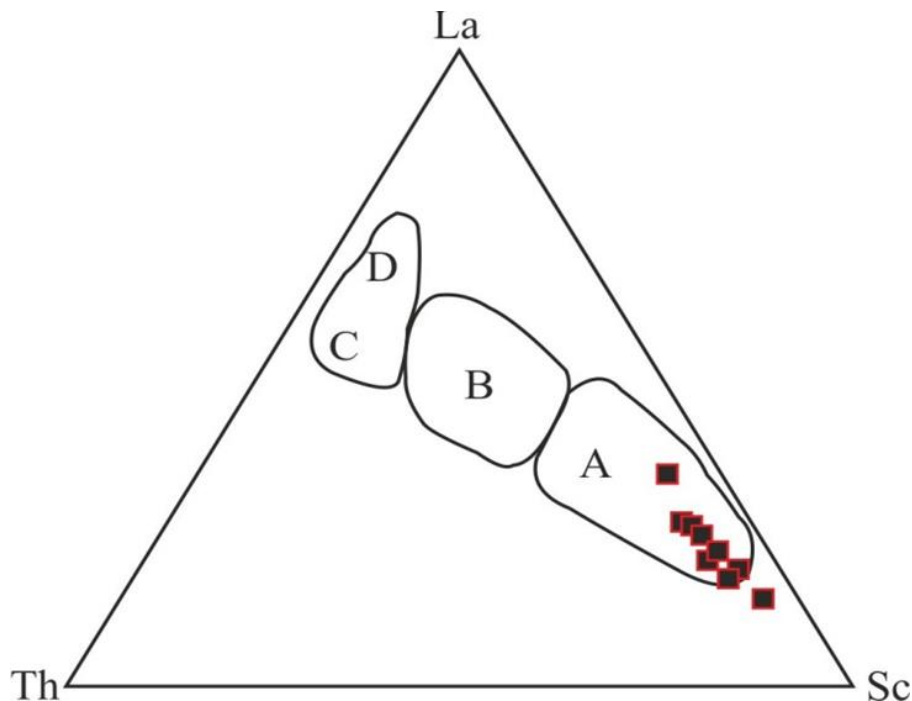
جایگاه تکتونیکی رسوبات مرتبط با سنگ مادرهای آذرین پرداختند. محور افقی این نمودار، اندیسی به نام اندیس بازی است که از نسبت $(\text{Fe}_2\text{O}_3 + \text{MgO}) / (\text{SiO}_2 + \text{Na}_2\text{O} + \text{K}_2\text{O})$ بدست آمده است. در محور دیگر نمودار نسبت $\text{Al}_2\text{O}_3 / \text{SiO}_2$ قرار می‌گیرد. در واقع در این نمودار، نسبت کوارتز به فلدوپات بررسی می‌گردد و تکامل پترولوجیکی کمانهای مرتبط با آنها (از لحاظ مافیک یا فلسیک بودن) بوسیله نسبت‌های اکسیدی ذکر شده متمایز می‌گردد. به این ترتیب در این نمودار محدوده‌هایی وجود دارد که رسوبات مرتبط با جزایر قوسی نابالغ، جزایر قوسی رشد یافته و قوس‌های ماگمایی بالغ را از هم تفکیک می‌نماید. در این نمودار، ماسه‌سنگهای مورد مطالعه در داخل محدوده جزایر قوسی نابالغ قرار می‌گیرند (شکل ۱۲-۶). ماسه سنگ‌هایی که غالباً از خرد سنگ‌های آذرین و پلاژیوکلاز تشکیل شده‌اند و میزان بسیار کمی کوارتز در داخل خود دارند در محدوده جزایر قوسی نابالغ (جزایر قوسی اقیانوسی) قرار می‌گیرند و عموماً در این جایگاه‌های تکتونیکی، ولکانیسم مافیک تا حد واسط رخ می-

دهد (Kumon and Kiminami, 1994).

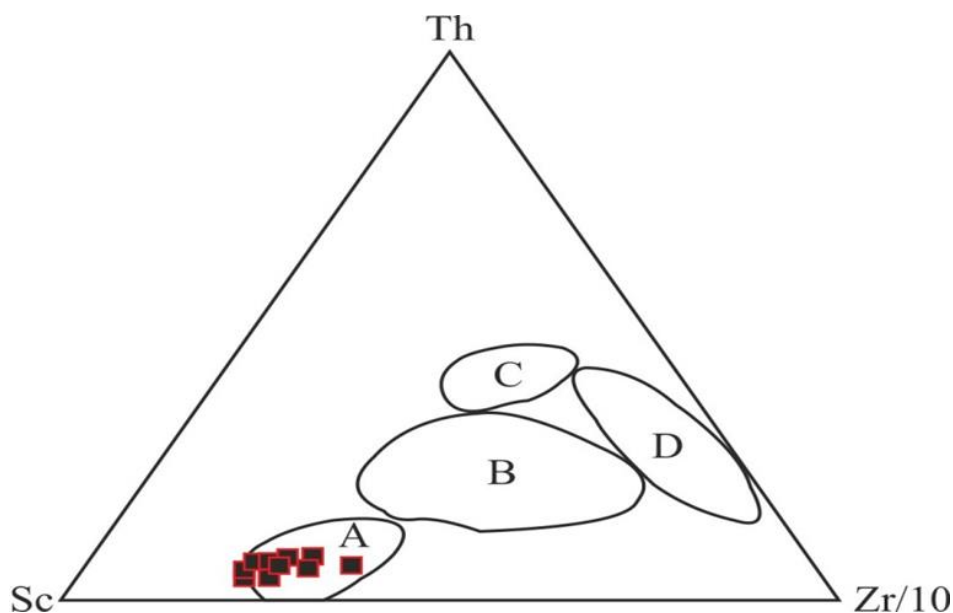


شکل ۱۲-۶: دیاگرام دوتایی بر اساس اندیس قلیایی بودن (نسبت $(\text{Fe}_2\text{O}_3 + \text{MgO}) / (\text{SiO}_2 + \text{Na}_2\text{O} + \text{K}_2\text{O})$) در مقابل نسبت $\text{Al}_2\text{O}_3 / \text{SiO}_2$; ماسه‌سنگهای مورد مطالعه در داخل محدوده جزایر قوسی نابالغ قرار گرفته‌اند.

استفاده از عناصر فرعی، بخصوص عناصر غیر متحرک مانند لانتانیوم، توریوم، زیرکانیم، هافنیوم، نیوبیوم، اسکاندیوم و تیتانیوم در بررسی جایگاه‌های تکتونیکی مناطق منشأ رسوبات سیلیسی آواری ثابت شده است (Taylor and McLennan, 1985). در واقع عدم تحرک و زمان اقامت کم این عناصر در آب اقیانوس و رودخانه باعث می‌شود این عناصر به بخش تخریبی رسوبات وارد شوند و در نتیجه در تفکیک جایگاه‌های تکتونیکی نقش مهمی را ایفا نمایند (Taylor and McLennan, 1985). باتیا و کروک (Bhatia and Crook, 1986) از لانتانیوم، توریوم و اسکاندیوم در قالب یک دیاگرام مثلثی به منظور تفکیک جایگاه‌های تکتونیکی در نیوزیلند استفاده کردند. در دیاگرام مثلثی La-Th-Sc سنگ‌هایی که در محدوده جزایر قوسی اقیانوسی قرار می‌گیرند بیشتر سنگ‌های بازیک هستند و نمونه‌های مرتبط با محدوده جزایر قوسی قاره‌ای بیشتر اسیدی هستند. با توجه به مقادیر این سه عنصر در ماسه سنگ‌های مورد مطالعه، این نمونه‌ها اکثرً در محدوده جزایر قوسی اقیانوسی قرار می‌گیرند (شکل ۱۳-۶). نمونه‌های مورد مطالعه با توجه به مقادیر نسبتاً کم زیرکانیوم در آنها، در دیاگرام مثلثی Th-Sc-Zr/10 نیز در محدوده جزایر قوسی اقیانوسی قرار گرفته‌اند (شکل ۱۴-۶) بنابر این نتایج بررسی محیط تکتونیکی سنگ‌های تخریبی که نشانده‌ندی محیط جزایر قوسی اقیانوسی هستند با محیط تکتونیکی کمان آتشفسانی حاشیه فعال قاره‌های توسط Ghasemi & Rezaei (2014) متفاوت می‌باشد.



شکل ۱۳-۶: دیاگرام مثلثی (Bhatia and Crook, 1986) Th-La-Sc نشان دهنده جایگاه تکتونیکی جزایر قوسی اقیانوسی برای ماسه سنگ های مورد مطالعه می باشد. چهار محدوده تکتونیکی: حاشیه قاره ای غیر فعال (D)، جزایر قوسی اقیانوسی (A)، جزایر قوسی قاره ای (B) و حاشیه های قاره ای فعل (C).



شکل ۱۴-۶: دیاگرام مثلثی (Bhatia and Crook, 1986) Th-Sc-Zr/10 نمونه های ماسه سنگی مورد مطالعه در محدوده جزایر قوسی اقیانوسی قرار گرفته اند. چهار محدوده تکتونیکی: حاشیه قاره ای غیر فعال (D)، جزایر قوسی اقیانوسی (A)، جزایر قوسی قاره ای (B) و حاشیه های قاره ای فعل (C).

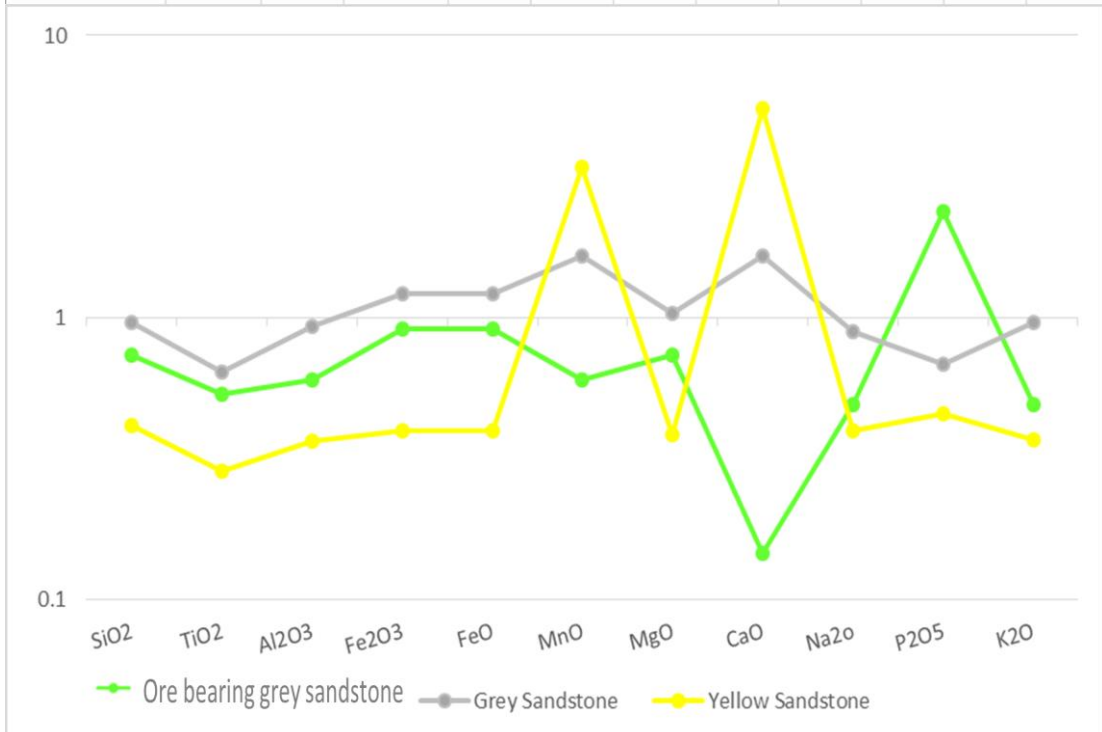
۶-۷-۳- مطالعه فراوانی، غنی شدگی و تغییرات اکسیدهای اصلی در سنگ میزبان

و کانسنگ اندیس‌های مس رسوی

مطالعه عناصر اصلی غالباً به ۱۱ عنصری محدود می‌شود که به طور مرسوم در تجزیه شیمیایی به صورت اکسید بیان می‌شوند(Si, Ti, Al, Mn, Fe, Mg, Ca, Na, K, P) (رولینسون، ۱۹۹۳). توزیع عناصر اصلی، منعکس کننده کانی شناسی نمونه‌های مورد مطالعه است. در میان اکسیدها K_{2O} MgO , CaO , Na_2O متحرک و اکسیدهای TiO_2 و Al_2O_3 غیر متحرک می‌باشند(بالاز و همکاران، ۲۰۰۰).

در شکل (۱۵-۶) نمودار تهی شدگی-غنی شدگی اکسیدهای اصلی برای کانسنگ و سنگ‌های میزبان اندیس‌های مورد مطالعه نشان داده شده است که بیانگر بهنجار شدن نمونه‌ها به ماسه سنگ قرمز می‌باشد، یعنی غنی شدگی و تهی شدگی ماسه سنگ‌های خاکستری که میزبان کانه‌زایی است با ماسه سنگ قرمز ارائه شده است. در این تصویر به نظر می‌رسد که غنی شدگی CaO در آهک ماسه‌ای زرد رنگ به واسطه حضور سنگ آهک توفی نومولیت‌دار در توالی چینه‌شناسی می‌باشد. همچنین غنی شدگی منگنز در آهک ماسه‌ای و ماسه سنگ خاکستری نیز به دلیل وجود منگنز لایه‌ای در منطقه می‌باشد. تهی شدگی FeO در نمونه‌های ماسه سنگ خاکستری و آهک ماسه‌ای زرد رنگ احتمالاً به علت تمرکز در واحد ماسه‌سنگی قرمز بوده است. در نهایت بررسی اکسیدهای نشانده‌شده غنی شدگی CaO و MnO و تهی شدگی FeO در افق‌های کانه‌دار می‌باشد.

Element(wt%)	SiO ₂	TiO ₂	Al ₂ O ₃	Fe ₂ O ₃	FeO	MnO	MgO	CaO	Na ₂ O	P ₂ O ₅	K ₂ O
Ore bearing grey sandstone	41.59	0.432	9.09	3.55	3.19	0.05	2.19	1.09	2.35	0.51	0.62
Grey Sandstone	53.87	0.52	13.98	4.75	4.27	0.14	3.07	12.29	4.25	0.15	1.21
Yellow Sandstone	23.34	0.23	5.48	1.54	1.39	0.29	1.14	41.04	1.89	0.098	0.46
Red Sandstone	56.26	0.807	15.05	3.9	3.51	0.086	2.97	7.46	4.77	0.22	1.26



شکل ۱۵-۶: نمودار تهی شدگی و غنی شدگی اکسیدهای اصلی برای کانسنگ و سنگ میزبان.

۴-۷-۶ - مطالعه فراوانی، غنی شدگی و تغییرات عناصر جزئی و کمیاب در سنگ-

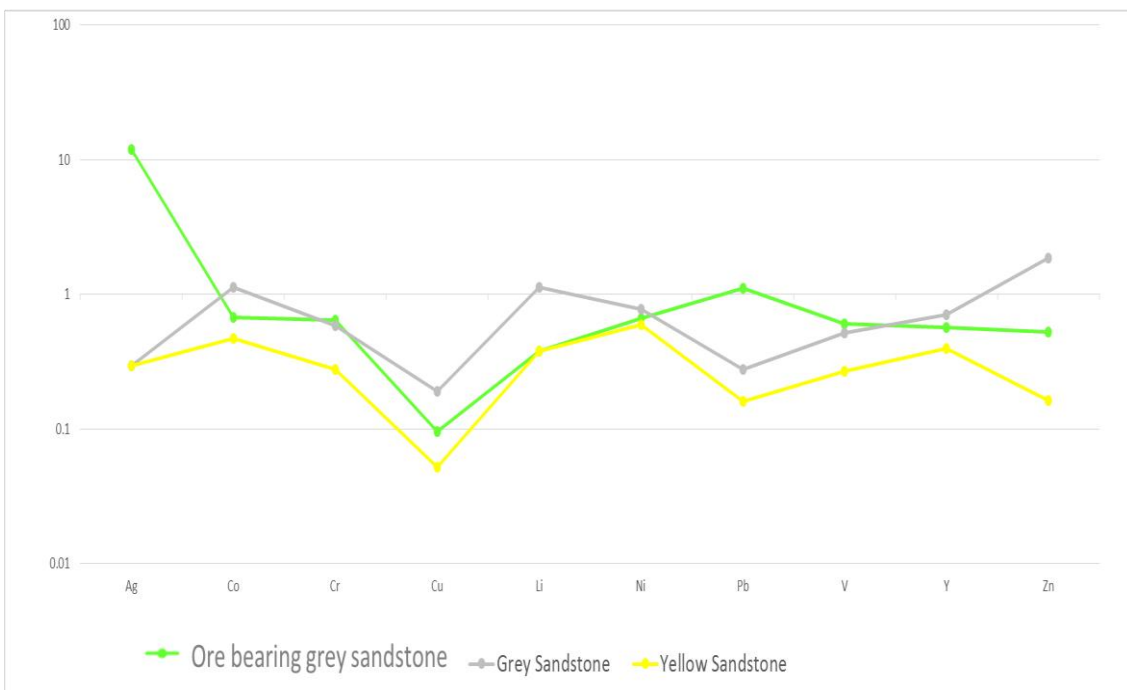
های میزبان و کانسنگ مس رسوی

فراوانی عناصر اصلی و کمیاب اندازه گیری شده در نمونه های مورد مطالعه در تصویر ۱۶-۶ آورده شده

است. نمودار تهی شدگی و غنی شدگی عناصر جزئی و کمیاب برای سنگ های میزبان و کانسنگ رسم

شده است.

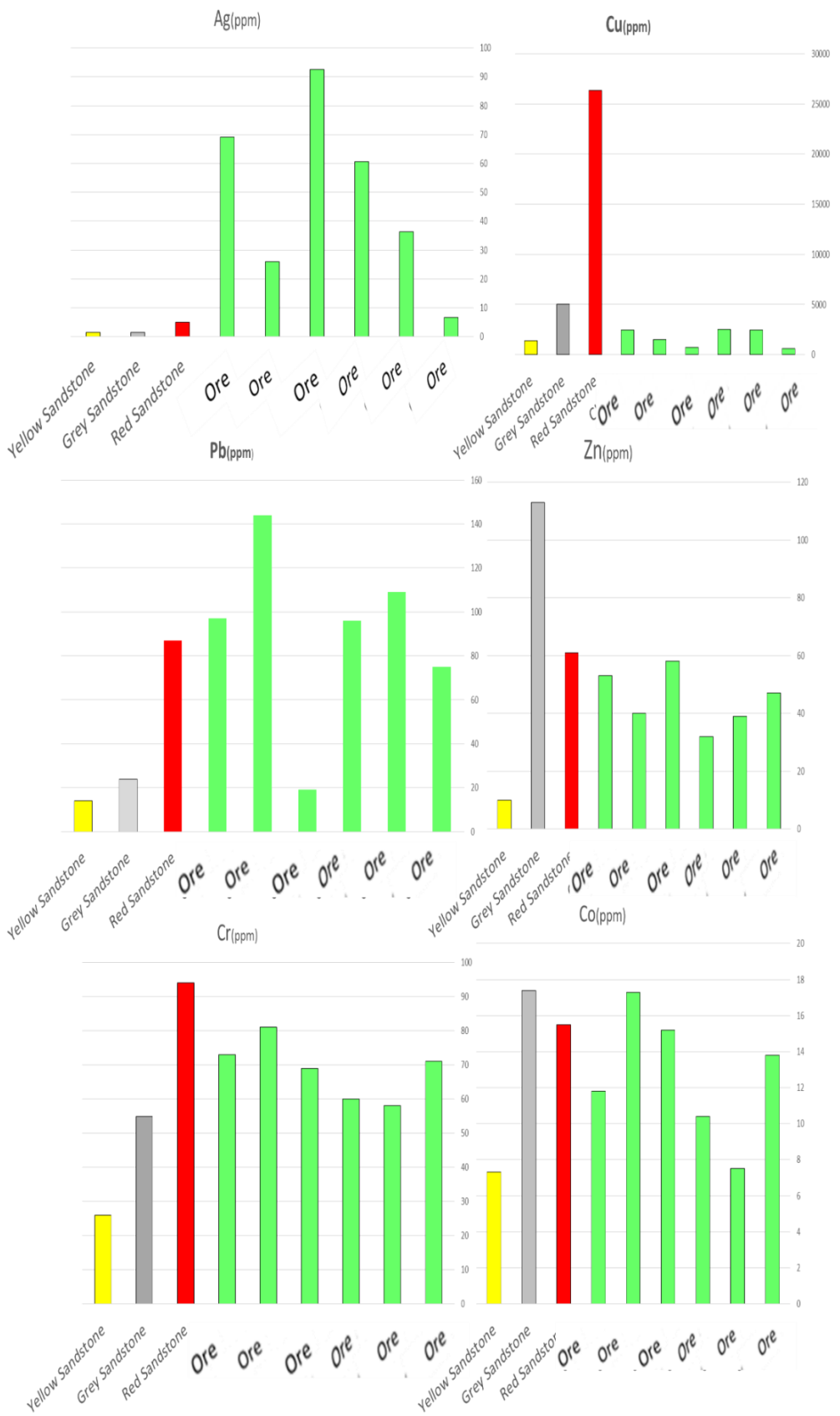
Element(ppm)	Ag	Co	Cr	Cu	Li	Ni	Pb	V	Y	Zn
Orebearing grey sandstone	60.6	10.4	60	2509	6	18	96	150	10.6	32
Grey Sandstone	1.5	17.4	55	5017	18	21	24	129	13.2	113
Yellow Sandstone	1.5	7.3	26	1382	6	16	14	67	7.4	10
Red Sandstone	5.1	15.5	94	26358	16	27	87	250	18.8	61

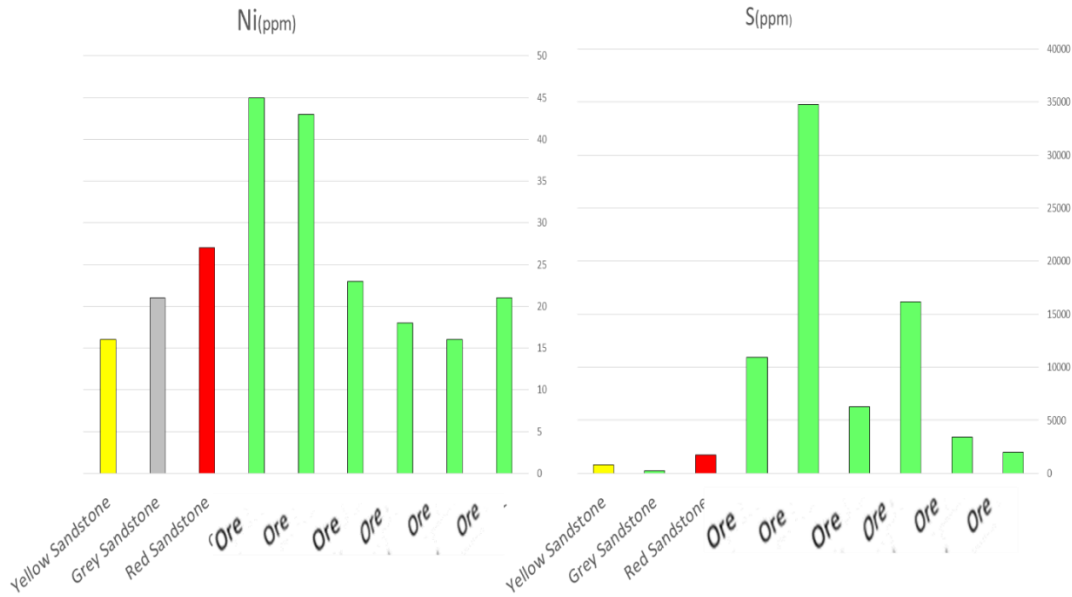


شکل ۱۶-۶: نمودار تهی شدگی و غنی شدگی عناصر فرعی و کمیاب برای کانسنگ و سنگ‌های میزبان.

در شکل (۱۷-۶) تغییرات فراوانی عناصر S, Cr, Ni, Co, Ag, Pb, Zn, Cu در کانسنگ و سنگ‌های

میزبان اندیس‌های مس روسوبی بصورت هیستوگرام نشان داده شده است.



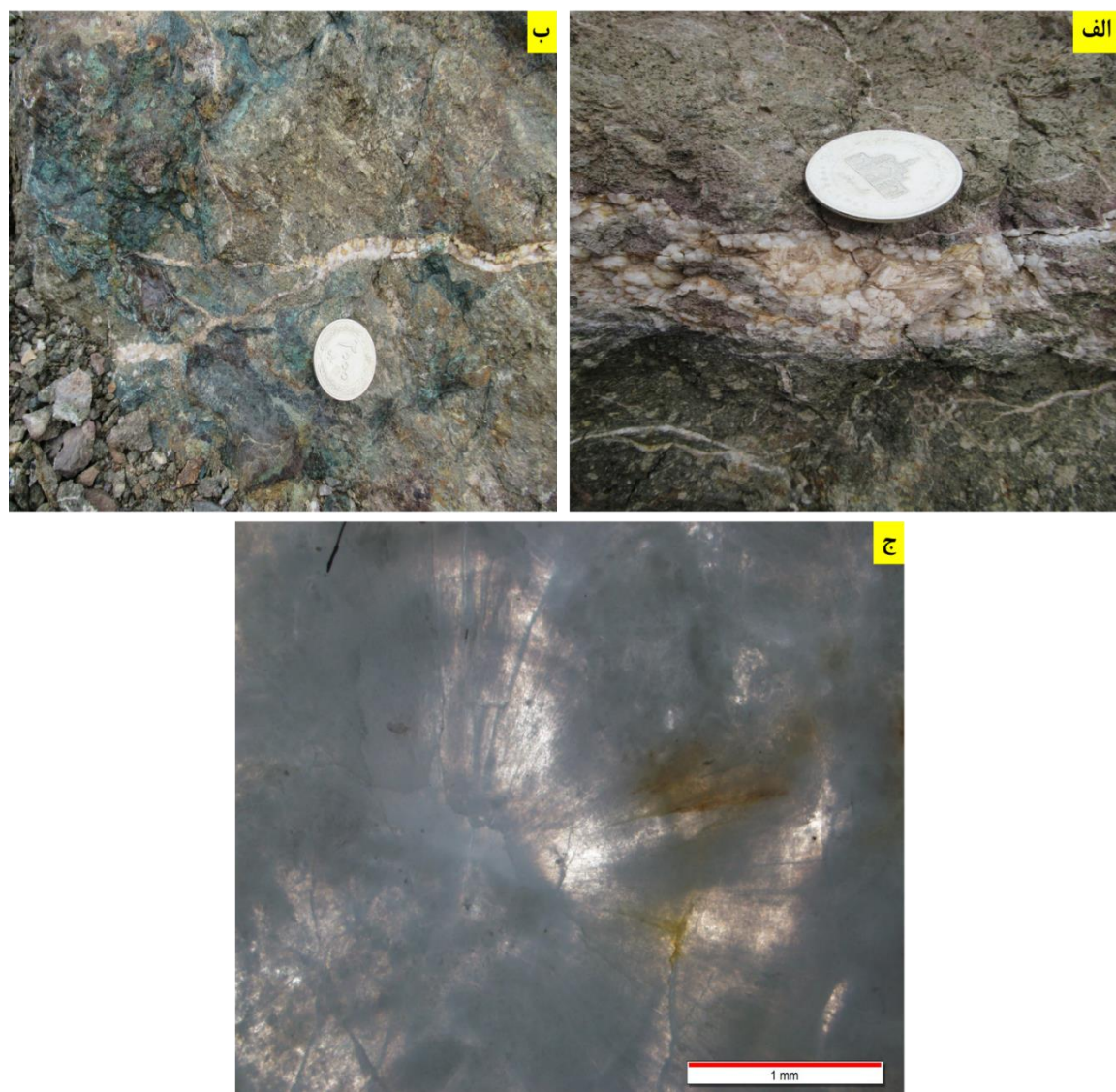


شکل ۱۷-۶: تغییرات فراوانی عناصر S, Cr, Ni, Co, Ag, Pb, Zn, Cu در کانسنگ و سنگ میزبان.

بیشترین فراوانی مس مربوط به ماسهسنگ قرمز رنگ می‌باشد که نشان‌دهنده‌ی بیشترین میزان نقره مربوط به کانسنگ‌های مس است که بیانگر همبستگی مثبت نقره با مس بوده است و با توجه به اینکه در مطالعات میکروسکوپی کانی مستقل برای نقره تشخیص داده نشده احتمالاً این عنصر در ساختمان کانی‌های مس مانند کالکوسیت جای گرفته است.

۱۸-۶- مطالعه میانبارهای سیال

قابل ذکر است که برای مطالعه میانبارهای سیال، چهار مقطع دوبر صیقل از کانی‌های شفاف (کلسیت و آنالسیم) به همراه کانه‌زایی تهیه گردید و در آزمایشگاه سیالات درگیر دانشگاه صنعتی شهرورد مورد بررسی قرار گرفت. در نتایج بدست آمده از این آزمایشات، میانبارهای سیال بسیار ریز بوده و قابل مطالعه نبودند (شکل ۱۸-۶).



شكل ٦-١٨: الف) تصوير رگه زئوليتی، ب) تصوير رگه کلسیتی، ج) تصوير میکروسکوپی مقطع دوبر صیقل.

فصل، مفہوم:
نتیجہ کسیری، الکوئی سنسنیل،

تپ کانہ زایی و پیشہ دات

اکٹیافی

۱-۷ - مقدمه

در این فصل برمبانی نتایج حاصل از مطالعات صحرایی، مطالعات آزمایشگاهی(پتروگرافی و کانی‌شناسی) و داده‌های حاصل از مطالعات ژئوشیمیایی ابتدا به بررسی شواهد جهت ارائه الگو و مدل تشکیل برای این نوع کانه‌زایی‌ها پرداخته و نهایتاً جهت مشخص کردن تیپ کانه‌زایی اقدام به مقایسه آنها با تیپ‌های کانه‌زایی مشابه در جهان و ایران نموده و در آخر هم پیشنهاداتی جهت کارهای اکتشافی و تحقیقات تکمیلی بعدی ارائه گردیده است.

۲-۷ - مختصی از شواهد ژنتیکی موجود در ارتباط با کانه‌زایی

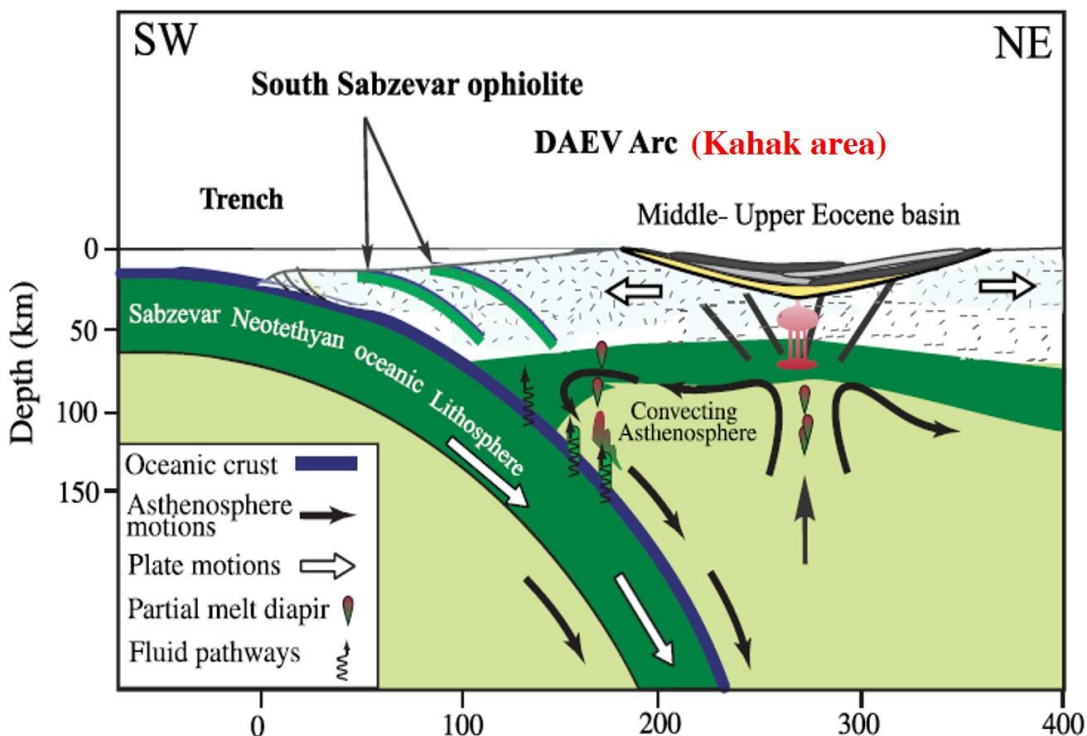
۲-۷-۱ - زمین‌شناسی عمومی منطقه مورد مطالعه

منطقه مورد مطالعه در کمربند آتشفشنای سنجوزئیک شمال ایران مرکزی و در مجموعه آتشفشنای-رسوبی ائوسن، در زیرپهنه سبزوار و منتهی‌الیه شرق استان سمنان واقع شده‌است. واحدهای سنگی منطقه مورد پژوهش با سن ائوسن-الیگوسن تا میوسن و کواترنری بوده که عبارتند از: ۱) مجموعه گدازه و آگلومرا با ترکیب آندزیتی-بازالتی ائوسن، ۲) مجموعه رسوبی ائوسن-الیگوسن شامل آهک توفی نومولیتدار، شیل و ماسه‌سنگ، ۳) مارن‌های میوسن و ۴) رسوبات آبرفتی کواترنری. سنگ‌های آتشفشنای-رسوبی با سن ائوسن-الیگوسن توسط دایک‌های بازیک جوانتر قطع شده‌اند. سنگ‌های آتشفشنای به سری‌های ماغمایی کالک آلکالن پتاسیم متوسط تعلق دارند و در طی یک رژیم زمین‌ساختی از نوع کمان‌های آتشفشنای حاشیه قاره‌ای فعال تشکیل شده‌اند.

۲-۷-۲ - محیط زمین‌ساختی تشکیل

با مطالعه زمین‌شناسی و تلفیق آن با داده‌های میکروسکوپی و ژئوشیمیایی توالی‌های سنگی تاقدیس کاهک و مقایسه آن با نوار آتشفشنای ائوسن داورزن-عباس آباد (قاسمی و رضایی کهخایی، ۱۵۰۲) که

منطقه کاهک نیز جزئی از آن است مشخص گردید که این منطقه از نظر محیط زمین‌ساختی تشکیل، یک حوضه درون کمانی است که در طی ائوسن میانی-بالایی شکل گرفته است ((شکل ۱-۷).



شکل ۱-۷: تصویر شماتیک از محیط تکتونیکی نوار آتشفسانی داورزن (قاسمی و رضایی کهخایی، ۲۰۱۵) که منطقه کاهک جزئی از آن می باشد.

۳-۲-۷ - کانه زایی

کانه زایی مس در منطقه شمال کاهک بصورت چینه‌کران در افق‌های چینه‌شناسی خاص رخ داده است. کانسارهای مس زواک و مس سردار بصورت رگه-رگچه‌ای و دانه پراکنده بوده و در کمرپایین یک افق چینه سان غنی از منگنز رخ داده‌اند. این پهنه رگه-رگچه‌ای مشابه پهنه تغذیه کننده یا استرینگر در کانسارهای منگنز آتشفسانی-رسوبی یا کانسارهای سولفید توده‌ای آتشفسانزاد (VMS) می ((e.g., Large, 1992; Gibson and Kerr, 1998; Franklin et al., 1998; Taylor et al., 1999 باشد.

۴-۲-۷ - ساخت و بافت ماده معدنی

در کانسارهای مس زواک و سردار به طور کلی ماده معدنی بصورت رگه-رگچه‌ای سولفیددار می‌باشد. همچنین ساختهای دیگری نظیر ساخت نواری، ساخت برشی و دانه پراکنده نیز مشاهده می‌شود. قابل ذکر است که در کانسارهای فوق الذکر بافت رگه-رگچه‌ای به صورت قطع کننده و چینه‌کران در قسمت زیرین افق غنی از منگنز قرار داشته و به طور عمدۀ از کالکوسیت و کالکوپیریت تشکیل شده-است. بافت نواری در بالای کانسار شامل تناوبی از نوارهای غنی از اولیژیست با سنگ میزبان ماسه سنگ خاکستری است. در مقیاس میکروسکوپی نیز بافت‌های جانشینی، برشی، رگه-رگچه‌ای و کلوفورمی دیده می‌شود.

در اندیس‌های مس رسوبی، ساخت لایه‌ای تا عدسی در سنگ میزبان ماسه سنگ خاکستری به راحتی قابل مشاهده است. همچنین ماده معدنی در این کانه زایی‌ها دارای بافت دانه پراکنده، جانشینی و رگه‌ای می‌باشد.

۴-۲-۸ - کانی‌شناسی

از لحاظ کانی‌شناسی در کانسار مس زواک کانی‌های اصلی شامل کانی‌های اولیه کالکوسیت، پیریت، کالکوپیریت، بورنیت، مگنتیت و کانی‌های ثانویه کالکوسیت، کوولیت، دیژنیت و مالاکیت می‌باشد و در کانسار منگنز-مس سردار شامل کانی‌های اولیه کالکوپیریت، کالکوسیت، بورنیت و پیرولوژیت و کانی‌های ثانویه مالاکیت، کولیت، کالکوسیت و گوتیت است، در ذخایر مس رسوبی نیز کانی‌های اولیه شامل کالکوسیت، مس طبیعی و کوبپیریت بوده و کانی‌های ثانویه شامل مالاکیت، کوولیت و آزوریت می‌باشد.

۶-۲-۷ دگرسانی و منطقه بندی آنها

مطالعات صحرایی، میکروسکوپی و نتایج آنالیز XRD، برروی تعدادی از نمونه‌های برداشت شده از کانسار زواک و کانسار مس-منگنز سردار نشان می‌دهد که به طور عمده بیشترین حجم دگرسانی‌ها در کانسار زواک مربوط به دگرسانی کلریتی، زئولیتی و سریسیتی و در کانسار مس-منگنز سردار بیشترین حجم دگرسانی مربوطه به دگرسانی کلریتی، سریسیتی و زئولیتی می‌باشد. توالی آتشفسانی-رسوبی حاوی سنگ‌های آتشفسانی و تناوب آنها در بالای توالی با آهک نومولیت‌دار در منطقه حاکی از رخداد ولکانیسم در محیط زیردریایی است و این محیط‌ها برای فعالیت سامانه‌های گرمایی زیردریایی مناسب می‌باشد (Galley et al., 2007). با توجه به رخداد کانه‌زایی در محیط زیردریایی و رخداد فرآیند دیاژنز بعدی، عمده‌ترین دگرسانی‌ها مربوط به دگرسانی کلریتی، سریسیتی و زئولیتی می‌باشد که در کانسارهای مس زواک و مس-منگنز سردار دیده می‌شود. میزان دگرسانی بر حسب فاصله با افق معدنی متفاوت بوده و بیشترین میزان دگرسانی نزدیک به کانه‌زایی است و شدت دگرسانی در پهنه کانه‌زایی بیشتر است.

در کانسارهای مس رسوبی حرکت سیال کانه‌ساز در سنگ میزبان باعث ایجاد دگرسانی گستردگی شود که به عنوان راهنمای اکتشافی محسوب می‌شود (Hitzman et al, 2005). سنگ‌های میزبان در برگیرنده کانه‌زایی مس، در هنگام تهنشست دارای رنگ قرمز نیستند بلکه با گذشت زمان و طی فرآیند دیاژنز آغازین کانی‌های سیلیکاته ناپایدار آهن‌دار مانند پلاژیو کلاز، بیوتیت و هورنبلند موجود درین رسوبات، دگرسان شده و آهن موجود در شبکه‌های آن آزاد می‌شود و این آهن آزاد شده بصورت آمورف و اکسیدان در اطراف کانی‌ها رسوب کرده و باعث قرمز شدن رسوبات می‌گردد (Hitzman et al, 2005).

بر اساس (Cox et al. 2007) و (Hitzman et al. 2005) دگرسانی اصلی کانسارهای مس رسوبی اصطلاحاً از نوع سبز، سفید یا خاکستری شدن سنگ‌های در برگیرنده است. سیالات درون سازندی، در مجاورت با مواد آلی، حالت احیایی پیدا می‌کند و در مسیر خود از میان سنگ میزبان، در نتیجه

واکنش با رسوبات قرمز، موجب دگرسانی شستشو (Bleaching) می‌شوند. افق‌های میزبان کانه‌زایی در این اندیس‌ها بر اساس دگرسانی صورت گرفته، شرایط اکسیداسیون و احیا، کانی‌شناسی و رنگ، سه بخش مجزا از یکدیگر قابل تشخیص است. این بخش‌ها عبارتند از: ۱) پهنه قرمز اکسیدان (Red Zone)، ۲) پهنه شسته شده (Mineralized Zone)، ۳) پهنه احیایی کانه‌دار (Bleached Zone). در کانه‌زایی‌های مس با میزبان رسوبی در منطقه شمال کاهک نیز گاهی این دگرسانی‌ها قابل مشاهده است.

-۷-۲-۷ نتایج ژئوشیمی

مطالعات ژئوشیمیایی نشان می‌دهد که سنگ‌های آتشفسنای منطقه دارای ترکیب آندزیتی-بازالتی و ماهیت کالک آلکالن بوده و در محیط‌های کمانی نهشته شده‌اند. مقدار عناصر نقره و آرسنیک در کانسار مس زواک به سمت قسمت‌های فوقانی کانسار افزایش می‌یابد و در کانسار سردار این مقدار نقره افزایش و عناصر مس و آرسنیک و سرب به سمت قسمت‌های فوقانی کاهش می‌یابد. بالاترین مقدار عناصر مس و سرب در کانسار زواک مربوط به آگلومرات زیرین و در کانسار مس سردار مربوط به بخش استرینگر می‌باشد. مقدار نقره و اورانیوم در اندیس مس رسوبی به ترتیب $60/6$ و $8/3$ ppm می‌باشد.

-۳-۷-۲-الگوی تشکیل ذخایر معدنی در تاقدیس کاهک

بطورکلی وجود پهنه‌های کانه‌زایی و نسل‌های مختلف کانی‌ها در ذخایر معدنی تاقدیس کاهک، نشان از رخداد کانه‌زایی در چند مرحله می‌باشد. بر پایه ویژگی‌های زمین‌شناسی، شکل هندسی کانسنگ، ساخت و بافت، کانی‌شناسی و نوع دگرسانی در کانسارهای مس زواک و کانسار منگنز و مس سردار اینطور استنباط می‌شود که کانه‌زایی اولیه مس در تاقدیس کاهک در چهار مرحله رخداده است: ۱) مرحله اول: کانه‌زایی در اثر سامانه‌های گرمابی زیردریایی در زیرکف دریا (در زیر لایه چینه سان و

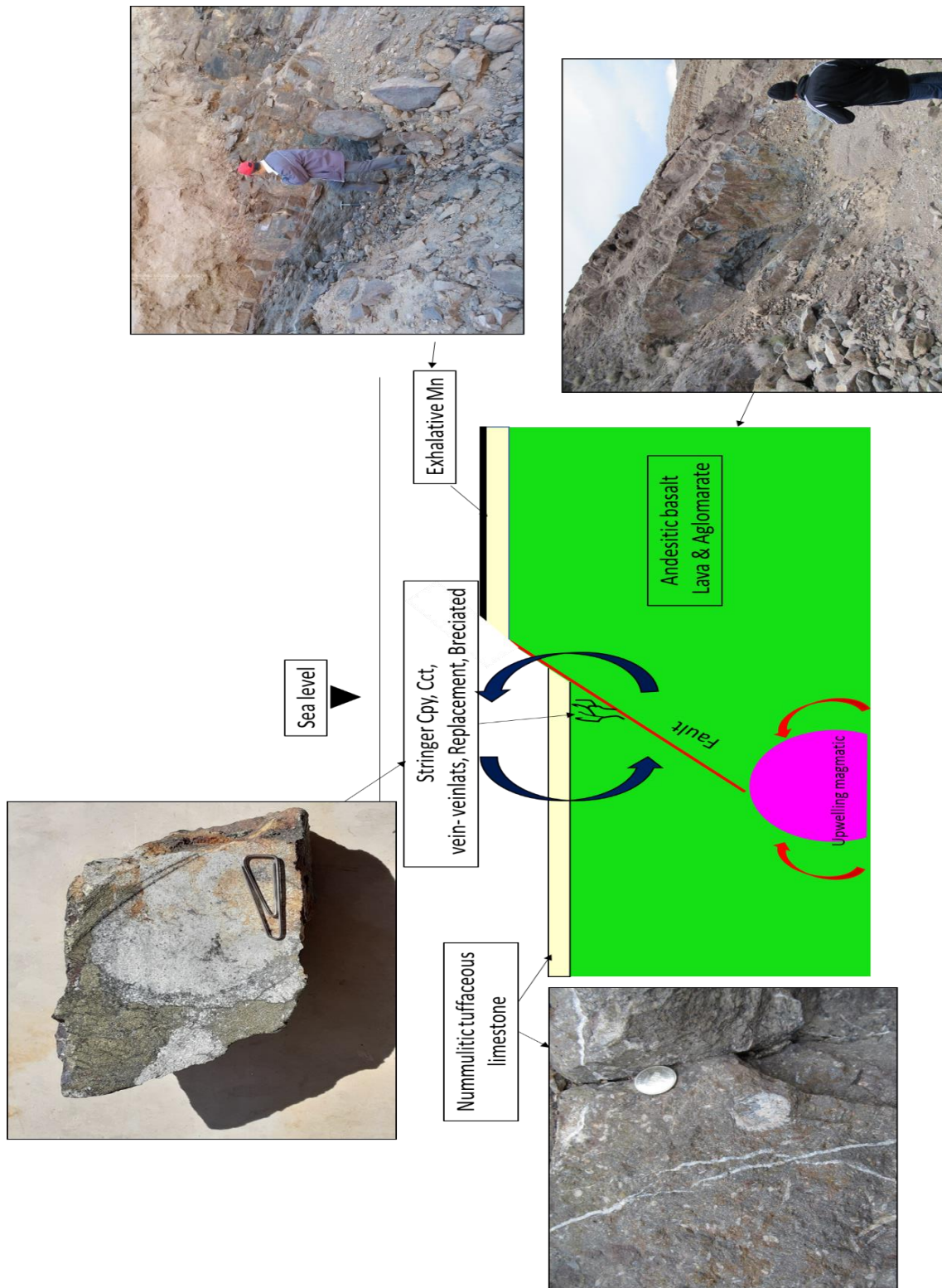
بروندمی منگنز) در یک حوضه کششی ریفتی درون کمانی در داخل واحدهای گدازه ای، آگلومرایی و آهک نومولیتی، ۲) مرحله دوم: پرشدگی حوضه ریفتی توسط رسوبات تخریبی و سپس رخداد کانه زایی مس در طی تدفین و دیاژنز آغازین در محل فسیل های گیاهی (مس نوع لایه های سرخ) و بصورت رگه-رگچه ای در طی دیاژنز پسین که موجب رخداد رگه-رگچه های کالکوسیتی و مس طبیعی (مس نوع مانتو، آتشفسانی-لایه های سرخ و میشیگان) در واحدهای ماسه سنگی و آتشفسانی شده که در سنگ های آتشفسانی با زئولیت همراه هستند، ۳) مرحله سوم: عملکرد کوهزایی و ایجاد رگه-رگچه های کلسیتی کالکوسیت دار در منگنز و مس سردار یا زئولیتی کالکوسیت دار در کانسار مس زواک، ۴) مرحله چهارم: سرانجام، این کانه زایی ها دچار فرایند هوازدگی و سوپرزن واقع شده اند.

۱-۳-۷ - مرحله ۱: فعالیت های آتشفسانی- بروندمی

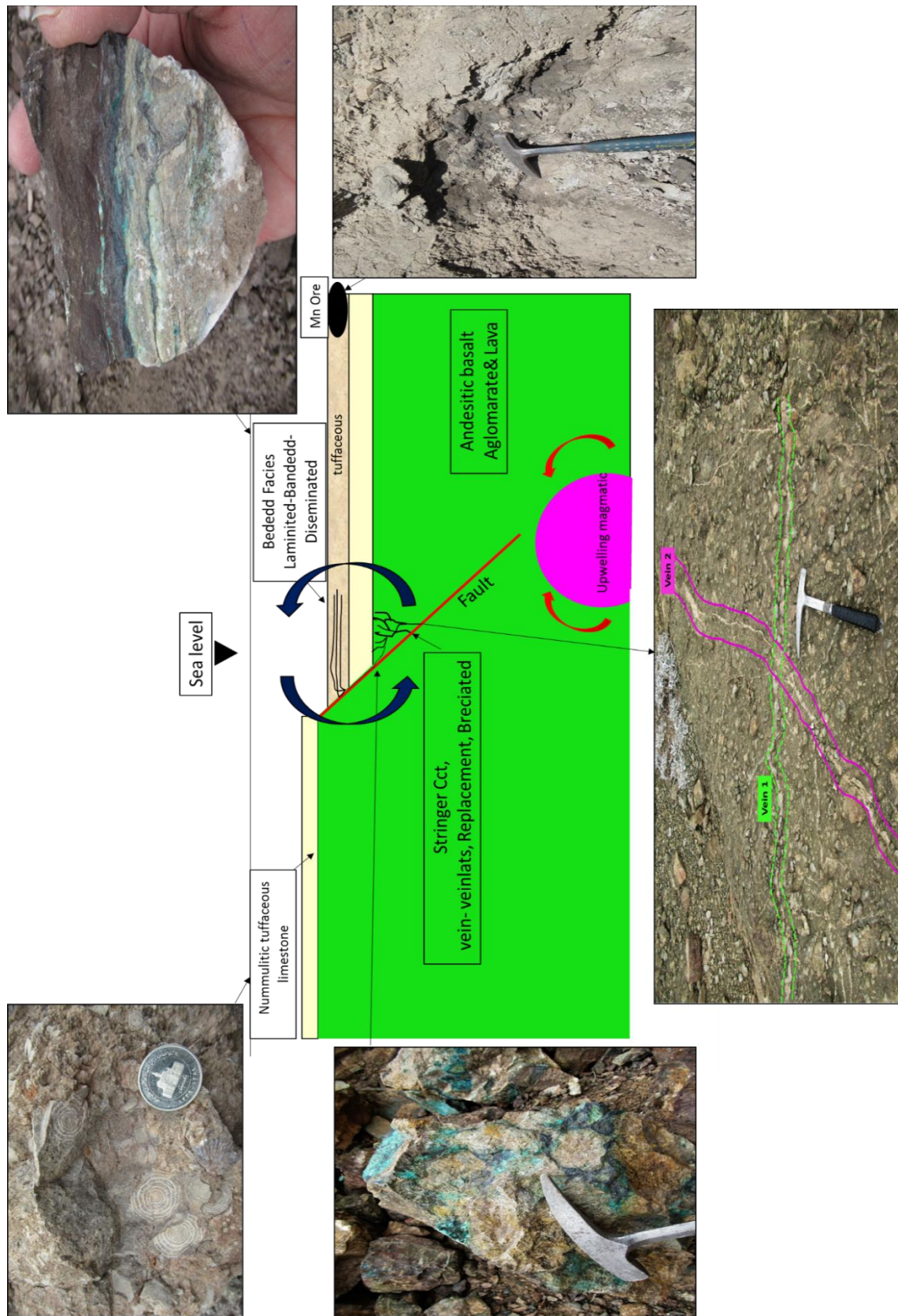
اولین مرحله کانه زایی در کانسار زواک بصورت همزمان با وقوع فعالیت های آتشفسانی- بروندمی بوده است. نفوذ ماقمای آندزیتی- بازالتی به داخل حوضه، موجب فعال شدن جریان های همرفتی آب دریا شده که نتیجه آن ایجاد سیالات داغ و شور بوده که فلزات و عناصر کانسنگ ساز را از سنگ های آتشفسانی- رسوبی کمرپایین شسته و وارد دریا نموده است که در یال شمالی منگنز به علت تحرک بیشتر از مس همراه با آهک بصورت لایه ای در کف دریا ته نشست شده است و در کمرپایین آن در زیر کف دریا مس بصورت رگه-رگچه ای سیلیسی کالکوپیریت دار (مس سردار) نهشته شده است. در یال جنوبی در کانسار زواک نیز این فرآیند همرفتی سیالات گرمابی فعال بوده است بطوری که چرخش این سیالات موجب پیدایش رگه های حاوی کالکوپیریت و بورنیت در واحد آگلومرایی و نیز بصورت دانه پراکنده در واحد آهک نومولیتی شده و در توف ماسه ای نیز به صورت نواری حاوی اولیژیست (و کالکوپیریت که به کالکوسیت تبدیل شده) در زیرکف دریا جانشین گردیده است. بطور کلی، نتیجه فعالیت این سامانه های گرمابی، تشکیل پهنه های استرینگ غنی از مس در زیرکف

دریا و نهشته شدن رخساره های لایه ای و بروندمی منگنیزدار در کف دریا می باشد که در هردویال دیده می شود. با این تفاوت که در یال جنوبی کانه زایی مس قوی (تصورت کانسار مس زواک) و کانه زایی منگنیز بسیار ضعیف (تصورت توف ماسه ای منگنیز دار) و در یال شمالی بالعکس است که شامل کانسار منگنیز لایه ای سردار و اندیس مس سردار در کمرپایین آن می باشد.

با توجه به ویژگی های کانه زایی مس در کانسار زواک شامل رخداد کانه زایی بصورت چینه کران (تصورت رگه- رگچه ای و دانه پراکنده در سنگ میزبان آگلومرایی و کمی ساخت نواری جانشینی در توف ماسه ای و نیز رخداد توف ماسه ای غنی از منگنیز در بالای آنها، و دگرسانی گسترده کلریتی و نیز رخداد محلی لایه آهکی و تغییر ضخامت آنها که می تواند از شواهد گسل های همزمان باز سوبگذاری باشد، به نظر می رسد این کانه زایی نیز همانند کانسار منگنیز و مس سردار در یال شمالی بصورت سامانه گرمابی زیردریایی نشکیل شده باشد که در کانه زایی زواک به دلیل غلبه کانه زایی مس، با سامانه های کانسارهای سولفید توده ای آتشفسانزاد (VMS) شباهت زیادی را نشان می دهد اگرچه ماده معدنی با بافت توده ای در کانسار مشاهده نمی شود. بر اساس مطالعات صورت گرفته ساخت و بافت این کانه زایی ها بیشتر به صورت رگه- رگچه ای، برشی، نواری، کلوفرمی و دانه پراکنده می باشد. دگرسانی های عمدۀ شامل دگرسانی های کلریتی و سریسیتی بوده که همراه با کانه زایی و توسط سیالات کانسنگ ساز رخ داده اند. در یال شمالی نیز حسینی (۱۳۹۵) مدل آتشفسانی-رسوبی و سامانه همرفتی گرمابی زیردریایی را برای کانسار منگنیز سردار پیشنهاد داده بود. اما در تحقیق حاضر در کمرپایین آن کانه زایی مس بصورت رگچه های سیلیسی کالکوپیریت دار مشاهده گردید که همان پهنه استرینگ بوده و با دگرسانی کلریتی همراه می باشد.



شکل ۷-۲: مرحله یک کانه‌زایی در کانسار منگنز و مس سردار



شکل ۷-۳: مرحله یک کانه‌زایی در کانسار مس زواک

۷-۳-۲- مرحله ۲: پرشدگی حوضه و عملکرد دیاژنز

با پر شدن حوضه توسط رسوبات تخریبی و انباشته شدن رسوبات فرایند دیاژنز آغاز می گردد. در مرحله دیاژنز آغازین (Early diagenesis)، قرمز شدن رسوبات رخ داده است. این فرآیند شامل تخریب کانی‌های سیلیکاته آهن‌دار (مانند بیوتیت، پلازیوکلاز، هورنبلند و ...) می‌باشد که طی آن، آهن موجود در شبکه آن‌ها آزاد و اکسید شده، اطراف دانه‌های آواری را احاطه نموده و باعث قرمز شدن رسوبات می‌گردد (Flint, 1989). با ادامه فرآیند دیاژنز، سیمانی شدن کلسیت رخ می‌دهد (Walker, 1989; Durieux & Brown, 2007) نفوذپذیری ایجاد شده، معبّر لازم جهت عبور سیالات بین سازندی فراهم می‌گردد. سیال بین سازندی اکسیدان و گرم با شوری بالا، در مسیر عبور خود از بین رسوبات قرمز، مس آزاد شده از دانه‌های سیلیکاته ناپایدار را شسته و با خود به درون فسیل‌های گیاهی حمل می‌کند و کالکوسیت اولیه، جانشین فسیل‌های گیاهی می‌شود (شکل ۴-۷).

در مرحله دیاژنز تأخیری (Late diagenesis) که باعث فشرده شدن و سنگ شدن رسوبات می‌گردد تحرک مجدد مواد معدنی رخ داده که بصورت دانه پراکنده و رگه-رگچه‌های کالکوسیت و مس طبیعی در ماسه سنگ و نیز سنگ‌های آتشفسانی نمایان است.

در این مرحله نیز در یالهای جنوبی و شمالی تاقدیس کاهک، وجود زئولیت دانه پراکنده بیانگر رخداد این مرحله می‌باشد که همراه کانه زایی رگچه‌ای کلسیتی یا زئولیتی حاوی کالکوسیت (بویژه در یال جنوبی در کانسار زواک) یا رگه‌های حاوی کالکوسیت یا مس طبیعی (بویژه در یال شمالی در کانسار منگنز و مس سردار) می‌باشد.

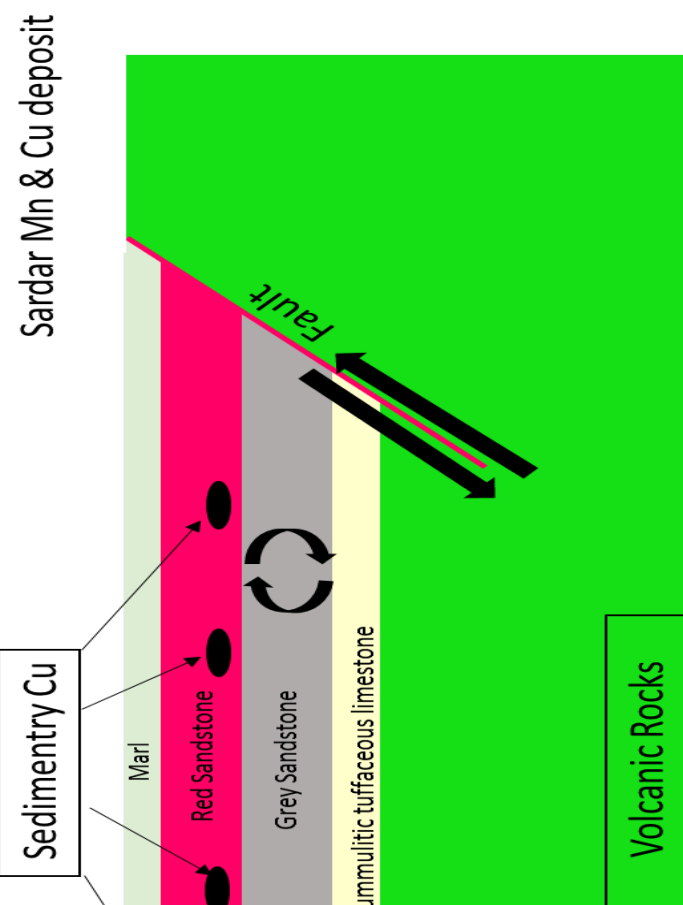
درواقع، در کانسارهای مس زواک و سردار، بعد از ته نشست سولفیدها و تدفین آنها، فرایند دیاژنز موجب تبلور کانی‌ها و رخداد دگرسانی زئولیتی شده است (شکل ۴-۷).

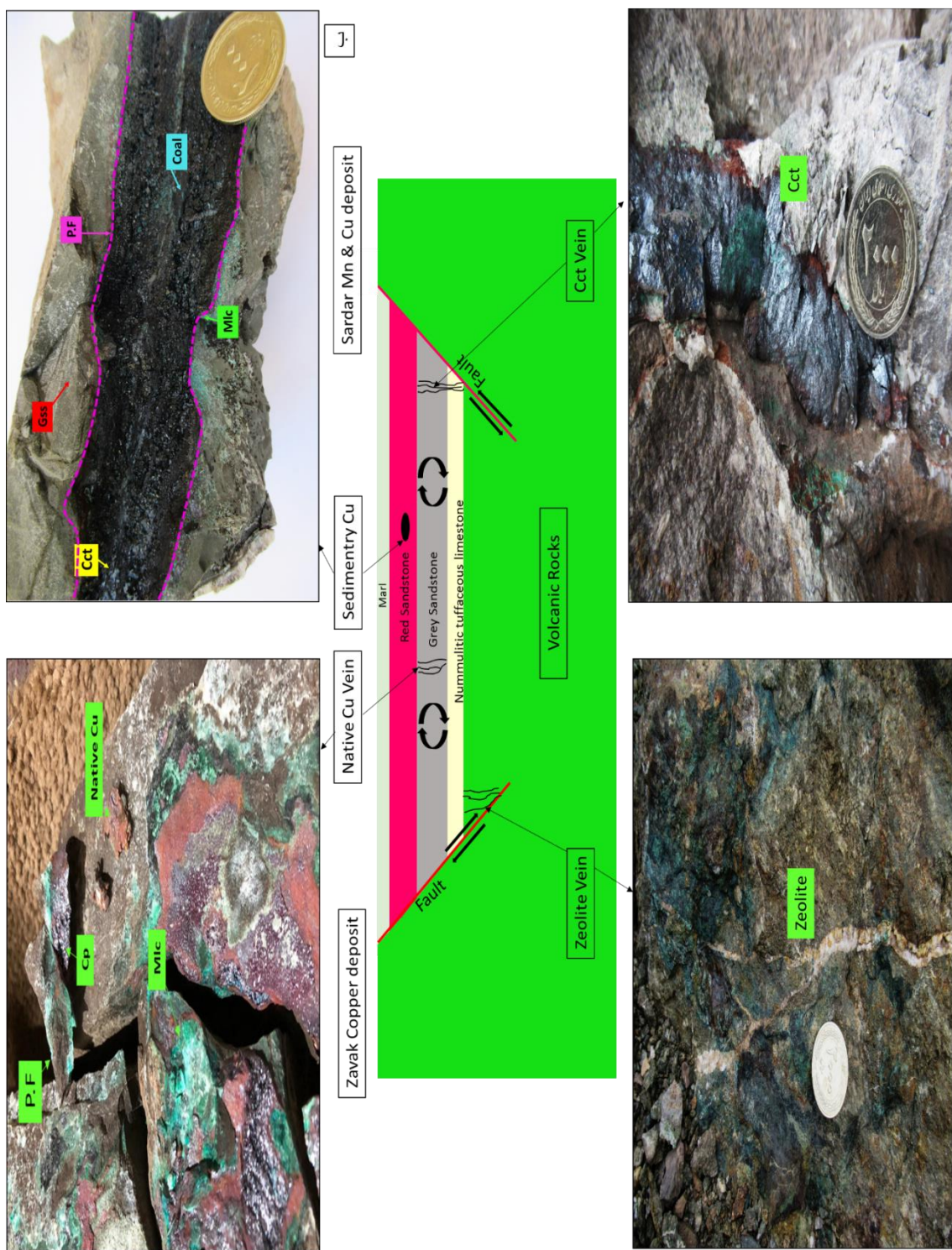
اف

N

S

Zavak Copper deposit



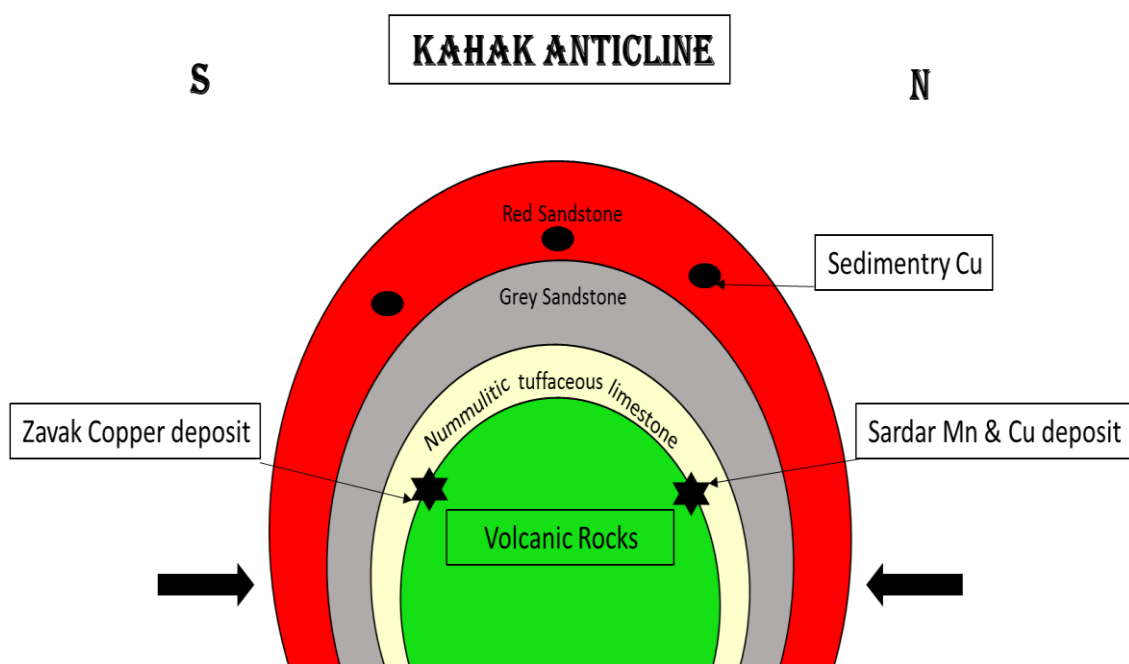


شکل ۷-۴: الف) مرحله دوم کانه زایی و بطور عمده رخداد کانه زایی مس رسوی، ب) عملکرد دیاژنر بر کانه زایی های زواک و سردار

۳-۳-۷ مرحله ۳: عملکرد کوهزایی

در نتیجه این بالا آمدگی و فعالیتهای تکتونیکی و ساختاری مربوطه، رگه‌های کربناتی حاوی کمی کالکوسیت در یال شمالی شکل گرفته که قطع کننده ماسه سنگ خاکستری و آهک نومولیتی است و در برخی نقاط لایه منگنز را نیز قطع کرده است. دو روند عمدۀ این رگه‌ها بصورت شمال شرقی-جنوب-غربی و شمال غربی-جنوب شرقی می‌باشد. وجود رگه‌های زئولیتی حاوی کمی کالکوسیت نسل دوم در یال جنوبی در کانسار زواک نیز حاکی از رخداد همین مرحله است (شکل ۴-۷ ب).

در این مرحله، توالی محدوده مورد نظر چین خورده و بالا آمده و در نتیجه این بالا آمدگی تاقدیس کاهک ایجاد شده است (شکل ۵-۷).



شکل ۷-۵: کوهزایی و بالا آمدگی در منطقه کاهک

۴-۳-۷ - مرحله ۴: هوازدگی و سوپرژن

سرانجام در طی مرحله هوازدگی و سوپرژن، آب‌های سطحی طی مسیر خود، در بالای سطح آب زیرزمینی و در محیط اکسیدان، کانی‌های سوپرژن اکسیدی نظیر مالاکیت و کانی‌های آهن-منگنز را ایجاد می‌نمایند. همچنین برخورد سیالات جوی حاوی مس با کانی‌های سولفیدی موجود در مسیر در زیر سطح ایستابی آبهای زیرزمینی، موجب ایجاد سولفیدهای ثانویه سوپرژن نظیر کالکوسیت، کوولیت و دیژنیت می‌گردد. در کانسار زاوک بورنیت بطور گسترده به کالکوسیت تبدیل شده است.

۴-۷ - تیپ کانه زایی مس در تاقدیس کاهک

۴-۱- مقایسه کانه‌زایی مس با میزبان آتشفسانی با کانسارهای سولفید

توده‌ای آتشفسانزاد

کانسارهای VMS یکی از شناخته شده ترین نوع تیپ کانسارها هستند که تاکنون مورد مطالعه قرار گرفته اند. رخداد این کانسارها در توالی آتشفسانی- رسوی دریایی در تمام سنین (از ۳/۵ میلیارد سال تا عهد حاضر) در همه قاره‌ها، و از لحاظ اقتصادی منبع مهم فلزات پایه (مس، سرب، روی)، قیمتی (نقره، طلا) و همچنین دیگر فلزات از قبیل (کبات، قلع، ایندیم، کادمیم، تیتانیم، گالیم، سلنیم، آنتیموان، بیسموت،) می‌باشند (Tornos et al., 2016). کانسارهای سولفید توده‌ای آتشفسانزاد به طور معمول در حوضه‌های گسترش کف اقیانوس‌ها و یا محیط‌های کمانی و پشت کمانی تشکیل می‌شوند (Galley et al., 2007; Gibson and Galley, 2007). همچنین ریفت‌ها، گسل‌های کششی و نفوذپذیر و تخلخل مورد نیاز برای تغذیه و یا تخلیه سیالات گرمایی مرتبط با ذخایر VMS را فراهم می‌کنند. شب زمین گرمایی فزاینده در محیط‌های ریفتی منجر چرخش سیالات در پوسته زمین شده که همراه با دگرسانی و کانه‌زایی می‌یاشد (Spooner and Fyfe 1973). این کانسارها از نظر

جایگاه تکتونیکی، سنگ شناسی میزبان و محتوای فلزی به انواع مختلفی طبقه‌بندی شده اند، اما قوی‌ترین و جامع‌ترین طبقه‌بندی پذیرفته شده بر اساس مطالعات ترکیب توالی چینه‌شناسی، سنگ-نگاری سنگ درونگیر و جایگاه ژئودینامیکی می‌باشد. طبقه‌بندی کانسارهای سولفید توده‌ای آتشفشاanzad براساس ترکیب توالی چینه‌شناسی، شامل پنج گروه می‌باشد (Franklin et al. 2005):

۱- تیپ مافیک- اولترامافیک (قبرس)، ۲- تیپ مافیک سیلیسی کلاستیک (یا پلیتیک مافیک یا تیپ بشی)، ۳- تیپ بایمدادل مافیک (تیپ نوراندا) ۴- تیپ بایمدادل فلسیک (تیپ کروکو) ۵- تیپ بایمدادل فلسیک- سیلیسی کلاستیک یا تیپ بشورست). سه گروه اول یاد شده توالی میزبان کمرپایین به طور عمده از سنگ‌های مافیک تشکیل شده است که مقادیر متنوعی از سنگ‌های سیلیسی آواری، رسوبی-شیمیایی و فلسیک نیز آنها را همراهی می‌کنند. در مقابل، سنگ‌های رسوبی و آذرین فلسیک عمده ترکیبات تشکیل دهنده توالی میزبان دو گروه آخر کانسارهای VMS می‌باشد (Barrie and Hannington 1999; Franklin et al. 2005; Galley et al., 2007).

اگرچه در کانسار مس زواک و سردار، برخلاف کانسارهای VMS رخساره سولفید توده‌ای مشاهده نمی‌شود اما رخسارهای رگه-رگچه‌ای (استرینگر) و بروندمی (منگنز چینه‌سان) به خوبی مشاهده می‌شود.

کانه‌زایی سولفیدی در تاقدیس کاهک به علت داشتن محیط تکتونیکی تشکیل، جایگاه زمین‌شناسی تهنشیست، سن کانه‌زایی، سنگ میزبان شکل هندسی ماده‌معدنی، رخساره‌های کانه‌دار ساخت و بافت و دگرسانی دارای بیشترین شباهت با فعالیت‌های مرتبط با سامانه‌های گرمابی کانسارهای تیپ پلیتیک مافیک (تیپ بشی) است.

کانسارهای سولفید توده‌ای، به عنوان کانسارهای سولفید توده‌ای مرتبط با میزبان آتشفشاanzai شناخته می‌شود به صورت عدسی‌هایی از سولفیدهای توده‌ای چند فلزی در نزدیکی کف دریا در محیط‌های

آتشفشنایی زیردریایی تشکیل می‌شوند، این کانسارها از سیالات گرمابی غنی از فلزات و بروندمی تشکیل می‌شوند.

بیشتر کانسارهای سولفید توده‌ای آتشفشنائزد دارای دوبخش مهم هستند.

-بخش سولفید توده‌ای تبه‌مانند و یا صفحه‌ای

-بخش رگه و رگچه‌دار

کانسارهای VMS در محیط زیر دریایی بیشتر همراه یا سنگ‌های آتشفشنایی و در سنگ‌های رسوبی از قبیل شیل یافت می‌شوند. این کانسارها در امتداد پشته‌های میان اقیانوسی یا در حوضه‌های پشت قوسی در حال گسترش (مانند کانسارهای قبرس)، بعضی دیگر در جزایر قوسی و یا حاشیه‌های قاره‌ای (نظیر کانسازهای کوروکو)، تعدادی در آتشفشنانهای جزیره‌ای درون صفحه‌ای و تعدادی در محیط‌های تکتونیکی ناشناخته مربوط به کمربندهای سنگ‌های سبز آرکئن کشف می‌شوند.

قابل ذکر است که کانه‌زایی مس با میزبان آتشفشنایی در منطقه (مس زواک و سردار) به دلیل وجود پهنه استرینگر که حاوی دگرسانی‌های کلریتی و سریسیتی و فاقد دگرسانی زئولیتی بوده مشابه با کانه‌زایی سامانه VMS می‌باشد که در زیر کف دریا رخ داده است.

جدول ۱-۷ - مقایسه کانسارهای زواک و سردار با ویژگی‌های انواع کانسارهای سولفیده توده‌ای آتشفشانزاد (VMS)

تیپ مافیک- الترامافیک (Cyprus)	تیپ بلتیک مافیک (Besshi)	تیپ بایدمال مافیک (Noranda)	تیپ بایدمال فلزیک (Kuroko)	تیپ سیلیسیکلاستک (Bathurst)	کانسار مس سردار	کانسار زواک	ویژگی‌های شاخص
پشت‌های میان اقیانوسی، پشت کمانی	پشت کمانی، ریفهای قاره‌ای	کمان‌های نوظهور اقیانوسی	کمان و پشت کمانی	کمان و پشت کمانی	کمان	کمان	محیط تکنیکی
بازالت‌های بالشی و سنگ های الترامافیک	گدازه‌های بازالتی آندرزیت بازالتی، شیل، سیلتستون سیاه، ماشه سنگ	بازالت، آندزیت و آذرآواری	ریولیت و داسیت و سنگ‌های آذرآواری فلزیک	داسیت، ریولیت و شیل سیاه	گدازه‌های آندزیتی- بازالتی، توف ماسه ای، آهک، ماسه سنگ قرمز و خاکستری	آگلومرات آندزیتی- بازالتی، توف ماسه ای، آهک، ماسه سنگ	سنگ‌های میزان و هرماه
پیریت، کالکوپیریت	پیریت، کالکوپیریت، اسفالریت، مگنتیت پیروتیت	پیریت، کالکوپیریت، اسفالریت، تراهربرت	اسفالریت، گالن، پیریت، کالکوپیریت، تراهربرت	اسفالریت، گالن، پیریت، آرسنوبیریت، پیروتیت، تراهربرت	کالکوپیریت، کالکوپیریت	کالکوپیریت، مگنتیت	کانی‌های معدنی
کوارتز، کلریت	کلریت، کوارتز، سریسیت، اپیسوٹ	کلریت، کوارتز، کربنات،	باریت فراوان، کوارتز	کربنات، کوارتز، سریسیت، باریت	کلسیت، کوارتز، سریسیت، کلریت	کلسیت، کوارتز، سریسیت، کلریت	کانی‌های باطله
Cu	Cu-Zn	Cu-(Zn)	Pb-Zn	Zn-Pb-Cu	Cu	Cu	عنصر فلزی
کلریتی، سیلیسی، سریسیتی،	کلریتی، سیلیسی، سریسیتی، اپیدوتی	کلریتی و سریسیتی	سریسیتی، سیلیسی، کلریتی	سریسیتی، سیلیسی، کلریتی، کلسینتی	کلریتی، سریسیتی و زئولیتی	کلریتی، سریسیتی و زئولیتی	دگرسانی
کانسارهای شیخ- عالی (Rastad et al., 2002) قزل‌داش (اماگلی- پور و مسعودی، ۱۳۹۶)	کانسار بوانات موسیوند و همکاران (۱۳۹۵) و کانسار نوده مغفوری و همکاران (۱۳۹۳)	کانسار سرگز Badrzadeh et al., 2011	کانسار باریکا (تاج الدين و همکاران، (۱۲۸۹)، کانسار ورنдан (هاشمی و همکاران، (۱۳۹۶	کانسار جاهگز Mousivand et al., (2011) موسیوند و همکاران (۱۳۹۰)	تحقيق حاضر	تحقيق حاضر	مثال از تیپ‌های مشابه در ایران

۲-۴-۷- مقایسه کانسارهای مس با میزان آتشفشاనی با تیپ مانتو

کانسارهای مس نوع مانتو از گونه کانسارهای چینه کران با میزان گدازه‌های آتشفشانانی هستند و عموماً قربت با کانون‌های ولکانیسم که رویکرد آن وجود دایک‌های بازیک است دیده می‌شوند. شناخته‌ترین کانسار نوع مانتو کانسار بوئنالسپرانزا در شمال شیلی است که خود به سه زیر گونه Carolina de Michilla (Mantosub-type) و کارولینا (Buena Esperanza) بوئنالسپرانزا (Buena Esperanza) تقسیم شده است(Espinoza et al, 1991).

کانسارها در شیلی و کانادا صورت گرفته است(Kojima et al, 2009). سن این ذخایر در کشور شیلی، ژوراسیک و کرتاسه می‌باشد (Kirkham, 1996; Kojima et al, 2009). کانسارهای مس نوع مانتو در شیلی به عنوان سومین تولید کننده مس پس از کانسارهای نوع پورفیری و IOCG شناخته می‌شوند. کانسارهای تیپ مانتو در دنیا محدود است و به طور عمده در شیلی قرار دارند که کانه‌زایی‌های مس تیپ مانتو در شیلی مربوط به دوران‌های مژوزوئیک و سنوزوئیک می‌باشند که در یک مجموعه ولکانوپلتونیک دیده می‌شوند که این مجموعه در کمان ماقمایی آند قرار دارد(جداول ۳-۷ و ۴-۷). این کانسارها در شیلی در نزدیکی کانسارهای مس پورفیری و در ریفت داخل کمان بوجود آمده‌اند (Wilson et al, 2003; Tosdal et al, 2003 السولدادو) و کانسارهای منطقه لاسرانا (Laserana) دارای سنگ میزبان گدازه‌های آذرآواری می‌باشند (Elsoldado) Cisternas & Rieger et al, 2008; Wilson & Zentili, 2006; Hermo silla, 2006). طبق پژوهش‌های (Espinanza et al, 1996; Ramirez et al, 2006; Richard et al, 2001 2006 فراوانترین رخدادهای کانه‌زایی مس نوع مانتو در مناطق کششی و در کمربندهای ماقمایی مرتبط با فروزانش ژوراسیک تا کرتاسه صورت گرفته است. سنگ میزبان این نوع کانسارها بیشتر در سنگ‌های آذرآواری آندزیتی و گدازه‌های آندزیتی آمیگدالوئیدال در توالی آتش‌فشانی آندزیتی- بازالتی کالک الکالن تا آندزیتی داسیتی است (Wilson et al ,2003;Trista-Aguilera et al, 2006;Haggan et al , 2009). در کانسارهای نوع مانتو کانه‌زایی به‌طور کلی توسط شکستگی‌های نفوذپذیر کنترل می‌شود و همچنین زمین‌شناسی این تیپ از کانسارها متفاوت می- باشد(Zentili, 1997) و ماده معدنی نیز به صورت رگه-رگچه‌ای، لامینه، پرکننده فضاهای خالی و جانشینی دیده می‌شوند (Espinanza et al, 1996; Kojima et al , 2009; Ramirez et al, 2006). به لحاظ کانی شناسی نیز کانسارهای تیپ مانتو شامل کانی‌های شاخص کالکوسیت، بورنیت، کالکوپیریت، کولولیت، مس و نقره طبیعی، به همراه مقادیری اسفالریت و پیریت می- باشد (Santo,1984; Wilton & Sinclair, 1988; Wolf et al, 1990; Betzhold & Roth, 2000);

(Haggan et al, 2003; Wilson et al, 2003 ; Kojima et al , 2009; Wilson et al, 2006

ماده معدنی بطور غالب پرکننده حفرات، رگه-رگچه‌ای، جانشینی و دانه پراکننده است و دگرسانی در کانسارهای تیپ مانتو معمولاً از نوع سیلیسی، سریسیتی، کلریتی و کربناتی می‌باشد) Espinanza et . (al, 1996; Wilson et al, 2003; Santo, 1984

جدول ۲-۷- مقایسه کانسارهای سردار و زواک با کانسارهای تیپ مانتو، طبقات قرمز آتشفشنانی و نوع میشیگان.

Volcanic Redbed	Type Michigan	Manto Type	کانسار مس سردار	کانسار مس زواک	ویژگی‌های شاخص
کافت درون قاره‌ای و نزدیک به حواشی صفحات	کافت نیمه قاره‌ای	محیط کششی مرتبط با فروزانش آند و خوش‌های پشت کماتی	کمان	کمان	محیط تکتونیکی
گدازه‌های آتشفشنانی مافیک تا فلزیک و توف	بازالت آمیگدالوئیدال با میان لایه‌های کنکلوهرایی	گدازه‌های آندزیتی بازالتی	گدازه‌های آندزیتی بازالتی، آهک و ماسه سنگ قرمز و خاکستری	آگلومرای آندزیتی- بازالتی، توف ماسه‌ای، آهک و ماسه سنگ قرمز و خاکستری	سنگ‌های میزبان و همراه
کالکوسیت، مس طبیعی	مس طبیعی، نقره، کالکوسیت	کالکوسیت، مس طبیعی	کالکوپیریت و کالکوسیت	کالکوسیت، مگنتیت	کانی‌های معدنی
-----	سری تولیتی	-----	کلسیت، کوارتز، کلریت	کلسیت، کوارتز، کلریت	سری ماقمایی
عموماً بدون دگرسانی مرتبط با کانه زایی	عموماً بدون دگرسانی مرتبط با کانه زایی	سیلیسی، کلسیتی، آلیتی، پروپیلتیک	کلریتی، سرسیتی و زئولیتی	کلریتی، سرسیتی و زئولیتی	دگرسانی
Boric et al 2002, Cabral & Beaudoin, 2007	Ramirez et al., 2006; Sillito, 1997	Kirkham, 1999, Oliveros et al, 2008	تحقيق حاضر	تحقيق حاضر	مرجع

جدول ۳-۷- مقایسه کانسارهای سردار و زواک با کانسارهای تیپ مانتو در شیلی

کانسار Cu-Ag مانتو بلانکو	کانسار السولدادو	شیلی (بوئنا اسپرانتز)	کانسار مس میاندشت	کانسار مس سردار	کانسار مس زواک	کانسارهای شاخص	ویژگی‌های جغرافیایی
شمال شیلی	مرکز شیلی	شیلی	ایران (شرق شاهروود)	ایران (شرق شاهروود)	ایران (شرق شاهروود)	آگلومرای آندریتی- بازلتی، آندزیتی- بازلتی، توف ماسه ای، آهک و آهک و ماسه سنگ قرمز و خاکستری	سنگ‌های میزبان و همراه
آندریت، داسیت و ریولیت	بازالت، ریوداسیت	گدازه های بازالتی و آندزیتی مگاپورفیری	گدازه و واحد آذرآواری با ترکیب آندریت، آندزیت- بازالت	گدازه آندزیتی- بازلتی، توف ماسه ای، آهک و ماسه سنگ قرمز و خاکستری	آگلومرای آندریتی- بازلتی، آندزیتی- بازلتی، توف ماسه ای، آهک و ماسه سنگ قرمز و خاکستری		
پیریت، کالکوپیریت ت، کالکوسیت	پیریت، کالکوپیریت، کالکوسیت هماتیت	اکالکوسیت، کالکوپیریت، هماتیت	کالکوسیت، کالکوپیریت	کالکوسیت و کالکوسیت	کالکوسیت، مگنتیت	کانی‌های معدنی	
-----	کلسیت، آلبیت، فلدسبار پتانسیم و کلریت	کربنات، کلریت، سیلیس، هماتیت و آلکالی فلدسبار	کربنات، کلریت، کوارتز و هماتیت	کلسیت، کوارتز، سربیسیت، کلریت	کلسیت، کوارتز، سربیسیت، کلریت	کانی‌های باطله	
ژوراسیک	کرتاسه	کرتاسه	ائوسن میانی	ائوسن میانی	ائوسن میانی	سن واحد میزبان	
آلبیتی، اپیدوتی، کلریتی، سربیسیتی، ایلیتی، کوارتز	کربناتی، کلریتی، سیلیسی، آلبیتی و هماتیتی	کربناتی، آرژیلی، سیلیسی و کلریتی و هماتیتی	سربیسیتی، آرژیلی، سیلیسی و کلریتی و هماتیتی	کلریتی، سربیسیتی و ژئولیتی	کلریتی، سربیسیتی و ژئولیتی	دگرسانی	
(Ramirez et al, 2006)	(Boric et al, 2002)	(Kirkham, 1999)	اسماعیلی و همکاران، ۱۳۹۵	تحقيق حاضر	تحقيق حاضر	مثال از تیپ‌های مشابه در ایران	

۴-۳- مقایسه اندیس‌های مس با میزبان تخریبی در منطقه با

کانسارهای مس رسوبی

کانسارهای مس چینه‌سان- چینه کران بعد از مس پورفیری منبع مهم مس دنیا به شمار می‌رond. این کانسارها از دو میلیارد سال قبل تا میوسن تشکیل شده‌اند (Sawkins, 1984). این کانسارها اکثرا در مراحل ابتدایی ریفت‌ها بوجود آمده‌اند.

کانسارهای مس رسوبی را بر اساس نوع سنگ میزبان، به سه دسته کانسارهای همراه با ماسه سنگ دانه درشت، کانسارهای همراه با کربنات و شیست دولومیتی تقسیم بندی کرد (Rotieh, 1963). این ذخایر به دو زیر گروه Kupferchifer-type که در ته نشستهای محیط دریایی و یا دریاچه‌های

بزرگ تشکیل می‌شوند، و Redbed-type که در سنگ‌های تشکیل شده در محیط قاره‌ای رخ می-

دهند، تقسیم نمود(Kirkham, 1989).

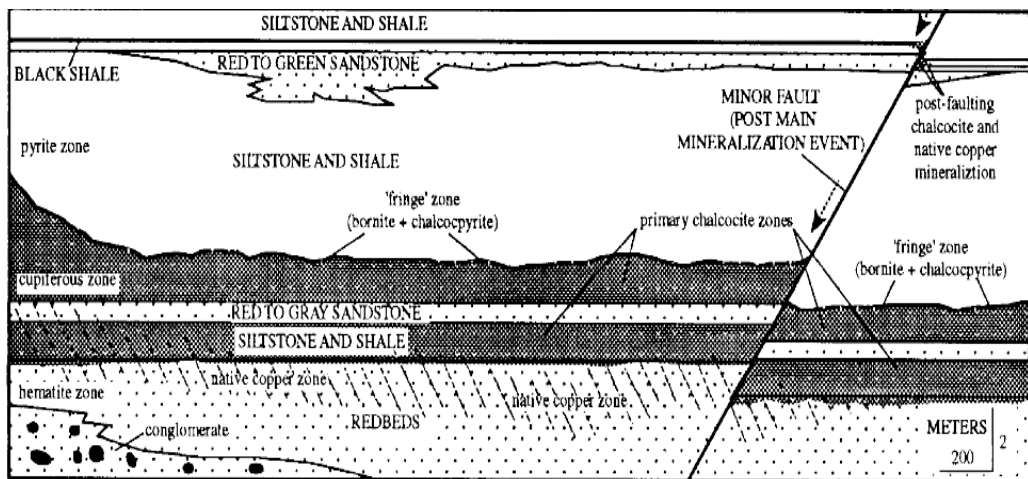
بر اساس هیتزمن و همکاران (۲۰۰۵) کانسارهای مس رسوی به سه دسته Revett Reduced facies

و Redbed تقسیم می‌شوند. تفاوت این سه دسته در سنگ میزبان، نوع و میزان عامل احیا در محیط رسوبگذاری است.

(1) مدل رخساره احیایی (Reduced facies: RF)

ذخایر تیپ رخساره‌های احیایی در مناطقی یافت می‌شوند که در آن سنگ‌های رسوی تخریبی قاره‌ای توسط شیل‌ها و کربنات‌های دریایی یا دریاچه‌ای غنی از پیریت و مواد آلی با گسترش وسیع در مقیاس ناحیه‌ای پوشیده شده‌باشند. این تیپ کانسارها دارای ذخیره عظیمی می‌باشند و اغلب به صورت معادن زیرزمینی برداشت می‌شوند. سنگ‌های شیلی و کربناتی سد ژئوشیمیایی مناسبی را در مقابل حرکت سیال کانه‌ساز با دمای ۱۵۰-۱۵۰ درجه سانتی گراد ایجاد می‌کنند و از این طریق باعث تهنشست کانه‌های فلزی می‌گردند. سنگ میزبان شیل‌ها یا کربنات‌ها و یا سنگ‌های مجاور آن‌ها، ماسه‌سنگ‌ها و کنگلومرا می‌باشند. این نوع کانسارها در موقعیت تکتونیکی آلاکوژن و یا ریفت درون قاره‌ای و محیط جزر و مدی تشکیل می‌شوند(Hitzman et al, 2005; Cox et al 2007). دگرسانی غالباً در این کانسارها، Bleaching و دولومیتی شدن می‌باشد. مس در این دسته از کانسارها، از رسوبات Redbed کم‌پایین تامین می‌گردد(Kirkham, 1989; Hitzman et al, 2005) خود رخساره احیایی روی سنگ‌های بازالتی موجود در محیط ریفتی قرار می‌گیرد(شکل ۷-۱۰).

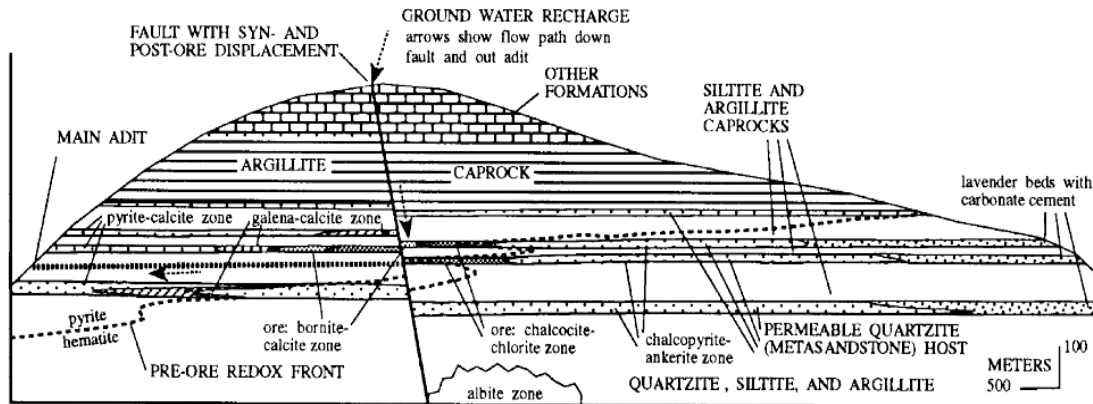
در مواقعی که شاهدی برای ریفت شدگی دیده نمی‌شود، رخساره احیایی روی سنگ‌های رسوی تخریبی قدیمی که دارای ماهیت تخریبی از سنگ‌های مافیک است، قرار دارد (Hitzman et al, 2005; Cox et al 2007). از مهم‌ترین کانسارهای این تیپ می‌توان به کانسار کوپرشیفر، کانسارهای مس زامبیا و کانسار Kamoto در کنگو اشاره کرد.



شکل ۷-۱: شکل شماتیک از کانه‌زایی در کانسار وايت پاپن، تیپ رخساره احیایی (Mauk & Hieshima, 1992) بر گرفته از (cox 1986).

(۲) مدل رخساره‌های ماسه‌سنگی احیایی (Revett: RV)

این مدل که با غنی‌شدگی نقره مشخص می‌گردد، دارای سنگ میزبان ماسه سنگ کوارتزی، متاسیلیستون و شیل و رس می‌باشد. این سنگ‌ها معمولاً آثاری از دگرگونی را نشان می‌دهند. این تیپ ذخایر در طبقات ضخیم کوارتزیت احیایی (پیریت دار) که تا حدی دگرگون شده‌اند، یافت می‌شود. در این تیپ کالنی سازی‌ها، گسل‌ها نقش کنترل کننده توزیع کانسنگ‌ها را ایفا می‌کنند (شکل ۷-۱). همچنان عامل احیا گسترده و پراکنده بوده و علاوه بر قطعات فسیل گیاهی، در برخی از کانسارها به صورت مایع و یا گاز هیدروکربوری دیده می‌شود (Cox et al, 2007). از مهم‌ترین کانسارهای این تیپ می‌توان به Spar Lake در قزاقستان و کانسار Dzhezkazgan در مونتانا آمریکا می‌باشد.



شکل ۱۱-۷: شکل شماتیک از کانه‌زایی تیپ رخساره ماسه سنگ احیایی (Einaudi, 1986) برگرفته از (cox 1986).

(Red Beds: RB) مدل رخساره اکسیدی یا طبقات قرمز (۳)

کانسارهای Redbed، در توالی رسوبی-تخریبی شامل ماسه‌سنگ، کنگلومرا و شیل تشکیل می‌شوند.

محیط‌های ریفتی و کششی و نواحی گنبدهای نمک، برای تشکیل این کانسارها مناسب می‌باشند.

محیط تشکیل این کانسارها، محیط‌های ساحلی و نواحی کم عمق است (Hitzman et al, 2005).

(Kirkham, 1996;

در این نوع کانسارها عامل احیا گستردگی کمتری دارد و غالباً شامل واریزه‌های ارگانیکی موجود در

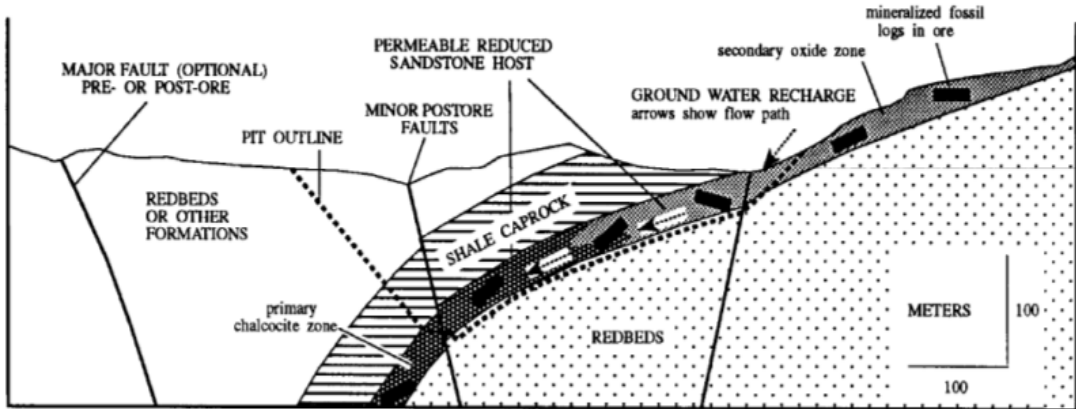
ماسه‌سنگ و به مقدار کمتر پیریت می‌باشد. دگرسانی غالب در این کانسارها، دگرسانی Bleaching

بوده که در همه کانسارهای مس رسوبی نوع Redbed قابل مشاهده است. این مدل کانسارها، ذخایر

نسبتاً کمی دارند و اغلب نزدیک به سطح قرار گرفته، از این رو معدن‌کاری آن عمدتاً روباز صورت می-

گیرد (شکل ۱۲-۷). از مهم‌ترین کانسارهای این تیپ می‌توان به کانسار Nacimiento در ایالت

نیومکزیکو آمریکا، کانسار Corocoro در بولیوی (Avila-Salinas 1990) اشاره نمود.



شکل ۱۲-۷: شکل شماتیک از کانه‌زایی تیپ رخساره اکسیدی یه طبقات قرمز (Talbott, 1974) برگرفته از (cox, 1986).

هر سه تیپ ذخیره ممکن است در یک ناحیه یافت شوند، زیرا هر سه مدل در ارتباط ژنتیکی با یکدیگر بوده و ممکن است از یک سیال کانه‌ساز سرچشممه گرفته باشند. گسترش زیاد شیل‌های سیاه و سنگ‌های آهکی احتمالاً تیپ رخساره احیایی، وجود شرایط احیایی محلی در طبقات قرمز احتمال تشکیل تیپ ماسه سنگ احیایی را افزایش می‌دهد. کانی‌سازی مس در این ذخایر به صورت پراکنده، چینه‌کران و به صورت موضعی به شکل چینه‌سان یافت می‌شود (Hitzman et al, 2010; Cox et al, 2007). با توجه به مقایسه اندیس معنی مس رسوی منطقه با هر یک از سه تیپ کانسار مس رسوی می‌توان نتیجه گرفت که کانه‌زایی منطقه مورد مطالعه در رده کانسارهای مس رسوی نوع Redbed قرار گیرد (جدول ۵-۷).

جدول ۴-۷- مقایسه ویژگی های کانسارهای مس مورد مطالعه با انواع کانسارهای مس رسوی

مهم ترین خصوصیات کانه زائی	Reduced facies Cu	Revett Cu	Redbed Cu	اندیس مس رسوی مورد مطالعه
موقعیت تکتونیکی	ریفت درون قاره ای	ریفت و بطور کلی محیط کششی	محیط کششی و نواحی دارای گنبد نمکی	کمان
محیط ته نشیت	جزر و مدی	حوضه های بسته پلایا و محیط های ساحلی	محیط های ساحلی و نواحی کم عمق	دریایی کم عمق
سنگ میزبان	شیل، سیلتستون، کربنات ریفی، شیل دولومیتی	سکانس ضخیم ماسه سنگی و به مقدار کم سیلتستون و شیل	سکانس تخریبی سرخ شامل ماسه سنگ و کنگلومرا	سکانس تخریبی سرخ شامل تناوب ماسه سنگ و کمی شیل و کنگلومرا
سن	نئوپروتروزوئیک	نئوپروتروزوئیک	نئوپروتروزوئیک، اوخر مزوزوئیک و اوایل سنوزوئیک	ائوسن-الیگوسن
شکل ماده معدنی	لا یه ای - عدسی	عدسی همرونند با لایه بندی	عدسی همرونند با لایه بندی	عدسی همرونند با لایه بندی
بافت	دانه پراکنده، جانشینی، لامینه و کلوفرم	دانه پراکنده و جانشینی	دانه پراکنده و جانشینی	عدسی ، رگه-رچه ای - دانه پراکنده
کانی شناسی	کالکوسیت، بورنیت، کالکوپیریت، پیریت، مالاکیت، کوولیت، دیزنت و اکسید و هیدروکسیدهای آهن	کالکوسیت، کوولیت، بورنیت، مس و نقره طبیعی	کالکوسیت، کالکوپیریت، بورنیت، نقره طبیعی، گالن و اسفالریت	اولیه کالکوسیت، بورنیت، کالکوپیریت، پیریت، مالاکیت، کوولیت، دیزنت و اکسید و هیدروکسیدهای آهن
عامل کنترل کننده کانه زایی	محیط احیا شامل شیل سیاه پیریتی، جلبک ها و سولفید بیوژنیک، نفوذپذیری رسوبات کمر پایین	نفوذپذیری لایه های ماسه سنگ و فسیل های گیاهی	نفوذپذیری لایه های وجود عامل احیا، گسل خوردگی	نفوذپذیری لایه های ماسه سنگ و فسیل های گیاهی
دگرسانی	Bleaching و کمی دولومیتی شدن	Bleaching	Bleaching	Bleaching
عامل احیا	مقادیر فراوان پیریت و جلبک	واریزه های فسیل گیاهی و مواد هیدروکربوری	واریزه های فسیل گیاهی و پیریت	واریزه های فسیل گیاهی
منبع مس	رسوبات سرخ کمر پایین	توالی سرخ رنگ	توالی سرخ رنگ	توالی سرخ رنگ
مثال	کوپفرشیفر در آلمان، زمبیا و کاموتو در آفریقا	Dzhezkazgan قزاقستان و کانسار Spar در Lake Corocoro بولیوی	Corocoro در Lake	تحقیق حاضر

۷-۵-پیشنهادات اکتشافی

- نظر به اینکه کانسار مس زواک اولین کانسار مس مرتبط با سامانه‌های گرمابی زیردریایی در شرق شاهروд است که در توالی آتشفسانی-رسوبی ائوسن-الیگوسن معرفی می‌شود، پی جویی کانسارهای مشابه زواک در این محدوده پیشنهاد می‌شود. احتمال رخداد کانه زایی سولفید توده ای غنی از مس در این توالی در منطقه وجود دارد.
- پیشنهاد می‌شود با توجه به ضخامت زیاد توالی آتشفسانی-رسوبی ائوسن در دیگر نقاط ایران که مشابه توالی آتشفسانی-رسوبی در این پهنه از ایران مرکزی می‌باشد، جهت اکتشاف کانسارهای VMS غنی از مس مورد مطالعه دقیق‌تر قرار گیرد.
- با توجه به گسترش کانه‌زایی مس رسوبی در منطقه و حضور چندین اندیس معدنی در این گستره، به‌نظر می‌رسد پتانسیل مس رسوبی در این منطقه بالاست به همین دلیل انجام مطالعات آکادمیک علمی و دقیق بر روی این نشانه‌ها و اکتشاف ذخایر اقتصادی مس رسوبی ضروری است.
- انجام مطالعات ایزوتوبی پایدار (جهت تشخیص منشأ سیال و اجزای سیال کانه ساز) در محدوده معدنی مورد مطالعه (البته نمونه‌ها جهت ایزوتوبی گوگرد آماده سازی و به آزمایشگاهی در خارج از کشور ارسال گردیده است).

منابع فارسی :

- اسماعیلی، ف.، (۱۳۹۷)، پایان نامه کارشناسی ارشد "کانی‌شناسی، ژئوشیمی و الگوی پیدایش کانسار مس میاندشت، شرق میامی"، دانشگاه صنعتی شهرورد.
- افتخارنژاد، ج. (۱۹۹۲)، نقشه زمین‌شناسی جاجرم به مقیاس ۱:۲۵۰۰۰۰، انتشارات سازمان زمین‌شناسی کشور.
- آفانباتی ، س.، ع.، و افتخارنژاد، خ.، (۱۳۷۱) ، نقشه زمین شناسی ۱:۲۵۰۰۰ جاجرم، سازمان زمین‌شناسی و اکتشافات معدنی کشور به شماره DJ 40-14.
- آفانباتی، ع. (۱۳۴۹)، زمین‌شناسی منطقه فرومود و عباس‌آباد، پایان نامه کارشناسی ارشد، دانشکده علوم، دانشگاه تهران، ۷۴ صفحه.
- آفانباتی، ع. (۱۳۸۳)، زمین‌شناسی ایران انتشارات سازمان زمین‌شناسی و اکتشافات معدنی کشور، ۵۸۶ صفحه.
- آفانباتی، ع.، (۱۳۸۳)، زمین‌شناسی ایران. وزارت صنایع و معادن، سازمان زمین‌شناسی و اکتشافات مواد معدنی کشور، ۵۸۶ ص.
- بدرزاده، ز.، سبزه بی، م.، امامی، م.، خیمنو، د.، (۱۳۸۹)"مراحل مختلف کانه زایی سولفیدی در کانسار سولفید توده ای نتیشفشان زاد سرگز، شمال باختر جیرفت، سندج سیرجان جنوبی" ، فصلنامه علوم زمین، شماره ۷۶.
- بشارتی، س.، ذاکری، ل.، فتاحی، ش.، (۱۳۸۵)، "بررسی مینرالیزاسیون و ژنز کانسار مس قزل داش خوی استان آذربایجان غربی" ، چهاردهمین همایش بلورشناسی و کانی شناسی ایران.
- بهزادی، م.، (1373) ، پایان نامه ارشد "بررسی زمین شناسی اقتصادی اندیس مس قبله بوغ واقع در منطقه طارم سفلی استان زنجان" ، دانشگاه شهید بهشتی.

- بویری کوبری، م.، (۱۳۸۹)، پایان نامه ارشد "زمین شناسی، کانی شناسی، ساخت و بافت، ژئوشیمی، ژنز و تیپ مس کشت مهکی، شمال باختر فاس شهر استان فارس"، دانشگاه تربیت مدرس.
- حسینی، س.ر.، موسیوند، ف.، (۱۳۹۴) الف، ژئوشیمی عناصر اصلی، کمیاب و نادر خاکی(REE) و خاستگاه کانسار منگنز سردار در توالی آتشفسانی-رسوبی اوسن در منطقه فرومد، شرق شهرود، سی و چهارمین گردهمایی و دومین کنگره بین المللی علوم زمین، تهران.
- حسینی، س.ر.، موسیوند، ف.، (۱۳۹۴) ب، الگوی رخداد کانه‌زایی منگنز سردار در توالی آتشفسانی-رسوبی اوسن در منطقه فرومد، هفتمین همایش انجمن زمین شناسی اقتصادی ایران، دامغان.
- حیدری، ا.، م. ص.، (۱۳۷۸)، گزارش اکتشافات چکشی ورقه زمین‌شناسی ۱:۱۰۰۰۰۰ شامکان، سازمان زمین‌شناسی و اکتشافات معدنی ایران.
- حیدری، م.، و معانی جو، م.، (۱۳۹۰)، زمین‌شناسی و کانی‌شناسی مس معدن بزرگ (عباس آباد، شرق شهرود)، دومین همایش ملی انجمن زمین‌شناسی اقتصادی ایران، خرم‌آباد.
- درویش‌زاده، ع.، (۱۳۸۱)، زمین‌شناسی پوسته اقیانوسی، پترولوزی و دینامیک درونی، انتشارات دانشگاه تهران، ۵۶۹ صفحه.
- رادفر، ج.، کهن‌سال، ر. (۱۳۷۱)، نقشه زمین‌شناسی ۱:۱۰۰۰۰۰ دادرزن، سازمان زمین‌شناسی و اکتشافات معدنی کشور به شماره ۷۳۶۲.
- رجب پور، شاهرخ، عابدینی، علی، علی پور، صمد، & ذاکری. (۲۰۱۳). بررسی کانی سازی و منشأ مس چینه سان در منطقه چشمکه کنان تسوج، استان آذربایجان شرقی. زمین‌شناسی اقتصادی، ص ۴۹-۶۳.
- سامانی، ب.، (۱۳۸۱)، متالوژنی کانسارهای مس "نوع مانتو" در ایران، بیست و سومین گردهمایی علوم زمین.
- سپهری راد، ر.، (۱۳۸۸)، "گزارش پی جویی مس رسوبی در محور کدکن ششتمد شمال تربت حیدریه"، سازمان زمین‌شناسی و اکتشافات معدنی کشور.

- صالحی، ل.، رسا، ا.، علیرضایی، س.، و کاظمی مهرنیا، ا.، (۱۳۹۴) ب، ویژگیهای ایزوتوپی گوگرد کالکوسیت در کانسار مس معدن بزرگ، عباس آباد، شمال خاور ایران، سی و چهارمین گردهمایی و دومین کنگره بین‌المللی تخصصی علوم زمین، تهران.
- صالحی، ل.، رسا، ا.، علیرضایی، س.، و کاظمی مهرنیا، ا.، (۱۳۹۴) الف، کانسار مس معدن بزرگ با میزبان آتشفشنایی، نمونه ای از کانسارهای مس نوع- مانتو، خاور شاهروود، مجله علوم زمین، شماره جلد ۹۸، صفحات ۹۳ تا ۱۰۴.
- طائفی، ن.، موسیوند، ف.، و صادقیان، م.، (۱۳۹۳) ب، کانی شناسی، ژئوشیمی و الگوی رخداد کانه‌زایی مس در مناطق گریگ و گورخان، جنوب شرق شاهروود، ششمین همایش انجمن زمین شناسی اقتصادی ایران، سیستان و بلوچستان.
- علی‌نیا، ف.، دهقان‌نژاد، م.، (۱۳۸۳) (مطالعات زمین‌شناسی اقتصادی ژئوشیمیایی معادن مس عباس آباد شاهروود و برآورد پتانسل معدنی آنها.
- عنایتی کولایی، س.، یزدی، م.، مختاری، ع. ا.، (۱۳۹۰)، "کانی‌سازی مس در سنگ‌های رسوبی میوسن در منطقه تازه‌کند شمال تبریز"، سی‌امین گردهمایی علوم زمین.
- قربانی، م.، (۱۳۸۱)"دیباچه ای بر زمین شناسی اقتصادی ایران"، انتشارات سازمان زمین شناسی، ۵۳۶ ص.
- کریم‌پور، م. ح.، حیدریان شهری، م. ر.، ملکزاده شفارودی، ن.، (۱۳۸۳)، "آشکارسازی زون‌های کانی‌سازی مسیوسولفید تکنار با کاربرد حساسیت مغناطیسی و مگنتومتری"، دوازدهمین همایش بلورشناسی و کانی شناسی ایران، دانشگاه شهید چمران اهواز.
- مغفوری، س.، راستاد، ا.، موسیوند، ف.، (۱۳۹۰)، "رخداد کانی‌زایی مس سولفید توده ای نوده در توالی آتشفشنایی رسوبی کرتاسه بالایی در جنوب غرب سبزوار"، دومین همایش انجمن زمین‌شناسی اقتصادی، دانشگاه لرستان.

- ملک زاده شفارودی، ن.، کریمپور، م.ح.، مظاہری، ا.، 1388 زمین‌شناسی، دگرسانی، کانی‌سازی و ژئوشیمی گستره MA-II منطقه پیجوبی مس طلای پورفیری ماهرآباد، خراسان جنوبی"؛ مجله بلورشناسی و کانی‌شناسی ایران.
- منظمی میرعلیپور، ع.، (1377)، پایان نامه ارشد "زمین‌شناسی، کانی‌شناسی و ژنز سولفید توده‌ای مس شیخ عالی"، دانشگاه تربیت مدرس.
- مهدوی، ا.، راستاد، ا.، حسینی بروزی، م.، (۱۳۸۶)، "کانی‌شناسی و ساخت و بافت افق‌های کانه‌دار کانسار مس رسوی مارکشه Redbed Type) در شمال‌غرب راور"، بیست و ششمین گردهمایی علوم زمین.
- مهرابی، ب.، فاضلی، ن.، (1380)، "بررسی تیپ کانه زایی مس در کانسار وشنوه جنوب استان قم"، بیستمین گردهمایی علوم زمین.
- موسیوند، ف.، (1382)، پایان نامه ارشد "کانی‌شناسی، ژئوشیمی و ژنز کانه زایی مس در مجموعه آنتشفسانی رسوی سوریان در منطقه بوانات، استان فارس"، دانشگاه تربیت مدرس.
- موسیوند، ف.، (1389)، رساله دکتری "زمین‌شناسی، ژئوشیمی و الگوی تشکیل کانسار روی-سرب-مس چاه گز در جنوب شهر باک و مقایسه نن با کانسار سولفید توده‌ای مس-روی-نقره بوانات در پهنه سندنج سیرجان جنوبی"، دانشگاه تربیت مدرس.
- موسیوند، ف.، راستاد، ا.، امامی، ا.، (1381)، "کانه زایی سولفید توده‌ای مس-روی-نقره در مجموعه آتشفسانی رسوی سوریان در منطقه بوانات در پهنه سندنج سیرجان"، بیست و یکمین گردهمایی علوم زمین.

- Refrences:
- Alavi M., (1991)"Sedimentary and structural characteristics of the Paleo-Tethys remnants in northeadtern Iran" Geol. Soc Of Amer.Bull. V. 103, PP.983-992.
- Annels A. E. and Simmonds I. R.,)1984("Cobalt in the Zambian copper belt"
- Asran, M., Ezzat, M., (2012), The pan- African calck- alkaline granitoids and the associated mafic microgranular enclaves (MME) around Wadi Abu Zawal area, North Eastern desert, Egypt: Geology, Geochemistry and petrogenesis, Journal of Biology and Earth Sciences, Vol. 2, No.1, p. 1-16.
- Berberian, M. and King, G.C.P.,(1981). Toward a paleogeography and tectonic
- Bogdanov Y. U., Berlyand-kozhevnikov P. V., (1990) "Cupriferous and chromiferous Precambrian deposits in Olekma-Vitim Province, USSR. 8th IAGOD Symposium, Ottawa, Program with Abstracts, A223" Geological Association of Canada Special Paper 36.
- Bowen R. and Gunatilak A., (1977) "Copper: Its geology and economics" Applied Science, London, 336 p.
- Brill B.A., (1989) "Trace element contents and partitioning of elements in ore minerals from the CSA Cu–Pb–Zn deposit, Australia" Canadian Mineralogist 27, 263-274.
- Brown A. C., (1971) "Zoning in the White Pine copper deposit, Ontonogan County, Michigan" Econ Geol 66:543–573.
- Brown A. C., (2005) "Refinements for footwall red-bed diagenesis in the sedimenthosted stratiform copper deposits model" Econ Geol 100:765–771.
- Brown, A. C. (1992). Sediment-hosted stratiform copper deposits. Geoscience Canada.Brown A.C., (1997) "World-class sediment-hosted stratiform copper deposits: characteristics, genetic concepts and metallotects" Aust J Earth Sci 44:317–328.
- Brown A.C., (2009) "A process based approach to estimating the copper derived from red beds in the sediment hosted stratiform copper deposit model" Economic Geology 104, 857-868.
- Brown, A. C. (1997). World-class sediment-hosted stratiform copper deposits: Characteristics, genetic concepts and metallotects. Australian Journal of Earth

Sciences, 44(3), 317-328. Folk R. L., (1980) "Petrology of sedimentary rocks" Hemphill's Book Store. Austin, Texas 185p.

- Chartrand F. M. and Brown A. C., (1985) "The diagenetic origin of stratiform copper mineralization, Coates Lake, Redstone Belt" Canada 80, 325-343.
- Cox D. P., Lindsey D. A., Singer D. A. and Diggles M.F., (2007) "Sediment-hosted copper deposits of the world: deposit models and database" US Geological Survey, Open-file report 03-107, 50 p.
- Doyle, M.G., and Allen, R.L. (2003). "Subsea-floor replacement in volcanic-hosted massive sulfide deposits". *Ore Geology Reviews* 23, 183-222.
- Galley, A.G. Hannington, M.D. and Jonasson, I.R. (2007), "Volcanogenic massive sulphide deposits, in Goodfellow, W.D., ed., *Mineral Deposits of Canada: A Synthesis of Major Deposit-Types, District Metallogeny, the Evolution of Geological Provinces, and Exploration Methods*", Geological Association of Canada.
- Ghasemi, H., & Rezaei-Kahkhaei, M. (2015). Petrochemistry and tectonic setting of the Davarzan-Abbasabad Eocene Volcanic (DAEV) rocks, NE Iran. *Mineralogy and Petrology*, 109(2), 235-252.
- Hastie A. R., Craig Kerr A., Pearce J., and Mitchell S. F., (2007) "Classification of Altered Volcanic Island Arc Rocks Using Immobile Trace Elements: Development of the Th-Co Discrimination Diagram." *Journal of Petrology* 48 (12). 2341–2357.
- Hitzman M. W., (2000) "Source Basins for Sediment-Hosted Stratiform Copper Deposits - Implications for the Structure of the Zambian Copperbelt", *Journal of African Earth Sciences*, v. 30, p. 855-863.
- Hitzman M. W., Kirkham R., Broughton D., Thorson J. and Selly D (2005) "The sediment-hosted stratiform copper ore system" In: Thompson JFH, Goldfarb RJ, Richards JP (eds) 100th Anniversary volume. Society of Economic Geologists, pp 609–642.
- Hitzman M. W., Selle D. and Bull S., (2010) "Formation of sedimentary rock hosted stratiform copper deposits through Earth History. *Economic Geology* 105, 627-639.
- Kesler S. E. (1994), "Mineral Resources Economics and the Environment."

- Kirkham R.V., (1989) "Distribution, setting and genesis of sediment-hosted stratiform copper deposits". In: Boyle RW, Brown AC, Jefferson CW, Jowett EC, Kirkham RV (eds) Sediment-hosted stratiform copper deposits. Geol Assoc Can Special Paper 36:3–38.
- Kirkham R.V., (1996) "Sediment-hosted stratiform copper" In: Eckstrand OR, Sinclair WD, Thorpe RI (eds) Geology of Canadian mineral deposit types. Geol Surv Can Geol Canada 8:223–240 (also Geological Society of America, the Geology of North America, vol. P-1).
- Kojima S., Trista-Aguilera D., and Hayashi K. i. (2009)“ Genetic Aspects of the Manto-type Copper Deposits Based on Geochemical Studies of North Chilean Deposits”. Resource geology, 59(1), 87-98.
- Lemaltrre, R. W. (ed.), 2002. Igneous Rocks: A Classification and Glossary of Terms: Recommendations of the International Union of Geological Sciences, Subcommission on the Systematics of Igneous Rocks. Cambridge University Press, Cambridge.
- Lentz. D. (1998) “Petrogenetic evolution of felsic volcanic sequences associated with Phanerozoic volcanic- hosted massive sulphide systems: the role of extensional geodynamics” OreGeology Reviews 12, pp 289–327
- Lindenberg, H. G., Gorler, K., & Ibbeken, H. (1983). Stratigraphy, structure and orogenetic evolution of the Sabzevar Zone in the area of Oryan, Khorasan, NE Iran.
- Lur'ye A.M., (1986) "Formation conditions of copper-sandstone and copper-shale deposits" In, Friedrich, G.H., Genkin, A.D., S.S., Naldrett, A.J., Ridge, J.D., Sillitoe, R.H., Vokes, F.M. eds., Geology and metallogeny of copper deposits, Berlin, Heidelberg, Springer-Verlag, p.477-491.
- Lindenberg, H. G., Gorler, K., & Ibbeken, H. (1983). Stratigraphy, structure and orogenetic evolution of the Sabzevar Zone in the area of Oryan, Khorasan, NE Iran. Oszczepalski S., (1999) "Origin of the Kupferschiefer polymetallic mineralization in Poland", Mineralium Deposita 34, 599–613.
- Malekzadeh A. Karimpour M.h and Mazaheri S. (2005) “Geology, mineralogy and geochemistry of Taknar polimetal (Cu-Zn-Au-Ag-Pb) deposit (Tak-I) in the Khorasan-Bardaskan” Iran society criystallography and mineralogy, number 2, p.253-272.

- Maynard J.B., (1983) "Geochemistry of sedimentary ore deposits", Springer-Verlag, New York Inc. 305p.
- McMillan W. J. and Panteleyev A. (1990). "Porphyry copper deposits, in: report, R. G. and sheahan, P. A., ed: ore deposit model: Geological Association of Canada. P.45-59.
- Pearce J. A. (1983). "Role of the sub-continental lithosphere in magma genesis at active continental margins."
- Piercy, S. (2015), "a semipermeable interface model for the genesis of subseafloor replacement-type volcanogenic massive sulfide (vms) deposits". Economic Geology, Vol. 110, pp. 1655–1660.
- Precambrian Research., v.25, p 75-98.
- Ramdohr P., (1980) "The ore minerals and their intergrowth",2nd Ed, Pergamon, Press.
- Reichow, M. K., Saunders, A. D., White, R. V., Al'Mukhamedov, A. I., & Medvedev, A. Y. (2005). Geochemistry and petrogenesis of basalts from the West Siberian Basin: an extension of the Permo-Triassic Siberian Traps, Russia. *Lithos*, 79(3-4), 425-452.Rose A.W., (1976) "The effect of cuprous chloride complexes in the origin of red-bed copper and related deposits", *Econ.Geol.*, 71, 1036-1048.
- Rose, A. W. (1989). Mobility of copper and other heavy metals in sedimentary environments. *Sediment-hosted Stratiform Copper Deposits*, 36, 97-110.
- Sawlowicz Z., (1990) "Primary copper sulphides from the Kupferschiefer, Poland", *Mineralium Deposita*, v. 25, p. 262–271.
- sedimentary rocks", Second edition. Spain): S/C ratios and sulphur isotope systematic", *Ore Geology Reviews* 23 ,55–70.
- Subias, I., Fanlo, I., Mateo, E., & Garcia-Veigas, J. (2003). A model for the diagenetic formation of sandstone-hosted copper deposits in Tertiary sedimentary rocks, Aragón (NE Spain): S/C ratios and sulphur isotope systematics. *Ore geology reviews*, 23(1-2), 55-70.
- Sun S.S. and McDonough W.F. (1989) "Chemical and isotopic systematics of oceanic basalts; implications for mantle composition and processes", in Saunders, A.D., and Norry, M.J., eds., *Magmatism in the oceanic basins: Geological Society of London Spec. Pub.* 42, p. 313-345.

- "Strata-bound copper deposits in Triassic sandstone of Sierra Nacimiento, New(eds) Sediment-hosted stratiform copper deposits", Geol Assoc Can Special Paper36:97–110.
- Tornos, F., Peter, J.M., Allen, R., Conde, C. (2015). "Controls on the siting and style of volcanogenic massive sulfide deposits". *Ore Geology Reviews*, doi: 10.1016/j.oregeorev.2015.01.003.
- Tucker, M. E. (2001). *Sedimentary petrology: an introduction to the origin of sedimentary rocks*, thirdth edn.
- Wagner T., Okrusch M., Weyer S., Lorenz J., Lahaye Y., Taubald H. and Schmitt R.T., (2010) "The role of the Kupferschiefer in the formation of hydrothermal base metal mineralization in the Spessart ore district, Germany: insight from detailed sulfur isotope studies", *Mineralium Deposita* 45, 217-239.
- Walker T.R., (1989) "Application of diagenetic alterations in redbeds to the origin of copper in stratiform copper deposits", In: Boyle RW, Brown AC, Jefferson CW, Jowett EC, Kirkham RV (eds) *Sediment-hosted stratiform copper deposits*. Geol Assoc Can Special Paper 36:85–96.
- Wilson N. S., Zentilli M., and Spiro B. (2003). "A sulfur, carbon, oxygen, and strontium isotope study of the volcanic-hosted El Soldado manto-type copper deposit, Chile: the essential role of bacteria and petroleum". *Economic Geology*, 98(1), 163-174.
- Winchester, J., Floyd, P., (1977), Geochemical discrimination of different magma series and their differentiation products using immobile elements. *Chemical geology*. V. 20, p. 325- 343.
- Woodward, L. A., Kaufman, W. H., Schumacher, O. L., & Talbott, L. W. (1974). Strata-bound copper deposits in Triassic sandstone of Sierra Nacimiento, New Mexico. *Economic Geology*, 69(1), 108-120.
- Zanetti A., Mazzucchelli M., Rivalenti G., Vannucci, R. (1999). "The Finero phlogopite- peridotite massif: an example of subduction-related metasomatism". *Contributions to Mineralogy and Petrology*, 134(2-3), pp. 107-122.
- Zhang, H., Zhang, L., Harris, N., Jin, L., Honglin, Y., (2006), U-Pb zircon ages, geochemical and isotopic compositions of granitoids in Songpan-Garze fold belt,

eastern Tibetan Plateau: constraints on petrogenesis and tectonic evolution of the basement, Contributions to Mineralogy and Petrology, Vol. 152, p. 75-88.

Abstract:

Copper mineralization at north of Kahak occurred in 186 Km east of Shahrood, in the Central Iran zone and Sabzevar subzone, in Eocene-Oligocene volcano-sedimentary sequence. Lithologically, the host sequence from bottom to top involves Eocene basaltic-andesitic agglomerate and flows, Eocene numulitic limestone, red and grey Eocene-Oligocene sandstones, and Miocene marls, which crop out in the Kahak anticline. Copper mineralization in the area includes: 1) mineralization hosted by volcanic rocks, and 2) mineralization hosted by clastic sedimentary rocks. The volcanic-hosted copper mineralization occurred as stratabound within Eocene volcanic units at southern limb of the Kahak anticline as Zavak copper deposit, and at northern limb of the anticline, as Sardar manganese ad copper deposit at footwall of the manganese-bearing horizon. Copper mineralization in the Zavak deposit occurred as vein-veinlets within the agglomerate units and as disseminated within numulitic limestone, and contain chalcocite, pyrite, chalcopyrite, bornite and magnetite, accompanying with chloritic and sericitic alteration. Copper mineralization at the Sardar Mn and Cu deposit occurred as quartz-sulfide veins ad disseminations containing bornite, chalcopyrite and pyrite and secondary chalcocite, accompanying with chloritic alteration. These primary mineralization were cross cutted by chalcocite-bearing zeolite veins at the Zavak deposit, and by calcite/ and zeolite-bearing chalcocite or native copper veins and disseminations at the Sardar deposit. It should be noted that manganese mineralization also occurred as layered (stratiform) and exhalative at northern limb of the anticline (i.e., the Sardar Mn and Cu deposit) within numulitic limestone, and at the southern limb as disseminations within tuffaceous sandstone above the limestone unit (i.e., the Zavak deposit). Generally, copper mineralization occurred as vein-veinlets and disseminations at footwall of the Mn-rich layer at both limbs of the anticline.

The sediment-hosted copper mineralization in this area dominantly occurred within the grey and red sandstone units as lenticular (around and within plant fossils aggregations along with layering of the host rocks), vein-veinlets and disseminated textures and structures. Ores within the sedimentary rocks contain primary chalcocite and native copper, and secondary malachite, covellite, cuprite, dijenite and iron oxides-hydroxides. Major gangue minerals are quartz, calcite and chlorite. The plant fossil remnants within the ore horizons were the main reductant agents and ore controls in the host sandstones.

However, some cross-cutting chalcocite and native copper vein-veinlets are observed within the sandstones.

Based on geological, geometry of ores, textures and structures, mineralogy and alteration types in the Zavak copper, and Sardar copper and manganese deposits, it is inferred that copper mineralization in the Kahak anticline occurred through four stages:

1) first stage: copper mineralization due to submarine hydrothermal systems at subseafloor (contemporaneously at footwall of the stratiform and exhalative Mn-rich layer), in an extensional intra-rift arc basin within the flows, agglomerates, and numulitic limestone, 2) second stage: basin filling by clastic sediments, and occurring of another copper mineralization phase during burial and early diagenesis processes as lenticular around and within the plant fossils (Redbed-type copper mineralization), and as vein-veinlets during late diagenesis which caused formation of chalcocite and native copper vein-veinlets within sandstones, and within volcanic rocks (similar to the Manto-, Volcanic-Redbed- and Michigan-type copper deposits), 3) third stage: orogenic event resulted in formation of cross-cutting NW-SE and NE-SW chalcocite-bearing clastic veins in the Sardar copper and manganese deposit and formation of chalcocite-bearing zeolite veins in the Zavak copper deposit, and 4) fourth stage: finally, these mineralizations in the Kahak anticline were overprinted by weathering and supergen process.

Keywords: Copper, manganese, volcano-sedimentary, Eocene, Kahak, sedimentary copper, starabound, manto, Michigan



Faculty of Earth Sciences
M.Sc. Thesis in Economic Geology

Mineralogy, geochemistry and genesis of copper mineralization
in the Eocene-Oligocene volcano-sedimentary sequence,
North of Kahak of Sabzevar

By: Maryam Shoghani Motlagh

Supervisors:

Dr. Fardin Mousivand
Dr. Mahdi Jafarzadeh

September 2019